

(19)



OFICINA ESPAÑOLA DE
PATENTES Y MARCAS
ESPAÑA



(11) Número de publicación: **2 581 239**

(51) Int. Cl.:

C07H 21/04 (2006.01)
C07K 14/00 (2006.01)
C07K 16/00 (2006.01)
G01N 33/53 (2006.01)
A61K 39/395 (2006.01)
C07K 14/705 (2006.01)

(12)

TRADUCCIÓN DE PATENTE EUROPEA

T3

(96) Fecha de presentación y número de la solicitud europea: **28.11.2000 E 10181912 (6)**

(97) Fecha y número de publicación de la concesión europea: **20.04.2016 EP 2363403**

(54) Título: **Aislamiento de cinco genes novedosos que codifican nuevos melanomas de tipo receptor de Fc implicados en la patogénesis del linfoma/melanoma**

(30) Prioridad:

29.11.1999 US 168151 P

(45) Fecha de publicación y mención en BOPI de la traducción de la patente:

02.09.2016

(73) Titular/es:

**THE TRUSTEES OF COLUMBIA UNIVERSITY IN
THE CITY OF NEW YORK (100.0%)
West 116th Street and Broadway New York
New York 10027, US**

(72) Inventor/es:

DALLA-FAVERA, RICCARDO

(74) Agente/Representante:

DE ELZABURU MÁRQUEZ, Alberto

ES 2 581 239 T3

Aviso: En el plazo de nueve meses a contar desde la fecha de publicación en el Boletín europeo de patentes, de la mención de concesión de la patente europea, cualquier persona podrá oponerse ante la Oficina Europea de Patentes a la patente concedida. La oposición deberá formularse por escrito y estar motivada; sólo se considerará como formulada una vez que se haya realizado el pago de la tasa de oposición (art. 99.1 del Convenio sobre concesión de Patentes Europeas).

DESCRIPCIÓN

Aislamiento de cinco genes novedosos que codifican nuevos melanomas de tipo receptor de Fc implicados en la patogénesis del linfoma/melanoma

5 La invención descrita en la presente memoria se realizó en el curso del trabajo bajo la Concesión NCI Núm. CA 44029 del Instituto Nacional del Cáncer. En consecuencia, el Gobierno de Estados Unidos tiene ciertos derechos sobre esta invención.

A lo largo de toda esta solicitud, las diversas referencias se mencionan entre paréntesis.

Las citas bibliográficas completas para estas referencias se pueden encontrar al final de esta solicitud, antes de las reivindicaciones.

10 **Antecedentes de la invención**

Las anomalías del cromosoma 1q21 son comunes en las neoplasias malignas de células B, incluyendo el linfoma de células B y el mieloma, pero los genes elegidos como diana por estas aberraciones son en gran parte desconocidos. Mediante la clonación de los puntos de rotura de una translocación cromosómica t(1;14)(q21;q32) en una línea celular de mieloma, los autores de la presente invención han identificado dos nuevos genes, *IRTA1* e *IRTA2*, que codifican receptores de la superficie celular con homologías con las familias de Receptores de Fc e Inhibidores. Ambos genes se expresan normalmente en las células B maduras, pero con diferentes distribuciones en los órganos linfoideos periféricos: *IRTA1* se expresa en células B de la zona marginal, mientras *IRTA2* también se expresa en centrocitos del centro germinal y en inmunoblastos. Como resultado de la translocación t(1;14), el péptido señal *IRTA1* se fusiona con el dominio Ca de la Inmunoglobulina para producir una proteína de fusión *IRTA1/Ca* quimérica. En las líneas celulares de mieloma múltiple y de linfoma de Burkitt con anomalías en 1q21, la expresión de *IRTA2* está desregulada. Por lo tanto, *IRTA1* e *IRTA2* son inmunorreceptores novedosos con un papel potencialmente importante en el desarrollo de células B y la linfomagénesis.

25 El linfoma de células B no Hodgkin (LNH-B) y el mieloma múltiple (MM) representan un grupo heterogéneo de neoplasias malignas derivadas de células B maduras con fenotipos correspondientes a células del pre-Centro Germinal (CG) (células del manto), GC (células grandes difusas, foliculares, de Burkitt), o post-CG (MM) (para la revisión, Gaidano y Dalla-Favera, 1997; Kuppers et al., 1999). Se ha obtenido una información valiosa en torno a la patogénesis de estas neoplasias malignas mediante la identificación de anomalías cromosómicas clonales recurrentes características para los subtipos específicos de las enfermedades. La consecuencia común de estas translocaciones es la desregulación transcripcional de los protooncogenes por su yuxtaposición a los elementos reguladores de la transcripción heterólogos localizados en el cromosoma compañero (Gaidano y Dalla-Favera, 1997). Estos elementos reguladores de la transcripción heterólogos pueden derivar del locus de inmunoglobulina (IG) o de otros loci cromosómicos del compañero. Los ejemplos incluyen *MYC* en t(8;14) (q24;q32) en el linfoma de Burkitt (LB) (Dalla-Favera et al., 1982; Taub et al., 1982), el gen *CCND1* desregulado por la t(11;14) (q13;q32) en el linfoma de células del manto (LCM) (Rosenberg et al., 1991) y mieloma múltiple (MM) (Ronchetti et al., 1999), *BCL2* implicado en la t(14;18); (q32;q21) en el linfoma folicular (LF) (Bakhshi et al., 1985), *BCL6* en t(3;14) (q27;q32) en linfoma difuso de células B grandes (LDCG) (Ye et al., 1993), así como *FGFR3* en t(4;14) (p16;q32). (Chesi et al., 1997), *MAF* en t(14;16) [q32;q23] (Chesi et al., 1998) y *MUM1/IRF4* en t(6;14) (p25;q32) (Iida et al., 1997) en el mieloma múltiple (MM). La identificación de estos oncogenes ha ofrecido información valiosa sobre la patogénesis y el diagnóstico de sus correspondientes neoplasias malignas.

30 Las anomalías cromosómicas que están implicadas en la banda 1q21-q23 se encuentran entre las lesiones genéticas más frecuentes tanto en LNH-B como en MM. Entre los subtipos de LNH, se ha informado sobre puntos de rotura en 1q21-q23, incluyendo translocaciones y duplicaciones, a menudo como la única anomalía cromosómica, en 17-20% de los linfomas de células B grandes difusos y foliculares (LDCG), en 39% de los linfomas de células B de la zona marginal (Offit et al., 1991; Whang Peng et al., 1995; Cigudosa et al., 1999) y en de 27-38% de los linfomas de Burkitt, donde representan la segunda anomalía citogenética más común después de translocaciones que implican al proto-oncogén *MYC* (Berger y Bernheim, 1985; Kornblau et al., 1991). La hibridación comparativa del genoma (HCG) también ha identificado 1q21-q23 como un sitio recurrente para la amplificación de alto nivel en 10% de los casos de LDCG (Rao et al., 1998). En el MM, la trisomía de la región 1q21-q32 ha sido referida en 20-31% de los casos (Sawyer et al., 1995), la amplificación de la región 1q12-qter en 80% de las líneas celulares y 40% de los tumores primarios (Avet-Loiseau et al., 1997), y las translocaciones de todo el brazo desequilibradas no aleatorias de 1q, asociadas con la multiduplicación de la región adyacente 1q21-22, se encontraron en 23% de los pacientes con cariotipos anormales (Sawyer et al., 1998).

45 La alta frecuencia de implicación de los reordenamientos estructurales 1q21 en las neoplasias malignas de células B sugiere que este locus puede albergar genes críticos para la patogénesis de estas enfermedades. La clonación de una t(1;14)(q21;q32) en una línea celular de leucemia linfoblástica aguda pre-B identificó previamente un nuevo gen, *BCL9* desregulado solamente en este caso (Willis et al., 1998), pero no implicado en otros casos. Un informe reciente caracterizó la t(1;22) (q22;q11) en una línea celular de linfoma folicular (LF) y se encontró que el locus *FCGR2B*, que codifica el receptor Fc de IgG de baja afinidad FCGRIIb, era elegido como diana en esta línea celular

y en dos casos adicionales de FL (Callanan et al., 2000). Por último, el locus *MUC1* ha sido identificado en la proximidad del punto de rotura de una t(1;14)(q21;q32) en NHL (Dyomin et al., 2000; Gilles et al., 2000), y se han encontrado reordenamientos del locus *MUC1* en 6% de los NHL con anomalías 1q21 (Dyomin et al., 2000). Estos resultados ponen de manifiesto la heterogeneidad de los puntos de rotura de 1q21 y la necesidad de identificar oncogenes candidatos adicionales situados en este locus, ya que la gran mayoría de estas alteraciones permanecen sin explicación.

Miller et al. Blood, vol. 96, núm. 11, 2000, describe la localización de una región de ADN de 300 kb de genes IRTA. El documento WO00/29422 A1 describe la secuencia de aminoácidos de la proteína secretada humana codificada por el "gen 13" que solapa con los aminoácidos 1-108 y 206-429 de IRTA5. El acceso a la base de datos EMBL núm. AA677057 describe una secuencia de ácido ribonucleico mensajero humano de 491 pares de bases (ARNm) que tiene un solapamiento de 385 nucleótidos con una porción de la secuencia de ácidos nucleicos de IRTA5. El documento EP-A2 0 330 191 describe un método para la clonación de ADNC a partir de bibliotecas de expresión de mamíferos basadas en la expresión transitoria en células anfítrionas de mamífero.

El objetivo de este estudio fue explorar más a fondo la arquitectura de los reordenamientos cromosómicos 1q21 en neoplasias malignas de las células B. Para ello, los autores de la presente invención han empleado un enfoque de clonación molecular de la t(1;14)(q21;q32) presente en la línea celular de mieloma FR4. Los autores de la presente invención han identificado dos nuevos genes que son elegidos como diana diferencialmente por anomalías de 1q21. Estos genes codifican cinco nuevos miembros de la familia de receptores de inmunoglobulina, *IRTA1*, *IRTA2*, *IRTA3*, *IRTA4* y *IRTA5* (Immonoglobulin superfamily Receptor Translocation Associated genes (Genes asociados a la translocación de receptores de la superfamilia de inmunoglobulina) 1, 2, 3, 4, y 5), que pueden ser importantes para la función de los linfocitos normales y para las neoplasias malignas de células B.

Compendio de la invención

Esta invención proporciona una molécula de ácido nucleico aislada que codifica la proteína receptora de inmunoglobulina, Asociada a la Translocación de Receptores de la superfamilia de Inmunoglobulinas, IRTA5.

25 Se describe un método para producir un polipéptido IRTA (proteína) que comprende: (a) introducir un vector que comprende un ácido nucleico aislado que codifica una proteína receptora de inmunoglobulina, Asociada a la Translocación de Receptores de la superfamilia de Inmunoglobulinas, IRTA, en una célula anfítrona adecuada; y (b) cultivar la célula resultante para producir el polipéptido.

30 Esta invención proporciona una molécula de ácido nucleico aislada que comprende al menos 15 nucleótidos contiguos capaz de hibridar específicamente con una secuencia única incluida dentro de la secuencia de la molécula de ácido nucleico aislada que codifica la proteína IRTA5, o uno o varios fragmentos de la misma, que tiene la secuencia de aminoácidos expuesta en cualquiera de las Figuras 18E-1-18E-2.

35 Se describe un método para detectar una neoplasia maligna de células B o un tipo de neoplasia maligna de células B en una muestra de un sujeto en donde la neoplasia maligna de células B comprende una reordenación cromosómica 1q21, que comprende:

a) poner en contacto la muestra de ARN obtenida del sujeto con una molécula de ácido nucleico de al menos 15 nucleótidos contiguos capaz de hibridar específicamente con una secuencia única incluida dentro de la secuencia de un ARN aislado que codifica la proteína IRTA5 humana en condiciones que permiten la hibridación del ARN de la etapa (a) con la molécula de ácido nucleico capaz de hibridar específicamente con una secuencia única incluida dentro de la secuencia de un ARN aislado que codifica una proteína IRTA5 humana, en donde la molécula de ácido nucleico está marcada con un marcador detectable; y b) detectar cualquier hibridación en la etapa (a), en donde la detección de hibridación indica la presencia de neoplasia maligna de células B o un tipo de neoplasia maligna de células B en la muestra.

45 Esta invención proporciona un oligonucleótido antisentido que tiene una secuencia capaz de hibridar específicamente con una molécula de ARNm que codifica una proteína IRTA2 humana con el fin de evitar la expresión en exceso de la molécula de ARNm.

Esta invención proporciona una proteína IRTA5 purificada que comprende la secuencia de aminoácidos expuesta en las Figuras 18E-1-18E-2 (SEQ ID NO: 9).

50 Esta invención proporciona uno o varios anticuerpos dirigidos a un epítopo de la proteína IRTA5 purificada, o uno o varios fragmentos de la misma, que tienen la secuencia de aminoácidos expuesta en las Figuras 18E-1-18E-2.

Esta invención proporciona un anticuerpo dirigido a proteína IRTA5 purificada.

Esta invención proporciona una composición farmacéutica que comprende una cantidad del anticuerpo dirigido a una proteína IRTA5 eficaz para unirse a las células cancerosas que expresan una proteína IRTA5 humana con el fin de evitar el crecimiento de las células cancerosas y un portador farmacéuticamente aceptable.

Se describe una composición farmacéutica que comprende una cantidad de cualquiera de los oligonucleótidos de moléculas de ácido nucleico que codifican la proteína IRTA descrita en la presente memoria eficaz para prevenir la expresión en exceso de una proteína IRTA humana y un portador farmacéuticamente aceptable idóneo.

Esta invención proporciona un método de diagnóstico de neoplasias malignas de células B que comprende una reordenación cromosómica 1q21 en una muestra de un sujeto que comprende:

a) poner en contacto la muestra obtenida del sujeto con un anticuerpo dirigido a proteína IRTA5 purificada capaz de unirse específicamente con una proteína IRTA5 humana sobre la superficie celular de una célula cancerosa en condiciones que permiten la unión del anticuerpo con la proteína IRTA5 humana sobre la superficie celular de la célula cancerosa, en donde el anticuerpo está marcado con un marcador detectable; y b) detectar cualquier unión en la etapa (a), en donde la detección de la unión indica un diagnóstico de neoplasia maligna de células B en la muestra.

Se describe un método para detectar la proteína IRTA humana en una muestra que comprende: a) poner en contacto la muestra con cualquiera de los anticuerpos anti-IRTA descritos anteriormente bajo condiciones que permitan la formación de un complejo entre el anticuerpo y la IRTA en la muestra; y b) detectar el complejo formado en la etapa (a), detectando de ese modo la presencia de IRTA humana en la muestra.

Esta invención proporciona el uso para el tratamiento de un sujeto que tiene un cáncer de células B, que comprende administrar al sujeto una cantidad de anticuerpo anti-IRTA5 eficaz para unirse a las células cancerosas que expresan la proteína IRTA5 con el fin de evitar el crecimiento de las células cancerosas y un portador farmacéuticamente aceptable.

Se describe un uso para el tratamiento de un sujeto que tiene un cáncer de células B, que comprende administrar al sujeto una cantidad de un oligonucleótido antisentido que tiene una secuencia capaz de hibridar específicamente con una molécula de ARNm que codifica una proteína IRTA humana con el fin de evitar la expresión en exceso de la proteína IRTA humana, con el fin de detener el crecimiento celular o inducir la muerte celular de las células cancerosas que expresan una o más proteínas IRTA y un portador farmacéuticamente aceptable.

También se describe una composición farmacéutica que comprende una cantidad eficaz de cualquiera de los oligonucleótidos descritos en la presente memoria y un portador farmacéuticamente aceptable.

La invención también proporciona una composición farmacéutica que comprende una cantidad eficaz de un anticuerpo dirigido contra un epítopo de la proteína IRTA5 descrita en la presente memoria y un portador farmacéuticamente aceptable.

30 Breve descripción de las figuras

Figuras 1A-1B.

Clonación molecular de la translocación t(1;14)(q21;q32) en la línea celular de mieloma múltiple FR4. Fig. 1A) Representación esquemática de los clones λFR4B-5 y λFR4S-a, que representan los puntos de rotura der(14) y der(1), y de la línea germinal IgH y loci 1q21. Fig. 1B) Secuencia de nucleótidos de la unión del punto de rotura y su alineamiento con las regiones correspondientes de la línea germinal del cromosoma 14. Sa, región de cambio de IgA; LCR: región de control del locus 3' IgH; B, BamHI; H, HindIII; X, Xhol.

Figuras 2A-2B.

Mapa genómico del locus 1q21 en las proximidades del punto de rotura FR4. Fig. 2A) Mapa de endonucleasas de restricción y representación esquemática de clones genómicos, es decir, bacteriófagos (1), cromosomas artificiales P1 (PAC) (2), y cromosoma artificial de levadura (YAC) (3), que abarca el locus de 1q21 de la línea germinal en la región del punto de rotura de FR4 (punta de flecha). El nombre de cada clon se coloca directamente sobre la parte superior de su representación. Los fragmentos finales derivados de los insertos de PAC y YAC se representan como círculos, ya sea con una orientación del vector SP6/T7 (PAC), ya sea con una orientación del vector del brazo izquierdo/derecho (YAC). El panel superior de la Fig. 1A representa la organización genómica de dos genes que rodean el punto de rotura de FR4. Los dos genes fueron identificados por la captura del exón de PAC 49A16. Están estrechamente espaciados en el genoma, dentro de ≤ 30 Kb uno de otro y se denominan MUM2 y MUM3 (mieloma múltiple 2 y 3). En el esquema de sus loci genómicos, los recuadros de color negro indican los exones codificantes, mientras que los recuadros de color blanco y gris claro o medio indican exones no codificantes. Los intrones conectores son líneas. MUM3 (izquierda) da lugar a tres ARNm empalmados alternativamente, que comparten todos una región no traducida 5' común (UTR), pero diversas UTR 3' (marcadas por diferentes tonos). Los números debajo de los recuadros identifican el orden de los exones del ADNc. Los exones menores de 100 pb se representan como líneas verticales delgadas. La posición y el tamaño de cada exón se determinaron por medio de secuenciación de clones genómicos de PAC y de fagos y por hibridación de sondas de ADNc con ADN del clon digerido con endonucleasas. El mapeo de PAC y YAC se realizó por digestión parcial con enzimas de corte raro seguido de Electroforesis en Gel de Campo Pulsado e hibridación con sondas internas y derivadas de los extremos. Las líneas discontinuas alinean las regiones de solapamiento. S, SacI; H, HindIII; S, Swal; P, PstI; P, PmeI; Fig. 2B) Mapa de

5 conexiones genéticas Genethon de 1q21 en la región del locus MUM2/MUM3. Los sitios de secuencia expresada (STS) se ordenan a una distancia aproximada determinada previamente por Dib, C., et al., (1996) Nature, 380: 162-164. El STS WI-5435 (en negrita) está contenido dentro de YAC 23GC4 y PAC 49A16. Las líneas verticales paralelas representan segmentos interrumpidos, cuyo tamaño aproximado se representa anteriormente en megabases (MB). El dimensionamiento se estimó por el tamaño de los cónigos de YAC no químéricos entre dos marcadores. El gen BCL9 en el centrómero fue clonado a partir de un punto de rotura de t(1;14)(q21;q32) diferente por Willis T.G. et al., (1998) Blood 91, 6: 1873-1.881. El gen FcGRIIA está en el límite de la banda cromosómica 1q21-q22.

Figuras 3A-3C.

10 Estructura del ARNm y patrón de expresión de MUM2. Fig. 3A) Representación esquemática del ARNm de MUM2. Los recuadros grandes llenos representan los dominios codificantes y los recuadros vacíos estrechos representan regiones no traducidas. SP, péptido señal; EC, dominio extracelular; TM, dominio transmembrana; CIT, dominio citoplásmico; A(n), cola poliA. La región extracelular se compone de cuatro dominios similares a inmunoglobulina tal como se representa. Las señales de poliadenilación alternativas (flechas) generan tres especies de ARNm de MUM2 (a, b, c) cuya longitud (en Kb) oscila de 2,6 a 3,5. Fig. 3B) Análisis de transferencia Northern de la expresión del ARNm de MUM2 en tejidos humanos del sistema inmunitario. La sonda de ADNc utilizada para el análisis se muestra como una barra continua de color negro debajo del esquema del ARNm en la Fig. 3A). Cada calle contiene 2 µg de ARNm del tejido correspondiente. En el lado derecho de la transferencia, se representa la posición de los marcadores de peso molecular de ARN. La posición de los transcriptos de ARNm de MUM2 y GAPDH se muestra por medio de flechas. (Se incluyó una sonda de GAPDH en la hibridación como un control interno - sonda marcada 0,15 ng + no marcada 50 ng). Los resultados de este análisis muestran expresión débil de MUM2 en los ganglios linfáticos y el bazo. No se detectó expresión de MUM2 en una variedad de tejidos humanos distintos (datos no mostrados). Fig. 3C) Análisis de transferencia Northern de la expresión de MUM2 en ARN total de EREB, una línea de células linfoblastoides B transformadas con EBV condicional. EREB lleva, el genoma de EBV con una proteína de fusión de EBNA2-receptor de estrógeno, activa sólo en presencia de estrógeno. Para este experimento, las células fueron cultivadas en presencia de estrógeno (1 µg/ml), seguido de la retirada de estrógeno durante los momentos indicados. Tras la retirada de estrógeno, las células EREB se someten a la detención G0/G1, determinada por la pérdida de la expresión de c-myc. En la Fig. 3C, una transferencia Northern del ARN total de EREB [10 µg por calle] se hibridó con la sonda de ADNc de MUM2 mostrada en la Fig. 3A y la sonda de control interno de GAPDH, como en la Fig. 3B. Las flechas indican la posición de los ARNm correspondientes en la transferencia de EREB. a, la banda C corresponde a la especie MUM2 en el panel de la Fig. 3A. A continuación, la misma transferencia se eliminó y se volvió a sondear con una sonda de ADNc de c-myc (exón 2) para verificar detención en la G0/G1 celular. La cuantificación del ARNm de MUM2 por medio del uso de un análisis densitométrico Phosphorimager demuestra un aumento de 10 veces en sus niveles en el plazo de 48 horas de la retirada de estrógeno, lo que sugiere que la expresión de MUM2 es elevada ya que las células entran en una fase de reposo.

Figuras 4A-4B.

40 Estructura de ARNm y patrón de expresión de MUM3. Fig. 4A) Representación esquemática del ARNm de MUM3. Los recuadros grandes llenos representan dominios codificantes y los recuadros vacíos o de color gris representan regiones no traducidas. SP, péptido señal; EC, dominio extracelular; TM, dominio transmembrana; CIT, dominio citoplásmico; A(n), cola poliA. La región extracelular se compone de dominios de tipo inmunoglobulina, tal como se representa. El empalme alternativo genera cuatro especies de ARNm con diversa localización subcelular. Se secretan las proteínas MUM3-a y d, mientras que MUM3-b contiene un tramo hidrófobo de aminoácidos en su extremo C-terminal que puede servir como señal para la adición de un anclaje de glicofosfatidil-inositol (ancla de GPI), como se muestra. MUM3-c se extiende por la membrana plasmática. La identidad de secuencia entre las especies se indica mediante un relleno idéntico. Fig. 4B) Análisis de transferencia Northern de la expresión del ARNm de MUM3 en múltiples tejidos humanos (izquierda) y en diversas líneas celulares linfoides y no linfoides (derecha). La sonda de ADNc utilizada se muestra como una barra continua debajo del esquema de ADNc en la Fig. 4A. Cada calle contiene 2 µg de ARNm del tejido o la línea celular correspondiente. La posición de los transcriptos de ARN de MUM3 y GAPDH se muestra por medio de flechas. (Se incluyó una sonda de GAPDH en la hibridación como control interno como se describe en la Fig. 3). a, b, c y d corresponden a la especie de ARNm de MUM3 mostrada en la Fig. 4A. RD, NC42 y CB33, líneas de células B linfoblastoides transformadas con virus de Epstein-Barr; EREB, línea celular linfoblastoide B transformada con EBV condicional; FR4, línea de células de plasma; MOLT4 y HUT78, líneas de células T; HL60 y U937, líneas de células mielomonocíticas; K562, línea de células eritroides. Los resultados sugieren que MUM3 se expresa exclusivamente en los tejidos del sistema inmunitario de la médula ósea, la linfa y el bazo y en particular en las células B con un fenotipo linfoblastoide.

Figura 5.

60 Secuencias de nucleótidos y aminoácidos de MUM2 humano. La secuencia de aminoácidos deducida se muestra por encima de la secuencia de nucleótidos con el código de una letra y se numera a la derecha, con la posición 1 ajustada al primer codón del péptido señal. El sitio de la peptidasa señal pronosticado se obtuvo por medio de un algoritmo informático descrito por Nielsen et al., Protein Engineering 10, 1-6 (1997) y se marca por medio de una punta de flecha. La señal de poliadenilación AATAAA está subrayada. Los sitios potenciales para la N-glicosilación

están subrayados también en la secuencia de aminoácidos. Un tramo hidrófobo de 16 aminoácidos que se pronostica que abarca la membrana plasmática está doblemente subrayado. Los sitios de unión a SH2 consenso se destacan por medio de un subrayado ondulado.

Figura 6A.

- 5 Secuencia de nucleótidos y de aminoácidos de MUM3-a humana. La secuencia de aminoácidos deducida se muestra por encima de la secuencia de nucleótidos con el código de una letra y se numera a la derecha, con la posición 1 ajustada al primer codón del péptido señal. El sitio pronosticado para la escisión de la peptidasa señal se obtuvo como se ha indicado anteriormente y se marca por medio de una punta de flecha. La señal de poliadenilación ATTAAA está subrayada. Los sitios potenciales para la N-glicosilación también están subrayados en la secuencia de 10 aminoácidos. La proteína carece de un dominio transmembrana y se prevé que sea secretada.

Figura 6B.

- 15 Secuencia de nucleótidos y de aminoácidos MUM3-b humana. La secuencia de aminoácidos deducida se muestra por encima de la secuencia de nucleótidos con el código de una letra y se numera a la derecha, con la posición 1 ajustada al primer codón del péptido señal. El sitio pronosticado para la escisión de la peptidasa señal se obtuvo como se ha indicado anteriormente y se marca por medio de una punta de flecha. La señal de poliadenilación AATAAA está subrayada. Los sitios potenciales para la N-glicosilación están subrayados en la secuencia de 20 aminoácidos.

Figura 6C-1-6C-2.

- 25 Secuencia de nucleótidos y de aminoácidos de MUM3-c humana. La secuencia de aminoácidos deducida se muestra por encima de la secuencia de nucleótidos con el código de una letra y es numera a la derecha, con la posición 1 ajustada al primer codón del péptido señal. El sitio pronosticado para la escisión de la peptidasa señal se obtuvo como se ha indicado anteriormente y se marca por medio de una punta de flecha. La señal de poliadenilación AATAAA está subrayada. Los sitios potenciales para la N-glicosilación están subrayados en la secuencia de 20 aminoácidos. Un tramo hidrófobo de 23 aminoácidos que se pronostica que abarca la membrana plasmática está doblemente subrayado. Los sitios de unión a SH2 consenso se destacan por medio de un subrayado ondulado.

Figuras 7A-7C.

- 30 t(1;14)(q21;32) en FR4 genera un transcripto de fusión MUM2/Ca. Fig. 7A) Representación esquemática del clon genómico der(14) λFR4B-5 y del locus IgHA1 de la línea germinal. El punto de rotura de FR4 está marcado por medio de una flecha. Los recuadros llenos y huecos representan los exones codificantes de MUM2 y Calfa y los no codificantes, respectivamente. La posición de la sonda 1 para el exón de MUM2 utilizada para el análisis de transferencia Northern se muestra por medio de una barra. Fig. 7B) El análisis de transferencia Northern con una sonda para el exón 1 de MUM2 sobre FR4 y líneas celulares adicionales detecta un mensaje anormal de 0,8 Kb, selectivamente en FR4. Las puntas de flecha apuntan a la ubicación de mensaje normal de MUM2 en el ARNm de EREB, JJN3 y U266, líneas celulares de mieloma; EREB, línea celular linfoblástoide B transformada con EVB condicional. Se cargaron dos µg de ARN poliA+ por calle. Fig. 7C) Secuencia de nucleótidos y aminoácidos del ADNc de la fusión MUM2-Ca en FR4. El ADNc se amplificó por medio de RT-PCR a partir del ARN total de FR4 usando los cebadores mostrados en la Fig. 7A, y posteriormente se subclonó y se secuenció. La secuencia de aminoácidos deducida se muestra por encima de la secuencia de nucleótidos con el código de una letra y se numera a la derecha con la posición 1 ajustada al primer codón del péptido señal. El sitio pronosticado para la escisión de la 35 peptidasa señal se obtuvo como se ha indicado anteriormente y se marca por medio de una punta de flecha. La señal de poliadenilación AATAAA está subrayada. El dominio transmembrana Calfa está subrayado. La porción MUM2 del ADNc se muestra en cursiva. H, HindIII; B, BamHI; X, Xhol; Sa, región de cambio de IgA; EC, región extracelular; TM, transmembrana; CIT, dominio citoplásmico.

40 Figuras 8A-8C.

- 45 Clonación molecular de la translocación t(1;14)(q21;q32) en la línea celular de mieloma múltiple FR4. Fig. 8A) Representación esquemática de los clones de fagos que representan los puntos de rotura der(14) y der(1) y los loci IGH y 1q21 de la línea germinal. Se indican 14 secuencias de cromosomas mediante una línea continua de color negro representando los recuadros de color negro los exones Ca1. Las secuencias del cromosoma 1 se muestran como una línea de color gris. Las sondas utilizadas para el mapeo cromosómico se indican debajo del mapa. Los 50 códigos para las enzimas de restricción son: B, BamHI; H, HindIII; X, Xhol; S, SacI; E, EcoRI. Para las enzimas marcadas con un (*) sólo se muestran los sitios que delinean las sondas. Sa: región de cambio de IgA; LCR: región de control del locus 3'IgH. Fig. 8B) Secuencia de nucleótidos de las uniones de los puntos de rotura y su alineamiento con las correspondientes regiones de la línea germinal de los cromosomas 14 y 1. Fig. 8C) A la izquierda, análisis de hibridación fluorescente in situ (FISH) sobre dispersiones de metafase humana normales abarcando el clon PAC 49A16 (Fig. 13) la región 1q21 de la línea germinal en el punto de rotura de FR4. Derecha, imagen teñida con DAPI de la misma dispersión de metafase.

Figuras 9A-9B.

Estructura de los ADNc de IRTA1 e IRTA2. Figs.9A, 9B) Representación esquemática de los ADNc de IRTA1 (Fig. 9A) e IRTA2 (Fig. 9B) completos. Los recuadros llenos, grandes representan dominios codificantes y los recuadros estrechos representan las regiones no traducidas (UTR). El sitio pronosticado para la escisión de la peptidasa señal 5 está marcado por medio de una punta de flecha y se obtuvo de acuerdo con el servidor Red Informática Mundial SignalIP en <http://www.cbs.dtu.dk/services/SignalIP>. El algoritmo de predicción de dominios transmembrana es descrito por Tusnady et al., 1998. SP, péptido señal; EC, dominio extracelular; Ig, de tipo immunoglobulina; TM, dominio transmembrana; CIT, dominio citoplasmico; A(n), cola poli A; GPI, glicofosfatidil inositol. En la (Fig. 9A), las flechas en la UTR 3' indican diferentes sitios de adición de poliadenilación utilizados en el ADNc de IRTA1. En la 10 (Fig. 9B), se sombrean de manera diferente las regiones UTR 3' de las isoformas de IRTA2. Las barras debajo de las regiones UTR en la (Fig. 9A) y la (Fig. 9B) identifican las sondas utilizadas para el análisis de transferencia Northern en la Figura 12.

Figuras 10A-10B.

Comparación de las secuencias de aminoácidos de IRTA1 e IRTA2 con miembros de la familia de receptores de Fc 15 Fig. 10A) Alineamiento de secuencias múltiples de los dos primeros (arriba) y el tercero (abajo) dominios extracelulares para Ig de IRTA1 e IRTA2 para los miembros de la familia de receptores de Fc. Las secuencias se compararon utilizando el programa ClustalW (Thompson et al., 1994). Los recuadros sombreados de color negro indican aminoácidos conservados entre todas las secuencias; los recuadros sombreados de color gris oscuro indican 20 aminoácidos conservados entre al menos la mitad de las secuencias; los recuadros sombreados en color claro indican las sustituciones conservativas. Fig. 10B) Alineamiento de los dominios de unión a SH2 de IRTA1 e IRTA2 con los motivos de consenso ITAM e ITIM. Las posiciones de aminoácidos conservados están en negrita. El símbolo X representa cualquier aminoácido.

Figuras 11A-11B-4.

Patrón de expresión de IRTA1. Fig. 11A) Panel izquierdo. Análisis de transferencia Northern de la expresión del ARNm de IRTA1 en tejidos del sistema inmunitario humano. Cada calle contiene 2 mg de ARNm. La posición de los marcadores de peso molecular de ARN se representa en el lado derecho de la transferencia. Las posiciones de los transcritos de ARNm de IRTA1 y GAPDH se muestran por medio de flechas. (Se incluyó una sonda de GAPDH en la hibridación como un control interno - sonda marcada 0,15 ng + no marcada 50 ng). Panel derecho. Análisis de transferencia Northern de la expresión de IRTA1 en el ARN total de la línea celular ER/EB (10 mg por calle). Para 30 este experimento, las células fueron cultivadas en presencia de estrógeno (1 mg/ml), seguido de la retirada de estrógeno durante los momentos indicados. Las flechas indican las posiciones de los ARNm correspondientes. a, b y c corresponden a especies poliadeniladas diferencialmente de IRTA1. La misma transferencia se eliminó y se volvió a sondear con una sonda de ADNc MYC (exón 2) para verificar la detención de G₀/G₁ celular. El análisis densitométrico de los niveles de ARNm de IRTA1 se representa en el gráfico de columnas adyacente. La sonda de ADNc utilizada se muestra como una barra continua por debajo del esquema de ARNm de IRTA1 en la Figura 9A. Fig.11B-1-11B-4) Análisis de hibridación *in situ* de la expresión de IRTA1 en secciones seriadas de amígdala humana. 1. Sonda IRTA1 efectora 2. Sonda IRTA1 antisentido 3. Tinción H & E 4. Señal IRTA1 antisentido superpuesta sobre una sección teñida con H & E. GC, centro germinal, MargZ, zona marginal

Figura 12A-12B-4.

40 Patrón de expresión de IRTA2. Fig. 12A) Análisis de transferencia Northern de la expresión de ARNm de IRTA2 en múltiples tejidos humanos (panel izquierdo) y en diversas líneas celulares linfoides y no linfoides (panel derecho). Cada calle contiene 2 mg de ARNm. Las posiciones de los transcritos de IRTA2 y GAPDH se muestran por medio de flechas. a, b, c y d corresponden a isoformas de ARNm de IRTA2 de corte y empalme alternativo. RD, NC42 y CB33, 45 líneas de células B linfoblastoides transformadas con virus de Epstein-Barr; EREB, línea celular linfoblastoide B transformada con EBV condicional; FR4, línea de células de plasma; MOLT4 y HUT78, líneas de células T; HL60 y U937, líneas de células mielomonocíticas; K562, línea celular eritroide. La sonda de ADNc utilizada se muestra como una barra continua debajo del esquema del ARNm de IRTA2 en la Figura 9B. Figs.12B-1-12B-4) Análisis de hibridación *in situ* de la expresión de IRTA2 en la amígdala humana. Fig. 12B-1. Sonda de ADNc de IRTA2 efectora, Fig. 12B-2. Sonda de ADNc de IRTA2 antisentido, Fig. 12B-3. Tinción H & E, Fig. 12B-4. Señal de la sonda de ADNc de IRTA2 antisentido superpuesta sobre la sección teñida con H & E. GC, centro germinal, MargZ, zona marginal

Figura 13.

Mapa de la región 1q21 de la línea germinal que abarca el punto de rotura FR4 y la organización genómica de IRTA1 55 e IRTA2. Los cebadores utilizados para amplificar los exones de IRTA1 a partir de ADNc de bazo están marcados por medio de puntas de flecha en el panel superior. Los recuadros de color negro y claro indican exones codificantes y no codificantes respectivamente. Las flechas indican la posición de BCL9, MUC1, familia IRTA y FCGR1IB. loci. S, SacI; H, HindIII; S, Swal; P, Pacl; P, Pmel; Mb, Megabases

Figuras 14A-14D.

t(1;14)(q21;q32) en FR4 genera un transcripto de fusión *IRTA1/Cα*. Fig. 14A) Representación esquemática del clon genómico der(14) 1FR4B-5 y del locus *IgCa₁* de la línea germinal. El punto de rotura FR4 está marcado por una flecha. Los recuadros llenos y vacíos representan los exones codificantes y no codificantes de *IRTA1* y *Ca₁*, respectivamente. Fig. 14B) El análisis de transferencia Northern con una sonda del exón 1 de *IRTA1* (que se muestra por medio de una barra en la Fig. 14A) sobre FR4 y otras líneas celulares detecta un mensaje anormal en FR4. Las puntas de flecha apuntan a la ubicación del mensaje de IRTA1 normal en el ARNm de ER/EB. JJN3 y U266, líneas celulares de mieloma. Se cargaron dos mg de ARN poliA+ por calle. Fig. 14C) Representación esquemática del ADN de fusión *IRTA1/Cα* en FR4. El ADNc se amplificó por RT-PCR a partir de ARN total de FR4 utilizando los cebadores mostrados en la (Fig.14A), y se secuenció después de la subclonación. Fig. 14D) Análisis SDS/PAGE de los productos inmunoprecipitados obtenidos a partir de células 293-T' transfectadas con control de vector y transfectadas con constructos de expresión transitoria de *IRTA1/cα* (calles 1 y 2), o las siguientes líneas celulares: línea de células linfoblastoides positiva para mlgA Dakiki (calle 3), FR4 (calle 4), línea de células NHL positivas para mlgM Ramos (calle 5). H, HindIII; B, BamHI; X, Xhol; Sa, región de cambio de IgA; EC, región extracelular; TM, transmembrana; CIT, citoplasmática.

Figuras 15A-15B.

La expresión de *IRTA2* está desregulada en líneas celulares que portan anomalías 1q21. Figs. 15A, 15B) análisis de transferencia Northern de la expresión del ARNm de *IRTA2* en líneas celulares de linfoma de Burkitt (Fig. 15A) y mieloma múltiple (Fig. 15B). La sonda de ADN utilizada es la misma que en la Fig. 12. Cada calle contiene 2 mg de ARNm. Las posiciones de los transcriptos de ARNm de *IRTA2* y *GAPDH* se muestran por medio de guiones y flechas, respectivamente. Los niveles relativos de expresión de ARNm de *IRTA2* en el panel de la izquierda (Fig. 15A) se representaron en el panel de la derecha (Fig. 15A) después de análisis densitométrico y la normalización frente a los niveles de *GAPDH*. El panel de la derecha (Fig. 15B) es un resumen de los resultados del análisis de transferencia Northern.

Figuras 16-1-16-4

Expresión de IRTA1 en tejido linfoide normal. Se tiñeron secciones incluidas en parafina de amígdala humana normal con los anticuerpos siguientes: Fig. 16-1) Control negativo; Fig. 16-2) Anticuerpo monoclonal de ratón anti-CD3 para detectar las células T; Fig. 16-3) anticuerpo monoclonal de ratón anti-IRTA1 (mIRTA); Fig. 16-4) anticuerpo polyclonal de conejo anti-IRTA1 (J92884K). Las células positivas para IRTA1 se encuentran en la región perifolicular e intraepitelial de la amígdala, equivalente a la zona marginal en el bazo.

Figura 17

Expresión de IRTA1 en un linfoma de células B en Tejido Linfoide Asociado a Mucosa del estómago (MALT). Se tiñó una sección incluida en parafina de un linfoma de células B MALT de estómago con el anticuerpo monoclonal de ratón anti-IRTA1 (mIRTA) y se contratiñó con H & E. La mayoría de los linfomas MALT analizados eran positivos para IRTA1. Por tanto, este anticuerpo puede ser una herramienta eficaz en el diagnóstico diferencial del linfoma MALT. También se ha demostrado que el anticuerpo contra mIRTA1 es útil en la terapia de este tumor de células B, de manera similar al uso del anticuerpo anti-CD20 (rituximab) en la terapia de los linfomas positivos para CD20 con recaída (Foon K., *Cancer J.* 6: pág. 273).

Figura 18A.

ADNc de IRTA1 y secuencia de aminoácidos de la proteína IRTA1 codificada.

Figuras 18B-1-18B-3.

ADNc de IRTA2 y secuencia de aminoácidos de la proteína IRTA2 codificada.

Figuras 18C-1-18C-2.

ADNc de IRTA3 y secuencia de aminoácidos de la proteína IRTA3 codificada.

Figuras 18D-1-18D-2.

ADNc de IRTA4 y secuencia de aminoácidos de la proteína IRTA4 codificada.

Figuras 18E-1-18E-2.

ADNc de IRTA5 y secuencia de aminoácidos de la proteína IRTA5 codificada.

Descripción detallada de la invención

Las siguientes abreviaturas convencionales se utilizan en toda la memoria para indicar nucleótidos específicos: C =

citosina; A = adenosina; T = timidina y G = guanosina.

Esta invención proporciona una molécula de ácido nucleico aislada que codifica la proteína receptora de inmunoglobulina, Asociada a la Translocación de Receptores de la superfamilia de Inmunoglobulinas, IRTA5.

- 5 Según se utiliza en la presente memoria los genes "Asociados a la Translocación de Receptores de Inmunoglobulinas", "IRTA" son moléculas de ácido nucleico que codifican los receptores de la superficie celular novedosos de la superfamilia de inmunoglobulinas en las células B que son importantes en el desarrollo de células B, y cuya expresión anormal, p. ej., expresión desregulada, perturba las respuestas inmunológicas de las células B en la superficie celular y por lo tanto están implicadas en las neoplasias malignas de las células B, incluyendo la linfomagenésis.
- 10 Las moléculas de ácido nucleico que codifican proteínas denominadas proteínas "MUM-2" y "MUM-3" en la Primera Serie de Experimentos que ahora se denominan genes "*IRTA-1*" e "*IRTA-2*", es decir, moléculas de ácido nucleico que codifican las proteínas IRTA-1 e IRTA-2, respectivamente. Las proteínas IRTA-3, 4 y 5 son miembros de la misma la superfamilia de genes de inmunoglobulina como son las proteínas IRTA-1 e IRTA-2.
- 15 En una realización de la molécula de ácido nucleico aislada descrita anteriormente, la proteína IRTA codificada es la proteína IRTA5 que comprende la secuencia de aminoácidos expuesta en las Figuras 18E-1-18E-2 (SEQ ID NO: 9).
- En otra realización de cualquiera de las moléculas de ácido nucleico aisladas descritas anteriormente, la molécula de ácido nucleico es ADN. En realizaciones adicionales, el ADN es ADNc. En realizaciones adicionales, el ADN es ADN genómico. En otra realización, la molécula de ácido nucleico es una molécula de ARN.
- 20 En un aspecto, la molécula de ADN es ADNc que tiene la secuencia de nucleótidos representada en la Figura 18A (AEQ ID NO:10). En una realización preferida de la molécula de ácido nucleico aislada, la molécula de ácido nucleico codifica la proteína IRTA5 humana.
- En otra realización preferida, las moléculas de ácido nucleico aisladas descritas están unidas operativamente a un promotor de la transcripción de ADN. En otra realización preferida más de la molécula de ácido nucleico aislada, el promotor comprende un promotor bacteriano, de levadura, de insectos, de planta o de mamífero.
- 25 Se describe un vector que comprende cualquiera de las moléculas de ácido nucleico aisladas descritas anteriormente que codifican la proteína IRTA5, incluyendo pero no limitada a la proteína IRTA5 de mamífero, de las cuales se prefieren la humana y la murina. En un aspecto, el vector es un plásmido.
- Se describe una célula anfitriona que comprende el vector descrito anteriormente que comprende cualquiera de las moléculas de ácido nucleico aisladas descritas anteriormente que codifican la proteína IRTA5.
- 30 Las moléculas de ácido nucleico aisladas en tales vectores pueden estar unidas operativamente a un promotor de la transcripción de ADN. En otro aspecto de la célula anfitriona, se selecciona la célula de un grupo que consiste en una célula bacteriana, una célula vegetal, y una célula de insecto y una célula de mamífero.
- 35 Se proporciona un método para producir un polipéptido (proteína) IRTA que comprende: (a) introducir un vector que comprende un ácido nucleico aislado que codifica una proteína receptora de inmunoglobulina, Asociada a la Translocación de Receptores de la superfamilia de Inmunoglobulinas, IRTA, en una célula anfitriona adecuada; y (b) cultivar la célula resultante con el fin de producir el polipéptido. En realizaciones adicionales, la proteína IRTA producida por el método descrito anteriormente puede ser recuperada y en otra realización más, puede ser purificada total o parcialmente. En una realización, la proteína IRTA es IRTA.
- 40 En una realización adicional, la proteína IRTA puede ser una proteína de mamífero. En otras realizaciones adicionales, la proteína de mamífero puede ser una proteína IRTA humana o de ratón.
- 45 Los genes IRTA (moléculas de ácido nucleico que codifican proteínas IRTA IRTA1, IRTA2, IRTA3, IRTA4 e IRTA5) son útiles para la producción de las proteínas IRTA codificadas de ese modo. Las proteínas IRTA son útiles para la producción de anticuerpos; tales anticuerpos se utilizan como reactivos para el diagnóstico diferencial de los subtipos de linfoma en hematopatología. Los anticuerpos dirigidos contra las proteínas IRTA y que se unen específicamente a las proteínas IRTA también tienen usos terapéuticos, es decir, para dirigirse específicamente a las células tumorales, que pueden ser utilizados y administrados de manera similar a "Rituximab" (un anticuerpo anti-CD20), que es un anticuerpo aprobado por la FDA para el tratamiento de los linfomas positivos para CD20 con recaída (Foon K., *Cancer J.* 6 (5):273). Los anticuerpos anti-IRTA1, anti-IRTA2, anti-IRTA3, anti-IRTA4 y anti-IRTA5 también son marcadores útiles para el aislamiento de subconjuntos específicos de células B en estudios de investigación de la biología de células B normales y tumorales. Por otra parte, los anticuerpos anti-IRTA1, anti-IRTA2, anti-IRTA3, anti-IRTA4 y anti-IRTA5 son reactivos de investigación útiles para estudiar experimentalmente la biología de señalización en las células B normales y tumorales.
- 50 Los métodos para introducir moléculas de ácido nucleico en células son bien conocidos para los expertos en la técnica. Tales métodos incluyen, por ejemplo, el uso de vectores virales y la co-precipitación con fosfato de calcio.

Por consiguiente, las moléculas de ácido nucleico que codifican las proteínas IRTA IRTA1, IRTA2, IRTA3, IRTA4 e IRTA5 se pueden introducir en las células para la producción de estas proteínas IRTA.

Se pueden emplear numerosos vectores para la expresión de las proteínas de la invención IRTA5. Tales vectores, incluyendo los vectores plasmídicos, los vectores cósmidos, los vectores de bacteriófagos y otros virus, son bien conocidos en la técnica. Por ejemplo, una clase de vectores utiliza elementos de ADN que derivan de virus animales tales como virus del papiloma bovino, virus de poliomielitis, adenovirus, virus vaccinia, baculovirus, retrovirus (RSV, MMTV o MoMLV), virus del bosque Semliki o virus SV40. Adicionalmente, las células que han integrado de forma estable el ADN en sus cromosomas se pueden seleccionar introduciendo uno o más marcadores que permiten la selección de células anfitrionas transfectadas. Los marcadores pueden proporcionar, por ejemplo, prototrofía a un anfitrión auxótrofo, resistencia a biocidas o resistencia a metales pesados tales como el cobre. El gen marcador seleccionable puede ser directamente ligado a las secuencias de ADN que se van a expresar, o puede ser introducido en la misma célula por medio de transformación simultánea.

Los elementos reguladores requeridos para la expresión incluyen secuencias promotoras que se van a unir a ARN polimerasa y secuencias de inicio de la transcripción para la unión al ribosoma. También se pueden necesitar elementos adicionales para la síntesis óptima del ARNm. Estos elementos adicionales pueden incluir señales de empalme, así como potenciadores y señales de terminación. Por ejemplo, un vector de expresión bacteriano incluye un promotor tal como el promotor lac y para el inicio de la transcripción la secuencia de Shine-Dalgarno y el codón de inicio AUG. De un modo similar, un vector de expresión eucariótico incluye un promotor heterólogo u homólogo para la ARN polimerasa II, una señal de poliadenilación aguas abajo, el codón de inicio AUG, y un codón de terminación para la separación del ribosoma. Tales vectores se pueden obtener comercialmente o se pueden ensamblar a partir de las secuencias descritas por métodos bien conocidos en la técnica, por ejemplo los métodos descritos anteriormente para construir vectores en general.

Estos vectores se pueden introducir en una célula anfitriona adecuada para formar un sistema vector anfitrión para producir las proteínas de la invención. Los métodos de elaboración de sistemas de vectores anfitriones son bien conocidos por los expertos en la técnica.

Las células anfitrionas adecuadas incluyen, pero no se limitan a, células bacterianas (incluyendo células Gram positivas), células de levadura, células fúngicas, células de insecto y células animales. Las células animales adecuadas incluyen, pero no se limitan a células HeLa, células Cos, células CV1 y diversas células de mamíferos primarias. Se pueden utilizar numerosas células de mamíferos como anfitriones, incluyendo, pero no limitadas a, fibroblastos de ratón, células NIH-3T3, células CHO, células HeLa, células Ltk y células COS. Las células de mamíferos pueden ser transfectadas por métodos bien conocidos en la técnica tales como precipitación con fosfato cálcico, electroporación y microinyección.

Se proporciona una molécula de ácido nucleico aislada que comprende al menos 15 nucleótidos contiguos capaces de hibridar específicamente con una secuencia única incluida dentro de la secuencia de la molécula de ácido nucleico aislada que codifica la proteína IRTA5, que tiene la secuencia de aminoácidos expuesta en la Figura 18E1-18E2. En otros aspectos, las moléculas de ácido nucleico aisladas se marcan con un marcador detectable. En otras realizaciones adicionales de las moléculas de ácido nucleico aisladas, el marcador detectable se selecciona del grupo que consiste en un isótopo radiactivo, enzima, colorante, biotina, una marca fluorescente o una marca quimioluminiscente.

Se describe un método para detectar una neoplasia maligna de las células B o un tipo de neoplasia maligna de las células B en una muestra de un sujeto en donde la neoplasia maligna de las células B comprende una reordenación cromosómica 1q21, que comprende:

a) poner en contacto la muestra de ARN obtenida del sujeto con la molécula de ácido nucleico de al menos 15 nucleótidos contiguos capaces de hibridar específicamente con una secuencia única incluida dentro de la secuencia de un ARN aislado que codifica la proteína IRTA5 humana en condiciones que permiten la hibridación del ARN de la etapa (a) con la molécula de ácido nucleico capaz de hibridar específicamente con una secuencia única incluida dentro de la secuencia de un ARN aislado que codifica la proteína IRTA5 humana, en donde la molécula de ácido nucleico está marcada con un marcador detectable; y b) detectar cualquier hibridación en la etapa (a) en donde la detección de hibridación indica la presencia de neoplasia maligna de las células B o un tipo de neoplasia maligna de las células B en la muestra.

La detección de la hibridación de ARN que codifica las proteínas IRTA indicará que una neoplasia maligna es una neoplasia maligna de las células B. Más específicamente, la detección de hibridación del ARN que codifica la proteína IRTA1 indica que la neoplasia maligna de células B es un linfoma de células B de Tejido Linfóide Asociado a la Mucosa (MALT). La detección de hibridación de ARN que codifica las proteínas IRTA4 e IRTA5 indica que la neoplasia maligna de las células B es un linfoma de células del manto. En una realización del método descrito anteriormente, la neoplasia maligna de células B comprende una reordenación cromosómica 1q21. Un experto utilizará el método descrito anteriormente como ayuda para el diagnóstico junto con otros métodos convencionales de detección/diagnóstico de neoplasias malignas, p. ej., patología de una muestra de tumor, que puede indicar linfoma y a continuación el método descrito anteriormente, restringirá la neoplasia maligna a un linfoma de células B

o más específicamente a un linfoma de células B MALT) o un linfoma de células del manto como se ha discutido anteriormente.

Un experto en la técnica está familiarizado con los métodos conocidos de detección de hibridación de moléculas de ácido nucleico con oligonucleótidos de ácido nucleico, es decir, sondas de ácido nucleico que codifican una proteína de interés para métodos de diagnóstico. Las moléculas de ácido nucleico que codifican las proteínas IRTA de la

5 presente invención son útiles para detectar neoplasias malignas de las células B. Un experto en la técnica reconocerá que las variaciones del método descrito anteriormente para la detección de una neoplasia maligna de las células B en una muestra incluyen, pero no se limitan a, digestión del ácido nucleico de la muestra con enzimas de restricción y separación de los fragmentos de la molécula de ácido nucleico así obtenidos por medio de fraccionamiento por tamaños antes de la hibridación.

10 En un aspecto del método descrito anteriormente para la detección de una neoplasia maligna de células B en una muestra de un sujeto, el marcador detectable es un isótopo radiactivo, una enzima, un colorante, biotina, una marca fluorescente o una marca quimioluminiscente. En una realización preferida que se define en las reivindicaciones, la neoplasia maligna de células B se selecciona del grupo que consiste en linfoma de células B, mieloma múltiple, linfoma de Burkitt, linfoma de la zona marginal, linfoma difuso de células grandes y linfoma de las células foliculares. 15 En una realización, el linfoma de células B es linfoma de células B del Tejido Linfoide Asociado a la Mucosa (MALT). En otra realización preferida, el linfoma de células B es linfoma no Hodgkin.

20 También se proporciona un oligonucleótido antisentido que tiene una secuencia capaz de hibridar específicamente con una molécula de ARNm que codifica una proteína IRTA5 humana con el fin de evitar la expresión en exceso de la molécula de ARNm.

En una realización de cualquiera de los oligonucleótidos de moléculas de ácido nucleico descritos anteriormente que codifican la proteína IRTA5, el ácido nucleico puede ser ADN genómico o ADNc.

25 Un experto en la técnica está familiarizado con los mecanismos convencionales para la hibridación de ácido nucleico de oligonucleótidos, por ejemplo, Ausubel, F.M. et al. Current Protocols in Molecular Biology, (John Wiley & Sons, Nueva York, 1998), por ejemplo condiciones restrictivas de 65°C en presencia de una concentración de sal elevada. Tales condiciones se utilizan para la hibridación de ácido nucleico completamente complementario, mientras que las condiciones que no son restrictivas se utilizan para la hibridación de ácidos nucleicos que no son totalmente complementarios.

30 Según se utiliza en la presente memoria, la frase "hibridar específicamente" representa la capacidad de una molécula de ácido nucleico para reconocer una secuencia de ácido nucleico complementaria a ella misma y para formar segmentos de doble hélice mediante enlaces de hidrógeno entre pares de bases complementarias. Según se utiliza en la presente memoria, una "secuencia única" es una secuencia específica sólo para las moléculas de ácido nucleico que codifican la proteína IRTA5. La tecnología de sondas de ácido nucleico es bien conocida para los expertos en la técnica que apreciarán fácilmente que tales sondas pueden variar mucho de longitud y pueden estar 35 marcadas con una marca detectable, tal como un radioisótopo o colorante fluorescente, para facilitar la detección de la sonda. La detección de moléculas de ácido nucleico que codifican la proteína IRTA5 es útil como prueba de diagnóstico para cualquier proceso de enfermedad en el que los niveles de expresión de la proteína IRTA5 correspondiente están alterados. Las moléculas de sonda de ADN se producen mediante la inserción de una molécula de ADN que codifica la proteína IRTA5 de mamífero o sus fragmentos en vectores adecuados, tales como 40 plásmidos o bacteriófagos, seguido de la inserción en las células anfitrionas bacterianas adecuadas y la replicación y la recolección de las sondas de ADN, todo ello utilizando bien los métodos conocidos en la técnica. Por ejemplo, el ADN puede ser extraído de un producto lisado celular utilizando fenol y etanol, digerido con las enzimas de restricción correspondientes a los sitios de inserción del ADN en el vector (comentado en la presente memoria), sometido a electroforesis, y separado por corte del gel resultante. Las sondas de oligonucleótidos son útiles para la 45 hibridación 'in situ' o con el fin de localizar tejidos que expresan esta familia de genes IRTA, y para otros análisis de hibridación para determinar la presencia de estos genes (moléculas de ácido nucleico que codifican proteínas IRTA5) o su ARNm en diversos tejidos biológicos. Adicionalmente, los oligonucleótidos sintetizados (producidos por un sintetizador de ADN) complementarios a la secuencia de una molécula de ADN que codifica una proteína IRTA5 50 son útiles como sondas para estos genes, para su ARNm asociado, o para el aislamiento de genes relacionados por escrutinio de homología de bibliotecas genómicas o de ADNc, o mediante el uso de técnicas de amplificación tales como la Reacción en Cadena de la Polimerasa.

Esta invención proporciona una proteína IRTA5 purificada que comprende la secuencia de aminoácidos expuesta en las Figuras 18E-1-18E-2 (SEQ ID NO: 9). En una realización de la proteína IRTA5 purificada, la proteína IRTA5 es IRTA5 humana.

55 Con el fin de facilitar la comprensión de la sección de Detalles Experimentales siguiente, ciertos métodos y/o términos que aparecen con frecuencia se describen mejor en Sambrook, et al. (1989) y Harlow y Lane Antibodies: A Laboratory Manual, Cold Spring Harbor Laboratories, Cold Spring Harbor, Nueva York: 1988.

Esta invención proporciona uno o varios anticuerpos dirigidos a un epítopo de proteína IRTA5 purificada, o uno o

varios fragmentos de los mismos, que tienen la secuencia de aminoácidos expuesta en las Figuras 18E-1-18E-2.

Según se utiliza en la presente memoria, el término "anticuerpo" incluye, pero no se limita a, anticuerpos tanto de origen natural como de origen no natural. Específicamente, el término "anticuerpo" incluye anticuerpos policlonales y monoclonales, y fragmentos de unión de los mismos. Además, el término "anticuerpo" incluye anticuerpos químéricos y anticuerpos completamente sintéticos, y fragmentos de los mismos. Los anticuerpos policlonales y monoclonales pueden ser "purificados", lo que significa que los anticuerpos policlonales y monoclonales están libres de cualquier otro anticuerpo. Según se utiliza en la presente memoria, anticuerpo parcialmente purificado significa una composición de anticuerpos que comprende anticuerpos que se unen específicamente a la proteína IRTA de la invención sujeto, y consta de menos impurezas de proteína que el suero del cual derivan los anticuerpos. Una impureza de proteína es una proteína distinta de los anticuerpos específicos para la proteína IRTA de la presente invención. Por ejemplo, los anticuerpos parcialmente purificados pueden ser una preparación de IgG.

Los anticuerpos policlonales (anticuerpos anti-IRTA) se pueden producir mediante la inyección a un animal anfitrión tal como un conejo, rata, cabra, ratón u otro animal del inmunógeno o los inmunógenos de esta invención, por ejemplo, una IRTA5 humana purificada descrita más abajo. Los sueros se extraen del animal anfitrión y se escrutan para obtener anticuerpos policlonales que son específicos para el inmunógeno. Los métodos de escrutinio de anticuerpos policlonales son bien conocidos para los expertos normales en la técnica tales como los descritos en Harlow y Lane Antibodies: A Laboratory Manual, (Cold Spring Harbor Laboratories, Cold Spring Harbor, Nueva York: 1988)

Los anticuerpos monoclonales anti-IRTA de la presente invención pueden ser producidos mediante la inmunización, por ejemplo, de ratones con un inmunógeno (el polipéptido IRTA o fragmentos del mismo descritos en la presente memoria). A los ratones se les inocula por vía intraperitoneal una cantidad inmunogénica del inmunógeno descrito anteriormente y a continuación se refuerza con cantidades similares de inmunógeno. Se recogen los bazo de los ratones inmunizados unos pocos días después del refuerzo final y se prepara una suspensión de células a partir de los bazos para su uso en la fusión.

Los hibridomas se pueden preparar a partir de los esplenocitos y un compañero tumoral murino utilizando la técnica de hibridación de células somáticas general de Kohler, B. y Milstein, C., Nature (1975) 256: 495-497. Se pueden utilizar en la hibridación las líneas de mieloma murino disponibles, tales como las de la Colección Americana de Cultivos Tipo (ATCC), 10801 University Boulevard, Manassas, VA 20110-2209, USA. Básicamente, la técnica implica la fusión de las células tumorales y los esplenocitos utilizando un fusógeno tal como polietilenglicol. Después de la fusión las células se separan del medio de fusión y se cultivan en un medio de crecimiento selectivo, tal como medio HAT, para eliminar células parentales no hibridadas. Los hibridomas se pueden expandir, si se desea, y los sobrenadantes se pueden analizar por procedimientos de inmunoanálisis convencionales, por ejemplo radioinmunoanálisis, utilizando el agente inmunizante como antígeno. Los clones positivos se pueden caracterizar adicionalmente para determinar si satisfacen los criterios de los anticuerpos de la invención.

Los hibridomas que producen tales anticuerpos se pueden hacer crecer *in vitro* o *in vivo* utilizando procedimientos conocidos. Los anticuerpos monoclonales se pueden aislar de los medios de cultivo o de los fluidos corporales, según corresponda, por medio de procedimientos de purificación de inmunoglobulinas convencionales tales como precipitación con sulfato de amonio, electroforesis en gel, diálsis, cromatografía y ultrafiltración, si se desea.

En la práctica de la presente invención cualquiera de los anticuerpos descritos anteriormente se puede marcar con un marcador detectable. En una realización, el anticuerpo marcado es un anticuerpo marcado purificado. El término "anticuerpo" incluye, a modo de ejemplo, anticuerpos tanto naturales como no naturales. Específicamente, el término "anticuerpo" incluye anticuerpos policlonales y monoclonales, y fragmentos de los mismos. Además, el término "anticuerpo" incluye anticuerpos químéricos y anticuerpos completamente sintéticos, y fragmentos de los mismos. Los "radicales detectables" que funcionan como marcas detectables son bien conocidos para los expertos en la técnica e incluyen, pero no se limitan a, una marca fluorescente, un átomo radiactivo, un ion paramagnético, biotina, una marca quimioluminiscente o una marca que se puede detectar a través de una etapa enzimática secundaria o de unión. La etapa enzimática secundaria o de unión puede comprender el uso de digoxigenina, fosfatasa alcalina, peroxidasa de rábano picante, β -galactosidasa, fluoresceína o estreptavidina/biotina. Los métodos de marcaje de anticuerpos son bien conocidos en la técnica.

Los métodos de recuperación de suero de un sujeto son bien conocidos por los expertos en la técnica. Los métodos de purificación parcial de anticuerpos también son bien conocidos por los expertos en la técnica, e incluyen, a modo de ejemplo, filtración, cromatografía de intercambio iónico, y precipitación.

Los anticuerpos policlonales y monoclonales de la invención se pueden marcar con un marcador detectable. En una realización, el anticuerpo marcado es un anticuerpo marcado purificado. El marcador detectable puede ser, por ejemplo, un marcador radiactivo o fluorescente. Los métodos de marcaje de anticuerpos son bien conocidos en la técnica.

La determinación de si los anticuerpos policlonales y monoclonales de la presente invención se unen a las células, por ejemplo, células cancerosas, que expresan una proteína IRTA y forman un complejo con una o más de las

proteínas IRTA descritas en la presente memoria, o fragmentos de las mismas, en la superficie de dichas células, se puede llevar a cabo de acuerdo con métodos bien conocidos por los expertos en la técnica. En la realización preferida, la determinación se lleva a cabo de acuerdo con métodos de citometría de flujo.

5 Los anticuerpos de la presente invención pueden estar unidos a una matriz insoluble tal como la utilizada en la cromatografía de afinidad. Las células que forman un complejo, es decir, se unen, con el anticuerpo polyclonal o monoclonal inmovilizado se pueden aislar por medio de métodos convencionales bien conocidos por los expertos en la técnica. Por ejemplo, el aislamiento puede comprender cromatografía de afinidad utilizando el anticuerpo inmovilizado.

10 Alternativamente, el anticuerpo puede ser un anticuerpo libre. En este caso, el aislamiento puede comprender la clasificación de células utilizando anticuerpos primarios o secundarios marcados. Tales métodos de clasificación de células son convencionales y son bien conocidos para los expertos en la técnica.

Esta invención proporciona un anticuerpo dirigido a proteína IRTA5 purificada.

15 En una realización preferida del anticuerpo anti-IRTA, la proteína IRTA es una proteína IRTA humana. La proteína IRTA puede ser cualquier proteína IRTA de mamífero, incluyendo una proteína IRTA murina. En una realización adicional de cualquiera de los anticuerpos descritos anteriormente, el anticuerpo es un anticuerpo monoclonal. En otra realización, el anticuerpo monoclonal es un anticuerpo monoclonal murino o un anticuerpo monoclonal humanizado. Según se utiliza en la presente memoria, "humanizado" representa un anticuerpo que tiene características de un anticuerpo humano, siendo dicho anticuerpo de origen no natural, pero creado utilizando técnicas de hibridoma en las que el anticuerpo es de origen humano, excepto para la porción determinante 20 antigénica, que es murina. En otra realización más, el anticuerpo es un anticuerpo polyclonal.

En realizaciones preferidas, cualquiera de los anticuerpos de la presente invención se puede conjugar con un agente terapéutico. En otras realizaciones preferidas, el agente terapéutico es un radioisótopo, una toxina, un toxoide o un agente quimioterapéutico. Los anticuerpos conjugados de la presente invención se pueden administrar a un sujeto que tiene un cáncer de células B mediante cualquiera de los métodos proporcionados a continuación.

25 Esta invención proporciona una composición farmacéutica que comprende una cantidad del anticuerpo dirigido a proteína IRTA5 eficaz para unirse a las células cancerosas que expresan la proteína IRTA5 con el fin de prevenir el crecimiento de las células cancerosas y un vehículo farmacéuticamente aceptable. El anticuerpo anti-IRTA puede estar dirigido a un epítopo de la proteína IRTA5.

La proteína IRTA puede ser una proteína IRTA humana o de ratón.

30 En realizaciones preferidas de la composición farmacéutica descrita anteriormente, las células cancerosas se seleccionan del grupo que consiste en células de linfoma de células B, de mieloma múltiple, de linfoma de células del manto, de linfoma de Burkitt, de linfoma de la zona marginal, de linfoma difuso de células grandes y de linfoma folicular. En otra realización preferida de la composición farmacéutica, las células de linfoma de células B son células de linfoma de células B de Tejido Linfoide Asociado a la Mucosa (MALT). En otra realización preferida de la composición farmacéutica, las células de linfoma de células B son células de linfoma no Hodgkin.

35 Se describe una composición farmacéutica que comprende una cantidad de cualquiera de los oligonucleótidos descritos anteriormente eficaz para prevenir la expresión en exceso de una proteína IRTA humana y un portador farmacéuticamente aceptable idóneo. En realizaciones preferidas de la composición farmacéutica el oligonucleótido es una molécula de ácido nucleico que codifica una proteína IRTA5.

40 La proteína IRTA puede ser una proteína IRTA humana o de ratón.

Según se utiliza en la presente memoria, "neoplasia maligna" significa susceptible de metastatizar. Según se utiliza en la presente memoria, "células tumorales" son las células que se originan a partir de un tumor, es decir, a partir de un nuevo crecimiento de tejido diferente o anormal. Las células tumorales y las células cancerosas pueden existir como parte de la masa tumoral, o pueden existir como células que flotan libremente, desprendidas de la masa tumoral a partir de la cual se originan.

45 Según se utiliza en la presente memoria, las células malignas incluyen, pero no se limitan en modo alguno a, linfoma de células B, mieloma múltiple, linfoma de Burkitt, linfoma de células del manto, linfoma de la zona marginal, linfoma difuso de células grandes y linfoma folicular. El linfoma de células B es linfoma de células B de Tejido Linfoide Asociado a la Mucosa (MALT) o es linfoma no Hodgkin.

50 Según se utiliza en la presente memoria, "sujeto" es cualquier animal o animal modificado artificialmente. Los animales modificados artificialmente incluyen, pero no se limitan a, ratones SCID con sistemas inmunitarios humanos. En una realización preferida, el sujeto es un ser humano.

Esta invención proporciona un método de diagnóstico de neoplasia maligna de células B que comprende una reordenación cromosómica 1q21 en una muestra de un sujeto que comprende:

a) poner en contacto la muestra obtenida del sujeto con un anticuerpo dirigido a la proteína IRTA5 purificada capaz de unirse específicamente con proteína IRTA5 humana sobre una superficie celular de una célula cancerosa en condiciones que permiten la unión del anticuerpo con proteína IRTA5 humana sobre la superficie celular de la célula cancerosa, en donde el anticuerpo está marcado con un marcador detectable; y b) detectar cualquier unión en la etapa (a), en donde la detección de unión indica un diagnóstico de neoplasia maligna de células B en la muestra.

5 En una realización del método de diagnóstico descrito anteriormente de neoplasia maligna de células B, la proteína IRTA es IRTA5. En otra realización del método, la proteína IRTA es la proteína IRTA humana o de ratón. En una realización adicional la proteína IRTA es purificada. En una realización preferida de este método, la neoplasia maligna de células B se selecciona entre el grupo que consiste en linfoma de células B, mieloma múltiple, linfoma de Burkitt, linfoma de la zona marginal, linfoma difuso de células grandes y linfoma folicular. En otra realización más de este método, el linfoma de células B es linfoma de células B de Tejido Linfoide Asociado a la Mucosa (MALT). En otra realización preferida de este método, el linfoma de células B es linfoma no Hodgkin.

10 Se describe un método para detectar la proteína IRTA humana en una muestra que comprende: a) poner en contacto la muestra con cualquiera de los anticuerpos anti-IRTA descritos anteriormente bajo condiciones que permitan la formación de un complejo entre el anticuerpo y la IRTA en la muestra; y b) detectar el complejo formado en la etapa (a), detectando de ese modo la presencia de IRTA humana en la muestra. En una realización la proteína IRTA detectada puede ser una proteína IRTA5, que tiene una secuencia de aminoácidos expuesta en las Figuras 18E-1-18E-2. Como se ha descrito anteriormente en este documento, la detección del complejo formado se puede conseguir mediante el uso de anticuerpos marcados con un marcador detectable y la determinación de la presencia 15 de complejo marcado.

20 La detección de la proteína IRTA humana en una muestra de un sujeto es otro método de diagnóstico de neoplasia maligna de células B en un sujeto. En una realización de este método de diagnóstico, la neoplasia maligna de células B se selecciona del grupo que consiste en linfoma de células B, mieloma múltiple, linfoma de Burkitt, linfoma de la zona marginal, linfoma difuso de células grandes y linfoma folicular. En otra realización adicional de este 25 método, el linfoma de células B es linfoma de células B de Tejido Linfoide Asociado a la Mucosa (MALT). En otra realización preferida de este método, el linfoma de células B es linfoma no Hodgkin.

30 Esta invención proporciona el uso de un tratamiento de un sujeto que tiene un cáncer de células B, que comprende administrar al sujeto una cantidad de anticuerpo anti-IRTA eficaz para unirse a las células cancerosas que expresan una proteína IRTA con el fin de evitar el crecimiento de las células cancerosas y un portador farmacéuticamente aceptable, tratando de este modo al sujeto. El crecimiento y la proliferación de las células cancerosas es inhibido de ese modo y las células cancerosas mueren. En una realización de la utilización anteriormente descrita, la proteína IRTA es IRTA5 humana. En una realización preferida de uso descrita anteriormente para tratamiento de un sujeto que tiene un cáncer de células B, el anticuerpo anti-IRTA es un anticuerpo monoclonal. En otra realización del método, el anticuerpo monoclonal es un anticuerpo monoclonal murino o un anticuerpo monoclonal humanizado. El 35 anticuerpo puede ser un anticuerpo químico. En una realización adicional, el anticuerpo anti-IRTA es un anticuerpo policlonal. En una realización, el anticuerpo policlonal puede ser un anticuerpo policlonal murino o humano. En una realización preferida, el cáncer de células B se selecciona del grupo que consiste en linfoma de células B, mieloma múltiple, linfoma de Burkitt, linfoma de células del manto, linfoma de la zona marginal, linfoma difuso de células grandes y linfoma folicular. En otra realización preferida, el linfoma de células B es linfoma de células B de Tejido 40 Linfoide Asociado a la Mucosa (MALT). En una realización preferida adicional, el linfoma de células B es linfoma no Hodgkin. En una realización preferida del método de tratamiento de un sujeto que tiene un cáncer de células B descrito anteriormente, la administración de la cantidad de anticuerpo anti-IRTA eficaz para unirse a las células cancerosas que expresan una proteína IRTA es mediante liberación intravenosa, intraperitoneal, intratecal, intralinfática, intramuscular, intralesional, parenteral, epidural, subcutánea; por infusión, por medio de liberación 45 mediada por liposomas, liberación en aerosol; tópica, oral, nasal, anal, ocular u ótica. En otra realización preferida de los métodos descritos anteriormente, el anticuerpo anti-IRTA se puede conjugar con un agente terapéutico. En otras realizaciones preferidas, el agente terapéutico es un radioisótopo, una toxina, un toxoide o un agente quimioterapéutico.

50 Se describe un uso para tratar a un sujeto que tiene un cáncer de células B, que comprende administrar al sujeto una cantidad de un oligonucleótido antisentido que tiene una secuencia capaz de hibridar específicamente con una molécula de ARNm que codifica una proteína IRTA humana con el fin de evitar la expresión en exceso de la proteína IRTA humana, con el fin de detener el crecimiento celular o de inducir la muerte celular de las células cancerosas que expresan la proteína o las proteínas IRTA y un portador farmacéuticamente aceptable, por el que se trata al sujeto.

55 En una realización de la utilización descrita anteriormente para el tratamiento de un sujeto que tiene un cáncer de células B, la proteína IRTA es la proteína IRTA5 humana. En una realización preferida, el cáncer de células B se selecciona del grupo que consiste en linfoma de células B, mieloma múltiple, linfoma de Burkitt, linfoma de la zona marginal, linfoma difuso de células grandes y linfoma folicular. En otra realización preferida, el linfoma de células B es linfoma de células B de Tejido Linfoide Asociado a la Mucosa (MALT). En otra realización preferida más, el linfoma de células B es linfoma no Hodgkin. En realizaciones de cualquiera de los oligonucleótidos descritos 60 anteriormente de moléculas de ácido nucleico que codifican la proteína IRTA5, el ácido nucleico puede ser ADN

genómico o ADNc. En una realización adicional preferida del método descrito anteriormente para tratar un sujeto que tiene un cáncer de células B, la administración de la cantidad de oligonucleótido eficaz para prevenir la expresión en exceso de la proteína IRTA humana mediante liberación es intravenosa, intraperitoneal, intratecal, intralinfática, intramuscular, intralesional, parenteral, epidural, subcutánea; por infusión, mediante liberación mediada por liposomas, liberación en aerosol; tópica, oral, nasal, anal, ocular u ótica. En una realización de los métodos descritos anteriormente, el oligonucleótido se puede conjugar con un agente terapéutico. En otras realizaciones preferidas, el agente terapéutico es un radioisótopo, una toxina, un toxoide o un agente quimioterapéutico.

La invención también proporciona una composición farmacéutica que comprende una cantidad eficaz de los oligonucleótidos o de los anticuerpos descritos anteriormente y un portador farmacéuticamente aceptable. En la invención sujeto una "cantidad eficaz" es cualquier cantidad de un oligonucleótido o un anticuerpo que, cuando se administra a un sujeto que padece una enfermedad o anomalía contra las que el oligonucleótido o anticuerpo son eficaces, causa una reducción, remisión o regresión de la enfermedad o anomalía. En la práctica de esta invención, el "portador farmacéuticamente aceptable" es cualquier portador fisiológico conocido para los expertos normales en la técnica útil en la formulación de composiciones farmacéuticas.

Los portadores farmacéuticamente aceptables son bien conocidos para los expertos en la técnica e incluyen, pero no se limitan a tampón fosfato 0,01-0,1 M y preferiblemente 0,05 M o solución salina al 0,8%. Adicionalmente, tales portadores farmacéuticamente aceptables pueden ser soluciones, suspensiones, y emulsiones acuosas o no acuosas. Los ejemplos de disolventes no acuosos son propilenglicol, polietilenglicol, aceites vegetales tales como aceite de oliva, y ésteres orgánicos inyectables tales como oleato de etilo. Los portadores acuosos incluyen agua, soluciones, emulsiones o suspensiones alcohólicas/acuosas, incluyendo solución salina y medios tamponados. Los portadores parenterales incluyen solución de cloruro sódico, dextrosa de Ringer, dextrosa y cloruro sódico, solución de Ringer con lactato añadido o aceites fijados. Los vehículos intravenosos incluyen fluidos y reponedores de nutrientes, reponedores de electrolitos tales como los basados en dextrosa de Ringer, y similares. También pueden estar presentes otros aditivos, tales como, por ejemplo, antimicrobianos, antioxidantes, agentes quelantes, gases inertes y similares.

En una realización preferida, el portador farmacéutico puede ser un líquido y la composición farmacéutica estaría en forma de una solución. En otra realización igualmente preferida, el portador farmacéuticamente aceptable es un sólido y la composición está en la forma de un polvo o un comprimido. En una realización adicional, el portador farmacéutico es un gel y la composición está en forma de un suppositorio o una crema. En una realización adicional, el compuesto se puede formular como parte de un parche transdérmico farmacéuticamente aceptable.

Un portador sólido puede incluir una o más sustancias que también pueden actuar como agentes aromatizantes, lubricantes, solubilizantes, agentes de suspensión, cargas, antiapelmazantes, coadyuvantes de compresión, aglutinantes o agentes disgregantes de comprimidos; también puede ser un material encapsulante. En los polvos, el portador es un sólido finamente dividido que está mezclado con el ingrediente activo finamente dividido. En los comprimidos, el ingrediente activo se mezcla con un portador que tiene las propiedades de compresión necesarias en proporciones adecuadas y se compacta en la forma y el tamaño deseados. Los polvos y los comprimidos contienen preferiblemente hasta 9,9% del ingrediente activo. Los portadores sólidos adecuados incluyen, por ejemplo, fosfato de calcio, estearato de magnesio, talco, azúcares, lactosa, dextrina, almidón, gelatina, celulosa, polivinilpirrolidina, ceras de bajo punto de fusión y resinas de intercambio iónico.

Los portadores líquidos se utilizan en la preparación de soluciones, suspensiones, emulsiones, jarabes, elixires y composiciones presurizadas. El ingrediente activo se puede disolver o suspender en un portador líquido farmacéuticamente aceptable tal como agua, un disolvente orgánico, una mezcla de ambos o aceites o grasas farmacéuticamente aceptables. El portador líquido puede contener otros aditivos farmacéuticos adecuados tales como solubilizantes, emulsionantes, tampones, conservantes, edulcorantes, agentes aromatizantes, agentes de suspensión, agentes espesantes, colorantes, reguladores de la viscosidad, estabilizantes u osmorreguladores. Los ejemplos adecuados de portadores líquidos para administración oral y parenteral incluyen agua (que contiene parcialmente aditivos como los anteriores, p. ej., derivados de celulosa, preferentemente solución de carboximetilcelulosa sódica), alcoholes (incluyendo alcoholes monohidroxilados y alcoholes polihidroxilados, p. ej. glicoles) y sus derivados, y aceites (p. ej., aceite de coco fraccionado y aceite de cacahuete). Para la administración parenteral, el portador también puede ser un éster oleoso tal como oleato de etilo y miristato de isopropiólo. Los portadores líquidos estériles son útiles en composiciones estériles en forma líquida para la administración parenteral. El portador líquido para composiciones presurizadas puede ser un hidrocarburo halogenado u otro propelente farmacéuticamente aceptable.

Las composiciones farmacéuticas líquidas que son soluciones o suspensiones estériles se pueden utilizar, por ejemplo, mediante inyección intramuscular, intratecal, epidural, intraperitoneal o subcutánea. Las soluciones estériles también se pueden administrar por vía intravenosa. Los compuestos se pueden preparar como una composición sólida estéril que se puede disolver o suspender en el momento de la administración utilizando agua estéril, solución salina, u otro medio inyectable estéril apropiado. Se pretende que los portadores incluyan los aglutinantes, agentes de suspensión, lubricantes, aromatizantes, edulcorantes, conservantes, colorantes, y recubrimientos necesarios e inertes.

La composición farmacéutica que comprende el oligonucleótido o el anticuerpo se puede administrar oralmente en forma de una solución o suspensión estéril que contiene otros solutos o agentes de suspensión, por ejemplo, suficiente solución salina o glucosa para hacer la solución isotónica, sales biliares, acacia, gelatina, monoleato de sorbitán, polisorbato 80 (ésteres oleato de sorbitol y sus anhídridos copolimerizados con óxido de etíleno) y similares.

La composición farmacéutica que comprende el oligonucleótido o el anticuerpo también se puede administrar por vía oral en forma de una composición líquida o sólida. Las composiciones adecuadas para administración oral incluyen formas sólidas, tales como píldoras, cápsulas, gránulos, comprimidos y polvos, y formas líquidas, tales como soluciones, jarabes, elixires, y suspensiones. Las formas útiles para la administración parenteral incluyen soluciones, emulsiones, y suspensiones estériles.

Las dosificaciones óptimas que se van a administrar pueden ser determinadas por los expertos en la técnica, y variarán con el inhibidor concreto en uso, la fuerza de la preparación, el modo de administración, y el progreso del estado de enfermedad o anomalía. Otros factores que dependen del sujeto concreto a tratar darán como resultado la necesidad de ajustar las dosificaciones, incluyendo la edad del sujeto, el peso, el sexo, la dieta y el tiempo de administración.

Esta invención se entenderá mejor a partir de los Detalles Experimentales siguientes. Sin embargo, un experto en la técnica apreciará fácilmente que los métodos y resultados específicos comentados son meramente ilustrativos de la invención como se describe más completamente en las reivindicaciones siguientes.

Detalles experimentales

20 Primera serie de experimentos

El análisis molecular de las translocaciones cromosómicas asociadas con el mieloma múltiple (MM) ha indicado que la patogénesis de esta neoplasia maligna puede ser heterogénea, estando asociada con varios oncogenes distintos incluyendo BCL-1, MUM-1 y FGFR3. Las anomalías estructurales del cromosoma 1q21, incluyendo las translocaciones con el cromosoma 14q32, representan aberraciones citogenéticas frecuentes asociadas con el mieloma múltiple. Con el fin de identificar los genes implicados en estas translocaciones, se clonaron las regiones del punto de rotura correspondientes a ambos derivados de una t(1;14)(q21;q32) detectable en la línea celular de plasmacitoma humano FR4. El análisis de las secuencias del punto de rotura mostró que implicaban una recombinación recíproca entre el locus de la cadena pesada de inmunoglobulina (IgH) en 14q32 y secuencias desconocidas en 1q21. El locus normal correspondiente a la región 1q21 implicada en la translocación se clonó y se identificaron los genes adyacentes a la región del punto de rotura por medio de una estrategia de captura del exón. Se encontraron dos genes, localizados a una distancia de 20 Kb entre sí, en la región que abarcaba el punto de rotura en 1q21. El primer gen, denominado MUM-2 (mieloma múltiple 2) se expresa como un transcripto de ARNm de 2,5 Kb detectable en el bazo y los ganglios linfáticos. La clonación y secuenciación del ADNc de MUM-2 completo pronostica una glicoproteína de la superficie celular de 515 aminoácidos que contiene cuatro dominios de tipo Ig extracelulares, uno transmembrana y un dominio citoplasmático y que comparten 37% de identidad (51% de homología) con el receptor I gamma de Fc sobre sus tres primeros dominios extracelulares. En las células FR4, los puntos de rotura de la translocación interrumpen el dominio codificante de MUM-2 y lo yuxtaponen al locus IgH en la misma orientación transcripcional. Como consecuencia, los transcriptos MUM-2 específicos de FR4 estructuralmente anormales (3,0, 5,2 y 6,0 Kb) en los ganglios linfáticos y el bazo codifican una proteína con un dominio extracelular que contiene seis dominios de tipo Ig homólogos a los miembros de las familias de receptores Fc gamma y de adherencia de tipo Ig. La estructura de los genes MUM-2 y MUM-3 y su participación directa en una translocación asociada a MM sugieren que estos genes codifican los receptores de la superficie celular novedosos importantes para la función de los linfocitos normales y las neoplasias malignas de las células B.

Segunda serie de experimentos

45 Procedimientos experimentales

Líneas celulares

Las líneas celulares de MM utilizadas en este estudio (FR4, U266, JJN3, EJM, SKMM1, RPMI-8226, XG1, XG2, XG4, XG6, XG7) han sido referidas previamente (Tagawa et al., 1990), (Jernberg et al., 1987), (Hamilton et al., 1990; Jackson et al., 1989), (Eton et al., 1989), (Zhang et al., 1994). La línea celular FR4 se estableció en el laboratorio de uno de los autores (S.T.). Las líneas celulares U266, JJN3 y EJM fueron donaciones del Dr. K. Nilsson (Universidad de Uppsala, Uppsala, Suecia) y la línea celular SKMM-1 fue una donación A.N. Houghton (Memorial Sloan Kettering Cancer Center, Nueva York, NY). Las cinco líneas de células XG se obtuvieron del Dr. Bernard Klein y se cultivaron en presencia de 1 ng/ml de IL-6 humana recombinante como se ha descrito previamente (Zhang et al., 1994). Las líneas celulares BL con anomalías 1q21 se han descrito previamente (Polito et al., 1995), (Magrath et al., 1980) y se cultivaron en RPMI, FCS al 10%.

Selección de la biblioteca genómica y de ADNc y análisis de la secuencia de ADN

Se construyeron dos bibliotecas genómicas a partir de ADN genómico de FR4 por medio de digestión completa con BamHI o por medio de digestión parcial con Sau3AI y posterior ligación de las fracciones purificadas en gel en el vector de fago 1DASH-II (Stratagene). La biblioteca de BamHI se escrutó con una sonda Xhol-BamHI de 4,2 kb

5 derivada del locus de Ca y la biblioteca Sau3AI se escrutó con una sonda 5'Sa descrita previamente (Bergsagel et al., 1996). Se escrutó una biblioteca de ADN de placenta humana (Stratagene) con una sonda 1.0EH (Figuras 8A-10 8C) para obtener el locus 1q21 de la línea germinal. El escrutinio de la biblioteca y el aislamiento de la placa se llevaron a cabo de acuerdo con los procedimientos establecidos (Sambrook et al., 1989). Los clones de ADNc de *IRTA1* e *IRTA2* se aislaron a partir de una biblioteca de ADNc oligo-dT/cebada al azar construida a partir de ARN de bazo humano normal (Clontech). La sonda de ADNc de *IRTA1* utilizada para el escrutinio de la biblioteca se obtuvo a partir de la RT-PCR de ADNc de bazo humano utilizando los cebadores que flanquean los exones 1 y 3. La secuenciación del ADN se llevó a cabo en un secuenciador automatizado ABI 373 (Applied Biosystems). Las búsquedas de homología de secuencia se llevaron a cabo a través del servidor de correo electrónico BLAST en el Centro Nacional de Información Biotecnológica, Bethesda, MD.

15 Aislamiento de PAC y YAC y captura de exones

Los clones de PAC humanos se obtuvieron mediante escrutinio de una biblioteca PAC humana aplicada sobre membranas de nailon (Research Genetics), con la sonda de 1,0 EH (Figuras 8A-8C). Se escrutó la biblioteca de YAC humanos Zeneca (antes ICI) (Anand et al., 1990) obtenida del United Kingdom Human Genome Mapping Resource center (UK-HGMP) utilizando una estrategia de agrupamiento basada en la PCR. La captura de exones se realizó utilizando el sistema de captura de exones (Gibco BRL), de acuerdo con las instrucciones del fabricante.

20 Aislamiento de clones finales de PAC/YAC, electroforesis en gel de campo pulsado (PFGE) y análisis de hibridación con fluorescencia *in situ* (FISH)

La extracción de ADN de PAC se realizó de acuerdo con los métodos de lisis alcalina convencionales (Drakopoli N et al., 1996). Se utilizó un método de PCR vectorette para aislar sondas terminales de PAC y YAC (Riley et al., 1990), como se ha descrito previamente (Iida et al., 1996). El análisis de PFGE se realizó de acuerdo con protocolos convencionales (Drakopoli N et al., 1996) utilizando el sistema CHEF Mapper (BioRad, Hercules, CA). El marcaje con biotina del ADN de PAC, la preparación de cromosomas y FISH se realizaron como se ha descrito previamente (Rao et al., 1993).

Análisis de transferencia Southern y Northern, RACE y RT-PCR

30 Los análisis de transferencia Southern y Northern se realizaron como se ha descrito previamente (Neri et al., 1991). Para los análisis de transferencia Northern se preparó el ARN total por el método del tiocianato de guanidinio y se seleccionó el ARN poli(A) utilizando cuentas recubiertas con poli(T) (Kit Oligotex de Qiagen). Para las transferencias Northern, se cargaron 2 mg de ARN poli(A) por calle. Se obtuvieron filtros Northern de múltiples tejidos de Clontech. La RACE se realizó utilizando el kit de Amplificación de ADNc Marathon (Clontech) y ADNc de bazo Marathon-Ready. La síntesis de la primera hebra de ADNc se realizó utilizando el sistema SuperScript RT-PCR (Gibco BRL).

Hibridación *in situ*

40 Se transcribieron sondas de ARNc antisentido y efectoras que contenían digoxigenina con ARN polimerasa T3 y T7, respectivamente, a partir de plásmidos pBluescript KS+ linealizados que contenían la región codificante de los ADNc (nucleótidos 62-1681 de *IRTA1* y 18 a 2996 de *IRTA2*). Se congeló instantáneamente tejido tonsilar humano hiperplásico extirpado quirúrgicamente de niños del Babies Hospital, Columbia Presbyterian Medical Center en hielo seco en polvo. Las secciones del criostato se almacenaron durante varios días a -80 grados C antes del procesamiento. La hibridación no radiactiva *in situ* se realizó esencialmente como se ha descrito (Frank et al., 1999), excepto que el tiempo de fijación en paraformaldehído al 4% se aumentó a 20 minutos, y se omitió el tratamiento con proteinasa K. La rigurosidad de la hibridación fue de 68 grados C, en 5X SSC, formamida al 50%. La tinción de los anticuerpos anti-digoxigenina conjugados con fosfatasa alcalina se desarrolló con el sustrato BCIP/NBT.

Transfección, inmunoprecipitación y transferencia Western.

50 Se transfecaron de manera transitoria células 293 (ATCC), cultivadas en DMEM, FCS al 10%, de acuerdo con el método de fosfato de calcio convencional, con constructos de expresión transitoria pMT2T y pMT2T-*IRTA1/Ca*. Este último fue generado utilizando el producto de la RT-PCR de *IRTA1/Ca* de FR4. Las células (2×10^6 de transfectantes y 2×10^7 de líneas celulares restantes) se solubilizaron en tampón de lisis Triton X-100 (NaCl 150 mM, Tris-HCl 10 mM [pH 7,4], TX-100 al 1%, BSA al 0,1%) en presencia de un cóctel de inhibidores de proteasa (Roche Biochemicals). Los productos lisados se incubaron a 4°C durante 2 horas con 4 mg/ml del anticuerpo monoclonal Núm. 117-332-1 (Yu et al., 1990) (Tanox Biosystems, Inc, Houston, Texas) que se originaron contra la porción extracelular del péptido de membrana IgA. Los complejos inmunitarios se aislaron con proteína G-Sepharose (Pharmacia) antes de la electroforesis sobre geles en gradiente al 10-20% de Tris-HCl (BioRad) y de la inmunotransferencia, utilizando 15 mg/ml del anticuerpo Núm. 117-332-1. Los resultados se visualizaron por medio de ECL (Amersham).

Resultados

Clonación Molecular de la t(1;14)(q21;q32)

Las translocaciones cromosómicas que involucran al locus de la cadena pesada de Ig (IGH) se producen a menudo dentro o cerca de regiones de cambio de IgH como resultado de eventos de recombinación de cambio "ilegítimos"

5 (Dalla-Favera et al., 1983; Chesi et al., 1996; Chesi et al., 1998). Los puntos de rotura se pueden detectar mediante análisis de hibridación por transferencia Southern como alelos reordenados en los que las secuencias de la región constante (C_H) de IGH han perdido su asociación sintética con las secuencias de la región de unión (J_H) de IGH y de cambio 5' (S) (Dalla-Favera et al., 1983; Neri et al., 1988; Neri et al., 1991; Bergsagel et al., 1996). Este análisis ha llevado a la identificación de varios compañeros cromosómicos para el locus IgH en B-NHL y MM (Taub et al., 1982;

10 Dalla-Favera et al., 1983; Neri et al., 1988; Neri et al., 1991; Ye et al., 1993; Chesi et al., 1996; Richelda et al., 1997; Iida et al., 1997; Dyomin et al., 1997; Dyomin et al., 2000). Los autores de la presente invención emplearon la misma estrategia con el fin de clonar la región del punto de rotura de 1q21 en FR4, una línea celular de mieloma que porta una t(1;14)(q21;q32), según lo determinado por análisis citogenético (Tagawa et al., 1990; Taniwaki M, resultados no publicados). Dos "fragmentos ilegítimamente reordenados se identificaron en el locus de la cadena pesada C_{α} en

15 FR4 mediante análisis de transferencia Southern (datos no mostrados), y se clonaron a partir de bibliotecas de fagos construidas a partir de ADN genómico de FR4. El mapeo de restricción, la hibridación por transferencia Southern y la secuenciación de nucleótidos parcial de dos fagos genómicos (clones lambda FR4B-5 y λ FR4S-a, Figura 8A) demostraron que contenían los puntos de rotura cromosómicos de una translocación equilibrada recíproca entre el locus C_{α_1} en 14q32 y secuencias distintas de IGH. A continuación se utilizó una sonda (1.0EH) que representaba

20 estas secuencias distintas de IgH (Figura 8A) para clonar el correspondiente locus genómico normal a partir bibliotecas genómicas humanas del cromosoma artificial del fago P1 (PAC), y el cromosoma artificial de levadura (YAC). El análisis de hibridación fluorescente in situ (FISH) de las propagaciones de la metafase humana normal utilizando el clon PAC no químérico de 100 kb 49A16 que abarca la región del punto de rotura (véase más abajo, Figura 13), identificó el locus cromosómico compañero como derivado de la banda 1q21 (Figura 8C). El mapeo de un único locus dentro del cromosoma 1 se confirmó por hibridación de dos sondas no repetitivas a ADN de un panel de híbridos de células somáticas representativo de cromosomas humanos individuales (datos no mostrados). Estos resultados fueron compatibles con la clonación de secuencias que abarcan la t(1;14)(q21;q32) en FR4.

30 El análisis de secuencia de las regiones de punto de rotura en los cromosomas derivados y el alineamiento con los loci 14q32 y 1q21 de la línea germinal revelaron que el punto de rotura se había producido en el intrón entre $CH3$ y el exón transmembrana de C_{α_1} en el cromosoma 14. Aunque la región del punto de rotura estaba desprovista de secuencias señal de recombinación (RSS) o secuencias de señal de cambio (Kuppers et al., 1999), la secuencia CTTAAC (subrayada en la Figura 8B) estaba presente en ambos cromosomas 14 y 1 de la línea germinal en la unión del punto de rotura. Una copia de esta secuencia estaba presente en cada uno de los cromosomas derivados, con una ligera modificación en la copia der(1) (mutación puntual en el último nucleótido: C a G). Los nucleótidos AT que preceden a CTTAAC en el cromosoma 1 también estaban presentes en ambos cromosomas derivados (Figura 8B).

35 La translocación no dio lugar a ninguna pérdida de secuencias en el cromosoma 1. Por otro lado, en la porción del cromosoma 14 de der(1) los autores de la presente invención observaron dos delecciones aguas arriba de la unión del punto de rotura: una delección de 16 nucleótidos (GGCACCTCCCTTAAC) y una delección de 4 nucleótidos (TGCA) 6 nucleótidos aguas arriba (Figura 8B). Estas observaciones indican que la t(1;14)(q21;q32) en las células FR4 representa una translocación recíproca equilibrada posiblemente facilitada por la presencia de la secuencia homóloga (CTTAAC) en ambos cromosomas.

40 La región del punto de rotura de 1q21 contiene genes que codifican nuevos miembros de la superfamilia de receptores de inmunoglobulina

45 Los autores de la presente invención investigaron a continuación si la región del cromosoma 1q21 que abarca el punto de rotura de la translocación en FR4 contiene una unidad transcripcional. El ADN de los clones de PAC parcialmente solapantes 49A16 y 210K22 (Figura 13) fueron clonados por medio de "pistola génica" en plásmidos, secuenciados y analizados para determinar la homología con genes conocidos en bases de datos del genoma humano. Paralelamente, se buscaron los genes candidato en el PAC 49A16 por medio de una estrategia de captura de exones (Church et al., 1994).

50 El mapeo de los exones candidato sobre los clones genómicos de 1q21 reveló que el punto de rotura de FR4 se había producido entre dos exones atrapados (véase más abajo, Figura 13), que pertenecían al mismo transcrito, ya que podrían estar conectados por RT-PCR utilizando ARN de bazo. A continuación, se utilizó este producto de RT-PCR como sonda para escrutar una biblioteca de ADNc de bazo con el fin de aislar clones completos correspondientes a este transcrito. Se identificaron dos conjuntos de clones de ADNc, que pertenecían a dos transcriptos distintos y que compartían una identidad de secuencia de ARNm de 76% dentro de la región de la sonda de 443 pb. Los clones de ADNc completos para ambos transcriptos se obtuvieron mediante amplificación rápida de extremos de ADNc (RACE) en ADNc de bazo humano que generó productos de extensión 5' y 3'.

55 La estructura esquemática del ADNc que representa el primer transcrito se representa en la Figura 9A. El uso alternativo de los tres posibles sitios de poliadenilación en su región no traducida 3' da lugar a tres especies de ARNm de 2,6, 2,7 y 3,5 kb, que codifican la misma supuesta proteína de 515-aminoácidos (Figura 9A). Las

características pronosticadas de esta proteína incluyen un péptido señal, de acuerdo con la regla [-3, -1] (von Heijne, 1986), cuatro dominios extracelulares de tipo Ig que llevan tres sitios de glicosilación potenciales unidos a (N) de aspárragina (Figura 9A), uno transmembrana de 16 aminoácidos y un dominio citoplasmático de 106 aminoácidos, con tres supuestos dominios de unión de homología 2 a Src (SH2) consenso (Unkeless y Jin, 1997) (Figura 10B).

5 Estos dominios de unión a (SH2) muestran características de motivos tanto ITAM (Motivo Inmunorreceptor basado en la Activación de Tirosina D/EX₇D/EX₂YXXL/IX₆₋₈YXXL/I; donde X indica los residuos no conservados) (Reth, 1989) como motivos ITIM (Motivo de Inhibición de Inmunorreceptor basado en Tirosina - S/V/L/IYXXL/V, donde X indica residuos no conservados) (Unkeless y Jin, 1997). Como se muestra en la Figura 10B, los primeros dos dominios de unión a SH2 están espaciados por 8 aminoácidos, en consonancia con el motivo ITAM consenso. A diferencia del consenso, el residuo glutamato (E) se posiciona cuatro en lugar de dos aminoácidos antes de la primera tirosina (Y) (Figura 10B), y la posición +3 con respecto a la tirosina (Y) está ocupada por valina (V) en lugar de leucina (L) o isoleucina (I) (Cambier, 1995). Los tres dominios se ajustan al consenso ITIM y cada uno está codificado por un exón separado, como es el caso de ITIM. Así, su disposición puede dar lugar a tres ITIM o posiblemente a un ITAM y un ITIM. La estructura general de esta proteína sugiere que representa un nuevo receptor transmembrana de la superfamilia de Ig y por lo tanto se denominó IRTA1 (gen 1 Asociado a la Translocación del Receptor Inmunitario 1).

10 El segundo ADNC comparte homología con *IRTA1* (68% de identidad de nucleótidos para la longitud del mensaje de *IRTA1* que codifica su dominio extracelular) y fue denominado *IRTA2*. El locus *IRTA2* es más complejo que *IRTA1* y se transcribe en tres isoformas de ARNm principales (*IRTA2a*, *IRTA2b*, *IRTA2c*) de diferente peso molecular (2,8, 20 4,7 y 5,4 kb respectivamente), cada uno con una propia única región no traducida 3' (Figura 9B). Adicionalmente, un transcríto de 0,6 kb (Figura 12A) surge del uso de una señal de poliadenilación temprana en el nucleótido 536 de *IRTA2*. Las tres isoformas de la proteína *IRTA2* pronosticadas codificadas por estos transcritos comparten una secuencia de aminoácidos común hasta el residuo 560, que presenta un péptido señal común y seis dominios de tipo Ig extracelulares (Figura 9B). *IRTA2a* codifica una glicoproteína secretada de 759 aa con ocho dominios de tipo 25 Ig seguido de 13 aminoácidos predominantemente polares únicos en su extremo C. *IRTA2b* diverge de *IRTA2a* en el residuo de aminoácido 560, y se extiende a lo largo de un corto tramo de 32 residuos adicionales, cuyo carácter hidrófobo es compatible con su acoplamiento a la membrana plasmática a través de un ancla de GPI (Ferguson y Williams, 1988). *IRTA2c* es la isoforma más larga cuya secuencia se desvía de *IRTA2a* en el aminoácido 746. Codifica una glicoproteína transmembrana de tipo I de 977 aa con nueve dominios de tipo Ig extracelulares, que 30 alberga ocho sitios de glicosilación unidos a N potenciales, uno transmembrana de 23 aminoácidos y un dominio citoplasmico de 104 aminoácidos con tres motivos de unión a SH2 consenso (Figura 10B). Cada uno de los sitios de unión a SH2 en *IRTA2c* coincide con el consenso ITIM (Figura 10B) y es codificado por un exón separado. Estos rasgos sugieren que *IRTA2c* es un receptor transmembrana novedoso de la superfamilia de Ig con isoformas secretadas y unidas a GPI.

35 Homología entre las proteínas IRTA y los receptores de la superfamilia de inmunoglobulinas

El alineamiento de aminoácidos de la totalidad de los dominios extracelulares de las proteínas *IRTA1* e *IRTA2* entre sí y con otros miembros de la superfamilia de Ig reveló una homología notable entre ellos (identidad de 47% y similitud de 51%) y una homología inferior, pero llamativa con la familia de proteínas receptoras de Fc gamma. Esta homología era más fuerte en las posiciones de aminoácidos conservados entre las diferentes clases de receptores de Fc. Entre los receptores de Fc, el receptor de IgG de la alta afinidad FCGRI (CD64) compartió los más altos niveles de homología con los tres primeros dominios Ig de *IRTA1* e *IRTA2* (identidad de 37% y similitud de 50%) a lo largo de toda su porción extracelular (Figura 10A). Se observaron niveles inferiores de homología entre las proteínas IRTA y los dominios extracelulares de otras moléculas de la superficie celular, incluyendo la molécula de adherencia endotelial de plaquetas humanas (PECAM1), la molécula de adherencia celular de linfocitos B (CD22) y la glicoproteína biliar 1 (BGP1) (22-25% de identidad, 38-41% de homología).

40 No existe homología aparente entre las IRTA y los miembros de la familia de receptores de Fc en sus dominios citoplasmicos. En contraste, existe una homología de aminoácidos significativa entre *IRTA1* y PECAM1 (identidad de aminoácidos de 31% y homología de 45%), *IRTA2c* y BGP1 (identidad de 30%, homología de 35%) e *IRTA2c* y PECAM1 (28% de identidad, 50% de homología) (Figura 10B). Estas homologías sugieren el empleo de rutas de señalización aguas abajo similares por parte de estas proteínas diferentes.

50 IRTA1 e IRTA2 normalmente se expresan en subpoblaciones específicas de células B

El patrón de expresión normal de los ARNm de *IRTA1* e *IRTA2* se analizó primero por hibridación de transferencia de Northern del ARN derivado de diferentes tejidos humanos normales y de las líneas celulares humanas que representan diferentes linajes hematopoyéticos y etapas de desarrollo de células B.

55 Se detectó la expresión de *IRTA1* a un nivel muy bajo en ARN de bazo y ganglios linfáticos humanos (Figura 11A, panel izquierdo) y fue indetectable en todos los otros tejidos humanos analizados, incluyendo el hígado fetal, médula ósea, pulmón, placenta, intestino delgado, riñón, hígado, colon, músculo esquelético, corazón y cerebro (datos no mostrados). Entre las líneas de células B, la expresión de *IRTA1* estaba ausente en líneas de células que 60 representan células pre-B y células B del centro germinal, células plasmáticas y células de origen eritroide, células T y mieloide (datos no mostrados, véase Materiales y Métodos). La expresión fue detectable a niveles muy bajos

solamente en líneas celulares linfoblastoides (LCL) inmortalizadas con EBV, que representan una subpoblación (inmunoblastos) situada aguas abajo de las células B del centro germinal en la diferenciación de células B. Sin embargo, la expresión se indujo en células ER/EB privadas de estrógeno que, al estar inmortalizadas por un genoma de EBV recombinante en el que el gen EBNA2 se fusiona con el receptor de estrógeno, proliferan en presencia de estrógeno, mientras se detienen en la fase G₀/G₁ tras la privación de estrógeno (Kempkes et al., 1995). La expresión de *IRTA1* era apenas detectable en estas células en presencia de estrógeno, pero fue inducida (10 veces) después de la detención G₀/G₁ tras la retirada de estrógenos (Figura 11A, panel derecho). Tomados en conjunto, estos resultados sugieren que *IRTA1* se expresa en una subpoblación linfoide presente en el bazo y los ganglios linfáticos y, presumiblemente, representada por células B en reposo.

Para investigar más el fenotipo y la distribución en los tejidos de las células que expresan *IRTA1*, los autores de la presente invención realizaron la hibridación *in situ* en tejido tonsilar humano utilizando una sonda de ADNc antisentido de *IRTA1* (Figura 11B). Se procesaron las secciones seriadas para la hibridación *in situ* con una sonda de ADNc efectora de control (Panel Núm. 1 en la figura 11B), una sonda de ADNc antisentido (Panel Núm. 2) y tinción con hematoxilina y eosina (H & E) (Panel Núm. 3) para esbozar la arquitectura del tejido linfoide. La señal de hibridación de *IRTA1* fue excluida del centro germinal y la zona de manto de los folículos y se concentró característicamente en la zona perifolicular con infiltraciones en la región intraepitelial (Figuras 11B-2, 11B-4). En esta región, sólo las células B fueron positivas tal como se documenta mediante la tinción con marcadores específicos de células B (IGD, no mostrado), y mediante análisis immunohistoquímico con anticuerpos anti-*IRTA1* y anti-B (CD20, PAX5), anti-T (CD3), y anti-monocitos (CD68) (no mostrados; G. Cattoretti et al., manuscrito en preparación.). Esta área perifolicular es la "zona marginal" equivalente a la amígdala, lo que representa un compartimiento de células B funcionalmente distinta que contiene la mayoría de las células B de memoria y las células B monocitoides (de Wolf-Peeters et al., 1997). Junto con el análisis de transferencia Northern de tejidos normales y líneas celulares, estos resultados indican que *IRTA1* se expresa en una subpoblación de células B maduras en reposo topográficamente ubicada en la región perifolicular e intraepitelial, sitios ricos en células B de memoria.

En el caso de *IRTA2*, el análisis de transferencia Northern detectó todas las especies empalmadas alternativamente en ARNm de ganglio linfático, bazo, médula ósea e intestino delgado humanos, con una preponderancia relativa de la isoforma *IRTA2a* (Figura 12A, panel izquierdo). Entre las líneas de células hematopoyéticas de origen linfoide y no linfoide sometidas a ensayo, la expresión de *IRTA2* se restringió a las líneas de células B con un fenotipo post-centro germinal inmunoblastico (Figura 12A, panel derecho). De manera similar a *IRTA1*, estaba ausente de las líneas celulares derivadas de células pre-B, centroblastos del centro germinal, células plasmáticas, células T, células eritroides y células mieloides (Figura 12A, panel derecho).

El análisis de hibridación *in situ* de tejido tonsilar humano, utilizando el ADNc de *IRTA2* como sonda, fue compatible con los resultados del análisis de transferencia Northern. El ARNm de *IRTA2* fue excluido en gran parte de la zona del manto del centro germinal, con la excepción de unas pocas células positivas (Figuras 12B-2, 12B4). Dentro del centro germinal, la zona oscura, representada por centroblastos, apareció negativa para *IRTA2*, mientras que la zona clara, rica en centrocitos, fue fuertemente positiva (Figuras 12B-2, 12B-4). Finalmente, el ARNm de *IRTA2* se detectó en la región equivalente de la "zona marginal" fuera de los folículos de los centros germinales y en las regiones intraepiteliales e interfoliculares de la amígdala. Este patrón es compatible con la especificidad de *IRTA2* para los centrocitos y las células post-B del centro germinal. Comparando sus patrones de expresión, los autores de la presente invención concluyen que ambos son específicos para las células B maduras, pero *IRTA2* tiene un patrón más amplio de expresión que incluye centrocitos y células B interfoliculares, mientras *IRTA1* está restringida a las células B de la zona marginal, muy probablemente células de memoria.

Organización genómica de los genes *IRTA1* e *IRTA2*

Para entender las consecuencias de las anomalías 1q21 sobre la estructura y la expresión de los genes *IRTA1* e *IRTA2*, los autores de la presente invención determinaron primero la organización de sus loci genómicos. El gen *IRTA1* contiene 11 exones con un tamaño genómico total de 24,5 kb (Figura 13). Se encontró que el locus *IRTA2* abarcaba una región genómica de aproximadamente 40 kb (Figura 13). Los tres productos empalmados alternativamente de *IRTA2* comparten sus primeros 8 exones, en cuyo punto *IRTA2b* no utiliza el siguiente sitio de empalme, y termina introduciendo su región UTR 3'. Las isoformas *IRTA2a* y *2c* se empalan en el exón 9, entrando *IRTA2a* en su UTR 3' después del exón 11 y empalmando *IRTA2c* en el exón 12 y extendiéndose hasta el exón 18 (Figura 13).

Basándose en los datos de secuenciación, los autores de la presente invención determinaron que los genes *IRTA1* e *IRTA2* se encuentran a 21 kb el uno del otro, yuxtapuestos en la misma orientación transcripcional (Figura 13) que se extiende desde el telómero (5') hacia el centrómero (3'). En el locus 1q21, están estrechamente conectados el uno al otro, así como a tres genes adicionales que habían clonado recientemente los autores de la presente invención a través de su homología con las IRTA (I.M., manuscrito en preparación). Los cinco genes son contiguos, cubriendo una región de ~ 300 kb en 1q21. Esta región se encuentra en el intervalo entre los puntos de rotura de 1q21 referidos anteriormente. Basándose en la distancia entre clones genómicos que albergan los genes respectivos en el mapa Whitehead Institute Radiation Hybrid, se estima que el locus de *IRTA1-2* se encuentra aproximadamente

a 0,8 Mb de distancia del locus *MUC1* hacia el telómero (N.P., datos no publicados; Dyomin et al., 2000; Gilles et al., 2000) y a menos de o igual a 7 Mb del locus *FCGRIIB* hacia el centrómero (N.P., datos no publicados).

La translocación t(1;14)(q21;q32) genera una proteína de fusión IRTA1/Ca₁ en la línea celular de mieloma FR4

El análisis comparativo de restricción y de la secuencia de nucleótidos de la línea germinal frente a las secuencias reordenadas de los loci Ca₁ e *IRTA1* mostró que la translocación había fusionado las secuencias en el intrón 2 del gen *IRTA1* a las secuencias intrónicas entre *CH3* y el exón transmembrana de Ca₁ en la misma orientación transcripcional (Figura 14A). Esto sugiere que, si las secuencias de *IRTA1* se expresaban en el locus translocado, el sitio donante intacto en el límite 3' del exón IRTA1 y el sitio aceptor intacto en el 5' de Ca₁ podrían ser utilizados para generar un ARNm de fusión *IRTA1/Ca₁*, y posiblemente una proteína de fusión IRTA1/Ca₁.

Con el fin de someter a ensayo esta predicción, los autores de la presente invención analizaron la expresión del ARNm de *IRTA1* en FR4 por medio de análisis de transferencia Northern utilizando una sonda de ADNc de *IRTA1* derivada del exón 1 (Figura 14A). Esta sonda detectaba un mensaje de 0,8 kb en FR4 que estaba ausente de otras líneas de células B, y era más corto que el mensaje normal de 2,5 kb detectable en células ER/EB (Figura 14B). Los autores de la presente invención clonaron este transcripto por medio de RT-PCR del ARNm de FR4 utilizando cebadores derivados de secuencias en el límite 5' del exón 1 de *IRTA1* y el límite 3' del exón citoplásmico Ca₁ (Figura 14A). Se obtuvo un producto de RT-PCR de FR4, pero no de la línea celular DAKIKI que expresa la IgA de la superficie de tipo salvaje, u otras líneas celulares que carecen de una translocación t(1;14) (datos no mostrados). El análisis de secuenciación directa del producto de PCR indicó que el empalme había ligado de manera precisa IRTA1 y Ca₁ en los sitios de empalme canónicos y determinó que el transcripto de fusión tenía 820 pb de longitud.

El análisis del producto de proteína pronosticado indicó que el empalme *IRTA1/Ca₁* había dado lugar a una fusión entre el péptido señal IRTA1 y los dos primeros aminoácidos extracelulares, con el espaciador largo extracelular de 32 aminoácidos, el dominio transmembrana y la cola citoplasmática del receptor de IgA₁ de membrana (mIgA₁) (Figura 14C). Para el análisis de la expresión de esta proteína de fusión en extractos de proteína FR4, los autores de la presente invención utilizaron un anticuerpo dirigido contra residuos de aminoácidos extracelulares específicos para la isoforma transmembrana de Ca₁ (Yu et al., 1990) para la inmunoprecipitación, seguido de transferencia Western. Los resultados de los autores de la presente invención demuestran que las células FR4, pero no una línea celular de control (DAKIKI) que expresa IgA de la superficie de tipo salvaje, expresan una proteína de 9,8 kDa acorde con el tamaño pronosticado de la proteína de fusión IRTA1/Ca₁ (Figura 14D). Estos resultados muestran que el alelo translocado codifica una proteína de fusión, compuesta por el péptido señal y los dos primeros residuos extracelulares de IRTA1 (17 aminoácidos) fusionado a los dominios transmembrana y citoplásmicos codificados por Ca₁ (71 aminoácidos). En contraste con la expresión en exceso de *IRTA1/Ca₁* en der(14), no se detectó expresión en FR4 para el transcripto recíproco Ca₁/IRTA1 o para el gen *IRTA2* intacto en der(1).

Con la excepción de FR4, no se detectó expresión de ARNm de IRTA1 en ninguna otra línea celular de mieloma o linfoma, independientemente del estatus de su banda cromosómica 1q21 (datos no mostrados). Por lo tanto, la fusión IRTA1/Ca₁ representa un evento raro en las aberraciones de 1q21.

Desregulación frecuente de la expresión de IRTA2 en líneas celulares que portan anomalías de 1q21

Con el fin de establecer la relación física entre otros puntos de rotura de 1q21 y el locus de *IRTA1/2*, los autores de la presente invención realizaron un análisis FISH con el PAC 49A16 en el panel de líneas celulares BL y MM de los autores de la presente invención. De diez líneas celulares BL analizadas, siete con dup(1) (q21q32) y tres con translocaciones 1q21 (AS283A, BL104, BL136), los autores de la presente invención detectaron tres señales correspondientes al locus de *IRTA1/IRTA2* en siete de las primeras y dos de las últimas, en consonancia con dup(1) (q21q32) en el primer caso y dup(1) (q21q32) seguido de un punto de rotura de translocación en 1q21 en el segundo (Tabla 1). El análisis FISH de AS283A y BL136, utilizando sondas que abarcan el locus de *IRTA* y con clones genómicos vecinos, situó el punto de rotura de los cromosomas derivados fuera del locus de IRTA en ambas líneas celulares, a una distancia de >800 kb hacia el centrómero en AS283A y >800 kb hacia el telómero en BL136 (N.P., resultados no publicados). En consonancia con este hallazgo, el análisis de 30 casos de tumores primarios MM por medio de FISH de interfase con el YAC de 300 kb 23GC4 (Figura 13), mostró que 15 casos (50% del total analizado) tenían más de dos señales de FISH en interfase (datos no mostrados), mientras que el FISH de dos colores con dos clones de PAC que flanqueaban las fronteras centroméricas y teloméricas de YAC no detectó ninguna escisión de estas dos sondas en ninguno de los casos. Estos resultados indican que, con la excepción de FR4, los puntos de rotura de las aberraciones de 1q21 en BL o MM no están dentro de o en estrecha proximidad con la región genómica definida por IRTA1 e IRTA2. Sin embargo, el resultado coherente de cualquiera dup(1) (q21q32) (véase la Tabla 1) o dup(1) (q21q32) seguido de translocaciones desequilibradas (AS283A, BL136, XG2, XG7 en la Tabla 1) es la trisomía o tetrasomía parcial de la región de 1q21 que contiene los genes de IRTA.

Tabla 1. Resumen de los datos del cariotipo y FISH en el locus *IRTA1/IRTA2*

Tipo de tumor	Citogenética	PAC 49A16	Número de copias del locus IRTA por FISH	Expresión de ARNm de <i>IRTA2</i>
Linfoma de Burkitt				
AS283A	der(4) t(1;4) (q21; q35)	der(4), normal 1	3	+++++
MC116	dup1q21	dup1q21	3	+++
CA46	dup1q21	dup1q21	3	+++
PA682	dup1q21	dup1q21	3	++
BrgIgA	dup1q21	dup1q21	3	++
BL32	dup1q21	dup1q21	3	-
BL92	dup1q21	dup1q21	3	++
BL103	invdup1q21	dup1q21	3	+
BL104	t(1; 3) (q21;p25)	der(1)	2	+
BL136	der(1) (qpter1q21 :: q21)	der(1)	3	++
<i>Mieloma múltiple</i>				
XG2	der(1) t(1;?)(q21;?) der 19 t (1;19)(q12;?)	der(1), normal 1 der(19)	3	++++
XG7	der(9) t(1; 9) (q12 ;?) der(19) t(1;19) (q12;?) der(1) t(1 ;?) (q21 ;?) x2	der(9) der(19) der(1) x2	4	-

A continuación, los autores de la presente invención investigaron si estas aberraciones tenían un efecto sobre la expresión del ARNm de *IRTA2*. Con este fin, los autores de la presente invención utilizaron una sonda de ADNc correspondiente a la región no traducida 5' de *IRTA2* para escrutar una transferencia Northern con un panel de líneas celulares de B-NHL y MM carentes de o que mostraban anomalías cromosómicas en 1q21. Los resultados muestran que la mayoría (diez de doce) líneas BL con cromosomas 1q21 normales carecen esencialmente de expresión de *IRTA2*, coincidiendo con el hecho de que los BL derivan de centroblastos GC que normalmente carecen de expresión de *IRTA2* (Figura 15A, panel izquierdo). Por el contrario, la mayoría de las líneas BL que portan anomalías en 1q21 (diez de doce) muestran claramente una regulación al alza del ARNm de *IRTA2* (Figura 15A, panel derecho), que oscilan de 2 a 50 veces sobre los niveles basales detectados en BL con 1q21 normal. Entre las líneas celulares de mieloma, *IRTA2* era expresada en exceso en una de cada tres líneas que muestran anomalías en 1q21 (XG2), mientras que no se expresaba en ninguna de las siete con 1q21 normal (Figura 15B).

Estos resultados muestran una fuerte correlación entre la presencia de aberraciones cromosómicas 1q21 y la desregulación de la expresión de ARNm de *IRTA2* en BL y sugieren que las trisomías del locus *IRTA2* pueden desregular su expresión en este subtipo de linfoma (véase la Discusión).

Discusión

Los esfuerzos descritos en la presente memoria para identificar genes implicados en las aberraciones cromosómicas que afectan a la banda 1q21 en el Mieloma Múltiple y el linfoma de células B, condujeron al descubrimiento de que

IRTA1 e *IRTA2*, dos miembros fundadores de una nueva subfamilia de receptores relacionados dentro de la familia de inmunorreceptores; las secuencias de ácido nucleico completas que codifican las proteínas IRTA1 e IRTA2 son proporcionadas en la presente memoria, así como las secuencias de aminoácidos de las proteínas IRTA1 e IRTA2 codificadas. Con posterioridad tres genes adicionales de los miembros de esta subfamilia de receptores relacionados fueron aislados, *IRTA3*, *IRTA4*, e *IRTA5*, cuyas secuencias de ácido nucleico completas se proporcionan en la presente memoria, así como las secuencias de aminoácidos de las proteínas IRTA3, IRTA4, e *IRTA5* codificadas. Estos resultados tienen implicaciones para la biología normal de las células B, así como para el papel de las aberraciones de 1q21 en la linfomagenésis.

IRTA1 e IRTA2 son miembros fundadores de una nueva subfamilia dentro de la superfamilia de Ig

- 10 Varias características compartidas entre los dos genes de IRTA y sus proteínas codificadas sugieren que forman una nueva subfamilia dentro de la superfamilia de inmunorreceptores. En primer lugar, comparten un mayor grado de homología entre sí en sus dominios extracelulares que con otros miembros de la superfamilia tanto en su secuencia de ARNm (identidad de 68%) como de proteína (identidad de 47%). En segundo lugar, comparten homología en sus dominios citoplásmicos, marcados por la presencia de motivos de señalización de tipo ITAM e ITIM en el contexto de
15 las secuencias de aminoácidos homólogas. En tercer lugar, IRTA1 e IRTA2 pertenecen a una subfamilia más grande de cinco genes que muestra mayor homología intrafamiliar y una estrecha agrupación dentro de una región de ~ 300 kb en 1q21 (I.M. et al., Manuscrito en preparación). Su organización genómica sugiere que un gen ancestral común puede haber dado lugar a esta subfamilia, por medio de un proceso de duplicación y divergencia de secuencia, similar al mecanismo propuesto para la familia de receptores de Fc (Qiu et al., 1990).
- 20 En su dominio extracelular, las proteínas IRTA están estrechamente relacionadas con la subfamilia de receptores de Fc basándose en el alto grado de homología de aminoácidos compartida especialmente con el receptor FCGRI de alta afinidad (37-45% de identidad de aminoácidos). También sugiere un origen evolutivo común con los receptores de Fc por la posición del locus de la familia *IRTA* en el intervalo entre el locus *FCGRI* en 1q21 y los loci *FCERI* y *FCGRII-III* en 1q21-q23. Por último, los genes *IRTA* y *FCR* comparten una organización exón/intrón similar de la
25 porción del gen que codifica su péptido señal, en particular, los dos exones líder 5' con las secuencias que codifican el sitio de la peptidasa señal ubicado dentro del segundo exón de 21 pb.

Basándose en sus motivos de tipo ITIM citoplasmáticos, las proteínas IRTA se pueden considerar miembros de la Superfamilia de Receptores Inhibidores (IRS), un grupo de receptores que bloquean la activación de muchos tipos de células en el sistema inmunitario (Lanier, 1998). Tales miembros incluyen FCGRIIB y CD22 en el ser humano (DeLisser et al., 1994) y PIR-B en el ratón (Kubagawa et al., 1997). De un modo análogo a los miembros de IRS, los ITIM de IRTA1 e IRTA2 están codificados por exones individuales. Una característica que comparten muchos miembros de IRS es la existencia de las correspondientes isoformas activadoras del receptor cuyos dominios citoplásmicos están desprovistos de ITIM (revisado en Ravetch y Lanier, 1998). Es posible que la isoforma secretada de IRTA2, que carece de motivos de tipo ITIM, cumpla un papel análogo al contrarrestar el efecto de la isoforma transmembrana.

Las proteínas IRTA1 e IRTA2 y los miembros de la subfamilia las Moléculas de Adherencia Celular (CAM) PECAM1, CD22 y BGP1 comparten una homología significativa en la secuencia y la organización general de su porción extracelular. Además, la capacidad de IRTA2 para generar tres isoformas de la proteína con una localización subcelular distinta (una proteína transmembrana, una unida a GPI o una secretada) por corte y empalme diferencial es compartida por NCAM, otro miembro de la subfamilia de CAM (Dickson et al., 1987; Gower et al., 1988). Por lo tanto, la familia de IRTA también se relaciona con la familia de CAM, como se ha sugerido previamente para un miembro de la familia de receptores de Fc (FCGRII murino) debido a su homología con PECAM1 (CAM, familia IRS) (Daeron, 1991; Newman et al., 1990; Stockinger et al., 1990).

En conclusión, la familia de IRTA puede representar una intersección entre las familias de Fc, IRS y CAM, que combina las características de las tres. En consecuencia, las proteínas IRTA pueden tener un papel en la regulación de la transducción de señales durante una respuesta inmunitaria (como receptores de Fc), en la comunicación intercelular (como miembros de las familias IRS y CAM) y en la migración celular (como miembros de la familia CAM) (DeLisser et al., 1994; Ravetch y Lanier, 2000). Los experimentos iniciales indican que IRTA1 se puede unir débilmente a la IgA agregada por calor, mientras IRTA2c se puede unir específicamente a la IgG de suero humano agregada por calor (con mayor afinidad para IgG₁ e IgG₂), pero no a IgG, IgA, IgM e IgE humanas monoméricas (datos no mostrado). Estos datos iniciales apoyan una relación funcional entre IRTA y las familias de receptores de Fc, pero no excluyen las funciones que dependen de otros ligandos para las proteínas IRTA.

Patrón de expresión diferencial de los genes de IRTA en células B maduras

Los genes *IRTA* muestran un patrón de expresión específico en diversos compartimentos de células B normales. IRTA1 está topográficamente restringida a las células B dentro de la región perifolicular, que se denominó originalmente zona marginal en el bazo, pero también es detectable en la mayor parte de los órganos linfoides (de Wolf-Peeters et al., 1997). Los datos de hibridación *in situ* que aquí se presentan han sido confirmados por análisis inmunohistoquímico utilizando anticuerpos anti-IRTA1 que muestran que la proteína IRTA1 se expresa selectivamente en células B de la zona marginal, y, entre los NHL, en el linfoma de la zona marginal, los tumores

derivados de estas células (G. Cattoretti et al., manuscrito en preparación). Por otra parte, *IRTA2* tiene un patrón de expresión más amplio que incluye centrocitos GC, así como un amplio espectro de células perifoliculares, que pueden incluir inmunoblastos y células de memoria. Los datos iniciales sugieren que el patrón de expresión de *IRTA3* es análogo al de *IRTA2*, mientras que *IRTA4* e *IRTA5* se expresan selectivamente en las células B de la zona del manto (I. Miller et al., manuscrito en preparación), el compartimiento pre-GC de las células B maduras (MacLennan, I.C., 1994). Esta restricción topográfica de la expresión génica de *IRTA* en los órganos linfoides sugiere que las moléculas de *IRTA* pueden desempeñar un papel en la migración o actividad de diversas subpoblaciones de células B en compartimentos específicos de células B funcionales. Además, la expresión de *IRTA* debería ser útil para el diagnóstico diferencial de los subtipos de NHL que derivan de diversos compartimentos de células B, en particular *IRTA1* en el diagnóstico del linfoma de la zona marginal.

5 Locus de *IRTA1* y anomalías de 1q21 en MM

En la línea celular FR4, la consecuencia de la translocación t(1;14) es la formación de un gen de fusión *IRTA1/Cα1*. A pesar del hecho de que este gen está dirigido por la región promotora de *IRTA1*, que normalmente es silencioso en las células plasmáticas, su expresión es alta en FR4, presumiblemente debido a la influencia de LCR 3' de *Cα1*, que es retenido aguas abajo del locus *Cα1*. El gen de fusión codifica una proteína de fusión *IRTA1/Cα1* que contiene sólo el péptido señal y los primeros dos aminoácidos de *IRTA1* unidos al receptor de IgA de la superficie. Este último ha sido desprovisto casi completamente de su dominio extracelular, pero conserva todos sus dominios transmembrana e intracelulares. Esta estructura indica que la proteína de fusión *IRTA1/Cα1*, aunque probablemente incapaz de unirse a cualquier ligando, puede conservar el potencial para la dimerización y la señalización. En particular, la porción extracelular derivada de IgA de membrana (m) contiene un residuo de cisteína, que puede estar implicado en enlaces disulfuro entre dos cadenas α o entre cadenas α y proteínas asociadas, tales como el receptor de la superficie coadyuvante CD19 (Leduc et al., 1997). La proteína de fusión también porta el dominio citoplásico mlgA de 14 aminoácidos intacto, que está altamente conservado en evolución (Reth, 1992) y puede desempeñar un papel esencial en la proliferación, la supervivencia y la diferenciación de células B maduras, de forma análoga al papel de mlgG y mlgE (Kaisho et al., 1997). Por lo tanto, la aparición de la proteína *IRTA1/Cα1* en FR4 puede haber proporcionado a las células una ventaja proliferativa y de supervivencia durante el desarrollo del tumor a través la activación independiente del ligando (antígeno) de la ruta de BCR. Este evento de fusión sin embargo, parece ser poco frecuente en las neoplasias malignas de células B, ya que hasta ahora los autores de la presente invención han sido capaces de detectarlo sólo en las células FR4.

10 30 Locus de *IRTA2* y anomalías de 1q21 en MM y BL

La expresión anormal de *IRTA2* es una consecuencia frecuente de las anomalías en 1q21. Aunque este gen no se expresa normalmente en centroblastos, las presuntas contrapartes normales de BL (Kuppers et al., 1999), ni en BL con 1q21 normal, sus niveles están regulados al alza un promedio de 10 veces en líneas celulares de BL con anomalías en 1q21. Esta desregulación parece ser específica para *IRTA2* ya que todos los otros 4 genes de *IRTA* presentes dentro de 300 kb en 1q21, o bien no se expresan en BL (*IRTA1*), o bien su patrón de expresión no se corresponde con la presencia de anomalías en 1q21 (*IRTA3*, 4, 5, no mostrado). El mecanismo por el cual se produce este desregulación es difícil de determinar en ausencia de lesiones estructurales dentro o adyacentes al gen de *IRTA2*. Dado que las aberraciones heterogéneas que afectan a 1q21 ocasionan todas un número de copias en exceso del locus de *IRTA*, es posible que esto pueda conducir a trastornos de la regulación, como en el caso de un bajo nivel de amplificación de *BCL2* en FL que carece de translocaciones (14;18) (Monni et al., 1997), *REL* en linfoma difuso de células grandes (Houldsworth et al., 1996; Rao et al., 1998) y desregulación de Ciclina D1 en algunos casos de MM con trisomía 11 (Pruneri et al., 2000). Por otra parte, las anomalías en 1q21, incluyendo translocaciones y duplicaciones, cambian el contexto genómico del locus de *IRTA* y pueden conducir a la desregulación de *IRTA2* por elementos de organización de la cromatina potenciadores que actúan en cis distantes que actúan sobre su promotor como es el caso *MYC* en BL endémico (Pellicci et al., 1986) y MM (Shou et al., 2000) y para *CCND1* en el linfoma de células del manto (Bosch et al., 1994; Swerdlow et al., 1995) y MM (Pruneri et al., 2000).

50 Las consecuencias biológicas de una expresión desregulada de *IRTA2* son difíciles de predecir en esta etapa. La observación de que *IRTA2* tiene homología con los receptores de adherencia CAM, junto con su distribución específica en la zona clara del GC sugieren que su expresión ectópica en centroblastos puede causar una interrupción en el desarrollo y la arquitectura del GC. Por otro lado, las observaciones iniciales de los autores de la presente invención de que *IRTA2* se puede unir a complejos inmunitarios con IgG de una manera comparable a los receptores de Fc bona fide sugieren que su expresión inapropiada puede perturbar la dinámica de la regulación de la superficie celular de las respuestas inmunológicas de células B, conduciendo posiblemente a la expansión clonal. Se ha propuesto que la expresión desregulada de *FCGR2B* como consecuencia de la t(1;14)(q21;q32) en el linfoma folicular contribuye a la linfomagénesis en este tipo de tumor (Callanan et al., 2000), por medio de un mecanismo que implica la huida por parte de las células tumorales de la vigilancia inmunitaria anti-tumoral a través de su unión a Fc y de la inactivación de la IgG específica del tumor. Se han observado mecanismos de evasión similares en las células infectadas por herpesvirus que codifican Fc (Dubin et al., 1991). Es necesario probar el papel de la desregulación de *IRTA2* en la "ganancia de función" de ratones transgénicos que expresan constitutivamente *IRTA2* en el GC.

Referencias para la segunda serie de experimentos

- Anand, R., Riley, J. H., Butler, R., Smith, J. C., y Markham, A. F. (1990). A 3.5 genome equivalent multi access YAC library: construction, characterisation, screening and storage. *Nucleic Acids Res* 18, 1951-6.
- 5 Avet-Loiseau, H., Andree-Ashley, L. E., Moore, D., 2º, Mellerin, M. P., Feusner, J., Bataille, R., and Pallavicini, M. G. (1997). Molecular cytogenetic abnormalities in multiple myeloma and plasma cell leukemia measured using comparative genomic hybridization. *Genes Chromosomes Cancer* 19, 124-33.
- Bakhshi, A., Jensen, J. P., Goldman, P., Wright, J. J., McBride, O. W., Epstein, A. L., y Korsmeyer, S. J. (1985). Cloning the chromosomal breakpoint of t(14;18) human lymphomas: clustering around JH on chromosome 14 and near a transcriptional unit on 18. *Cell* 41, 899-906.
- 10 Berger, R., Bernheim, A. (1985). Cytogenetics of Burkitt's lymphoma-leukaemia: una revisión. *IARC Sci Publ* 60, 65-80.
- Bergsagel, P. L., Chesi, M., Nardini, E., Brents, L. A., Kirby, S. L., y Kuehl, W. M. (1996). Promiscuous translocations into immunoglobulin heavy chain switch regions in multiple myeloma. *Proc Natl Acad Sci U S A* 93, 13931-6.
- 15 Bosch, F., Jares, P., Campo, E., Lopez-Guillermo, A., Piris, M. A., Villamor, N., Tassies, D., Jaffe, E. S., Montserrat, E., Rozman, C. et al. (1994). PRAD-1/cyclin D1 gene overexpression in chronic lymphoproliferative disorders: a highly specific marker of mantle cell lymphomas. *Blood* 84, 2726-32.
- 20 Callanan, M. B., Le Baccon, P., Mossuz, P., Duley, S., Bastard, C., Hamoudi, R., Dyer, M. J., Klobeck, G., Rimokh, R., Sotto, J. J., y Leroux, D. (2000). The IgG Fc receptor, FcgammaRIIB, is a target for deregulation by chromosomal translocation in malignant lymphoma. *Proc Natl Acad Sci U S A* 97, 309-14.
- Cambier, J. C. (1995). Antigen and Fc receptor signaling. The awesome power of the immunoreceptor tyrosine-based activation motif (ITAM). *J Immunol* 155, 3281-5.
- 25 Chesi, M., Bergsagel, P. L., Brents, L. A., Smith, C. M., Gerhard, D. S., y Kuehl, W. M. (1996). Dysregulation of cyclin D1 by translocation into an IgH gamma switch region in two multiple myeloma cell lines [see comments]. *Blood* 88, 674-81.
- Chesi, M., Bergsagel, P. L., Shonukan, O. O., Martelli, M. L., Brents, L. A., Chen, T., Schrock, E., Ried, T., and Kuehl, W. M. (1998). Frequent dysregulation of the c-maf proto-oncogene at 16q23 by translocation to an Ig locus in multiple myeloma. *Blood* 91, 4457-63.
- 30 Chesi, M., Nardini, E., Brents, L. A., Schrock, E., Ried, T., Kuehl, W. M., y Bergsagel, P. L. (1997). Frequent translocation t(4;14)(p16.3;q32.3) in multiple myeloma is associated with increased expression and activating mutations of fibroblast growth factor receptor 3. *Nat Genet* 16, 260-4.
- Church, D. M., Stotler, C. J., Rutter, J. L., Murrell, J. R., Trofatter, J. A., y Buckler, A. J. (1994). Isolation of genes from complex sources of mammalian genomic ADN using exon amplification. *Nat Genet* 6, 98-105.
- 35 Cigudosa, J. C., Parsa, N. Z., Louie, D. C., Filippa, D. A., Jhanwar, S. C., Johansson, B., Mitelman, F., y Chaganti, R. S. (1999). Cytogenetic analysis of 363 consecutively ascertained diffuse large B- cell lymphomas. *Genes Chromosomes Cancer* 25, 123-33.
- Daeron, M. (1991). Fc receptors, or the elective affinities of adhesion molecules. *Immunol Lett* 27, 175-81.
- 40 Dalla-Favera, R., Bregni, M., Erikson, J., Patterson, D., Gallo, R.C., y Croce, C.M.: The human c-myc oncogene is located on the region of chromosome 8 which is translocated in Burkitt lymphoma cells. *Proc. Nat. Acad. Sci. USA* 79:7824-7827, 1982.
- Dalla-Favera, R., Martinotti, S., Gallo, R. C., Erikson, J., y Croce, C. M. (1983). Translocation and rearrangements of the c-myc oncogene locus in human undifferentiated B-cell lymphomas. *Science* 219, 963-7.
- 45 de Wolf-Peeters, C., Pittaluga, S., Dierlamm, J., Wlodarska, I., y Van Den Berghe, H. (1997). Marginal zone B-cell lymphomas including mucosa-associated lymphoid tissue type lymphoma (MALT), monocytoid B-cell lymphoma and splenic marginal zone cell lymphoma and their relation to the reactive marginal zone. *Leuk Lymphoma* 26, 467-78.
- DeLisser, H. M., Newman, P. J., y Albelda, S. M. (1994). Molecular and functional aspects of PECAM-1/CD31. *Immunol Today* 15, 490-5.
- 50 Dickson, G., Gower, H. J., Barton, C. H., Prentice, H. M., Elsom, V. L., Moore, S. E., Cox, R. D., Quinn, C.,

- Putt, W., y Walsh, F. S. (1987). Human muscle neural cell adhesion molecule (N-CAM): identification of a muscle-specific sequence in the extracellular domain. *Cell* 50, 1119-30.
- 5 Dierlamm, J., Pittaluga, S., Wlodarska, I., Stul, M., Thomas, J., Boogaerts, M., Michaux, L., Driessen, A., Mecucci, C., Cassiman, J. J., y et al. (1996). Marginal zone B-cell lymphomas of different sites share similar cytogenetic and morphologic features [see comments]. *Blood* 87, 299-307.
- Dracopoli, C. N., Haines, J. L., Korf, B. R., Morton, C. C., Seidman, C. E., Seidman, J.G., Smith, D. R. (1997). Current Protocols in Human Genetics (New York: Wiley & Sons)
- Dubin, G., Socolof, E., Frank, I., Friedman, H. M. (1991). Herpes simplex virus type 1 Fc receptor protects infected cells from antibody-dependent cellular cytotoxicity. *Journal of Virology* 65, 7046-50.
- 10 Dyomin, V. G., Palanisamy, N., Lloyd, K. O., Dyomina, K., Jhanwar, S. C., Houldsworth, J., y Chaganti, R. S. (2000). MUC1 is activated in a B-cell lymphoma by the t(1;14)(q21;q32) translocation and is rearranged and amplified in B-cell lymphoma subsets. *Blood* 95, 2666-71.
- Dyomin, V.G., Rao, P.H., Dalla-Favera, R., Chaganti, R.S.K. (1997). BCL8, a novel gene involved in translocations affecting band 15q11-13 in diffuse large-cell lymphoma. *Proc Natl Acad Sci USA* 94, 5728-32.
- 15 Eton, O., Scheinberg, D. A., and Houghton, A. N. (1989). Establishment and characterization of two human myeloma cell lines secreting kappa light chains. *Leukemia* 3, 729-35.
- Ferguson, M. A., y Williams, A. F. (1988). Cell-surface anchoring of proteins via glycosyl-phosphatidylinositol structures. *Annu Rev Biochem* 57, 285-320.
- 20 Frank, D., Mendelsohn, C. L., Ciccone, E., Svensson, K., Ohlsson, R., y Tycko, B. (1999). A novel pleckstrin homology-related gene family defined by Ipl/Tssc3, TDAG51, and Tih1: tissue-specific expression, chromosomal location, and parental imprinting. *Mamm Genome* 10, 1150-1159.
- Gaidano, G., y Dalla-Favera, R. (1997). Molecular Biology of Lymphomas. In: Principles and Practice of Oncology, Fifth Ed, DeVita, VT, Hellman, S., Rosenberg SA (eds) JB Lippincott Co (publ.), 2131-2145.
- 25 Gilles, F., Goy, A., Remache, Y., Shue, P., y Zelenetz, A. D. (2000). MUC1 dysregulation as the consequence of a t(1;14)(q21;q32) translocation in an extranodal lymphoma. *Blood* 95, 2930-2936.
- Gower, H. J., Barton, C. H., Elsom, V. L., Thompson, J., Moore, S. E., Dickson, G., y Walsh, F. S. (1988). Alternative splicing generates a secreted form of N-CAM in muscle and brain. *Cell* 55, 955-64.
- Hamilton, M. S., Ball, J., Bromidge, E., Lowe, J., y Franklin, I. M. (1990). Characterization of new IgG lambda myeloma plasma cell line (EJM): a further tool in the investigation of the biology of multiple myeloma. *Br J Haematol* 75, 378-84.
- 30 Houldsworth, J., Mathew, S., Rao, P. H., Dyomina, K., Louie, D. C., Parsa, N., Offit, K., Chaganti, R. S. (1996). REL proto-oncogene is frequently amplified in extranodal diffuse large cell lymphoma. *Blood* 87, 25-9.
- Iida, S., Rao, P. H., Butler, M., Corradini, P., Boccadoro, M., Klein, B., Chaganti, R. S., y Dalla-Favera, R. (1997). Dereulation of MUM1/IRF4 by chromosomal translocation in multiple myeloma. *Nat Genet* 17, 226-30.
- Jackson, N., Lowe, J., Ball, J., Bromidge, E., Ling, N. R., Larkins, S., Griffith, M. J., y Franklin, I. M. (1989). Two new IgA1-kappa plasma cell leukaemia cell lines (JJN-1 & JJN-2) which proliferate in response to B cell stimulatory factor 2. *Clin Exp Immunol* 75, 93-9.
- 35 Jernberg, H., Zech, L., y Nilsson, K. (1987). Cytogenetic studies on human myeloma cell lines. *Int J Cancer* 40, 811-7.
- Juliusson, G., Oscier, D. G., Fitchett, M., Ross, F. M., Stockdill, G., Mackie, M. J., Parker, A. C. , Castoldi, G. L., Guneo, A., Knuutila, S., y et al. (1990). Prognostic subgroups in B-cell chronic lymphocytic leukemia defined by specific chromosomal abnormalities. *N Engl J Med* 323, 720-4.
- 40 Kaisho, T., Schwenk, F., y Rajewsky, K. (1997). The roles of gamma 1 heavy chain membrane expression and cytoplasmic tail in IgG1 responses. *Science* 276, 412-5.
- Kempkes, B., Spitzkovsky, D., Jansen-Durr, P., Ellwart, J. W., Kremmer, E., Delecluse, H. J., Rottenberger, C., Bornkamm, G. W., y Hammerschmidt, W. (1995). B-cell proliferation and induction of early G1-regulating proteins by Epstein-Barr virus mutants conditional for EBNA2. *Embo J* 14, 88-96.
- 45 Kornblau, S. M., Goodacre, A., Cabanillas, F. (1991). Chromosomal abnormalities in adult non-endemic Burkitt's lymphoma and leukemia: 22 new reports and a review of 148 cases from the literature. *Hematol*

- Oncol 9, 63-78.
- Kubagawa, H., Burrows, P. D., y Cooper, M. D. (1997). A novel pair of immunoglobulin-like receptors expressed by B cells and myeloid cells [see comments]. Proc Natl Acad Sci U S A 94, 5261-6.
- 5 Kuppers, R., Klein, U., Hansmann, M. L., y Rajewsky, K. (1999). Cellular origin of human B-cell lymphomas. N Engl J Med 341, 1520-9.
- Lanier, L. L. (1998). NK cell receptors. Annu Rev Immunol 16, 359-93.
- Leduc, I., Drouet, M., Bodinier, M. C., Helal, A., y Cogne, M. (1997). Membrane isoforms of human immunoglobulins of the A1 and A2 isotypes: structural and functional study. Immunology 90, 330-6.
- MacLennan, I. C. (1994). Germinal Centers. Annu Rev Immunol 12, 117-39.
- 10 Magrath, I. T., Pizzo, P. A., Whang-Peng, J., Douglass, E. C., Alabaster, O., Gerber, P., Freeman, C. B., y Novikovs, L. (1980). Characterization of lymphoma-derived cell lines: comparison of cell lines positive and negative for Epstein-Barr virus nuclear antigen. I. Physical, cytogenetic, and growth characteristics. J Natl Cancer Inst 64, 465-76.
- 15 Monni, O., Joensuu, H., Franssila, K., Klefstrom, J., Alitalo, K., y Knuutila, S. (1997). BCL2 overexpression associated with chromosomal amplification in diffuse large B-cell lymphoma. Blood 90, 1168-74.
- Neri, A., Barriga, F., Knowles, D. M., Magrath, I. T., y Dalla-Favera, R. (1988). Different regions of the immunoglobulin heavy-chain locus are involved in chromosomal translocations in distinct pathogenetic forms of Burkitt lymphoma. Proc Natl Acad Sci U S A 85, 2748-52.
- 20 Neri, A., Chang, C. C., Lombardi, L., Salina, M., Corradini, P., Maiolo, A. T., Chaganti, R. S., y Dalla-Favera, R. (1991). B cell lymphoma-associated chromosomal translocation involves candidate oncogene lyt-10, homologous to NF-kappa B p50. Cell 67, 1075-87.
- Newman, P. J., Berndt, M. C., Gorski, J., White, G. C. d., Lyman, S., Paddock, C., y Muller, W. A. (1990). PECAM-1 (CD31) cloning and relation to adhesion molecules of the immunoglobulin gene superfamily. Science 247, 1219-22.
- 25 Offit, K., Louie, D. C., Parsa, N. Z., Roy, P., Leung, D., Lo Coco, F., Zelenetz, A., Dalla-Favera, R., Chaganti, R. S. (1995). BCL6 gene rearrangement and other cytogenetic abnormalities in diffuse large cell lymphoma. Leuk Lymphoma 20, 85-9.
- Pelicci, P. G., Knowles, D. M. d., Magrath, I., y Dalla-Favera, R. (1986). Chromosomal breakpoints and structural alterations of the c-myc locus differ in endemic and sporadic forms of Burkitt lymphoma. Proc Natl Acad Sci U S A 83, 2984-8.
- 30 Polito, P., Cilia, A. M., Gloghini, A., Cozzi, M., Perin, T., De Paoli, P., Gaidano, G., y Carbone, A. (1995). High frequency of EBV association with non-random abnormalities of the chromosome region 1q21-25 in AIDS-related Burkitt's lymphoma-derived cell lines. Int J Cancer 61, 370-4.
- 35 Pruneri, G., Fabris, S., Baldini, L., Carboni, N., Zagano, S., Colombi, M. A., Ciceri, G., Lombardi, L., Rocchi, M., Buffa, R., Maiolo, A. T., Neri, A. (2000). Immunohistochemical analysis of cyclin D1 shows deregulated expression in multiple myeloma with the t(11;14). Am J Pathol 156, 1505-13.
- Qiu, W. Q., de Bruin, D., Brownstein, B. H., Pearse, R., Ravetch, J. V. (1990). Organization of the human and mouse low-affinity Fc gamma R genes: duplication and recombination. Science 248, 732-5.
- 40 Rao, P. H., Houldsworth, J., Dyomina, K., Parsa, N. Z., Cigudosa, J. C., Louie, D. C., Popplewell, L., Offit, K., Jhanwar, S. C., y Chaganti, R. S. (1998). Chromosomal and gene amplification in diffuse large B-cell lymphoma. Blood 92, 234-40.
- Rao, P. H., Murty, V. V., Gaidano, G., Haupschein, R., Dalla-Favera, R., y Chaganti, R. S. (1993). Subregional localization of 20 single-copy loci to chromosome 6 by fluorescence in situ hybridization. Genomics 16, 426-30.
- 45 Ravetch, J. V., y Lanier, L. L. (2000). Immune inhibitory receptors [In Process Citation]. Science 290, 84-9.
- Reth, M. (1989). Antigen receptor tail clue [letter]. Nature 338, 383-4.
- Reth, M. (1992). Antigen receptors on B lymphocytes. Annu Rev Immunol 10, 97-121.
- Richelda, R., Ronchetti, D., Baldini, L., Cro, L., Viggiano, L., Marzella, R., Rocchi, M., Otsuki, T., Lombardi, L.,

- Maiolo, A. T., Neri, A. (1997). A novel chromosomal translocation t(4; 14)(p16.3; q32) in multiple myeloma involves the fibroblast growth-factor receptor 3 gene [see comments]. *Blood* 90, 4062-70.
- Riley, J., Butler, R., Ogilvie, D., Finniear, R., Jenner, D., Powell, S., Anand, R., Smith, J. C., y Markham, A. F. (1990). A novel, rapid method for the isolation of terminal sequences from yeast artificial chromosome (YAC) clones. *Nucleic Acids Res* 18, 2887-90.
- Ronchetti, D., Finelli, P., Richelda, R., Baldini, L., Rocchi, M., Viggiano, L., Cuneo, A., Bogni, S., Fabris, S., Lombardi, L., Maiolo, A. T., y Neri, A. (1999). Molecular analysis of 11q13 breakpoints in multiple myeloma. *Blood* 93, 1330-7.
- Rosenberg, C. L., Wong, E., Petty, E. M., Bale, A. E., Tsujimoto, Y., Harris, N. L., y Arnold, A. (1991). PRAD1, a candidate BCL1 oncogene: mapping and expression in centrocytic lymphoma. *Proc Natl Acad Sci U S A* 88, 9638-42.
- Sawyer, J. R., Tricot, G., Mattox, S., Jagannath, S., y Barlogie, B. (1998). Jumping translocations of chromosome 1q in multiple myeloma: evidence for a mechanism involving decondensation of pericentromeric heterochromatin. *Blood* 91, 1732-41.
- Sawyer, J. R., Waldron, J. A., Jagannath, S., Barlogie, B. (1995). Cytogenetic findings in 200 patients with multiple myeloma. *Cancer Genet Cytogenet* 82, 41-9.
- Shou, Y., Martelli, M. L., Gabrea, A., Qi, Y., Brents, L. A., Roschke, A., Dewald, G., Kirsch, I. R., Bergsagel, P. L., y Kuehl, W. M. (2000). Diverse karyotypic abnormalities of the c-myc locus associated with c-myc dysregulation and tumor progression in multiple myeloma. *Proc Natl Acad Sci U S A* 97, 228-33.
- Stockinger, H., Gadd, S. J., Eher, R., Majdic, O., Schreiber, W., Kasinrerk, W., Strass, B., Schnabl, E., y Knapp, W. (1990). Molecular characterization and functional analysis of the leukocyte surface protein CD31. *J Immunol* 145, 3889-97.
- Swerdlow, S. H., Yang, W. I., Zukerberg, L. R., Harris, N. L., Arnold, A., Williams, M. E. (1995). Expression of cyclin D1 protein in centrocytic/mantle cell lymphomas with and without rearrangement of the BCL1/cyclin D1 gene. *Hum Pathol* 26, 999-1004.
- Tagawa, S., Doi, S., Taniwaki, M., Abe, T., Kanayama, Y., Nojima, J., Matsubara, K., y Kitani, T. (1990). Amylase-producing plasmacytoma cell lines, AD3 and FR4, with der(14)t(8;14) and dic(8)t(1;8) established from ascites. *Leukemia* 4, 600-5.
- Taub, R., Kirsch, I., Morton, C., Lenoir, G., Swan, D., Tronick, S., Aaronson, S., Leder, P. (1982). Translocation of the c-myc gene into the immunoglobulin heavy chain locus in human Burkitt lymphoma and murine plasmacytoma cells. *Proc Natl Acad Sci U S A* 79, 7837-41.
- Thompson, J. D., Higgins, D. G., Gibson, T. J. CLUSTAL W: improving the sensitivity of progressive multiple sequence alignment through sequence weighting, position-specific gap penalties and weight matrix choice. *Nucleic Acids Res* 22, 4673-80.
- Tusnady, G. E., Simon, I. (1998). Principles governing amino acid composition of integral membrane proteins: application to topology prediction. *J Mol Bio* 283, 489-506.
- Unkeless, J. C., y Jin, J. (1997). Inhibitory receptors, ITIM sequences and phosphatases. *Curr Opin Immunol* 9, 338-43.
- von Heijne, G. (1986). A new method for predicting signal sequence cleavage sites. *Nucleic Acids Res* 14, 4683-90.
- Whang-Peng, J., Knutsen, T., Jaffe, E. S., Steinberg, S. M., Raffeld, M., Zhao, W. P., Duffey, P., Condron, K., Yano, T., Longo, D. L. (1995). Sequential analysis of 43 patients with non-Hodgkin's lymphoma: clinical correlations with cytogenetic, histologic, immunophenotyping, and molecular studies. *Blood* 85, 203-16.
- Willis, T. G., Zalcburg, I. R., Coignet, L. J., Wlodarska, I., Stul, M., Jadayel, D. M., Bastard, C., Treleaven, J. G., Catovsky, D., Silva, M. L., y Dyer, M. J. (1998). Molecular cloning of translocation tt(1;14)(q21;q32) defines a novel gene (BCL9) at chromosome 1q21. *Blood* 91, 1873-81.
- Ye, B. H., Lista, F., Lo Coco, F., Knowles, D. M., Offit, K., Chaganti, R. S., y Dalla-Favera, R. (1993). Alterations of a zinc finger-encoding gene, BCL-6, in diffuse large-cell lymphoma. *Science* 262, 747-50.
- Yu, L. M., Peng, C., Starnes, S. M., Liou, R. S., y Chang, T. W. (1990). Two isoforms of human membrane-bound alpha Ig resulting from alternative mRNA splicing in the membrane segment. *J Immunol* 145, 3932-6.

Zhang, X. G., Gaillard, J. P., Robillard, N., Lu, Z. Y., Gu, Z. J., Jourdan, M., Boiron, J. M., Bataille, R., y Klein, B. (1994). Reproducible obtaining of human myeloma cell lines as a model for tumor stem cell study in human multiple myeloma. *Blood* 83, 3654-63.

Tercera Serie de Experimentos

- 5 El cromosoma 1q21 con frecuencia se ve alterado por translocaciones y duplicaciones en varios tipos de neoplasias malignas de células B, incluyendo mieloma múltiple, linfoma de Burkitt, linfomas de la zona marginal, y linfoma folicular. Para identificar los genes implicados en estas aberraciones, se clonó el punto de rotura cromosómica de una t(1;14)(q21;q32) en la línea celular de mieloma FR4. Una región de 300 kb que abarca el punto de rotura contiene al menos cinco genes adyacentes altamente relacionados que codifican moléculas receptoras de la superficie que son miembros de la super familia de genes de inmunoglobulina, y por lo tanto denominados IRTA (Asociados a la Translocación Receptores de Inmunoglobulina). Las diversas moléculas IRTA tienen de tres a nueve dominios extracelulares de la super familia de la inmunoglobulina y están relacionados con los receptores de Fc gamma. Tienen dominios transmembrana y citoplásmicos que contienen motivos de señalización de tipo ITIM y de tipo ITAM (IRTA-1, IRTA-3, IRTA-4). Experimentos de hibridación in situ muestran que todos los genes IRTA se expresan en el linaje de células B con distintos patrones específicos de la etapa de desarrollo: IRTA-1 se expresa en un patrón de células B marginales. IRTA-2 se expresa en centroцитos y células B más maduras. Como resultado de la translocación en FR4, IRTA-1 se rompe y produce un transcripto de fusión con el locus de inmunoglobulina. El gen IRTA-2, normalmente silencioso en centroblastos, se expresa en exceso en líneas celulares de mieloma múltiple y linfoma de Burkitt que portan anomalías en 1q21. Aquí, los datos sugieren que los genes de IRTA son moléculas reguladoras de las células B novedosas que también pueden tener un papel en la linfomagenésis.

Listado de secuencias

- <110> Dalla-Favera, Riccardo
- <120> Aislamiento de cinco genes novedosos que codifican nuevos melanomas de tipo receptor de Fc implicados en la patogénesis del linfoma/melanoma
- 25 <130> 0575/58044-a-PCT-EPO
- <140> 00 98 3778.2 (PCT/US00/32403)
- <141> 2000-11-28
- <160> 44
- <170> PatentIn version 3.1
- 30 <210> 1
<211> 515
<212> PRT
<213> Homo Sapiens
- <400> 1
Met Leu Leu Trp Ala Ser Leu Leu Ala Phe Ala Pro Val Cys Gly Gln
1 5 10 15
- Ser Ala Ala Ala His Lys Pro Val Ile Ser Val His Pro Pro Trp Thr
20 25 30
- Thr Phe Phe Lys Gly Glu Arg Val Thr Leu Thr Cys Asn Gly Phe Gln
35 40 45
- Phe Tyr Ala Thr Glu Lys Thr Thr Trp Tyr His Arg His Tyr Trp Gly
50 55 60
- Glu Lys Leu Thr Leu Thr Pro Gly Asn Thr Leu Glu Val Arg Glu Ser
65 70 75 80
- Gly Leu Tyr Arg Cys Gln Ala Arg Gly Ser Pro Arg Ser Asn Pro Val
85 90 95
- Arg Leu Leu Phe Ser Ser Asp Ser Leu Ile Leu Gln Ala Pro Tyr Ser
95 100 105 110

ES 2 581 239 T3

Val Phe Glu Gly Asp Thr Leu Val Leu Arg Cys His Arg Arg Arg Lys
115 120 125

Glu Lys Leu Thr Ala Val Lys Tyr Thr Trp Asn Gly Asn Ile Leu Ser
130 135 140

Ile Ser Asn Lys Ser Trp Asp Leu Leu Ile Pro Gln Ala Ser Ser Asn
145 150 155 160

Asn Asn Gly Asn Tyr Arg Cys Ile Gly Tyr Gly Asp Glu Asn Asp Val
165 170 175

Phe Arg Ser Asn Phe Lys Ile Ile Lys Ile Gln Glu Leu Phe Pro His
180 185 190

Pro Glu Leu Lys Ala Thr Asp Ser Gln Pro Thr Glu Gly Asn Ser Val
195 200 205

Asn Leu Ser Cys Glu Thr Gln Leu Pro Pro Glu Arg Ser Asp Thr Pro
210 215 220

Leu His Phe Asn Phe Phe Arg Asp Gly Glu Val Ile Leu Ser Asp Trp
225 230 235 240

Ser Thr Tyr Pro Glu Leu Gln Leu Pro Thr Val Trp Arg Glu Asn Ser
245 250 255

Gly Ser Tyr Trp Cys Gly Ala Glu Thr Val Arg Gly Asn Ile His Lys
260 265 270

His Ser Pro Ser Leu Gln Ile His Val Gln Arg Ile Pro Val Ser Gly
275 280 285

Val Leu Leu Glu Thr Gln Pro Ser Gly Gly Gln Ala Val Glu Gly Glu
290 295 300

Met Leu Val Leu Val Cys Ser Val Ala Glu Gly Thr Gly Asp Thr Thr
305 310 315 320

Phe Ser Trp His Arg Glu Asp Met Gln Glu Ser Leu Gly Arg Lys Thr
325 330 335

Gln Arg Ser Leu Arg Ala Glu Leu Glu Leu Pro Ala Ile Arg Gln Ser
340 345 350

ES 2 581 239 T3

His Ala Gly Gly Tyr Tyr Cys Thr Ala Asp Asn Ser Tyr Gly Pro Val
355 360 365

Gln Ser Met Val Leu Asn Val Thr Val Arg Glu Thr Pro Gly Asn Arg
370 375 380

Asp Gly Leu Val Ala Ala Gly Ala Thr Gly Gly Leu Leu Ser Ala Leu
385 390 395 400

Ile Leu Ala Val Ala Leu Leu Phe His Cys Trp Arg Arg Arg Lys Ser
405 410 415

Gly Val Gly Phe Leu Gly Asp Glu Thr Arg Leu Pro Pro Ala Pro Gly
420 425 430

Pro Gly Glu Ser Ser His Ser Ile Cys Pro Ala Gln Val Glu Leu Gln
435 440 445

Ser Leu Tyr Val Asp Val His Pro Lys Lys Gly Asp Leu Val Tyr Ser
450 455 460

Glu Ile Gln Thr Thr Gln Leu Gly Glu Glu Glu Ala Asn Thr Ser
465 470 475 480

Arg Thr Leu Leu Glu Asp Lys Asp Val Ser Val Val Tyr Ser Glu Val
485 490 495

Lys Thr Gln His Pro Asp Asn Ser Ala Gly Lys Ile Ser Ser Lys Asp
500 505 510

Glu Glu Ser 515

5 <210> 2
<211> 2499
<212> ADN
<213> Homo Sapiens

<400> 2
ctcaateagc tttatgcaga gaagaagctt actgagactca ctgttgtgc tgggttaggc 60
aagtgcgtct ttggcaatct gggctgaccc ggcttgcctc ctcagaactc cttctccaac 120
cctggaggcag gtttccatgc tgctgtggc gtccttgctg gcctttgctc cagtctgtgg 180

ES 2 581 239 T3

acaatctgca	gctgcacaca	aactgtgat	ttccgtccat	cctccatgga	ccacatttt	240
caaaggagag	agagtgactc	tgacttgaa	tggatttcag	ttctatgcaa	cagagaaaac	300
aacatggtat	catcggaact	actggggaga	aaagttgacc	ctgaccccaag	gaaacaccc	360
cgaggttcgg	gaatctggac	tgtacagatg	ccaggccccgg	ggctccccac	gaagtaaccc	420
tgtgcgttgc	ctcttttctt	cagactcctt	aatcctgcag	gcaccatatt	ctgtgttga	480
aggtgacaca	ttggttctga	gatgccacag	aagaaggaaa	gagaaattga	ctgtgtgaa	540
ataatacttgg	aatggaaaca	ttcttccat	ttctaataaa	agctgggatc	ttcttatccc	600
acaagcaagt	tcaaataaca	atggcaatta	tcgatgcatt	ggatatggag	atgagaatga	660
tgtatttaga	tcaaatttca	aaataatcaa	aattcaagaa	ctatccac	atccagagct	720
gaaagctaca	gactctcagc	ctacagaggg	gaattctgt	aacctgagct	gtgaaacaca	780
gcttcctcca	gagcggtcag	acacccact	tcacttcaac	ttttcagag	atggcgaggt	840
catcctgtca	gactggagca	cgtaccogga	actccagctc	ccaaccgtct	ggagagaaaa	900
ctcaggatcc	tattggtgt	gtgctgaaac	agtgggggt	aacatccaca	agcacagtc	960
ctcgctacag	atccatgtgc	agcggatccc	tgtgtctggg	gtgctcctgg	agacccagcc	1020
ctcagggggc	caggctgttg	aagggagat	gctggccctt	gtctgctccg	tggctgaagg	1080
cacaggggat	accacattct	cctggcacccg	agaggacatg	caggagatgc	tggggaggaa	1140
aactcagcgt	tccctgagag	cagagctgga	gctccctgcc	atcagacaga	gccatgcagg	1200
gggatactac	tgtacagcag	acaacagcta	cggccctgtc	cagagcatgg	tgctgaatgt	1260
cactgtgaga	gagaccccaag	gcaacagaga	tggccctgtc	gccggggag	ccactggagg	1320
gctgctcagt	gctcttctcc	tggctgtggc	cctgctgttt	cactgctggc	gtcggaggaa	1380
gtcaggagtt	ggtttcttgg	gagacaaac	caggctccct	cccgctccag	geccaggaga	1440
gtctcccat	tccatctgcc	ctgcccagg	ggagcttcag	tctttgtatg	ttgtatgtaca	1500
ccccaaaaag	ggagatttgg	tatactctga	gatccagact	actcagctgg	gagaagaaga	1560
ggaagcta	acctccagga	cacttctaga	ggataaggat	gtctcagttt	tctactctga	1620
ggtaaagaca	caacacccag	ataacteago	tggaaagatc	agctctaagg	atgaagaag	1680
ttaagagaat	gaaaagttac	gggaacgtcc	tactcatgt	atttctccct	tgtccaaagt	1740
cccaggccca	gtcagtcct	tgccggcacct	ggaatgatca	actcattcca	gtttctaat	1800
tcttctcatg	catatgcatt	cactccagg	aatactcatt	cgtctactct	gttgtgg	1860
tggatggcc	tctgaaagac	ttcaactaaa	tgaccaggat	ccacagttaa	gagaagaccc	1920
tgttagtattt	gctgtggcc	tgacctaattg	catccctag	gtctgcttt	agagaaggg	1980
gataaaagaga	gagaaggact	gttatgaaaa	acagaagcac	aaatttttgtt	gaattgggat	2040

ES 2 581 239 T3

ttgcagagat gaaaaagact gggtgaccctg gatctctgct taatacatct acaaccattg 2100
tctcactgga gactcacttg catcagttt ttaactgtg agtggctgca caggcactgt 2160
gcaaacaatg aaaagccct tcacttgc ctgcacagct tacactgtca ggattcagtt 2220
gcagattaaa gaacccatct ggaatggttt acagagagag gaatttaaaa gaggacatca 2280
gaagagctgg agatgcaagc tctaggctgc gctccaaaaa gcaaattgata attatgttaa 2340
tgtcattagt gacaaagatt tgcacacatta gagaaaaagag acacaaatataaaatataaa 2400
acttaagtac caactctcca aaactaaatt tgaacttaaa atatttagtat aaactcataaa 2460
taaactctgc ctttaataaa aaaaaaaaaa aaaaaaaaaa 2499

<210> 3

<211> 592

<212> PRT

5 <213> Homo Sapiens

<400> 3

Met Leu Leu Trp Val Ile Leu Leu Val Leu Ala Pro Val Ser Gly Gln
1 5 10 15

Phe Ala Arg Thr Pro Arg Pro Ile Ile Phe Leu Gln Pro Pro Trp Thr
20 25 30

Thr Val Phe Gln Gly Glu Arg Val Thr Leu Thr Cys Lys Gly Phe Arg
35 40 45

Phe Tyr Ser Pro Gln Lys Thr Lys Trp Tyr His Arg Tyr Leu Gly Lys
50 55 60

Glu Ile Leu Arg Glu Thr Pro Asp Asn Ile Leu Glu Val Gln Glu Ser
65 70 75 80

Gly Glu Tyr Arg Cys Gln Ala Gln Gly Ser Pro Leu Ser Ser Pro Val
85 90 95

His Leu Asp Phe Ser Ser Ala Ser Leu Ile Leu Gln Ala Pro Leu Ser
100 105 110

Val Phe Glu Gly Asp Ser Val Val Leu Arg Cys Arg Ala Lys Ala Glu
115 120 125

ES 2 581 239 T3

Val Thr Leu Asn Asn Thr Ile Tyr Lys Asn Asp Asn Val Leu Ala Phe
130 135 140

Leu Asn Lys Arg Thr Asp Phe His Ile Pro His Ala Cys Leu Lys Asp
145 150 155 160

Asn Gly Ala Tyr Arg Cys Thr Gly Tyr Lys Glu Ser Cys Cys Pro Val
165 170 175

Ser Ser Asn Thr Val Lys Ile Gln Val Gln Glu Pro Phe Thr Arg Pro
180 185 190

Val Leu Arg Ala Ser Ser Phe Gln Pro Ile Ser Gly Asn Pro Val Thr
195 200 205

Leu Thr Cys Glu Thr Gln Leu Ser Leu Glu Arg Ser Asp Val Pro Leu
210 215 220

Arg Phe Arg Phe Phe Arg Asp Asp Gln Thr Leu Gly Leu Gly Trp Ser
225 230 235 240

Leu Ser Pro Asn Phe Gln Ile Thr Ala Met Trp Ser Lys Asp Ser Gly
245 250 255

Phe Tyr Trp Cys Lys Ala Ala Thr Met Pro His Ser Val Ile Ser Asp
260 265 270

Ser Pro Arg Ser Trp Ile Gln Val Gln Ile Pro Ala Ser His Pro Val
275 280 285

Leu Thr Leu Ser Pro Glu Lys Ala Leu Asn Phe Glu Gly Thr Lys Val
290 295 300

Thr Leu His Cys Glu Thr Gln Glu Asp Ser Leu Arg Thr Leu Tyr Arg
305 310 315 320

Phe Tyr His Glu Gly Val Pro Leu Arg His Lys Ser Val Arg Cys Glu
325 330 335

Arg Gly Ala Ser Ile Ser Phe Ser Leu Thr Thr Glu Asn Ser Gly Asn
340 345 350

Tyr Tyr Cys Thr Ala Asp Asn Gly Leu Gly Ala Lys Pro Ser Lys Ala
355 360 365

ES 2 581 239 T3

Val Ser Leu Ser Val Thr Val Pro Val Ser His Pro Val Leu Asn Leu
 370 380

 Ser Ser Pro Glu Asp Leu Ile Phe Glu Gly Ala Lys Val Thr Leu His
 385 390 400

 Cys Glu Ala Gln Arg Gly Ser Leu Pro Ile Leu Tyr Gln Phe His His
 405 410 415

 Glu Asp Ala Ala Leu Glu Arg Arg Ser Ala Asn Ser Ala Gly Gly Val
 420 425 430

 Ala Ile Ser Phe Ser Leu Thr Ala Glu His Ser Gly Asn Tyr Tyr Cys
 435 440 445

 Thr Ala Asp Asn Gly Phe Gly Pro Gln Arg Ser Lys Ala Val Ser Leu
 450 455 460

 Ser Ile Thr Val Pro Val Ser His Pro Val Leu Thr Leu Ser Ser Ala
 465 470 475 480

 Glu Ala Leu Thr Phe Glu Gly Ala Thr Val Thr Leu His Cys Glu Val
 485 490 495

 Gln Arg Gly Ser Pro Gln Ile Leu Tyr Gln Phe Tyr His Glu Asp Met
 500 505 510

 Pro Leu Val Ser Ser Ser Thr Pro Ser Val Gly Arg Val Ser Phe Ser
 515 520 525

 Phe Ser Leu Thr Glu Gly His Ser Gly Asn Tyr Tyr Cys Thr Ala Asp
 530 535 540

 Asn Gly Phe Gly Pro Gln Arg Ser Glu Val Val Ser Leu Phe Val Thr
 545 550 560

 Gly Lys Cys Trp Val Leu Ala Ser Lys Pro Pro Leu Ala Glu Phe Ser
 565 570 575

 Leu Thr His Ser Phe Lys Asn Leu Phe Ala Leu Ser Ser Phe Leu Pro
 580 585 590

 <210> 4
 <211> 5308
 <212> ADN
 5 <213> Homo Sapiens

ES 2 581 239 T3

<400> 4

cggtgcagtgcctgt	aagatcaagt ccaaaccgtt	tttggaaattt	aggaaaacttc	60		
tcttttgc	tcagcccttg gtggccagg	tcttcatgt	gctgtgggtt	atattactgg	120	
tcctggctcc	tgtcagtgg	cagtttgcaa	ggacacccag	gcccatattt	ttccctccagc	180
tctccatgg	ccacagtctt	ccaaggagag	agagtgaccc	tcacttgcaa	gggatttcgc	240
tctactcacc	acagaaaaca	aatggtacc	atcggtacct	tggaaagaa	atactaagag	300
aaaccccaga	caatatcc	gagttcagga	atctggagag	tacagatgcc	aggcccaggg	360
ctcccccttc	atgagccctg	tgcacttg	tttttcttca	gcttcgtga	tcctgcaagc	420
tccactttct	gtgttgaag	gagactctgt	ggttctgagg	tgcgggcaa	aggcggaaagt	480
aacactgaat	aatactattt	acaagaatga	taatgtcctg	gcattcctta	ataaaagaac	540
tgacttccat	attcctcatg	catgtctaa	ggacaatgg	gcatacgct	gtactggata	600
taaggaaagt	tgttgccctg	tttcttccaa	tacagtcaa	atccaagtcc	aagagccatt	660
tacacgtcca	gtgctgagag	ccagctcctt	ccagccatc	agcgggaacc	cagtgaccct	720
gacctgtgag	accaggctct	ctctagagag	gtcagatgtc	ccgtccgg	tccgttctt	780
cagagatgac	cagaccctgg	gattaggctg	gagtctctcc	ccgaatttcc	agattactgc	840
catgtggagt	aaagattca	ggttctactg	gtgttaaggca	gcaacaatgc	cicacagcgt	900
catatctgac	agccccgaga	tcctggatac	aggtgcagat	ccctgcac	catcctgtcc	960
tcactctcag	ccctgaaaag	gctctgaatt	ttgagggAAC	caaggtgaca	cttcactgtg	1020
aaacccagga	agattctctg	cgcacttgt	acaggtttta	tcatgagggt	gtccccctga	1080
ggcacaagtc	agtccgctgt	gaaagggag	catccatcg	cttctactg	actacagaga	1140
attcaggaa	ctactactgc	acagctgaca	atggccttgg	cgccaagccc	agtaaggctg	1200
tgagcctctc	agtcaactgtt	cccgtctc	atccgtctt	caacctcagc	tctcctgagg	1260
acctgatttt	tgagggagcc	aaggtagac	ttcaactgtg	agcccagaga	ggttcaactcc	1320
ccatcctgt	ccagtttcat	catgaggatg	ctgcccgttga	gcgttaggtcg	gccaaactctg	1380
caggaggagt	ggccatcagc	ttctctctga	ctgcagagca	ttcagggAAC	tactactgca	1440
cagctgacaa	tggctttggc	ccccagcgca	gtaaggcggt	gagcctctcc	atcaactgtcc	1500
ctgtgtctca	tcctgtcc	accctcagct	ctgctgaggc	cctgactttt	gaaggagcca	1560
ctgtgacact	tcactgtgaa	gtccagagag	gttccccaca	aatcctatac	cagttttatc	1620

ES 2 581 239 T3

atgaggacat gcccctgtgg	1680
agcagctcaa caccctctgt	
gggaagagtg tccttcagct	
tctctctgac tgaaggacat	1740
tcagggatt actactgcac	
aqctgacaat ggctttggtc	
cccagcgcag tgaagtggtg	1800
ggtaagtgcgt gggttcttgc	
cagtcaccca cccctggctg	
agttctctct cacccattcc	1860
tttaaaaatc tgtttgcact	
gtccagtttc ctccccataat	
caacttaatc cccttcttgg	1920
cttccttcctc aactaactag	
ctggggtttt ccgtactcat	
aagtccctggc tcagccagac	1980
ccctaaaaca gtcagtaga	
ttccccagct tttaccaaat	
gaatttattt attgtatttt	2040
ctcctcattc ttgttatgtt	
ccaacagtagc gccaattttt	
cttgatgcac ggagcgtgtc	2100
ctacttctct actgacattt	
acatattaac ttagctacaa	
gcacagtctt atagataaat	2160
attggcaag accttaaatt	
ctccaaagga tttcaatct	
tatggtagat ttggagaaag	2220
ctgctggta acaaaggggg	
aatgggtcc ctaggaacca	
actcctcaaa cttctggagt	2280
ttttatgatc cttgttttc	
taacctgcta aaatcagtt	
cattttattt tattatittt	2340
aaaaaactat tgttgaagta	
tgacatacat tcaagaaacg	
tgtgcaaatt gtatgtgtac	2400
gatttggtgt cttttttagga	
gctaagttgc ttctgttttt	
acttgaatct ttgtttatag	2460
aaactggggg aaagttact	
ttttttcag agaagccaaa	
tggtagata gaaaaatctt	2520
gagcctgatg tgtcagacat	
gcccctagca taacttgg	
agtaaagagg ttatTTTaa	2580
aatgtgaatg ttctgagact	
actccaaagt cagagccaaa	
tctacttagga agcttctaga	2640
cttcactcat tctgcacccc	
attactatct ttttatccat	
gttttacttt ctttcataat	2700
tcagcagcat cttaagcctc	
tttattttct gtttcttgac	
tgtcaccctt aatgccagta	2760
gaatgtaaagc ttcatgagaa	
cagaactgca tccatctgg	
tcttcacaac atcccctgtgc	2820
ctactcagtg tttggcacac	
agtaggtcct cagtcaacat	
ttgttaattt aatggacagat	2880
gatatgacaa gatgataaga	
ggggatttaa aaaaatcatc	
tagcaaagcc caagaggaaa	2940
aaaaacaaag ctatTTTaa	
aatgaaatac caatttgaag	
cagtaagaat agattggata	3000
tcttgaaaaa ccattaattt	
aatgaagaac caatttgaga	
aaacaataca gaatgcaaag	3060
tagaaagata cagaataaaa	
ggcaaaagtt ataatatgg	
aatcagacaa tggattttgtc	3120
tgtatccagt tatgtggata	
attaaaatgg agaccctcag	
aaaatttgaac cgaagagtaa	3180
aatgaaactc aaaaatgtag	
tagaaattgt tgggaagtaa	
agaaaaacttg aatatgtaga	3240
tcagaacata tatgttgatg	
acgttattga ctttgaggtt	
aaaaatataat atatgtgcct	3300
atgattatgg ggaaaaaaagc	
agtcgtctca gaaagaaaaa	
catcaagttt gtcttagact	3360
ttgcagtgcac tcagttacca	
aagagtttacc acacaaaggg	
agagtgggcc ticaggagat	3420
gccgggtgg cctaacagct	
caggtgcctc taaactccga	

ES 2 581 239 T3

cacagagttc	ctgctttggg	tggatgcatt	tctcaatttgt	catcagcctg	gtggggctac	3480
tgcagtggtgc	tgccaaatgg	gacagcacac	agccctgtgca	catgggacat	gtgatggtc	3540
tccccacggg	ggctgcattt	cacactcctc	cacctgtctc	aaactctaag	gtcggcactt	3600
gacaccaagg	taacttctct	cctgctcatg	tgtcagtgtc	tacctgccc	agtaagtggc	3660
tttcatacac	caagtcggca	agttcttccc	atcctaacag	aagtaaccca	gcaagtcaag	3720
gccaggagga	ccaggggtgc	agacagaaca	catactggaa	cacaggaggt	gctcaattac	3780
tatitgactg	actgactgaa	tgaatgaatg	aatgaggaag	aaaactgtgg	gtaatcaaac	3840
tggcataaaa	tccagtgcac	tcccttagaa	atccgggagg	tattctggct	tcctaagaaa	3900
caacggaaga	gaaggagctt	ggatgaagaa	actgttcage	aagaagaagg	gcttcttcac	3960
acttttatgt	gcttgtggat	cacctgagga	tctgtaaaaa	tacagatact	gattcagtgg	4020
gtctgtgttag	agcctgagac	tgccattcta	acatgttccc	agggatgct	gatgctgctg	4080
gccctgggac	tgcactgcat	gcatgtgaag	ccctataagg	ctcagcagag	gcccatggag	4140
agggaatgtg	tggctctggc	tgcccagggc	ccaaactcggt	tcacacggat	cgtgctgctc	4200
cctggccagc	cttggccac	agcaccacca	gctgtgttg	ctgagagac	ttcttctctg	4260
tgacatgttgc	gtttcatca	gccaccctgg	gaagcggaaa	gtagctgcca	ctatcttgc	4320
ttccccaccc	caggectcac	actttccat	gaaaagggtg	aatgtatata	acctgagccc	4380
tctccattca	gagttgttct	cccatctctg	agcaatggga	tgttctgttc	cgctttatg	4440
atatccatca	catcttatct	tgtatttgc	tcaccagtgg	ttgtacagtg	atgactttta	4500
agccccacgg	ccctgaaata	aaatccctcc	aaggcattt	gaagctcact	ccacctgaac	4560
catggctttt	catgttcca	agtgtcaggg	cottgcccag	atagacaggg	ctgactctgc	4620
tgccccaacc	tttcaaggag	gaaaccagac	acctgagaca	ggagcctgta	tgcagccag	4680
tgcagccttg	cagaggacaa	ggctggagac	atttgcatac	actacagata	tgcaactaaa	4740
atagacgtgg	agcaagagaa	atgcattccc	accgaggccg	cttttttagg	cctagttgaa	4800
agtcaagaag	gacagcagca	agcataggct	caggattaaa	aaaaaaaatc	tgctcacagt	4860
ctgttctggaa	ggtcacatca	ccaaacaaagc	tcacgcccata	tgcagttctg	agaaggtgga	4920
ggcaccaggg	tcaaaagagg	aaatttagaa	tttctcatttgc	ggagagtaag	gtaccccat	4980
cccagaatga	taactgcaca	gtggcagaac	aaactccacc	ctaattgtggg	tggacccat	5040
ccagtctgtt	gaaggcctga	atgtaaacaa	aggcattatt	cttcctcaag	taaggggaa	5100
ctcctgcttt	gggctgggac	ataagtttt	ctgcttcag	acgcaaactg	aaaaatggct	5160
cttcctgggt	tttgagcttg	ctggcatatg	gactgaaaga	aactatgcta	ttggatctcc	5220
tggatctcca	gcttgcgtac	tgcagatctt	gagatatgtc	agcctctaca	gtcacaagag	5280
ctaattcatt	ctaataaaacc	aatotttc				5308

<210> 5
5 <211> 734
<212> PRT
<213> Homo Sapiens

ES 2 581 239 T3

<400> 5

Met Leu Leu Trp Leu Leu Leu Ile Leu Thr Pro Gly Arg Glu Gln
1 5 10 15

Ser Gly Val Ala Pro Lys Ala Val Leu Leu Leu Asn Pro Pro Trp Ser
20 25 30

Thr Ala Phe Lys Gly Glu Lys Val Ala Leu Ile Cys Ser Ser Ile Ser
35 40 45

His Ser Leu Ala Gln Gly Asp Thr Tyr Trp Tyr His Asp Glu Lys Leu
50 55 60

Leu Lys Ile Lys His Asp Lys Ile Gln Ile Thr Glu Pro Gly Asn Tyr
65 70 75 80

Gln Cys Lys Thr Arg Gly Ser Ser Leu Ser Asp Ala Val His Val Glu
85 90 95

Phe Ser Pro Asp Trp Leu Ile Leu Gln Ala Leu His Pro Val Phe Glu
100 105 110

Gly Asp Asn Val Ile Leu Arg Cys Gln Gly Lys Asp Asn Lys Asn Thr
115 120 125

His Gln Lys Val Tyr Tyr Lys Asp Gly Lys Gln Leu Pro Asn Ser Tyr
130 135 140

Asn Leu Glu Lys Ile Thr Val Asn Ser Val Arg Asp Asn Ser Lys
145 150 155 160

Tyr His Cys Thr Ala Tyr Arg Lys Phe Tyr Ile Leu Asp Ile Glu Val
165 170 175

ES 2 581 239 T3

Thr Ser Lys Pro Leu Asn Ile Gln Val Gln Glu Leu Phe Leu His Pro
180 185 190

Val Leu Arg Ala Ser Ser Ser Thr Pro Ile Glu Gly Ser Pro Met Thr
195 200 205

Leu Thr Cys Glu Thr Gln Leu Ser Pro Gln Arg Pro Asp Val Gln Leu
210 215 220

Gln Phe Ser Leu Phe Arg Asp Ser Gln Thr Leu Gly Leu Gly Trp Ser
225 230 235 240

Arg Ser Pro Arg Leu Gln Ile Pro Ala Met Trp Thr Glu Asp Ser Gly
245 250 255

Ser Tyr Trp Cys Glu Val Glu Thr Val Thr His Ser Ile Lys Lys Arg
260 265 270

Ser Leu Arg Ser Gln Ile Arg Val Gln Arg Val Pro Val Ser Asn Val
275 280 285

Asn Leu Glu Ile Arg Pro Thr Gly Gly Gln Leu Ile Glu Gly Glu Asn
290 295 300

Met Val Leu Ile Cys Ser Val Ala Gln Gly Ser Gly Thr Val Thr Phe
305 310 315 320

Ser Trp His Lys Glu Gly Arg Val Arg Ser Leu Gly Arg Lys Thr Gln
325 330 335

Arg Ser Leu Leu Ala Glu Leu His Val Leu Thr Val Lys Glu Ser Asp
340 345 350

Ala Gly Arg Tyr Tyr Cys Ala Ala Asp Asn Val His Ser Pro Ile Leu
355 360 365

Ser Thr Trp Ile Arg Val Thr Val Arg Ile Pro Val Ser His Pro Val
370 375 380

Leu Thr Phe Arg Ala Pro Arg Ala His Thr Val Val Gly Asp Leu Leu
385 390 395 400

Glu Leu His Cys Glu Ser Leu Arg Gly Ser Pro Pro Ile Leu Tyr Arg
405 410 415

Phe Tyr His Glu Asp Val Thr Leu Gly Asn Ser Ser Ala Pro Ser Gly

ES 2 581 239 T3

420

425

430

Gly Gly Ala Ser Phe Asn Leu Ser Leu Thr Ala Glu His Ser Gly Asn
435 440 445

Tyr Ser Cys Asp Ala Asp Asn Gly Leu Gly Ala Gln His Ser His Gly
450 455 460

Val Ser Leu Arg Val Thr Val Pro Val Ser Arg Pro Val Leu Thr Leu
465 470 475 480

Arg Ala Pro Gly Ala Gln Ala Val Val Gly Asp Leu Leu Glu Leu His
485 490 495

Cys Glu Ser Leu Arg Gly Ser Phe Pro Ile Leu Tyr Trp Phe Tyr His
500 505 510

Glu Asp Asp Thr Leu Gly Asn Ile Ser Ala His Ser Gly Gly Ala
515 520 525

Ser Phe Asn Leu Ser Leu Thr Thr Glu His Ser Gly Asn Tyr Ser Cys
530 535 540

Glu Ala Asp Asn Gly Leu Gly Ala Gln His Ser Lys Val Val Thr Leu
545 550 555 560

Asn Val Thr Gly Thr Ser Arg Asn Arg Thr Gly Leu Thr Ala Ala Gly
565 570 575

Ile Thr Gly Leu Val Leu Ser Ile Leu Val Leu Ala Ala Ala Ala
580 585 590

Leu Leu His Tyr Ala Arg Ala Arg Arg Lys Pro Gly Gly Leu Ser Ala
595 600 605

Thr Gly Thr Ser Ser His Ser Pro Ser Glu Cys Gln Glu Pro Ser Ser
610 615 620

Ser Arg Pro Ser Arg Ile Asp Pro Gln Glu Pro Thr His Ser Lys Pro
625 630 635 640

Leu Ala Pro Met Glu Leu Glu Pro Met Tyr Ser Asn Val Asn Pro Gly
645 650 655

Asp Ser Asn Pro Ile Tyr Ser Gln Ile Trp Ser Ile Gln His Thr Lys
660 665 670

ES 2 581 239 T3

Glu Asn Ser Ala Asn Cys Pro Met Met His Gln Glu His Glu Glu Leu
675 680 685

Thr Val Leu Tyr Ser Glu Leu Lys Lys Thr His Pro Asp Asp Ser Ala
690 695 700

Gly Glu Ala Ser Ser Arg Gly Arg Ala His Glu Glu Asp Asp Glu Glu
705 710 715 720

Asn Tyr Glu Asn Val Pro Arg Val Leu Leu Ala Ser Asp His
725 730

<210> 6

<211> 2970

<212> ADN

5 <213> Homo Sapiens

<400> 6

agtgaagggg tttcccatat gaaaaataca gaaagaatta ttgtataact agcaaataca	60
caacttgata ttcttagaga acccagggcac agtcttgag acattactcc tgagagactg	120
cagctgatgg aagatgagcc ccaacttcta aaaatgtatc actaccggga ttgagataca	180
aacagcattt aggaaggctc catctgagta gcagcttcct gcccttccttc ttggagataaa	240
gtcgggcttt tggtgagaca gactttccca accctctgcc cggccgggtgc ccatgcttct	300
gtggctgctg ctgctgatcc tgactcctgg aagagaacaa tcaggggtgg ccccaaaaagc	360
tgtacttctc ctcaatcctc catggccac agccttcaaa ggagaaaaag tggctctcat	420
atgcagcagc atatcacatt ccctagccca gggagacaca tattggatc acgtgagaa	480
gttgttggaa ataaaacatg acaagatcca aattacagag cctggaaatt accaatgtaa	540
gacccgagga tccctccctca gaattacaga gcctggaaat taccaatgtt agacccgagg	600
atccctccctc agacatcctg tctttgaagg agacaatgtc attctgagat gtcaggggaa	660
agacaacaaa aacacitcatc aaaagggtttt ctacaaggat ggaaaacagc ttccataatag	720
ttataatittt gagaagatca cagtgaattc agtctccagg gataatagca aatatcattt	780
tactgcttat aggaagtttt acataacttga cattgaagta acttcaaaac ccctaaatat	840
ccaagttcaa gagctgtttc tacatcctgt gctgagagcc agctcttcca cgcccataga	900

ES 2 581 239 T3

ggggagtc	atgaccctga	cctgtgagac	ccagctct	ccacagaggc	cagatgtcca	960
gctgcattc	tccctcttca	gagatagcca	gaccctcgga	ttgggctgga	gcaggcccc	1020
cagactccag	atccctgcca	tgtggactga	agactcaggg	tcttactgg	gtgagggtgga	1080
gacagtact	cacagcatca	aaaaaaaggag	cctgagatct	cagatacgtg	tacagagagt	1140
ccctgtgtct	aatgtgaatc	tagagatccg	gcccacccgga	gggcagctga	ttgaaggaga	1200
aaatatggtc	cttatttgct	cagtagccca	gggttcaggg	actgtcacat	tctcctggca	1260
caaagaagga	agagtaagaa	gcctggtag	aaagacccag	cgttccctgt	tggcagagct	1320
gcatgttctc	accgtgaagg	agagtgtatgc	agggagatac	tactgtgcag	ctgataacgt	1380
tcacagcccc	atcctcagca	cgtggattcg	agtccacgtg	agaattccgg	tatctcaccc	1440
tgtcctcacc	ttcaggggctc	ccagggccca	cactgtggtg	ggggacctgc	tggagcttca	1500
ctgtgagttc	ctgagaggtt	ctcccccgat	cotgtaccga	ttttatcatg	aggatgtcac	1560
cctggggAAC	agctcagccc	cctctggagg	aggagcttcc	ttcaacctct	ctctgactgc	1620
agaacattct	ggaaactact	cctgtgatgc	agacaatggc	ctgggggccc	agcacagtc	1680
tggagtgagt	ctcagggtca	cagttccgtt	gttcgc	gttccatccc	tcagggttcc	1740
cgggggccag	gctgtggtag	gggacctgct	ggagttcac	tgtgagtccc	tgagaggctc	1800
cttcccgatc	ctgtacttgt	tttatcacga	ggatgacacc	ttggggaaaca	tctcggccca	1860
ctctggagga	ggggcatctt	tcaacctctc	tctgactaca	gaacattctg	gaaactactc	1920
atgtgaggct	gacaatggcc	ttggggccca	gcacagtaaa	gtggtgacac	tcaatgttac	1980
aggaacttcc	aggaacagaa	caggcattac	cgctgcggg	atcacggggc	tggtgcttag	2040
catcctcgtc	cttgctgctg	ctgctgtct	gtgcattac	gccaggccc	gaaggaaacc	2100
aggaggactt	tctgccactg	gaacatctag	tcacagtct	agttagtgc	aggagcttc	2160
ctcgtccagg	ccttccagga	tagaccctca	agagccact	cactctaaac	cactagcccc	2220
aatggagctg	gagccaatgt	acagcaatgt	aaatcttgg	gatagcaacc	cgatttattc	2280
ccagatctgg	agcatccagc	ataaaaaaga	aaactcagct	aattgtccaa	tgtgcatca	2340
agagcatgag	gaacttacag	tcctcttattc	agaactgaag	aagacacacc	cagacgactc	2400
tgcaggggag	gctagcagca	gaggcagggc	ccatgaagaa	gatgatgaag	aaaactatga	2460
gaatgtacca	cgtgttattac	tggcctcaga	ccactagccc	cttaccaga	gtggcccaca	2520
ggaaacagcc	tgcaccat	ttttttctgt	tctctccaa	cacacatcat	ccatctctcc	2580
agactctgcc	tcctacgagg	ctgggtctca	gggtatgt	ggctgagcaa	aaggctctca	2640
aatctccct	gtgcctgatc	tgtgtgttcc	ccaggaagag	agcaggcagc	ctctgagcaa	2700
gcactgtgtt	atttcacag	tggagacacg	tggcaaggca	ggagggccct	cagtccttag	2760
ggctgtcgaa	tagaggagga	gagagaaatg	gtctagccag	ggttacaagg	gcacaatcat	2820
gaccatttga	tccaagtgt	atcgaaagct	gttaatgtc	tctctgtata	aacaatttgc	2880
tccaaatatt	ttgtttccct	tttttgcgt	gctggtagtg	gcattgctga	tgttttggtg	2940
tatatgtgt	atccttgcta	ccatattggg				2970

5 <210> 7
 <211> 508
 <212> PRT
 <213> Homo Sapiens

ES 2 581 239 T3

<400> 7

Met Leu Leu Trp Ser Leu Leu Val Ile Phe Asp Ala Val Thr Glu Gln
1 5 10 15

Ala Asp Ser Leu Thr Leu Val Ala Pro Ser Ser Val Phe Glu Gly Asp
20 25 30

Ser Ile Val Leu Lys Cys Gln Gly Glu Gln Asn Trp Lys Ile Gln Lys
35 40 45

Met Ala Tyr His Lys Asp Asn Lys Glu Leu Ser Val Phe Lys Lys Phe
50 55 60

Ser Asp Phe Leu Ile Gln Ser Ala Val Leu Ser Asp Ser Gly Asn Tyr
65 70 80

Phe Cys Ser Thr Lys Gly Gln Leu Phe Leu Trp Asp Lys Thr Ser Asn
85 90 95

Ile Val Lys Ile Lys Val Gln Glu Leu Phe Gln Arg Pro Val Leu Thr
100 105 110

Ala Ser Ser Phe Gln Pro Ile Glu Gly Pro Val Ser Leu Lys Cys
115 120 125

Glu Thr Arg Leu Ser Pro Gln Arg Leu Asp Val Gln Leu Gln Phe Cys
130 135 140

Phe Phe Arg Glu Asn Gln Val Leu Gly Ser Gly Trp Ser Ser Ser Pro
145 150 155 160

ES 2 581 239 T3

Glu Leu Gln Ile Ser Ala Val Trp Ser Glu Asp Thr Gly Ser Tyr Trp
165 170 175

Cys Lys Ala Glu Thr Val Thr His Arg Ile Arg Lys Gln Ser Leu Gln
180 185 190

Ser Gln Ile His Val Gln Arg Ile Pro Ile Ser Asn Val Ser Leu Glu
195 200 205

Ile Arg Ala Pro Gly Gly Gin Val Thr Glu Gly Gln Lys Leu Ile Leu
210 215 220

Leu Cys Ser Val Ala Gly Gly Thr Gly Asn Val Thr Phe Ser Trp Tyr
225 230 235 240

Arg Glu Ala Thr Gly Thr Ser Met Gly Lys Lys Thr Gln Arg Ser Leu
245 250 255

Ser Ala Glu Leu Glu Ile Pro Ala Val Lys Glu Ser Asp Ala Gly Lys
260 265 270

Tyr Tyr Cys Arg Ala Asp Asn Gly His Val Pro Ile Gln Ser Lys Val
275 280 285

Val Asn Ile Pro Val Arg Ile Pro Val Ser Arg Pro Val Leu Thr Leu
290 295 300

Arg Ser Pro Gly Ala Gln Ala Ala Val Gly Asp Leu Leu Glu Leu His
305 310 315 320

Cys Glu Ala Leu Arg Gly Ser Pro Pro Ile Leu Tyr Gln Phe Tyr His
325 330 335

Glu Asp Val Thr Leu Gly Asn Ser Ser Ala Pro Ser Gly Gly Ala
340 345 350

Ser Phe Asn Leu Ser Leu Thr Ala Glu His Ser Gly Asn Tyr Ser Cys
355 360 365

Glu Ala Asn Asn Gly Leu Gly Ala Gln Cys Ser Glu Ala Val Pro Val
370 375 380

Ser Ile Ser Gly Pro Asp Gly Tyr Arg Arg Asp Leu Met Thr Ala Gly
385 390 395 400

ES 2 581 239 T3

Val Leu Trp Gly Leu Phe Gly Val Leu Gly Phe Thr Gly Val Ala Leu
405 410 415

Leu Leu Tyr Ala Leu Phe His Lys Ile Ser Gly Glu Ser Ser Ala Thr
420 425 430

Asn Glu Pro Arg Gly Ala Ser Arg Pro Asn Pro Gln Glu Phe Thr Tyr
435 440 445

Ser Ser Pro Thr Pro Asp Met Glu Glu Leu Gln Pro Val Tyr Val Asn
450 455 460

Val Gly Ser Val Asp Val Asp Val Val Tyr Ser Gln Val Trp Ser Met
465 470 475 480

Gln Gln Pro Glu Ser Ser Ala Asn Ile Arg Thr Leu Leu Glu Asn Lys
485 490 495

Asp Ser Gln Val Ile Tyr Ser Ser Val Lys Lys Ser
500 505

<210> 8

<211> 2580

<212> ADN

5 <213> Homo Sapiens

<400> 8

tggcacca gactacatct ctttcaa at agctggatta ggtcctcatg ctgcgttggt 60
cattgctggc catctttgat gcagtcactg aacaggcaga ttgcgtgacc ctgtggcg 120
ccctttctgt ctgcgaagga gacagcatcg ttctgaaatg ccagggagaa cagaactgga 180
aaattcagaa gatggcttac cataaggata acaaagagt atctgttttc aaaaaattct 240
cagatttcct tatccaaagt gcagtttaa gtgacagtgg taactatttc tgttagtacca 300
aaggacaact ctttctctgg gataaaactt caaatatagt aaagataaaa gtccaagagc 360
tctttcaacg tccctgtctg actgccagct cttccagcc catcgaaagg ggtccagtga 420
gcctgaaatg tgagacccgg ctctctccac agaggttgg a tttcaactc cagttctgt 480
tcttcagaga aaaccaggc tcggggtcag gctggagcag ctctccggag ctccagattt 540
ctgccgtgtg gagtgaagac acagggctt actggtgcaa ggcagaaacg gtgactcaca 600

ES 2 581 239 T3

ggatcagaaa acagagcctc caatcccaga ttcacgtgca gagaatcccc atctctaattg 660
 taagcttggaa gatccggggcc cccgggggac aggtgactga aggacaaaaaa ctgatcctgc 720
 tctgctcagt ggctgggggt acagggaaatg tcacattctc ctgg tacaga gaggccacag 780
 gaaccagtat gggaaagaaa acccagcggtt ccctgtcagc agagctggag atcccaagctg 840
 tgaaaagagag ttagtgcggc aaatattact gttagagctga caacggccat gtgcctatcc 900
 agagcaaggt ggtgaatatac cctgtgagaa ttccatgtgc tggccctgtc ctcaccctca 960
 ggtctctgg ggcccaggct gcagtggggg acctgctgga gcttcaactgt gaggccctga 1020
 gaggtctcc cccaatcttg tccaattttt atcatgagga tgtaaccctt gggAACAGCT 1080
 cggccccctc tggaggaggg gcctccttca acctctctt gactgcagaa cattctggaa 1140
 actactcctg tgaggccaaac aacggcctgg gggcccaagtg cagttagggca gtgccagtc 1200
 ccatctcagg acctgatggc tatagaagag acctcatgac agctggagtt ctctggggac 1260
 tgtttggtgt ctttgggttc actgggttttgc ctttgcgttt gtatgccttg ttccacaaga 1320
 tatcaggaga aagtctgcc actaatgaac ccagaggggc ttccaggccaa aatctcaag 1380
 agttcaccta ttcaagccca accccagaca tggaggagct gcagccagtg tatgtcaatg 1440
 tgggctctgt agatgtggat gtgggtttatt ctcaggtctg gagcatgcag cagccagaaa 1500
 gctcagcaaa catcaggaca cttctggaga acaaggactc ccaagtcata tactcttctg 1560
 tgaagaaatc ataacacttg gaggaatcag aaggaaatg caacagcaag gatggggcat 1620
 cattaagact tgctataaaa ccttatgaaa atgcttgagg cttatcacct gccacagccaa 1680
 gaacgtgcct caggaggcac ctccctgtcat ttttgccttg atgatgtttc ttctccaaata 1740
 tcttctttta cctatcaata ttcatgaaac tgctgctaca tccagacact gtgcaaataa 1800
 attatctctg ctaccttctc ttaagcaatc agtgtgtaaa gatttgagg aagaatgaat 1860
 aagagataca aggtctcacc ttcatctact gtgaagtgtat gagaacagga cttgtatgt 1920
 gtgtatataac ttatctatgt gctgctggat acagtttgct aatatcttgc tgagaatttt 1980
 tgcaaataatg ttcatggga atatggcct gaaatcttct ttccactgt gtctctgcca 2040
 gaatgtttgt atcaggctga tgctggcttc atagaatgag ttaggcagga gcccctcctc 2100
 .
 ctgttatttt tggcatagtt tcagcaggat tggtaccagt tattcttct gcatcttgta 2160
 gaattcagct atgaatccat ctggcttagg gctttgtgt tggttggtaa gttttttatt 2220
 actaattcaa ctccagcgct tgatattggc ttagggggg tttctgtctc ttccctggttc 2280
 aatcttggga gattgtgtgt ttccaggaat ttagccgttt cttccagatt ttcttcttta 2340
 tgtgcatacgat cttgagtgtat aacataactt atatgcactg gaaaacccaaa aatctgtgt 2400
 gacttgtttt attgcagcat ttgttttatt ttggtagtct ggaactgaac ctgcaatatac 2460
 accaaagtat gcatataggat gcaaaaatgt gattttgac atagtaaata tgagtatttg 2520
 caataaaacta tgatattact tttgtaaatgat tatagaataa aatgtaaata atctataaaa 2580
 <210> 9
 5 <211> 429
 <212> PRT
 <213> Homo Sapiens

ES 2 581 239 T3

<400> 9

Met Leu Pro Arg Leu Leu Leu Ile Cys Ala Pro Leu Cys Glu Pro
1 5 10 15

Ala Glu Leu Phe Leu Ile Ala Ser Pro Ser His Pro Thr Glu Gly Ser
20 25 30

Pro Val Thr Leu Thr Cys Lys Met Pro Phe Leu Gln Ser Ser Asp Ala
35 40 45

Gln Phe Gln Phe Cys Phe Phe Arg Asp Thr Arg Ala Leu Gly Pro Gly
50 55 60

Trp Ser Ser Ser Pro Lys Leu Gln Ile Ala Ala Met Trp Lys Glu Asp
65 70 75 80

Thr Gly Ser Tyr Trp Cys Glu Ala Gln Thr Met Ala Ser Lys Val Leu
85 90 95

Arg Ser Arg Arg Ser Gln Ile Asn Val His Arg Val Pro Val Ala Asp
100 105 110

Val Ser Leu Glu Thr Gln Pro Pro Gly Gly Gln Val Met Glu Gly Asp
115 120 125

Arg Leu Val Leu Ile Cys Ser Val Ala Met Gly Thr Gly Asp Ile Thr
130 135 140

Phe Leu Trp Tyr Lys Gly Ala Val Gly Leu Asn Leu Gln Ser Lys Thr
145 150 155 160

Gln Arg Ser Leu Thr Ala Glu Tyr Glu Ile Pro Ser Val Arg Glu Ser
165 170 175

ES 2 581 239 T3

Asp Ala Glu Gln Tyr Tyr Cys Val Ala Glu Asn Gly Tyr Gly Pro Ser
180 185 190

Pro Ser Gly Leu Val Ser Ile Thr Val Arg Ile Pro Val Ser Arg Pro
195 200 205

Ile Leu Met Leu Arg Ala Pro Arg Ala Gln Ala Ala Val Glu Asp Val
210 215 220

Leu Glu Leu His Cys Glu Ala Leu Arg Gly Ser Pro Pro Ile Leu Tyr
225 230 235 240

Trp Phe Tyr His Glu Asp Ile Thr Leu Gly Ser Arg Ser Ala Pro Ser
245 250 255

Gly Gly Gly Ala Ser Phe Asn Leu Ser Leu Thr Glu Glu His Ser Gly
260 265 270

Asn Tyr Ser Cys Glu Ala Asn Asn Gly Leu Gly Ala Gln Arg Ser Glu
275 280 285

Ala Val Thr Leu Asn Phe Thr Val Pro Thr Gly Ala Arg Ser Asn His
290 295 300

Leu Thr Ser Gly Val Ile Glu Gly Leu Leu Ser Thr Leu Gly Pro Ala
305 310 315 320

Thr Val Ala Leu Leu Phe Cys Tyr Gly Leu Lys Arg Lys Ile Gly Arg
325 330 335

Arg Ser Ala Arg Asp Pro Leu Arg Ser Leu Pro Ser Pro Leu Pro Gln
340 345 350

Glu Phe Thr Tyr Leu Asn Ser Pro Thr Pro Gly Gln Leu Gln Pro Ile
355 360 365

Tyr Glu Asn Val Asn Val Val Ser Gly Asp Glu Val Tyr Ser Leu Ala
370 375 380

Tyr Tyr Asn Gln Pro Glu Gln Glu Ser Val Ala Ala Glu Thr Leu Gly
385 390 395 400

Thr His Met Glu Asp Lys Val Ser Leu Asp Ile Tyr Ser Arg Leu Arg
405 410 415

Lys Ala Asn Ile Thr Asp Val Asp Tyr Glu Asp Ala Met
420 425

<210> 10
5 <211> 2303
<212> ADN
<213> Homo Sapiens

ES 2 581 239 T3

<400> 10

gaggcatctc taggtaccat ccctgacctg gtcctcatgc tgccgaggct gttgctgttgc	60
atctgtgctc cactctgtga acctgccgag ctgttttta tagccagccc ctccccatccc	120
acagagggga gcccagtgtac cctgacgtgt aagatgcct ttctacagag ttcagatgcc	180
cagttccagt tctgtttttt cagagacacc cgggcottgg gcccaggctg gagcagctcc	240
cccaagctcc agatcgctgc catgtggaaa gaagacacag ggtcatactg gtgcgaggca	300
cagacaatgg cgtccaaagt cttgaggagc aggagatccc agataaatgt gcacagggtc	360
cctgtcgctg atgtgagctt ggagactcag cccccaggag gacaggtgat ggagggagac	420
aggctggtcc tcatctgctc agttgctatg ggcacaggag acatcacctt cctttggtag	480
aaaggggctg taggtttaaa ctttcagtca aagacccagc gttcactgac agcagagttat	540
gagattccctt cagtggggaa gagtgatgtc gagcaatatt actgtgtac tgaaaatggc	600
tatggtccca gccccagttgg gctggtgagc atcaactgtca gaatcccggt gtctcgccca	660
atccctcatgc tcagggtctcc cagggccca gctgcagtgg agatgtgct ggagcttcac	720
tgtgaggccc tgagaggctc tcctccaatc ctgtactggc ttatcacgaa ggatatcacc	780
ctggggagca ggtcgccccc ctctggagga ggagcccttc tcaacctttc cctgactgaa	840
gaacattctg gaaactactc ctgtgaggcc aacaatggcc tgggggccccca ggcgactgag	900
gccccgtacac tcaacttcac agtgccactt gggccagaa gcaatcatct tacctcagga	960
gtcattgagg ggctgctcag cacccttggt ccagccaccc tggccttatt attttgcac	1020
ggcctcaaaa gaaaaatagg aagacgttca ggcaggatc cactcaggag ctttccac	1080
cctctacccc aagagttcac ctacctcaac tcacccatcc cagggcagct acagectata	1140
tatgaaaatgt tgaatgttgt aagtggggat gaggtttatt cactggcgta ctataaccag	1200
ccggagcagg aatcagtagc agcagaaacc ctggggacac atatggagga caaggttcc	1260
ttagacatct attccaggct gagggaaagca aacattacag atgtggacta tgaagatgt	1320

ES 2 581 239 T3

	atgttaagggtt atggaagatt ctgcttttgc aaaaccatcc atgaccccaa gcctcaggcc	1380
	tgtatgttc ttccagagatc ctggggcatt agctttccag tataaccttctt ctggatgcc	1440
	ttctccatgg cactattcct tcatactactg tgaagtgaag ttggcgccgc cctgaagaaa	1500
	ctaccttagga gaactaatag acacaggagt gacaggact ttgttatca gaccatgttcc	1560
	ctggccggctc ctttgaaaac aggtcatatt gtgcctttctt gtttacaaga ggaaacaaga	1620
	tggaaataaaa gaaattggga tcttgggttg gagggacgt gaagcttgc gcacatgttcc	1680
	tcaagggttag tgactctgca ggacttcaca gagagagctg tgcccatcat tcagtcac	1740
	tgctttctctt gcccagacag cacagaactc cagccccgtt acttacatgg atcatcgagt	1800
	ttcccacctaa aatatgatttcc tattttttt gaggactgtt tacaaaatta gaactaaaac	1860
	aaagttacat aaaaagttat tgtgactcca cttaattttt gtgacgttatttttata	1920
	taggccaacc tataccacat cccaaattat gtatcttata cagccccat aagctttata	1980
	aatacagtgt gtctttttt attcacaaaaa tttttgaaat cgtggtaata tggtttggaaa	2040
	cctgtatctt aattttttt ttttttttattt gaggacgggt ctcactctgtt cactcaatct	2100
	ggaatgcagt ggcacaatct tgcctcaactg caacgcctgc ctctcaggctt caagcaaaacc	2160
	tctcacctca gcctgttggtag tagtggac tacaggcaca tgccacccaa cttggccatt	2220
	ttttgttctt cgttagagaca agatttcacc gttttggccca ggctggcttc aacttcctgg	2280
	gctcaagcaa tgtattgaat ttt	2303
	<210> 11	
	<211> 90	
5	<212> ADN	
	<213> Homo Sapiens	
	<400> 11	
	gggcctgaca gcaacttttc ttctactagt tcatacttaac tttatcttgg taactggcga	60
	gacaacctgtt cttaagtaac tgaaggaaa	90
	<210> 12	
10	<211> 90	
	<212> ADN	
	<213> Homo Sapiens	
	<400> 12	
	gggcctgaca gcaacttttc ttctactagt tcatacttaac acactgtctt gtacggggca	60
	cgtgggcaca ggtgcacactt cacaacttca	90
15	<210> 13	
	<211> 90	
	<212> ADN	
	<213> Homo Sapiens	
	<400> 13	
	tcccaactgac gcatgcaggaa aggggcaccc ccccttaacc acactgtctt gtacggggca	60
20	cgtgggcaca ggtgcacactt cacaacttca	90
	<210> 14	
	<211> 2499	
	<212> ADN	
	<213> Homo Sapiens	

ES 2 581 239 T3

<400> 14

ctcaatcagc tttatgcaga gaagaagctt actgagctca ctgctggtgc tggtgttaggc	60
aagtgcgtgt ttggcaatct gggctgaccc ggcttgctc ctcagaactc cttctccaac	120
cctggagcag gcttccatgc tgctgtggc gtccttgctg gcctttgctc cagtcgtgg	180
acaatctgca gctgcacaca aacctgtgat ttccgtccat ctcctatgga ccacatttt	240
caaaggagag agagtgactc tgacttgcaa tggatttcag ttctatgcaa caagaaaaac	300
aacatggtat catggcaact actggggaga aaagttgacc ctgacccccag gaaacacccct	360
cgagggttcgg gaatctggac tgtacagatg ccaggccccgg ggctccccac gaagtaaccc	420
tgtgcgttg ctctttctt cagactcctt aatcctgcag gcaccatatt ctgtgtttga	480
aggtgacaca ttggttctga gaigccacag aagaaggaaa gagaaattga ctgctgtgaa	540
atatacttgg aatggaaaca ttctttccat ttctaataaa agctggatc ttcttatccc	600
acaagcaagt tcaaataaca atggcaatta tcgatgcatt ggatatggag atgagaatga	660
tgtatttaga tcaaatttca aaataattaa aattcaagaa ctatttccac atccagagct	720
gaaagctaca gactctcagc ctacagaggg gaattctgtta aacctgagct gtgaaacaca	780

ES 2 581 239 T3

gcttcctcca gagcggtcag acacccact tcacttcaac ttcttcagag atggcgaggt 840
catccgtca gactggagca cgtacccgga actccagctc ccaaccgtct ggagagaaaa 900
ctcaggatcc tattggtgta gtgctaaac agtgagggt aacatccaca agcacagtcc 960
ctcgctacag atccatgtgc agcggateccc tgtgtctggg gtgctctgg agacccagcc 1020
ctcagggggc caggctgtg aagggagat gctggtcctt gtctgctccg tggctgaagg 1080
cacaggggat accacattct cttggcaccgc agaggacatg caggagatc tggggagaa 1140
aactcagegt tccctgagag cagagctgga gctccctgcc atcagacaga gccatgcagg 1200
gggatactac tgtacagcag acaacagcta cggccctgtc cagagcatgg tgctgaatgt 1260
caactgtgaga gagacccag gcaacagaga tggccctgtc gccggggag ccactggagg 1320
gctgctcagt gctttctcc tggctgtggc cctgctgttt cactgctggc gtggaggaa 1380
gtcaggagtt ggtttcttgg gagacgaaac caggctccc cccgctccag gcccgaggaga 1440
gtcctccat tccatctgcc ctgcggcaggt ggagcttcag tcqtttatq ttgatgtaca 1500
ccccaaaaag ggagatttgg tatactctga gatccagact actcagctgg gagaagaaga 1560
ggaagctaat acctccagga cacttctaga ggataaggat gtctcagttg tctactctga 1620
ggtaaagaca caacacccag ataactcagc tggaaagatc agctctaagg atgaagaaag 1680
ttaagagaat gaaaagttac gggAACGTCC tactcatgtg atttctccct tgtccaaagt 1740
cccaggccca gtgcagtcct tgcggcacct ggaatgatca actcattcca gctttctaat 1800
tcttcctatg catatgcatt cactcccagg aatactcatt cgtctactct gatgttggga 1860
tggaaatggcc tctgaaagac ttcaactaaaa tgaccaggat ccacagttaa gagaagaccc 1920
tgttagtattt gctgtggcc tgacctaattt cattccctag ggtctgottt agagaagggg 1980
gataaaagaga gagaaggact gttatgaaaa acagaagcac aaattttggt gaattgggat 2040
ttgcagagat gaaaagact gggtgacactg gatctctgtc taatacatct acaaccattg 2100
tctcacttgg gactcaactg catcagtttgc tttaactgtg agtggctgca caggcactgt 2160
gcaaacaatg aaaagccct tcacttctgc ctgcacagct tacactgtca ggattcagtt 2220
gcagattaaa gaacccatct ggaatggttt acagagagag gaatttaaaa gaggacatca 2280
gaagagctgg agatgcaagc tctaggctgc gcttccaaaa gcaaattgata attatgttaa 2340
tgtcaattt gacaaagatt tgcaacatta gaaaaagag acacaaatataaaaattt 2400
acttaagtac caactctcca aaactaaatt tgaacttaaa atattatgtataa 2460
taaactctgc ctttaataaa aaaaaaaaaaaaaaaa 2499

<210> 15

<211> 515

5 <212> PRT

<213> Homo Sapiens

ES 2 581 239 T3

<400> 15

Met Leu Leu Trp Ala Ser Leu Leu Ala Phe Ala Pro Val Cys Gly Gln
1 5 10 15

Ser Ala Ala Ala His Lys Pro Val Ile Ser Val His Pro Pro Trp Thr
20 25 30

Thr Phe Phe Lys Gly Glu Arg Val Thr Leu Thr Cys Asn Gly Phe Gln
35 40 45

Phe Tyr Ala Thr Glu Lys Thr Thr Trp Tyr His Arg His Tyr Trp Gly
50 55 60

Glu Lys Leu Thr Leu Thr Pro Gly Asn Thr Leu Glu Val Arg Glu Ser
65 70 75 80

Gly Leu Tyr Arg Cys Gln Ala Arg Gly Ser Pro Arg Ser Asn Pro Val
85 90 95

Arg Leu Leu Phe Ser Ser Asp Ser Leu Ile Leu Gln Ala Pro Tyr Ser
100 105 110

Val Phe Glu Gly Asp Thr Leu Val Leu Arg Cys His Arg Arg Arg Lys
115 120 125

Glu Lys Leu Thr Ala Val Lys Tyr Thr Trp Asn Gly Asn Ile Leu Ser
130 135 140

Ile Ser Asn Lys Ser Trp Asp Leu Leu Ile Pro Gln Ala Ser Ser Asn
145 150 155 160

Asn Asn Gly Asn Tyr Arg Cys Ile Gly Tyr Gly Asp Glu Asn Asp Val
165 170 175

Phe Arg Ser Asn Phe Lys Ile Ile Lys Ile Gln Glu Leu Phe Pro His
180 185 190

Pro Glu Leu Lys Ala Thr Asp Ser Gln Pro Thr Glu Gly Asn Ser Val
195 200 205

ES 2 581 239 T3

Asn Leu Ser Cys Glu Thr Gln Leu Pro Pro Glu Arg Ser Asp Thr Pro
210 215 220

Leu His Phe Asn Phe Phe Arg Asp Gly Glu Val Ile Leu Ser Asp Trp
225 230 235 240

Ser Thr Tyr Pro Glu Leu Gln Leu Pro Thr Val Trp Arg Glu Asn Ser
245 250 255

Gly Ser Tyr Trp Cys Gly Ala Glu Thr Val Arg Gly Asn Ile His Lys
260 265 270

His Ser Pro Ser Leu Gln Ile His Val Gln Arg Ile Pro Val Ser Gly
275 280 285

Val Leu Leu Glu Thr Gln Pro Ser Gly Gly Gln Ala Val Glu Gly Glu
290 295 300

Met Leu Val Leu Val Cys Ser Val Ala Glu Gly Thr Gly Asp Thr Thr
305 310 315 320

Phe Ser Trp His Arg Glu Asp Met Gln Glu Ser Leu Gly Arg Lys Thr
325 330 335

Gln Arg Ser Leu Arg Ala Glu Leu Glu Leu Pro Ala Ile Arg Gln Ser
340 345 350

His Ala Gly Gly Tyr Tyr Cys Thr Ala Asp Asn Ser Tyr Gly Pro Val
355 360 365

Gln Ser Met Val Leu Asn Val Thr Val Arg Glu Thr Pro Gly Asn Arg
370 375 380

Asp Gly Leu Val Ala Ala Gly Ala Thr Gly Gly Leu Leu Ser Ala Leu
385 390 395 400

Ile Leu Ala Val Ala Leu Leu Phe His Cys Trp Arg Arg Arg Lys Ser
405 410 415

Gly Val Gly Phe Leu Gly Asp Glu Thr Arg Leu Pro Pro Ala Pro Gly
420 425 430

Pro Gly Glu Ser Ser His Ser Ile Cys Pro Ala Gln Val Glu Leu Gln
435 440 445

ES 2 581 239 T3

Ser Leu Tyr Val Asp Val His Pro Lys Lys Gly Asp Leu Val Tyr Ser
 450 455 460

Glu Ile Gln Thr Thr Gln Leu Gly Glu Glu Ala Asn Thr Ser
 465 470 475 480

Arg Thr Leu Leu Glu Asp Lys Asp Val Ser Val Val Tyr Ser Glu Val
 485 490 495

Lys Thr Gln His Pro Asp Asn Ser Ala Gly Lys Ile Ser Ser Lys Asp
 500 505 510

Glu Glu Ser
 515

<210> 16

<211> 2805

<212> ADN

5 <213> Homo Sapiens

<400> 16

cggcgcgtg	tcctgactgt	aagatcaagt	ccaaacctgt	tttggattg	aggaaaacctc	60
tcttttgate	tcagcccttg	gtggccagg	tcttcatgct	gctgtgggtg	atattactgg	120
tcctggctcc	tgtcagtgg	cagttgcaa	ggacacccag	gcccattatt	ttcctccagc	180
ctccatggac	cacagtcttc	caaggagaga	gagtgaccct	cacttgcaag	ggatttcgct	240
tctactcacc	acagaaaaca	aatggtacc	atcggtacct	tggaaaagaa	atactaagag	300
aaacccccaga	caatatcctt	gaggttcagg	aatctggaga	gtacagatgc	caggcccagg	360
gctccctct	cagtagccct	gtgcacttgg	attttcttc	agcttcgctg	atcctgcaag	420
ctccactttc	tgtgtttgaa	ggagactctg	tggttctgag	gtgccggca	aaggcggaaag	480
taacactgaa	taatactatt	tacaagaatg	ataatgtcct	ggcattcctt	aataaaagaa	540
ctgacitcca	tattcctcat	gcatgtctca	aggacaatgg	tgcataatcgc	tgtactggat	600
ataaggaaag	tttgttgcct	gtttcttcca	atacagtcaa	aatccaagtc	caagagccat	660
ttacacgtcc	agtgtgaga	gccagctct	tccagccat	cagcgggaac	ccagtgaccc	720
tgacctgtga	gaccctgctc	tctctagaga	ggtcagatgt	cccgctccgg	ttccgcttct	780
tcagagatga	ccagaccctg	ggattaggct	ggagtcctc	cccgaaatttc	cagattactg	840

ES 2 581 239 T3

ccatgtggag	taaagattca	gggttctact	ggtgttaaggc	agcaacaatg	cctcacagcg	900
tcataatctga	cagccccaga	tcctggatac	aggtgtcgat	ccctgcacatct	catcctgtcc	960
tcactctcag	ccctgaaaag	gctctgaatt	ttgagggAAC	caaggtgaca	cttcactgtg	1020
aaacccagga	agattctctg	cgcactttgt	acaggtttta	tcatgagggt	gtccccctga	1080
ggcacaagtc	agtccgctgt	gaaagggag	catccatcg	cttctcactg	actacagaga	1140
atcagggaa	ctactactgc	acagctgaca	atggccttgg	cggcaagccc	agtaaggctg	1200
tgagcctctc	agtcaactgtt	cccggtgtc	atcctgtcct	caacctcagc	tctcctgagg	1260
acctgatttt	tgagggagcc	aaggtagacac	ttcaactgtg	agccccagaga	ggttcactcc	1320
ccatcctgtta	ccagtttcat	catgaggatg	ctggccctgg	gcgttaggtcg	gc当地actcg	1380
caggaggagt	ggccatcagc	ttctctctga	ctgcagagca	ttcagggaac	tactactgca	1440
cagctgacaa	tggctttggc	ccccagcgca	gtaaggcggt	gagcctctcc	atcactgtcc	1500
ctgtgtctca	tcctgttctc	accctcagct	ctgctgaggc	cctgactttt	gaaggagcca	1560
ctgtgacact	tcactgtgaa	gtccagagag	gttccccaca	aatcctatac	cagttttatc	1620
atgaggacat	gccccgtgg	agcagctcaa	caccctctgt	ggaaagagtg	tccttcagct	1680
tctctctgac	tgaaggacat	tcagggaaatt	actactgcac	agctgacaat	ggctttgtc	1740
cccaagcgca	tgaagtgggt	agectttttg	tcactgttcc	agtgtctcg	cccatctca	1800
ccctcagggt	tccccagggcc	caggctgtgg	tgggggacct	gtggagctt	cactgtgagg	1860
ccccgagagg	ctctccccca	atctgtact	gttttatca	tgaggatgtc	accctgggaa	1920
gcagctcagc	ccctctgg	ggagaagctt	cttcaacct	ctctctgact	gcagaacatt	1980
ctggaaacta	ctcatgtgag	gccacaatg	gcctagtggc	ccagcacagt	gacacaatat	2040
cactcagtgt	tatagttcca	gtatctgtc	ccatctctac	cttcagggtt	cccaggcccc	2100
aggctgtgg	gggggacctg	ctggagctt	actgtgaggc	cttgagggc	tcctcccaa	2160
tctctgtactg	gttttatcat	gaagatgtca	ccctggtaa	gatctcagcc	ccctctggag	2220
gagggggctc	cttcaaccctc	tctctgacta	cagaacatcc	tggaatctac	tcctgtgagg	2280
cagacaatgg	tctggagggc	cagcgcagtg	agatggtgac	actgaaagtt	gcaggtgagt	2340
gggcctgcc	caccagcagc	acatctgaga	actgactgtg	cctgttctcc	ctgcagctga	2400
aaatggagcc	acagagctcc	tcagggtgt	ttgttgtgt	ggcatccag	cacacttcct	2460
gcctgcagaa	cctccctgtg	aaagtctcg	atcctttgtg	gtatggttcc	aggaatctga	2520
tgtttccac	cagtcttctt	gaagatgtac	aaagcacctc	actaaaaatg	caaataagac	2580
tttttttagaa	cataaaactat	attctgaact	gaaattatta	catgaaaatg	aaaccaaaga	2640
attctgagca	tatgtttctc	tgccgttagaa	aggattaagc	tgtttctgt	ccggatttt	2700
ctctcattga	cttctaagaa	gcctctactc	ttgagttct	ttcattactg	gggatgtaaa	2760
tgttccttac	atttccacat	taaaaatctt	atgttaacga	aaaaaa	.	2805

5 <210> 17
 <211> 759
 <212> PRT
 <213> Homo Sapiens

ES 2 581 239 T3

<400> 17

Met Leu Leu Trp Val Ile Leu Leu Val Leu Ala Pro Val Ser Gly Gln
1 5 10 15

Phe Ala Arg Thr Pro Arg Pro Ile Ile Phe Leu Gln Pro Pro Trp Thr
20 25 30

Thr Val Phe Gln Gly Glu Arg Val Thr Leu Thr Cys Lys Gly Phe Arg
35 40 45

Phe Tyr Ser Pro Gln Lys Thr Lys Trp Tyr His Arg Tyr Leu Gly Lys
50 55 60

Glu Ile Leu Arg Glu Thr Pro Asp Asn Ile Leu Glu Val Gln Glu Ser
65 70 75 80

Gly Glu Tyr Arg Cys Gln Ala Gln Gly Ser Pro Leu Ser Ser Pro Val
85 90 95

His Leu Asp Phe Ser Ser Ala Ser Leu Ile Leu Gln Ala Pro Leu Ser
100 105 110

Val Phe Glu Gly Asp Ser Val Val Leu Arg Cys Arg Ala Lys Ala Glu
115 120 125

Val Thr Leu Asn Asn Thr Ile Tyr Lys Asn Asp Asn Val Leu Ala Phe
130 135 140

Leu Asn Lys Arg Thr Asp Phe His Ile Pro His Ala Cys Leu Lys Asp
145 150 155 160

Asn Gly Ala Tyr Arg Cys Thr Gly Tyr Lys Glu Ser Cys Cys Pro Val
165 170 175

ES 2 581 239 T3

Ser Ser Asn Thr Val Lys Ile Gln Val Gln Glu Pro Phe Thr Arg Pro
180 185 190

Val Leu Arg Ala Ser Ser Phe Gln Pro Ile Ser Gly Asn Pro Val Thr
195 200 205

Leu Thr Cys Glu Thr Gln Leu Ser Leu Glu Arg Ser Asp Val Pro Leu
210 215 220

Arg Phe Arg Phe Phe Arg Asp Asp Gln Thr Leu Gly Leu Gly Trp Ser
225 230 235 240

Leu Ser Pro Asn Phe Gln Ile Thr Ala Met Trp Ser Lys Asp Ser Gly
245 250 255

Phe Tyr Trp Cys Lys Ala Ala Thr Met Pro His Ser Val Ile Ser Asp
260 265 270

Ser Pro Arg Ser Trp Ile Gln Val Gln Ile Pro Ala Ser His Pro Val
275 280 285

Leu Thr Leu Ser Pro Glu Lys Ala Leu Asn Phe Glu Gly Thr Lys Val
290 295 300

Thr Leu His Cys Glu Thr Gln Glu Asp Ser Leu Arg Thr Leu Tyr Arg
305 310 315 320

Phe Tyr His Glu Gly Val Pro Leu Arg His Lys Ser Val Arg Cys Glu
325 330 335

Arg Gly Ala Ser Ile Ser Phe Ser Leu Thr Thr Glu Asn Ser Gly Asn
340 345 350

Tyr Tyr Cys Thr Ala Asp Asn Gly Leu Gly Ala Lys Pro Ser Lys Ala
355 360 365

Val Ser Leu Ser Val Thr Val Pro Val Ser His Pro Val Leu Asn Leu
370 375 380

Ser Ser Pro Glu Asp Leu Ile Phe Glu Gly Ala Lys Val Thr Leu His
385 390 395 400

Cys Glu Ala Gln Arg Gly Ser Leu Pro Ile Leu Tyr Gln Phe His His
405 410 415

ES 2 581 239 T3

Glu Asp Ala Ala Leu Glu Arg Arg Ser Ala Asn Ser Ala Gly Gly Val
420 425 430

Ala Ile Ser Phe Ser Leu Thr Ala Glu His Ser Gly Asn Tyr Tyr Cys
435 440 445

Ala Thr Asp Asn Gly Phe Gly Pro Gln Arg Ser Lys Ala Val Ser Leu
450 455 460

Ser Ile Thr Val Pro Val Ser His Pro Val Leu Thr Leu Ser Ser Ala
465 470 475 480

Glu Ala Leu Thr Phe Glu Gly Ala Thr Val Thr Leu His Cys Glu Val
485 490 495

Gln Arg Gly Ser Pro Gln Ile Leu Tyr Gln Phe Tyr His Glu Asp Met
500 505 510

Pro Leu Trp Ser Ser Ser Thr Pro Ser Val Gly Arg Val Ser Phe Ser
515 520 525

Phe Ser Leu Thr Glu Gly His Ser Gly Asn Tyr Tyr Cys Thr Ala Asp
530 535 540

Asn Gly Phe Gly Pro Gln Arg Ser Glu Val Val Ser Leu Phe Val Thr
545 550 555 560

Val Pro Val Ser Arg Pro Ile Leu Thr Leu Arg Val Pro Arg Ala Gln
565 570 575

Ala Val Val Gly Asp Leu Leu Glu Leu His Cys Glu Ala Pro Arg Gly
580 585 590

Ser Pro Pro Ile Leu Tyr Trp Phe Tyr His Glu Asp Val Thr Leu Gly
595 600 605

Ser Ser Ser Ala Pro Ser Gly Gly Glu Ala Ser Phe Asn Leu Ser Leu
610 615 620

Thr Ala Glu His Ser Gly Asn Tyr Ser Cys Glu Ala Asn Asn Gly Leu
625 630 635 640

Val Ala Gln His Ser Asp Thr Ile Ser Leu Ser Val Ile Val Pro Val
645 650 655

ES 2 581 239 T3

Ser Arg Pro Ile Leu Thr Phe Arg Ala Pro Arg Ala Gln Ala Val Val
 660 665 670

Gly Asp Leu Leu Glu Leu His Cys Glu Ala Leu Arg Gly Ser Ser Pro
 675 680 685

Ile Leu Tyr Trp Phe Tyr His Glu Asp Val Thr Leu Gly Lys Ile Ser
 690 695 700

Ala Pro Ser Gly Gly Ala Ser Phe Asn Leu Ser Leu Thr Thr Glu
 705 710 715 720

His Ser Gly Ile Tyr Ser Cys Glu Ala Asp Asn Gly Leu Glu Ala Gln
 725 730 735

Arg Ser Glu Met Val Thr Leu Lys Val Ala Gly Glu Trp Ala Leu Pro
 740 745 750

Thr Ser Ser Thr Ser Glu Asn
 755

<210> 18

<211> 4448

<212> ADN

5 <213> Homo Sapiens

<400> 18

cggcgcgtg tcctgactgt aagatcaagt ccaaacctgt tttggaattt aggaaaacttc	60
tcttttgate tcagcccttg gtggccagg tcttcatgt gctgtgggtg atattactgg	120
tctggctcc tgtcagtgga cagttgcaa ggacacccag gcccattatt ttccctccagg	180
ctccatggac cacagtcttc caaggagaga gagtgaccct cacttgcaag ggatttcgct	240
tctactcacc acagaaaaca aaatggtacc atcggtacct tggaaagaa atactaagag	300
aaacccccaga caataccctt gaggttcagg aatctggaga gtacagatgc cagggccagg	360
gctcccccctc cagtagccct gtgcacttgg atttttcttc agcttcgctg atcctgcaag	420
ctccactttc tgtgtttgaa ggagactctg tggttctgag gtgcggggca aaggcgaaag	480
taacactgaa taatactatt tacaagaatg ataatgtccct ggcattccct aataaaagaa	540
ctgacttcca tattccatcat gcatgtctca aggacaatgg tgcatatcgc tgtactggat	600

ES 2 581 239 T3

ataaggaaag ttgttgcctt gtttcttcca atacagtcaa aatccaagtc caagagccat	660
ttacacgtcc agtgctgaga gccagctctt tccagcccat cagcgggaac ccagtgaccc	720
tgacctgtga gaccaggctc tctctagaga ggtcagatgt cccgctccgg ttccgcitct	780
tcaagatga ccagaccctg ggattaggct ggagtctctc cccgaatttc cagattactg	840
ccatgtggag taaagattca gggttctact ggtgttaaggc agcaacaatg cctcacagcg	900
tcatatatctga cagccccgaga tcctggatac aggtgcagat ccctgcacatc catcctgtcc	960
tcactctcag cccigaaaag gctctgaatt ttgaggaaac caaggtgaca cttcactgtg	1020
aaacccagga agattctctg cgcactttgt acaggttta tcatgagggt gtcccccgtqa	1080
ggcacaagtc agtcccgctgt gaaaggggag catccatcg ctctcactg actacagaga	1140
atcaggaa ctactactgc acagctgaca atggccttgg cgccaagccc agtaaggctg	1200
tgagcctctc agtcaactgtt cccgtgtctc atcctgtctt caacctcagc tctcctgagg	1260
acctgatttt tgagggagcc aaggtgacac ttcaactgtga agcccagaga ggttcactcc	1320
ccatcctgtta ccagtttcat catgaggatg ctgcccttgg gcttaggtcg gccaactctg	1380
caggaggagt ggccatcagc ttctctgtga ctgcagagca ttcaaggaaac tactactgca	1440
cagctgacaa tggctttggc ccccaagcgca gtaaggcggt gagectctcc atcaactgtcc	1500
ctgtgtctca tcctgtccctc accctcagct ctgctgaggc cctgactttt gaaggagccs	1560
ctgtgacact tcactgtgaa gtccagagag gttccccaca aatccatac cagttttatc	1620
atgaggacat gccccctgtgg agcagctcaa caccctctgt gggaaagatgt tccttcagct	1680
tctctctgac tgaaggacat tcagggaaatt actactgcac agctgacaat ggctttggtc	1740
cccaagcgca gtaagtggtg agcccttttg tcactggtaa gtgctgggtt ctggccagtc	1800
acccaccctt ggctgagttc tctctcaccc attcccttaa aaatctgttt qcactgtcca	1860
gtttoctccc ctaatcaact taatccctt cttggcttcc tcctcaacta actagctggg	1920
gtttccgtt ctcataagtct ctggctcagc cagaccccta aaacagctca gttagattccc	1980
cagcttttac caaatgaatt tattttatgt attttctctt cattccttgtt atgttccaaac	2040
agtaacgccaa tttttcttga tgcacggagc gtgtcctact tctctactga catttacata	2100
ttaacttagc tacaaggcaca gtcttataga taaatattgg tcaagacctt aaattctcca	2160
aaggatttcc aatcttatgg tagatttgg gaaagctgct ggtgaacaaa gggggaaatg	2220
gctcccttagg aaccaactcc tcaaacttctt ggagttttta tgatcccttg ttttcttacc	2280
tgtctaaaatc agtacatcattt tattgttatta ttttaaaaaa actattgttg aagtatgaca	2340
tacattcaag aaacgtgtgc aaattgtatg tgcacgattt ggtgtcttt taggagctaa	2400

ES 2 581 239 T3

gttgcttcgt	tttttacitg	aatctttgtt	tatagaaaact	gggggaaagt	ttactttctt	2460
ttcagagaag	ccaaatggta	tgatagaaaa	atcttgagcc	tgatgtgtca	gacatcccc	2520
tagcataact	tgttgagtaa	agaggttatt	tttaaaatgt	gaatgttctg	agactactcc	2580
aaagtcaagag	ccaaatctac	taggaagctt	ctagacttca	ctcattctgc	atcccattac	2640
tatctttta	ccatgtttt	actttcttct	catattcage	agcatcttaa	gcctctttat	2700
tttctgtttc	ttgactgtca	cccttaatgc	cagtagaaatg	taagcttcat	gagaacagaa	2760
ctgcatccat	cttggtcttc	acaacatccc	tgtgcctact	cagtgtttgg	cacacagtag	2820
gtcctcagtc	aacatttgta	attttagtgga	cagatgatat	gacaagatga	taagagggga	2880
tttaaaaaaa	tcatctagca	aagccaaga	ggaaaaaaaaa	caaagctatt	ttagaaatga	2940
aataccaatt	tgaaggcagta	agaatagatt	ggatatctt	gaaaaccatt	aattgaatga	3000
agaaccaatt	tgagaaaaca	atacagaatg	caaagttagaa	agatacagaa	ataaaggcaa	3060
aagttataat	atggaaatca	gacaatggat	ttgtctgtat	ccagttatgt	ggataattaa	3120
aatggagacc	ctcagaaaaat	tgaaccgaag	agtaaaatga	aactcaaaaa	tgttagtagaa	3180
attgttggga	agtaaagaaaa	acttgaatat	gtagatcaga	acatatatgt	tgtacgtt	3240
attgactttg	aggttaaaaa	tatataatg	tgccatgtat	tatggggaaa	aaagcagteg	3300
tctcagaaag	aaaaacatca	agttagtctt	agactttgca	gtgcactca	taccaaagag	3360
agaggaggcc	agacttggac	ctgcgaggga	agaataataa	ccgaaaattt	tatacaatt	3420
caaaaagaca	ttgtcaaaaa	tacagggatt	caggaaactg	agaatgcact	aagcttctg	3480
gaaaaaacac	ctaattgacaa	aatctagccc	aacaagatgt	aatgaatat	aaaggactca	3540
taatgaggaa	accgcattat	gactggctct	caaccctggc	cgcattat	actcgtaaaa	3600
gacctttgt	aaaggtcaca	cattgactcg	tcaaagcccc	tctccagact	aattcaattc	3660
agaatctcac	agatggggcc	acagaatcag	tatfffftga	cacaacctca	agtgagaata	3720
tttgttagac	aagattggaa	accactgatt	tagatataga	aacaaaggct	aatcaactgt	3780
gagaattatg	gtcacagaat	agaaagtaac	tattatgaac	actgaaaatg	taaaaaaaaaat	3840
gttaacaaaga	aaaatagtta	gaggaaggag	aggaagtaaa	ggaacaatca	ttttctcatg	3900
attattatta	tttcagagta	aattgtgagt	tatccacaa	ttcaaaaaga	atggactgtt	3960
ttaaaaaatt	agtaatagat	ttcaaaatgt	ccattttgt	aatcgtttct	gaatactttg	4020
tcaacagtt	ctcatcatta	atggcttata	cttcactaaa	attccatgg	aaaccaacta	4080
gttagcctgt	gagtcacata	ggagagaaca	agtgaattct	ttgggtggcg	caagcataga	4140
tgttaggact	gacaaaaaaaaaa	aataataaaa	ataaacctgt	gcattgatat	gatcacaat	4200
gatcaggaa	agaggaaaca	gaaactctca	tacgccatta	ttacaagtgt	aaattggttc	4260
aaccttttcg	tcttaattga	cacattgtaa	ttgttatata	ttatggaaagc	acagtttgat	4320
attttgat	acatacatgg	tatataacga	tcaaatttagg	atatttaatg	tacccatcat	4380
ctcatgcatt	tatcatttct	ttggaataaa	aacattcaaa	agccaaaaaaaaa	aaaaaaaaaaa	4440
aaaaaaaaa						4448
<210> 19						
<211> 592						
<212> PRT						
<213> Homo Sapiens						

ES 2 581 239 T3

<400> 19

Met Leu Leu Trp Val Ile Leu Leu Val Leu Ala Pro Val Ser Gly Gln
1 5 10 15

Phe Ala Arg Thr Pro Arg Pro Ile Ile Phe Leu Gln Pro Pro Trp Thr
20 25 30

Thr Val Phe Gln Gly Glu Arg Val Thr Leu Thr Cys Lys Gly Phe Arg
35 40 45

Phe Tyr Ser Pro Gln Lys Thr Lys Trp Tyr His Arg Tyr Leu Gly Lys
50 55 60

Glu Ile Leu Arg Glu Thr Pro Asp Asn Ile Leu Glu Val Gln Glu Ser
65 70 75 80

Gly Glu Tyr Arg Cys Gln Ala Gln Gly Ser Pro Leu Ser Ser Pro Val
85 90 95

His Leu Asp Phe Ser Ser Ala Ser Leu Ile Leu Gln Ala Pro Leu Ser
100 105 110

Val Phe Glu Gly Asp Ser Val Val Leu Arg Cys Arg Ala Lys Ala Glu
115 120 125

Val Thr Leu Asn Asn Thr Ile Tyr Lys Asn Asp Asn Val Leu Ala Phe
130 135 140

Leu Asn Lys Arg Thr Asp Phe His Ile Pro His Ala Cys Leu Lys Asp
145 150 155 160

ES 2 581 239 T3

Asn Gly Ala Tyr Arg Cys Thr Gly Tyr Lys Glu Ser Cys Cys Pro Val
165 170 175

Ser Ser Asn Thr Val Lys Ile Gln Val Gln Glu Pro Phe Thr Arg Pro
180 185 190

Val Leu Arg Ala Ser Ser Phe Gln Pro Ile Ser Gly Asn Pro Val Thr
195 200 205

Leu Thr Cys Glu Thr Gln Leu Ser Leu Glu Arg Ser Asp Val Pro Leu
210 215 220

Arg Phe Arg Phe Phe Arg Asp Asp Gln Thr Leu Gly Leu Gly Trp Ser
225 230 235 240

Leu Ser Pro Asn Phe Gln Ile Thr Ala Met Trp Ser Lys Asp Ser Gly
245 250 255

Phe Tyr Trp Cys Lys Ala Ala Thr Met Pro His Ser Val Ile Ser Asp
260 265 270

Ser Pro Arg Ser Trp Ile Gln Val Gln Ile Pro Ala Ser His Pro Val
275 280 285

Leu Thr Leu Ser Pro Glu Lys Ala Leu Asn Phe Glu Gly Thr Lys Val
290 295 300

Thr Leu His Cys Glu Thr Gln Glu Asp Ser Leu Arg Thr Leu Tyr Arg
305 310 315 320

Phe Tyr His Glu Gly Val Pro Leu Arg His Lys Ser Val Arg Cys Glu
325 330 335

Arg Gly Ala Ser Ile Ser Phe Ser Leu Thr Thr Glu Asn Ser Gly Asn
340 345 350

Tyr Tyr Cys Thr Ala Asp Asn Gly Leu Gly Ala Lys Pro Ser Lys Ala
355 360 365

Val Ser Leu Ser Val Thr Val Pro Val Ser His Pro Val Leu Asn Leu
370 375 380

Ser Ser Pro Glu Asp Leu Ile Phe Glu Gly Ala Lys Val Thr Leu His
385 390 395 400

ES 2 581 239 T3

Cys Glu Ala Gln Arg Gly Ser Leu Pro Ile' Leu Tyr Gln Phe His His
405 410 415

Glu Asp Ala Ala Leu Glu Arg Arg Ser Ala Asn Ser Ala Gly Gly Val
420 425 430

Ala Ile Ser Phe Ser Leu Thr Ala Glu His Ser Gly Asn Tyr Tyr Cys
435 440 445

Thr Ala Asp Asn Gly Phe Gly Pro Gln Arg Ser Lys Ala Val Ser Leu
450 455 460

Ser Ile Thr Val Pro Val Ser His Pro Val Leu Thr Leu Ser Ser Ala
465 470 475 480

Glu Ala Leu Thr Phe Glu Gly Ala Thr Val Thr Leu His Cys Glu Val
485 490 495

Gln Arg Gly Ser Pro Gln Ile Leu Tyr Gln Phe Tyr His Glu Asp Met
500 505 510

Pro Leu Val Ser Ser Ser Thr Pro Ser Val Gly Arg Val Ser Phe Ser
515 520 525

Phe Ser Leu Thr Glu Gly His Ser Gly Asn Tyr Tyr Cys Thr Ala Asp
530 535 540

Asn Gly Phe Gly Pro Gln Arg Ser Glu Val Val Ser Leu Phe Val Thr
545 550 555 560

Gly Lys Cys Trp Val Leu Ala Ser Lys Pro Pro Leu Ala Glu Phe Ser
565 570 575

Leu Thr His Ser Phe Lys Asn Leu Phe Ala Leu Ser Ser Phe Leu Pro
580 585 590

<210> 20

<211> 5323

<212> ADN

5 <213> Homo Sapiens

<400> 20

cggtgactgt tcctgactgt aagatcaagt ccaaaccgtt tttggaaatgt aggaaaacttc 60

ES 2 581 239 T3

tcttttgate tcagcccttg gtggccagg tcttcatgct gctgtgggtg atattactgg	120
tcctggctcc tgtcagtggaa cagtttgc aa ggacacccag gccccattatt ttccctccagc	180
ctccatggac cacagtcttc caaggagaga gagttgaccct cacttgcaag ggatttcgct	240
tctactcacc acagaaaaca aaatggtacc atcggtacct tgggaaagaa atactaagag	300
aaaccccaaga caaatccctt gaggttcagg aatctggaga gtacagatgc cagggccagg	360
gtccccctct cagtagccct gtgcacttgg atttttcttc acgttcgctg atcctgcaag	420
ctccacttcc tgggtttgaa ggagactctg tgggtctgag gtgcggggca aaggcggaaag	480
taacactgaa taatactatt tacaagaatg ataatgtcct ggcattccctt aataaaagaa	540
ctgacttcca tattccatcat gcatttca aggacaatgg tgcataatgc tggactggat	600
ataaggaaag ttgttgcctt gtttcttcca atacagtcaa aatccaagtc caagagccat	660
ttacacgtcc agtgctgaga gccagctctt tccagcccat cagcgggaac ccagtgcacc	720
tgacctgtga gacccagctc tctctagaga ggtcagatgt cccgtccgg ttccgcttct	780
tcagagatga ccagaccctg ggatttagctt ggagtctctc ccogaatttc cagattactg	840
ccatgtggag taaagattca gggtttactt ggtgtaaggc agcaacaatg cctcacagcg	900
tcatatctga cagcccgaga tccggatac aggtgcagat ccotgcattt catctgtcc	960
tcaactctcag ccctgaaaag gctctgaatt ttgagggaac caaggtgaca ctgcactgtg	1020
aaacccagga agattctctg cgcactttt acaggtttta tcatgagggt gtccttctga	1080
ggcacaagtc agtccgctgt gaaaggggag catccatcg ctctcactg actacagaga	1140
attcagggaa ctactactgc acagctgaca atggcattgg cgccaaagccc agtaaggctg	1200
tgagcctctc agtcaactgtt cccgtgttc atcctgtcctt caacctcagc tctctgtgagg	1260
acctgatttt tgagggagcc aaggtagacac ttcaactgtga agcccaagaga ggttcactcc	1320
ccatcctgtta ccagtttcat catgaggatg ctgccctggc gcgttaggtcg gccaactctg	1380
caggaggagt ggccatcagc ttctctctga ctgcagagca ttcaggaaac tactactgca	1440
cagctgacaa tggcttggc cccagcgca gtaaggcggt gaggctctcc atcaactgtcc	1500
ctgtgtctca tccctgttc accctca gtcgtggc ctcactttt gaaggaggca	1560
ctgtgacact tcaactgtgaa gtcagagag gttccccaca aatcctatac cagttttatc	1620
atgaggacat gcccctgtgg agcagctaa caccctctgt gggaaagagtg tcottcagct	1680
tctctctgac tgaaggacat tcagggaaatt actactgcac agctgacaat ggctttggtc	1740
cccaagcgcag tgaagtgggtg agcccttttgc tcaactgttc agtgcattcccccacccatca	1800
ccctcagggt tcccaggggcc caggctgtgg tgggggacct gctggagctt cactgtgagg	1860

ES 2 581 239 T3

ccccgagagg	ctctcccca	atcctgtact	ggtttatca	tgaggatgtc	accctggga	1920
gcagctcagc	ccccccttgg	ggagaagctt	cttcacacct	ctctctgact	gcagaacatt	1980
ctggaaacta	ctcatgtgag	gccacaatg	gcctagtggc	ccagcacagt	gacacaatat	2040
cactcagtgt	tatagttcca	gtatctgtc	ccatcctcac	cttcagggtc	cccgaggccc	2100
aggctgtgg	gggggacctg	ctggagcttc	actgtgaggc	cctgagaggc	tcctcccaa	2160
tcctgtactg	gttttatcat	gaagatgtca	ccctgggtaa	gatctcagcc	ccctctggag	2220
gaggggcc	cttcaacc	tctctgacta	cagaacattc	tggaatctac	tcctgtgagg	2280
cagacaatgg	tctggaggcc	cagcgcagtg	agatggtgac	actgaaagtt	gcagttccgg	2340
tgtctcgccc	ggtcctcacc	ctcaggcc	ccgggaccca	tgctgcgg	ggggacctgc	2400
tggagctca	ctgtgaggcc	ctgagaggct	ctccccctgat	cctgtacccg	ttttttcatg	2460
aggatgtcac	cctaggaaat	aggtcgcccc	cctctggagg	agogtcctta	aacctctctc	2520
tgactgcaga	gcactctgga	aactactcct	tgaggccga	caatggcc	ggggccccagc	2580
goagtgagac	agtgacactt	tatatcacag	ggctgaccgc	gaacagaagt	ggcccttttg	2640
ccacaggagt	cgccgggggc	ctgctcagca	tagcaggct	tgctgcgg	gcactgctgc	2700
tctactgctg	gctctcgaga	aaagcaggga	gaaagcctgc	ctctgacccc	gccaggagcc	2760
ctcagactc	ggactcccaa	gagcccacct	atcacaatgt	accagectgg	gaagagctgc	2820
aaccagtgt	cactaatgca	aatccctagag	gagaaaatgt	gttttactca	gaagtacgga	2880
tcatccaaga	aaaaaaagaaa	catgcagtgg	cctctgaccc	caggcatctc	aggaacaagg	2940
gttcccstat	catctactct	gaagtttaagg	tggcgtcaac	cccggtttcc	ggatccctgt	3000
tcttggcc	ctcagctcct	cacagatgag	tccacacg	tctccaactg	ctgtttcagc	3060
cctctgcaccc	caaagtccc	cttggggag	aagcagcatt	gaagtggaa	gatttaggt	3120
gccccagacc	atatctactg	gccttgc	cacatgtcct	cattctcagt	ctgaccagaa	3180
tgccaggccc	tgctggactg	tcacctgtt	ccca	gccc	gcaggtttt	3240
taatccagt	gcaagggt	cccactccag	ggcccagcac	atctc	tgggttttt	3300
ggcttcagct	gtgggtgc	ttctgag	tgc	tctc	atcacccac	3360
ttaccacaca	aaggagagt	gggccttc	gagatgccc	gctggctaa	cagctcagg	3420
gctcctaaac	tccgacacag	agttcc	ttgggtggat	gcatttctca	attgtcatca	3480
gcctggtgg	gctactgcag	tgtgc	aatggacag	cacacag	gtgcacatgg	3540
gacatgtgat	gggtctccc	acggggctg	cattt	ccacac	tcctccac	3600
ctaagg	tcgg	cacttgac	caaggt	act	tcatgtgtca	3660

ES 2 581 239 T3

gccccaaagtaa	gtggctttca	tacaccaagt	cccgaaaggc	ttcccatcct	aacagaagta	3720
acccagcaag	tcaaggccag	gaggaccagg	ggtgccagaca	gaacacatac	tggAACACAG	3780
gaggtgctca	attactattt	gactgactga	ctgaatgaat	aatgaatga	ggaAGAAAAC	3840
tgtggtaat	caaactggca	taaaatccag	tgcactccct	aggaaatccg	ggaggtattc	3900
tggcttccta	agaaacaacg	gaagagaagg	agcttggatg	aagaaaactgt	tcagcaagaa	3960
gaaggggcttc	ttcacacttt	tatgtgcttg	tggatcacct	gaggatctgt	gaaaatacag	4020
atactgatc	agtgggtctg	tgttagagct	gagactgcac	ttctaacatg	ttcccagggg	4080
atgctgatgc	tgcgtggccct	gggactgcac	tgcacatgcac	tgaaggccct	taggtctcag	4140
cagagggccca	tggagggga	atgtgtggct	ctggctgcac	aggggccaaac	tccgttcaca	4200
cggatcgtgc	tgcgtccctgg	ccagcctttg	gcacacagcac	caccagctgc	tgttgtctgag	4260
agaggttctt	ctctgtgaca	tgttgtcttt	catcagccac	cctggaaagc	ggaaagtgc	4320
tgccactatac	tttgtttccc	cacccatggc	ctcacacttt	cccatgaaaaa	gggtgaatgt	4380
atataacctg	agccctctcc	attcagagtt	gttctcccat	ctctgagc	tgggatgttc	4440
tgttccgttt	ttagtatac	catcacatct	tatcttgatc	tttgtccca	gtggattgt	4500
cagtgtatgac	tttaagccc	cacggccctg	aaataaaatc	cttccaaggg	cattggaaagc	4560
tcactccacc	tgaaccatgg	cttttcatgc	ttccaagtgt	caggccttg	cccaagataga	4620
cagggctgac	tctgctgccc	caacccatca	aggaggaaac	cacacacctg	agacaggagc	4680
ctgtatgcag	cccagtgcag	ccttgcagag	gacaaggctg	gaggcatttg	tcatcactac	4740
agatatgcac	ctaaaataga	cgtggagcaa	gagaaatgca	ttccccaccga	ggcccgcttt	4800
ttaggcctag	ttgaaagtca	agaaggacag	cagcaagcat	aggctcagga	ttaaaagaaaa	4860
aaatctgtc	acagtctgtt	ctggaggc	catcaccaac	aaagctc	cccttatgcag	4920
ttctgagaag	gtggaggc	caggctcaaa	agaggaaatt	tagaatttct	cattgggaga	4980
gttaaggtaacc	cccatccac	aatgataact	gcacagtggc	agaacaaact	ccaccctaat	5040
gtgggtggac	cccatccagt	ctgttgaagg	cctgaatgta	acaaaagggc	ttattctcc	5100
tcaagtaagg	gggaactcct	gctttggct	gggacataag	tttttctgct	ttcagacgca	5160
aactaaaaaa	tggctttct	tgggtcttga	gcttgctggc	atatggactg	aaagaaaacta	5220
tgctatttgg	tctcttgat	ctccagcttg	ctgactgcag	atcttggat	atgtcagct	5280
ctacagtac	aagagctaat	tcattctaat	aaaccaatct	ttc		5323

<210> 21

<211> 977

<212> PRT

5 <213> Homo sapiens

ES 2 581 239 T3

<400> 21

Met Leu Leu Trp Val Ile Leu Leu Val Leu Ala Pro Tyr Ser Gly Gln
1 5 10 15

Phe Ala Arg Thr Pro Arg Pro Ile Ile Phe Leu Gln Pro Pro Trp Thr
20 25 30

Thr Val Phe Gln Gly Glu Arg Val Thr Leu Thr Cys Lys Gly Phe Arg
35 40 45

Phe Tyr Ser Pro Gln Lys Thr Lys Trp Tyr His Arg Tyr Leu Gly Lys
50 55 60

Glu Ile Leu Arg Glu Thr Pro Asp Asn Ile Leu Glu Val Gln Glu Ser
65 70 75 80

Gly Ser Tyr Arg Cys Gln Ala Gln Gly Ser Pro Leu Ser Ser Pro Val
85 90 95

His Leu Asp Phe Ser Ser Ala Ser Leu Ile Leu Gln Ala Pro Leu Ser
100 105 110

Val Phe Glu Gly Asp Ser Val Val Leu Arg Cys Arg Ala Lys Ala Glu
115 120 125

Val Thr Leu Asn Asn Thr Ile Tyr Lys Asn Asp Asn Val Leu Ala Phe
130 135 140

Leu Asn Lys Arg Thr Asp Phe His Ile Pro His Ala Cys Leu Lys Asp
145 150 155 160

Asn Gly Ala Tyr Arg Cys Thr Gly Tyr Lys Glu Ser Cys Cys Pro Val
165 170 175

Ser Ser Asn Thr Val Lys Ile Gln Val Gln Glu Pro Phe Thr Arg Pro
180 185 190

Val Leu Arg Ala Ser Ser Phe Gln Pro Ile Ser Gly Asn Pro Val Thr
195 200 205

ES 2 581 239 T3

Leu Thr Cys Glu Thr Gln Leu Ser Leu Glu Arg Ser Asp Val Pro Leu
210 215 220

Arg Phe Arg Phe Phe Arg Asp Asp Gln Thr Leu Gly Leu Gly Trp Ser
225 230 235 240

Leu Ser Pro Asn Phe Gln Ile Thr Ala Met Trp Ser Lys Asp Ser Gly
245 250 255

Phe Tyr Trp Cys Lys Ala Ala Thr Met Pro His Ser Val Ile Ser Asp
260 265 270

Ser Pro Arg Ser Trp Ile Gln Val Gln Ile Pro Ala Ser His Pro Val
275 280 285

Leu Thr Leu Ser Pro Glu Lys Ala Leu Asn Phe Glu Gly Thr Lys Val
290 295 300

Thr Leu His Cys Glu Thr Gln Glu Asp Ser Leu Arg Thr Leu Tyr Arg
305 310 315 320

Phe Tyr His Glu Gly Val Pro Leu Arg His Lys Ser Val Arg Cys Glu
325 330 335

Arg Gly Ala Ser Ile Ser Phe Ser Leu Thr Thr Glu Asn Ser Gly Asn
340 345 350

Tyr Tyr Cys Thr Ala Asp Asn Gly Leu Gly Ala Lys Pro Ser Lys Ala
355 360 365

Val Ser Leu Ser Val Thr Val Pro Val Ser His Pro Val Leu Asn Leu
370 375 380

Ser Ser Pro Glu Asp Leu Ile Phe Glu Gly Ala Lys Val Thr Leu His
385 390 395 400

Cys Glu Ala Gln Arg Gly Ser Leu Pro Ile Leu Tyr Gln Phe His His
405 410 415

Glu Asp Ala Ala Leu Glu Arg Arg Ser Ala Asn Ser Ala Gly Gly Val
420 425 430

Ala Ile Ser Phe Ser Leu Thr Ala Glu His Ser Gly Asn Tyr Tyr Cys
435 440 445

ES 2 581 239 T3

Thr Ala Asp Asn Gly Phe Gly Pro Gln Arg Ser Lys Ala Val Ser Leu
450 455 460

Ser Ile Thr Val Pro Val Ser His Pro Val Leu Thr Leu Ser Ser Ala
465 470 475 480

Glu Ala Leu Thr Phe Glu Gly Ala Thr Val Thr Leu His Cys Glu Val
485 490 495

Gln Arg Gly Ser Pro Gln Ile Leu Tyr Gln Phe Tyr His Glu Asp Met
500 505 510

Pro Leu Trp Ser Ser Ser Thr Pro Ser Val Gly Arg Val Ser Phe Ser
515 520 525

Phe Ser Leu Thr Glu Gly His Ser Gly Asn Tyr Tyr Cys Thr Ala Asp
530 535 540

Asn Gly Phe Gly Pro Gln Arg Ser Glu Val Val Ser Leu Phe Val Thr
545 550 555 560

Val Pro Val Ser Arg Pro Ile Leu Thr Leu Arg Val Pro Arg Ala Gln
565 570 575

Ala Val Val Gly Asp Leu Leu Glu Leu His Cys Glu Ala Pro Arg Gly
580 585 590

Ser Pro Pro Ile Leu Tyr Trp Phe Tyr His Glu Asp Val Thr Leu Gly
595 600 605

Ser Ser Ser Ala Pro Ser Gly Gly Glu Ala Ser Phe Asn Leu Ser Leu
610 615 620

Thr Ala Glu His Ser Gly Asn Tyr Ser Cys Glu Ala Asn Asn Gly Leu
625 630 635 640

Val Ala Gln His Ser Asp Thr Ile Ser Leu Ser Val Ile Val Pro Val
645 650 655

Ser Arg Pro Ile Leu Thr Phe Arg Ala Pro Arg Ala Gln Ala Val Val
660 665 670

Gly Asp Leu Leu Glu Leu His Cys Glu Ala Leu Arg Gly Ser Ser Pro
675 680 685

ES 2 581 239 T3

Ile Leu Tyr Trp Phe Tyr His Glu Asp Val Thr Leu Gly Lys Ile Ser
690 695 700

Ala Pro Ser Gly Gly Ala Ser Phe Asn Leu Ser Leu Thr Thr Glu
705 710 715 720

His Ser Gly Ile Tyr Ser Cys Glu Ala Asp Asn Gly Leu Glu Ala Gln
725 730 735

Arg Ser Glu Met Val Thr Leu Lys Val Ala Val Pro Val Ser Arg Pro
740 745 750

Val Leu Thr Leu Arg Ala Pro Gly Thr His Ala Ala Val Gly Asp Leu
755 760 765

Leu Thr Glu Leu His Cys Glu Ala Leu Arg Gly Ser Pro Leu Ile Leu
770 775 780

Tyr Arg Phe Phe His Glu Asp Val Thr Leu Gly Asn Glu Leu His Cys
785 790 795 800

Glu Ala Leu Arg Gly Ser Pro Leu Ile Leu Tyr Arg Phe Phe His Glu
805 810 815

Asp Val Thr Leu Gly Asn Asn Gly Leu Gly Ala Gln Arg Ser Glu Thr
820 825 830

Val Thr Leu Tyr Ile Thr Gly Leu Thr Ala Asn Arg Ser Gly Pro Phe
835 840 845

Ala Thr Gly Val Ala Gly Gly Leu Leu Ser Ile Ala Gly Leu Ala Ala
850 855 860

Gly Ala Leu Leu Leu Tyr Cys Trp Leu Ser Arg Lys Ala Gly Arg Lys
865 870 875 880

Pro Ala Ser Asp Pro Ala Arg Ser Pro Ser Asp Ser Asp Ser Gln Glu
885 890 895

Pro Thr Tyr His Met Val Pro Ala Trp Glu Glu Leu Gln Pro Val Tyr
900 905 910

Thr Asn Ala Asn Pro Arg Gly Glu Asn Val Val Tyr Ser Glu Val Arg
915 920 925

Ile Ile Gln Glu Lys Lys His Ala Val Ala Ser Asp Pro Arg His
930 935 940

Leu Arg Asn Lys Gly Ser Pro Ile Ile Tyr Ser Glu Val Lys Val Ala
945 950 955 960

Ser Thr Pro Val Ser Gly Ser Leu Phe Leu Ala Ser Ser Ala Pro His
965 970 975

Arg

ES 2 581 239 T3

<210> 22
 <211> 88
 <212> PRT
 <213> Homo Sapiens

5 <400> 22
 Met Leu Leu Trp Ala Ser Leu Leu Ala Phe Ala Pro Val Cys Gly Gln
 1 5 10 15

Ser Gly Ser Cys Ser Val Ala Asp Trp Gln Met Pro Pro Pro Tyr Val
 20 25 30

Val Leu Asp Leu Pro Gln Glu Thr Leu Glu Glu Thr Pro Gly Ala
 35 40 45

Asn Leu Trp Pro Thr Thr Ile Thr Phe Leu Thr Leu Phe Leu Leu Ser
 50 55 60

Leu Phe Tyr Ser Thr Ala Leu Thr Val Thr Ser Val Arg Gly Pro Ser
 65 70 75 80

Gly Asn Arg Glu Gly Pro Gln Tyr
 85

<210> 23
 <211> 837
 <212> ADN
 10 <213> Homo Sapiens

<400> 23
 ctcaatcagc tttatgcaga gaagaagctt actgagctca ctgctggtgc tgggttaggc 60
 aagtgcgtct ttggcaatct gggctgaccc ggcttgcttc ctcagaactc cttctccaac 120
 cctggaggcag gcttccatgc tgctgtggc gtctttgtcg gcctttgtcg cagtcgtgg 180
 acaatctggc tcttgcgtcg ttgcagattt gcagatgccg cctccctatg tgggtgttgg 240
 cttggccgcaag gagaccttgg aggaggagac cccggggccc aacctgtggc ccaccacccat 300
 caccttcctc accctttcc tgctgagccct gttctatacg acagcactga ccgtgaccag 360
 cgteccccggc ccatctggca acaggggaggg ccccccgtac tgagcgggag cccggcaaggc 420
 acaggtggga gcccaggagg gggatgagcc cacagtggat gaggtgggct gcagtgttg 480
 gctaagagga gacccaccacc tgctccact gtggggggac gtgtcttcct gggggccct 540
 tcacagacac tgaggacacg cgcaggccca gggtcaggcc tgagcttccc tccagtgcag 600
 taacgaggat tccgtccagg ctcccatgag caggccagg ctgagacaga gggcggttggc 660
 aaggatgtcg ctcttcaggc tgtgaccct ctgtcttc agggaggaaat tggggaggaa 720
 cctcttggag aagccagcta tgcttgccag aactcagcccc ttccagacgt caccgaccgg 780
 cccttactca catgccttcc aggtgcaata aagtggcccc aaggaaaaaa aaaaaaaaa 837

<210> 24
 <211> 90
 15 <212> ADN
 <213> Homo Sapiens

<400> 24
 tcccaactgac gcatgcagga aggggcaccc ccccttaacc acactgctct gtacggggca 60
 cgtgggcaca ggtgcacact cacactcaca 90

ES 2 581 239 T3

<210> 25
<211> 89
<212> ADN
<213> Homo Sapiens

5 <400> 25
ggcctgacag caacttttct tctactagtt catcttaaca cactgctctg tacggggcac 60
gtgggcacag gtgcacactc acactcaca 89

10 <210> 26
<211> 89
<212> ADN
<213> Homo Sapiens

<400> 26
ggcctgacag caacttttct tctactagtt catcttaact ttatcctggt aactggcgag 60
acaacctgtc ttaagtaact gaaggaaa 89

15 <210> 27
<211> 77
<212> ADN
<213> Homo Sapiens

<400> 27
tcccactgac gcaggaagga tcttaagttt atcctggtaa ctggcgagac aacctgtctt 60
aagtaactga agggaaa 77

20 <210> 28
<211> 200
<212> PRT
<213> Homo Sapiens

25 <400> 28
Met Ala Met Glu Thr Gln Met Ser Gln Asn Val Cys Pro Arg Asn Leu
1 5 10 15

Trp Leu Leu Gln Pro Leu Thr Val Leu Leu Leu Ala Ser Ala Asp
20 25 30

Ser Gln Ala Ala Ala Pro Pro Lys Ala Val Leu Lys Leu Glu Pro Pro
35 40 45

Trp Ile Asn Val Leu Gln Glu Asp Ser Val Thr Leu Thr Cys Cys Gly
50 55 60

ES 2 581 239 T3

Ala Arg Ser Pro Glu Ser Pro Ser Ile Gln Trp Phe His His Asn Gly
65 70 75 80

Asn Leu Ile Pro Ile His Thr Gln Ser Ser Tyr Arg Phe Lys Ala Asn
85 90 95

Asn Asn Asp Ser Gly Glu Tyr Thr Cys Gln Thr Gly Gln Thr Ser Leu
100 105 110

Ser Asp Pro Val His Leu Thr Val Leu Ser Glu Trp Leu Leu Leu Gln
115 120 125

Thr Pro His Leu Glu Phe Gin Glu Gly Glu Thr Ile Asn Leu Arg Cys
130 135 140

His Ser Trp Lys Asp Lys Pro Leu Val Lys Val Thr Glu Glu Gln Asn
145 150 155 160

Gly Lys Ser Gln Lys Phe Ser Arg Leu Asp Pro Thr Phe Ser Ile Pro
165 170 175

Gln Ala Asn His Ser His Ser Gly Asp Tyr His Cys Thr Gly Asn Cys
180 185 190

Gly Tyr Thr Leu Phe Ser Ser Lys
195 200

<210> 29

<211> 184

5 <212> PRT

<213> Homo sapiens

<400> 29

Met Trp Gln Leu Leu Leu Pro Thr Ala Leu Leu Leu Val Ser Ala
1 5 10 15

Gly Met Arg Thr Glu Asp Leu Pro Lys Ala Val Val Phe Leu Glu Pro
20 25 30

Gln Trp Tyr Arg Val Leu Glu Lys Asp Ser Val Thr Leu Lys Cys Cys
35 40 45

ES 2 581 239 T3

Gly Ala Tyr Ser Pro Glu Leu Asn Ser Thr Gln Trp Phe His Asn Glu
50 55 60

Ser Leu Ile Ser Glu Gln Ala Ser Ser Tyr Phe Ile Asp Ala Ala Thr
65 70 75 80

Val Asp Asp Ser Gly Glu Tyr Arg Cys Gln Thr Asn Leu Ser Thr Leu
85 90 95

Ser Asp Pro Val Gln Leu Glu Val His Ile Gly Trp Leu Leu Gln
100 105 110

Ala Pro Arg Trp Val Phe Lys Glu Glu Asp Pro Ile His Leu Arg Cys
115 120 125

His Ser Trp Lys Asn Thr Ala Leu His Lys Val Thr Tyr Leu Gln Asn
130 135 140

Gly Lys Gly Arg Lys Tyr Phe His His Asn Ser Asp Phe Tyr Ile Pro
145 150 155 160

Gln Ala Thr Leu Lys Asp Ser Gly Ser Tyr Phe Cys Arg Gly Leu Phe
165 170 175

Gly Ser Lys Asn Val Ser Ser Glu
180

<210> 30

<211> 188

5 <212> PRT

<213> Homo Sapiens

<400> 30

Met Ala Pro Ala Met Glu Ser Pro Thr Leu Leu Cys Val Ala Leu Leu
1 5 10 15

Phe Phe Ala Asp Asp Gly Val Leu Ala Val Pro Gln Lys Pro Lys Val
20 25 30

Ser Leu Asn Pro Pro Trp Asn Arg Ile Phe Lys Gly Glu Asn Val Thr
35 40 45

ES 2 581 239 T3

Leu Thr Cys Asn Gly Asn Asn Phe Phe Glu Val Ser Ser Thr Lys Trp
50 55 60

Phe His Asn Gly Ser Leu Ser Glu Ser Thr Asn Ser Ser Leu Asn Ile
65 70 75 80

Val Asn Ala Lys Phe Glu Asp Ser Gly Glu Tyr Lys Cys Gln His Gln
85 90 95

Gln Val Asn Glu Ser Glu Pro Val Tyr Leu Glu Val Phe Ser Asp Trp
100 105 110

Leu Leu Leu Gln Ala Ser Ala Glu Val Val Met Glu Gly Gln Pro Leu
115 120 125

Phe Leu Arg Cys His Gly Trp Arg Asn Trp Pro Val Tyr Lys Val Ile
130 135 140

Tyr Tyr Lys Asp Gly Glu Ala Leu Lys Tyr Trp Tyr Glu Asn His Asn
145 150 155 160

Ile Ser Ile Thr Asn Ala Thr Val Glu Asp Ser Gly Thr Tyr Tyr Cys
165 170 175

Thr Gly Lys Val Trp Gln Leu Asp Tyr Glu Ser Glu
180 185

<210> 31

<211> 378

5 <212> PRT

<213> Homo Sapiens

<400> 31

Met Trp Phe Leu Thr Thr Leu Leu Trp Val Pro Val Asp Gly Gln
1 5 10 15

Val Asp Thr Thr Lys Ala Val Ile Ser Leu Gln Pro Pro Trp Val Ser
20 25 30

Phe Val Gln Glu Glu Thr Val Thr Leu His Cys Glu Val Leu His Leu
35 40 45

ES 2 581 239 T3

Pro Gly Ser Ser Ser Thr Gln Trp Phe Leu Asn Gly Thr Ala Thr Gln
50 55 60

Thr Ser Thr Pro Ser Tyr Arg Ile Thr Ser Ala Ser Val Asn Asp Ser
65 70 75 80

Gly Glu Tyr Arg Cys Gln Arg Gly Leu Ser Gly Arg Ser Asp Pro Thr
85 90 95

Trp Leu Glu Thr His Arg Gly Trp Leu Leu Leu Gln Tyr Ser Ser Arg
100 105 110

Val Phe Thr Glu Gly Glu Pro Leu Ala Leu Arg Cys His Ala Trp Lys
115 120 125

Asp Lys Leu Val Tyr Asn Val Leu Tyr Tyr Arg Asn Gly Lys Ala Phe
130 135 140

Lys Phe His Trp Asn Ser Asn Leu Ile Ile Leu Lys Ile Asn Ile
145 150 155 160

Ser Ser His Asn Gly Thr Tyr His Cys Ser Gly Asn Gly Lys His Arg
165 170 175

Tyr Thr Ser Ala Gly Lys His Arg Tyr Thr Ser Ala Gly Ile Ser Val
180 185 190

Thr Val Lys Glu Leu Phe Pro Ala Pro Val Leu Asn Ala Ser Val Thr
195 200 205

Ser Pro Leu Leu Glu Gly Asn Leu Val Thr Leu Ser Cys Glu Thr Lys
210 215 220

Leu Leu Leu Gln Arg Pro Gly Leu Gln Leu Tyr Phe Ser Phe Tyr Met
225 230 235 240

Gly Ser Leu Thr Leu Arg Gly Arg Asn Thr Ser Ser Glu Tyr Gln Ile
245 250 255

Leu Thr Ala Arg Arg Glu Asp Ser Gly Leu Tyr Trp Cys Glu Ala Ala
260 265 270

Thr Glu Asp Gly Asn Val Leu Lys Arg Ser Pro Glu Leu Glu Leu Gln
275 280 285

ES 2 581 239 T3

Val Leu Gly Leu Gln Leu Pro Thr Pro Val Val Trp Phe His Val Leu
290 295 300

Gly Tyr Leu Ala Val Gly Ile Met Phe Leu Val Asn Thr Val Leu Trp
305 310 315 320

Val Val Thr Ile Arg Lys Glu Leu Lys Arg Lys Lys Trp Asp Leu
325 330 335

Glu Ile Ser Leu Asp Ser Gly His Glu Lys Lys Val Thr Ser Ser Leu
340 345 350

Gln Glu Asp Arg His Glu Glu Leu Lys Cys Gln Glu Gln Lys
355 360 365

Gly Glu Gln Leu Gln Glu Gly Val His Arg
370 375

<210> 32

<211> 376

<212> PRT

5 <213> Homo Sapiens

<400> 32
Met Leu Leu Trp Ala Ser Leu Leu Ala Phe Ala Pro Val Cys Gly Gln
1 5 10 15

Ser Ala Ala Ala His Lys Pro Val Ile Ser Val His Pro Pro Trp Thr
20 25 30

Thr Phe Phe Lys Gly Glu Arg Val Thr Leu Thr Cys Asn Gly Phe Gln
35 40 45

Phe Tyr Ala Thr Glu Lys Thr Thr Trp Tyr His Arg His Tyr Trp Gly
50 55 60

Glu Lys Leu Thr Leu Thr Pro Gly Asn Thr Leu Glu Val Arg Ala Ser
65 70 75 80

Gly Leu Tyr Arg Cys Gln Ala Arg Gly Ser Pro Arg Ser Asn Pro Val
85 90 95

ES 2 581 239 T3

Arg Leu Leu Phe Ser Ser Asp Ser Leu Ile Leu Gln Ala Pro Tyr Ser
100 105 110

Val Phe Glu Gly Asp Thr Leu Val Leu Arg Cys His Arg Arg Arg Lys
115 120 125

Glu Lys Leu Thr Ala Val Lys Tyr Thr Trp Asn Gly Asn Ile Leu Ser
130 135 140

Ile Ser Asn Lys Ser Trp Asp Leu Leu Ile Pro Gln Ala Ser Ser Asn
145 150 155 160

Asn Asn Gly Asn Tyr Arg Cys Ile Gly Tyr Gly Val Glu Asn Asp Val
165 170 175

Phe Arg Ser Asn Gly Asp Glu Asn Asp Val Phe Arg Ser Asn Phe Lys
180 185 190

Ile Ile Lys Ile Gln Glu Leu Phe Pro His Pro Glu Leu Lys Ala Thr
195 200 205

Asp Ser Gln Pro Thr Glu Gly Asn Ser Val Asn Leu Ser Cys Glu Thr
210 215 220

Gln Leu Pro Pro Glu Arg Ser Asp Thr Pro Leu His Phe Asn Phe Phe
225 230 235 240

Arg Asp Gly Glu Val Ile Leu Ser Asp Trp Ser Thr Tyr Pro Glu Leu
245 250 255

Gln Leu Pro Thr Val Trp Arg Glu Asn Ser Gly Ser Tyr Trp Cys Gly
260 265 270

Ala Glu Thr Val Arg Gly Asn Ile His His Ser Pro Ser Leu Gln
275 280 285

Ile His Val Gln Arg Ile Pro Val Ser Gly Val Leu Leu Glu Thr Gln
290 295 300

Pro Ser Gly Gly Gln Ala Val Glu Gln Glu Met Leu Val Leu Val Cys
305 310 315 320

Ser Val Ala Glu Gly Thr Gly Asp Thr Thr Phe Ser Trp His Arg Glu
325 330 335

Asp Met Gln Glu Ser Leu Gly Arg Lys Thr Gln Arg Ser Leu Arg Ala
340 345 350

Glu Leu Glu Leu Pro Ala Ile Arg Gln Ser His Ala Gly Gly Tyr Tyr
355 360 365

Cys Thr Ala Asp Asn Ser Tyr Gly
370 375

<210> 33

5 <211> 373

ES 2 581 239 T3

<212> PRT

<213> Homo Sapiens

<400> 33

Met Leu Leu Trp Val Ile Leu Leu Val Leu Ala Pro Val Ser Gly Gln
1 5 10 15

Phe Ala Arg Thr Pro Arg Pro Ile Ile Phe Leu Gln Pro Pro Trp Thr
20 25 30

Thr Val Phe Gln Gly Glu Arg Val Thr Leu Thr Cys Lys Gly Phe Arg
35 40 45

Phe Tyr Ser Pro Gln Arg Thr Arg Trp Tyr His Arg Tyr Leu Gly Lys
50 55 60

Glu Ile Leu Arg Glu Thr Pro Asp Asn Ile Leu Glu Val Gln Glu Ser
65 70 75 80

Gly Glu Tyr Arg Cys Gln Ala Gln Gly Ser Pro Leu Ser Ser Pro Val
85 90 95

His Leu Asp Phe Ser Ser Ala Ser Leu Ile Leu Gln Ala Pro Leu Ser
100 105 110

Val Phe Glu Gly Asp Ser Val Val Leu Arg Cys Arg Ala Lys Ala Glu
115 120 125

Val Thr Leu Asn Asn Thr Ile Tyr Lys Asn Asp Asn Val Leu Ala Phe
130 135 140

ES 2 581 239 T3

Leu Asn Lys Arg Thr Asp Phe His Ile Pro His Ala Cys Leu Lys Asp
145 150 155 160

Asn Gly Ala Tyr Arg Cys Thr Gly Tyr Lys Glu Ser Cys Cys Pro Val
165 170 175

Ser Ser Asn Lys Glu Ser Cys Cys Pro Val Ser Ser Asn Thr Val Lys
180 185 190

Ile Gln Val Gln Glu Pro Phe Thr Arg Pro Val Leu Arg Ala Ser Ser
195 200 205

Phe Gln Pro Thr Ser Gly Asn Pro Val Thr Leu Thr Cys Glu Thr Gln
210 215 220

Leu Ser Leu Glu Arg Ser Asp Val Pro Leu Arg Phe Arg Phe Arg
225 230 235 240

Asp Asp Gln Thr Leu Gly Leu Gly Trp Ser Leu Ser Pro Asn Phe Gln
245 250 255

Ile Thr Ala Met Trp Ser Lys Asp Ser Gly Phe Tyr Trp Cys Lys Ala
260 265 270

Ala Thr Met Pro His Ser Val Ile Ser Asp Ser Pro Arg Ser Trp Ile
275 280 285

Gln Val Gln Ile Pro Ala Ser His Pro Val Leu Thr Leu Ser Pro Glu
290 295 300

Lys Ala Leu Asn Phe Glu Gly Thr Lys Val Thr Leu His Cys Glu Thr
305 310 315 320

Gln Glu Asp Ser Leu Arg Thr Leu Tyr Arg Phe Tyr His Glu Gly Val
325 330 335

Pro Leu Arg His Lys Ser Val Arg Cys Glu Arg Gly Ala Ser Ile Ser
340 345 350

Phe Ser Leu Thr Thr Glu Asn Ser Gly Asn Tyr Tyr Cys Thr Ala Asp
355 360 365

Asn Gly Leu Gly Ala
370

<210> 34

<211> 26

5 <212> PRT

<213> Homo Sapiens

<220>

<221> Característica_misc

<222> (2)..(8)

10 <223> Xaa = Cualquier aminoácido

<220>

<221> Característica_misc

<222> (26)..(26)
 <223> Xaa = I o L
 <220>
 <221> Característica_misc
 5 <222> (15)..(155)
 <223> Xaa = I o L
 <220>
 <221> Característica_misc
 <222> (9)..(9)
 10 <223> Xaa = D o E
 <220>
 <221> Característica_misc
 <222> (1)..(1)
 <223> Xaa = D o E
 15 <220>
 <221> Característica_misc
 <222> (10)..(11)
 <223> Xaa = Cualquier aminoácido
 <220>
 20 <221> Característica_misc
 <222> (13)..(14)
 <223> Xaa = Cualquier aminoácido
 <220>
 <221> Característica_misc
 25 <222> (16)..(22)
 <223> Xaa = Cualquier aminoácido
 <220>
 <221> Característica_misc
 <222> (24)..(25)
 30 <223> Xaa = Cualquier aminoácido

<400> 34
 Xaa Tyr Xaa Xaa Xaa Xaa
 1 5 10 15

Xaa Xaa Xaa Xaa Xaa Xaa Tyr Xaa Xaa Xaa
 20 25

<210> 35
 <211> 63
 35 <212> PRT
 <213> Homo Sapiens

<400> 35
 Glu Ser Ser His Ser Ile Cys Pro Ala Gln Val Glu Leu Gln Ser Leu
 1 5 10 15

Tyr Val Asp Val His Pro Lys Lys Gly Asp Leu Val Tyr Ser Glu Ile
 20 25 30

Gln Thr Thr Leu Gly Glu Glu Glu Glu Ala Asn Thr Ser Arg
 35 40 45

Thr Leu Leu Glu Asp Lys Asp Val Ser Val Val Tyr Ser Glu Val
 50 55 60

<210> 36
 40 <211> 39

ES 2 581 239 T3

<212> PRT
<213> Homo Sapiens

<400> 36

Asp Asn Lys Glu Pro Leu Asn Ser Asp Val Gln Tyr Thr Glu Val Gln
1 5 10 15

Val Ser Ser Ala Glu Trp Ser His Lys Asp Leu Gly Lys Lys Asp Thr
20 25 30

Glu Thr Val Tyr Ser Glu Val
35

5 <210> 37

<211> 68

<212> PRT

<213> Homo Sapiens

<220>

10 <221> Característica_misc

<222> (38)..(61)

<223> Xaa = Cualquier aminoácido

<400> 37

Asp Ser Asp Ser Gln Glu Pro Thr Tyr His Asn Val Pro Ala Trp Glu
1 5 10 15

Glu Leu Gln Pro Val Tyr Thr Asn Ala Asn Pro Arg Gly Glu Asn Val
20 25 30

Val Tyr Ser Glu Val Xaa
35 40 45

Xaa Ile Ile Tyr
50 55 60

Ser Glu Val Lys
65

15 <210> 38

<211> 65

<212> PRT

<213> Homo Sapiens

<220>

20 <221> Característica_misc

<222> (38)..(58)

<223> Xaa = Cualquier aminoácido

<400> 38

Ala Ser Asp Gln Arg Asp Leu Thr Glu His Lys Pro Ser Val Ser Asn
1 5 10 15

His Thr Gln Asp His Ser Asn Asp Pro Pro Asn Lys Met Asn Glu Val
20 25 30

Thr Tyr Ser Thr Leu Xaa
35 40 45

Xaa Xaa Xaa Xaa Xaa Xaa Xaa Xaa Ile Ile Tyr Ser Glu Val
50 55 60

Lys
65

5 <210> 39
<211> 6
<212> PRT
<213> Secuencia Artificial

<220>
<223> Motivo de Inhibición basado en Tirosina del Inmunorreceptor

10 <220>
<221> Característica_misc
<222> (1)..(1)
<223> Xaa = S, V, L o I

15 <220>
<221> Característica_misc
<222> (2)..(2)
<223> Xaa = cualquier aminoácido

<220>
<221> Característica_misc
<222> (4)..(5)
20 <223> Xaa = cualquier aminoácido

<220>
<221> Característica_misc
<222> (6)..(6)
<223> Xaa = L o V

25 <400> 39
Xaa Xaa Tyr Xaa Xaa Xaa

1 5

30 <210> 40
<211> 5321
<212> ADN
<213> Homo Sapiens

ES 2 581 239 T3

<400> 40

gtgcagtgtc ctgactgtaa gatcaagtcc aaacctgttt tggaaatttag gaaaacttctc	60
ttttcatgttc agccotttgtt ggtccagggtc ttcatgtgtc tgtgggtgtt attactgttc	120
ctggctcctg tcagtggaca gtttgcaggc acacccaggc ccattatccc cctccaggct	180
ccatggacca cagtcttcca aggagagaga gtgaccctca cttgtcaagggtt atttcgcttc	240
tactcaccac agaaaacaaa atggtaccat cggtaccttg ggaaagaaat actaagagaa	300
accccgacca atatccttga ggttcaggaa tctggagagt acagatgccca ggcccaggc	360
tccctctca gtagccctgt gcacttggat ttttcttcag cttcgctgtat cctgtcaagct	420
ccactttctg tgtttgaagg agactctgtg gttctgaggtt gcccggcaaa ggcggaaagta	480
acactgaata atactattta caagaatgtt aatgtcttgg cattccttaaa taaaagaact	540
gacttccata ttcttcatgc atgtctcaag gacaatggtg catatcgctg tactggat	600
aaggaaagt gttgcctgtt ttcttcaat acagtcaaaa tccaaatgtccca agagccattt	660
acacgtccag tgctgagagc cagctcccttc cagccccatca gggggaaaccc agtggaccctg	720
acctgtgaga cccagctctc tctagagagg tcagatgtcc cgtccgggtt cccgttttttc	780
agagatgacc agaccctggg attaggctgg agtctctccc cgaatttcca gattactgcc	840
atgtggagta aagattcagg gttctactgg tgtaaggcag caacaatgcc tcacagcgtc	900
atatctgaca gcccggatcc ctgtgtatcacatgtccatgtcc ctgtcatctca tccatgtctc	960
actctcagcc ctgaaaaggc tctgaatttt gagggaaacca aggtgacact tcactgtgaa	1020
acccaggaag attctctcg cactttgtac aggttttatac atgagggtgtt cccctggagg	1080
cacaagtcag tccgtgtga aaggggagca tccatcagct tctcaactgac tacagagaat	1140
tcagggaaact actactgcac agtgcacat ggccttggcg ccaagcccac taaggctgtg	1200
agcctctcag tcactgttcc cgtgtctcat cctgtctca acctcagctc tcctgaggac	1260
ctgattttttttggggagccaa ggtgacactt cactgtgaag cccagagagg ttcaactcccc	1320
atccctgtacc agtttcatca tgaggatgtt gcccggcggc gtaggtcgcc caactctgca	1380
ggaggagttgg ccatcagctt ctctctgact gcagagcatt caggaaacta ctactgcaca	1440

ES 2 581 239 T3

gctgacaatg	gctttggccc	ccagcgcagt	aaggcggtga	gcctctccat	cactgtcccc	1500
gtgtctcatc	ctgtcctcac	cctcaagtc	ctgtgaggccc	tgacttttga	aggagccact	1560
gtgacacttc	actgtgaagt	ccagagaggt	tccccacaaa	tcctatacc	gttttatcat	1620
gaggacatgc	ccctgtggag	cagctcaaca	ccctctgtgg	gaagagtgtc	cttcagcttc	1680
tctctgactg	aaggacattc	aggaaattac	tactgcacag	ctgacaatgg	ctttggtccc	1740
cagcgcagtg	aaatgggtgag	ccttttgc	actgttccag	tgtctcgccc	catccctacc	1800
ctcagggttc	ccagggccca	ggctgtggtg	ggggacactgc	tggagcttca	ctgtgaggcc	1860
cccgagaggct	ctcccccaat	cctgtactgg	ttttatcatg	aggatgtcac	cctggggagc	1920
agctcagccc	cctctggagg	agaagtttct	ttcaacccct	ctctgactgc	agaacattct	1980
ggaaactact	catgtgaggc	caacaatggc	ctagtgccc	agcacagtga	cacaatatca	2040
ctcagtgta	tagttccagt	atctcgccc	atctcacct	tcagggtc	cagggccag	2100
gctgtggtgg	gggacactgct	ggagcttcac	tgtgaggccc	tgagaggctc	ctccccaaatc	2160
ctgtactgg	tttatcatga	agatgtcacc	ctgggttaga	tctcagcccc	ctctggagga	2220
ggggcctctt	tcaacotctc	tctgactaca	gaacattctg	aatctactc	ctgtgaggca	2280
gacaatggtc	tggaggccca	gogcagttag	atggtgacac	tggaaagttgc	agtcccggt	2340
tctcgcccg	tcctcacct	cagggtccc	gggaccatg	ctgcgggtgg	ggacctgtcg	2400
gagcttcact	gtgaggccct	gagaggctc	ccctgtatcc	tgttacgggtt	ttttcatgag	2460
gatgtcaccc	tagaaatag	gtcgcccccc	tctggaggag	cgtccttaaa	cctctctctg	2520
actgcagagc	actctggaaa	ctactcctgt	gaggccgaca	atggcctcg	ggcccagcgc	2580
agtgagacag	tgacacttta	tatcacaggg	ctgaccgcga	acagaagtgg	ccctttgcc	2640
acaggagtcg	cgggggcct	gctcagcata	gcaggccttg	ctgcgggggc	actgtgtc	2700
tactgctggc	tctcgagaaa	agcagggaga	aaggctgc	ctgacccccc	caggagcc	2760
tcagactcgg	actcccaaga	gcctaactat	cacaatgtac	cagcgtggg	agagctgcaa	2820
ccagtgtaca	ctaatgcaaa	tccttagagga	aaaaatgtgg	tttactcaga	agtacggatc	2880
atccaagaga	aaaagaaaaca	tgcagtggcc	tctgacccca	ggcatctcag	gaacaagggt	2940
tccctatca	tctactctga	agttaaggt	gcgtcaaccc	cggttccgg	atccctgttc	3000
ttggcttc	cagctcctca	cagatgagtc	cacacgtctc	tcctactgtct	gtttcagect	3060
ctgcacccca	aagttccct	tggggagaa	gcagcattga	agtggaaaga	tttaggctgc	3120
cccagaccat	atctactggc	ctttgttca	catgtcctca	ttctcagtct	gaccagaatg	3180
cagggccctg	ctggactgtc	acctgttcc	cagttaaagc	cctgactggc	aggttttta	3240

ES 2 581 239 T3

atccagtgcc aagggtgtcc cactccaggg cccagcacat ctccctggatt ccttagtggg	3300
cttcagctgt ggttgctgtt ctgagttactg ctctcatcac acccccacag agggggcttt	3360
accacacaaaa gggagagtg ggcttcagga gatgccggc tggcctaaca gtcagggtgc	3420
tcctaaactc cgacacagag ttctctgttt gggtggatgc atttctcaat tgtcatcagc	3480
ctgggtgggc tactgcagtg tgctgccaaa tgggacagca cacagcctgt gcacatggg	3540
catgtgatgg gtctccccac gggggctgca tttcacactc ctccacactgt ctcaaactct	3600
aaggtcggca cttgacacca aggttaacttc tctccctgtc atgtgtcagt gtctacctgc	3660
ccaagtaagt ggctticata caccaagtcc cgaagttctt cccatcctaa cagaagtaac	3720
ccagcaagtc aaggccagga ggaccagggg tgccagacaga acacatactg gaacacagga	3780
ggtgctcaat tactatitga ctgactgact gaatgaatga atgaatgagg aagsaaactg	3840
tgggtaatca aactggcata aaatccagtg cactccctag gaaatccoggg aggtattctg	3900
gcttcctaag aeacaacgga agagaaggag cttggatgaa gaaactgttc agcaagaaga	3960
agggcttctt cacactttta tttgtgttgc gatcacctga ggtatctgtga aaatacagat	4020
actgattcag tgggtctgtg tagaggctga gactgccatt ctaacatgtt cccagggat	4080
gtgtatgtcg ctggccctgg gactgcactg catgcattgt aagccctata ggtctcagca	4140
gaggccccatg gagagggaat gtgtggctct ggctgcccag ggcccaactc ggttcacacg	4200
gatcgtgtcg ctccctggcc agccttggc cacagcacca ccagctgtg ttgtgtgag	4260
agcttcttct ctgtgacatg ttggcttca tcagccaccc tgggaagcgg aaagtagctg	4320
ccactatctt tttttccca cctcaggccat cacactttcc catgaaaagg gtgaatgtat	4380
ataaacctgag ccctatccat tcagagttgt tctcccatct ctgagcaatg ggtatgttgc	4440
ttccogctttt atgatatcca tcacatctta tcttgatctt tgctccagggt ggattgtaca	4500
gtgtatgtactt ttaagcccca cggccctgaa ataaaatcct tccaaggggca ttggaagctc	4560
actccacactg aaccatggct tttcatgttt ccaagtgtca gggcccttgc cagatagaca	4620
gggctgactic tgctgcccac acctttcaag gagaaaccca gacacotgag acaggagcc	4680
gtatgcagcc cagtgcagcc ttgcagagga caaggctgga ggcatttgc atcactacag	4740
atatgcaact aaaatagacg tggagcaaga gaaatgcatt cccacccagg ccgtttttt	4800
aggcctagtt gaaagtcaag aaggacagca gcaagcatag gtcaggatt aaagaaaaaa	4860
atctgtcac agtctgttct ggaggtcaca tcaccaacaa agtcacgccc ctatgcagtt	4920
ctgagaaggt ggaggcacca ggctcaaaaag agggaaattta gaatttctca ttgggagagt	4980
aaggtacccc catcccagaa tgataactgc acagtggcag aacaaactcc accctaatgt	5040
gggtggaccc catccagttct gttgaaggcc tgaatgtaac aaaagggtttt attcttctc	5100
aagtaagggg gaactccctgc tttggctgg gacataagtt tttctgtttt cagacgcaaa	5160
ctgaaaaatg gctttcttg ggtcttgcgt ttgtggcat atggactgaa agaaactatg	5220
ctatggatc tcctggatct ccagcttgcgt gactgcagat cttgagatat gtcagccct	5280
acagtcacaa gagctaattc attctaataa accaatcttt c	5321

<210> 41
 <211> 977
 <212> PRT
 <213> Homo Sapiens

ES 2 581 239 T3

<400> 41

Met Leu Leu Trp Val Ile Leu Leu Val Leu Ala Pro Val Ser Gly Gln
1 5 10 15

Phe Ala Arg Thr Pro Arg Pro Ile Ile Phe Leu Gln Pro Pro Trp Thr
20 25 30

Thr Val Phe Gln Gly Glu Arg Val Thr Leu Thr Cys Lys Gly Phe Arg
35 40 45

Phe Tyr Ser Pro Gln Lys Thr Lys Trp Tyr His Arg Tyr Leu Gly Lys
50 55 60

Glu Ile Leu Arg Glu Thr Pro Asp Asn Ile Leu Glu Val Gln Glu Ser
65 70 75 80

Gly Glu Tyr Arg Cys Gln Ala Gln Gly Ser Pro Leu Ser Ser Pro Val
85 90 95

His Leu Asp Phe Ser Ser Ala Ser Leu Ile Leu Gln Ala Pro Leu Ser
100 105 110

Val Phe Glu Gly Asp Ser Val Val Leu Arg Cys Arg Ala Lys Ala Glu
115 120 125

Val Thr Leu Asn Asn Thr Ile Tyr Lys Asn Asp Asn Val Leu Ala Phe
130 135 140

Leu Asn Lys Arg Thr Asp Phe His Ile Pro His Ala Cys Leu Lys Asp
145 150 155 160

ES 2 581 239 T3

Asn Gly Ala Tyr Arg Cys Thr Gly Tyr Lys Glu Ser Cys Cys Pro Val
165 170 175

Ser Ser Asn Thr Val Lys Ile Gln Val Gln Glu Pro Phe Thr Arg Pro
180 185 190

Val Leu Arg Ala Ser Ser Phe Gln Pro Ile Ser Gly Asn Pro Val Thr
195 200 205

Leu Thr Cys Glu Thr Gln Leu Ser Leu Glu Arg Ser Asp Val Pro Leu
210 215 220

Arg Phe Arg Phe Phe Arg Asp Asp Gln Thr Leu Gly Leu Gly Trp Ser
225 230 235 240

Leu Ser Pro Asn Phe Gln Ile Thr Ala Met Trp Ser Lys Asp Ser Gly
245 250 255

Phe Tyr Trp Cys Lys Ala Ala Thr Met Pro His Ser Val Ile Ser Asp
260 265 270

Ser Pro Arg Ser Trp Ile Gln Val Gln Ile Pro Ala Ser His Pro Val
275 280 285

Leu Thr Leu Ser Pro Glu Lys Ala Leu Asn Phe Glu Gly Thr Lys Val
290 295 300

Thr Leu His Cys Glu Thr Gln Glu Asp Ser Leu Arg Thr Leu Tyr Arg
305 310 315 320

Phe Tyr His Glu Gly Val Pro Leu Arg His Lys Ser Val Arg Cys Glu
325 330 335

Arg Gly Ala Ser Ile Ser Phe Ser Leu Thr Thr Glu Asn Ser Gly Asn
340 345 350

Tyr Tyr Cys Thr Ala Asp Asn Gly Leu Gly Ala Lys Pro Ser Lys Ala
355 360 365

Val Ser Leu Ser Val Thr Val Pro Val Ser His Pro Val Leu Asn Leu
370 375 380

Ser Ser Pro Glu Asp Leu Ile Phe Glu Gly Ala Lys Val Thr Leu His
385 390 395 400

ES 2 581 239 T3

Cys Glu Ala Gln Arg Gly Ser Leu Pro Ile Leu Tyr Gln Phe His His
405 410 415

Glu Asp Ala Ala Leu Glu Arg Arg Ser Ala Asn Ser Ala Gly Gly Val
420 425 430

Ala Ile Ser Phe Ser Leu Thr Ala Glu His Ser Gly Asn Tyr Tyr Cys
435 440 445

Thr Ala Asp Asn Gly Phe Gly Pro Gln Arg Ser Lys Ala Val Ser Leu
450 455 460

Ser Ile Thr Val Pro Val Ser His Pro Val Leu Thr Leu Ser Ser Ala
465 470 475 480

Glu Ala Leu Thr Phe Glu Gly Ala Thr Val Thr Leu His Cys Glu Val
485 490 495

Gln Arg Gly Ser Pro Gln Ile Leu Tyr Gln Phe Tyr His Glu Asp Met
500 505 510

Pro Leu Trp Ser Ser Ser Thr Pro Ser Val Gly Arg Val Ser Phe Ser
515 520 525

Phe Ser Leu Thr Glu Gly His Ser Gly Asn Tyr Tyr Cys Thr Ala Asp
530 535 540

Asn Gly Phe Gly Pro Gln Arg Ser Glu Val Val Ser Leu Phe Val Thr
545 550 555 560

Val Pro Val Ser Arg Pro Ile Leu Thr Leu Arg Val Pro Arg Ala Gln
565 570 575

Ala Val Val Gly Asp Leu Leu Glu Leu His Cys Glu Ala Pro Arg Gly
580 585 590

Ser Pro Pro Ile Leu Tyr Trp Phe Tyr His Glu Asp Val Thr Leu Gly
595 600 605

Ser Ser Ser Ala Pro Ser Gly Gly Glu Ala Ser Phe Asn Leu Ser Leu
610 615 620

Thr Ala Glu His Ser Gly Asn Tyr Ser Cys Glu Ala Asn Asn Gly Leu
625 630 635 640

ES 2 581 239 T3

Val Ala Gln His Ser Asp Thr Ile Ser Leu Ser Val Ile Val Pro Val
645 650 655

Ser Arg Pro Ile Leu Thr Phe Arg Ala Pro Arg Ala Gln Ala Val Val
660 665 670

Gly Asp Leu Leu Glu Leu His Cys Glu Ala Leu Arg Gly Ser Ser Pro
675 680 685

Ile Leu Tyr Trp Phe Tyr His Glu Asp Val Thr Leu Gly Lys Ile Ser
690 695 700

Ala Pro Ser Gly Gly Ala Ser Phe Asn Leu Ser Leu Thr Thr Glu
705 710 715 720

His Ser Gly Ile Tyr Ser Cys Glu Ala Asp Asn Gly Leu Glu Ala Gln
725 730 735

Arg Ser Glu Met Val Thr Leu Lys Val Ala Val Pro Val Ser Arg Pro
740 745 750

Val Leu Thr Leu Arg Ala Pro Gly Thr His Ala Ala Val Gly Asp Leu
755 760 765

Leu Glu Leu His Cys Glu Ala Leu Arg Gly Ser Pro Leu Ile Leu Tyr
770 775 780

Arg Phe Phe His Glu Asp Val Thr Leu Gly Asn Arg Ser Ser Pro Ser
785 790 795 800

Gly Gly Ala Ser Leu Asn Leu Ser Leu Thr Ala Glu His Ser Gly Asn
805 810 815

Tyr Ser Cys Glu Ala Asp Asn Gly Leu Gly Ala Gln Arg Ser Glu Thr
820 825 830

Val Thr Leu Tyr Ile Thr Gly Leu Thr Ala Asn Arg Ser Gly Pro Phe
835 840 845

Ala Thr Gly Val Ala Gly Gly Leu Leu Ser Ile Ala Gly Leu Ala Ala
850 855 860

Gly Ala Leu Leu Leu Tyr Cys Trp Leu Ser Arg Lys Ala Gly Arg Lys
865 870 875 880

ES 2 581 239 T3

Pro Ala Ser Asp Pro Ala Arg Ser Pro Ser Asp Ser Gln Glu
885 890 895

Pro Thr Tyr His Asn Val Pro Ala Trp Glu Glu Leu Gln Pro Val Tyr
900 905 910

Thr Asn Ala Asn Pro Arg Gly Glu Asn Val Val Tyr Ser Glu Val Arg
915 920 925

Ile Ile Gln Glu Lys Lys His Ala Val Ala Ser Asp Pro Arg His
930 935 940

Leu Arg Asn Lys Gly Ser Pro Ile Ile Tyr Ser Glu Val Lys Val Ala
945 950 955 960

Ser Thr Pro Val Ser Gly Ser Leu Phe Leu Ala Ser Ser Ala Pro His
965 970 975

Arg

<210> 42

<211> 16

<212> ADN

5 <213> Homo Sapiens

<400> 42

ggcacctccc ctaaac 16

<210> 43

<211> 2797

10 <212> ADN.

<213> Homo Sapiens

<400> 43

gtgcagtgtc ctgactgtaa gatcaaggcc aaacctgttt tggaattttag gaaacttctc 60

ttttgatctc agcccttggt ggccagggtc ttcatgtgc tgtgggtat attactggtc 120

ES 2 581 239 T3

ctggctcctg tcagtggaca gtttgcaggc acacccaggg ccattattt cctccagcct	180
ccatggacca cagtcttcca aggagagaga gtgaccctca cttgcaaggg atttcgcttc	240
tactcaccac agaaaacaaa atggtaccat cggtacccctg ggaaagaata actaagagaa	300
accccagaca atatccctga gtttcaggaa tctggagagt acagatgcca ggcccaggc	360
tccccctctca gtagccctgt gcacttggat ttttcttcag ctccgctgat cctgcaagct	420
ccactttctg tggtaagg agactctgtg gttctgaggt gccgggcaaa ggcggaaact	480
acactgaata stactattta caagaatgt aatgtcctgg caticcttaa taaaagaact	540
gacttccata ttccatcatgc atgtctcaag gacaatggtg catatcgctg tactggatat	600
aaggaaagtt gttgccctgt ttcttccaat acagtcaaaa tccaaagtccca agagccattt	660
acacgtccag tgctgagagc cagctccctc cagccccatca gggggaaaccg agtgcaccc	720
acctgtgaga cccagcttc tctagagagg tcagatgtcc cgctccgggtt ccgcttcttc	780
agagatgacc agaccctggg attaggctgg agtctctccc cgaatttccca gattactgcc	840
atgtggagta aagattcagg gttctactgg tgtaaggcag caacaatgcc tcacagcgtc	900
atatctgaca gcccggagatc ctggatacag gtgcagatcc ctgcacatctca tcctgtctc	960
actctcagcc ctgaaaaggc tctgaatttt gagggaaacca aggtgacact tcactgtgaa	1020
acccaggaag attctctgcg cactttgtac aggttttatac atgagggtgt cccctgagg	1080
cacaagtccag tccgctgtga aaggggagca tccatcagct tctcactgac tacagagaat	1140
tcagggaaact actactgcac agctgacaat ggccttggcg ccaagcccg taaggctgtg	1200
agccctctcag tcactgttcc cgtgtctcat cctgtcctca acctcagctc tcctgaggac	1260
ctgatTTTG agggagccaa ggtgacactt cactgtgaag cccagagagg ttcaactcccc	1320
atccctgtacc agtttcatca tgaggatgtc gcccggcgc gtaggtcgcc caactctgca	1380
ggaggagggg ccatcagctt ctctctgact gcagagcatt cagggaaacta ctactgcaca	1440
gctgacaatg gctttggccc ccagcgcagt aaggcggtga gctctccat cactgtccct	1500
gtgtctcatc ctgtcctcac cctcagctct gctgaggccc tgactttga aggagccact	1560
gtgacacttc actgtgaagt ccagagagg tccccacaaa tccatataccca gttttatcat	1620
gaggacatgc ccctgtggag cagctcaaca ccctctgtgg gaagagtgtc ctteagcttc	1680
tctctgactg aaggacattc agggattac tactgcacag ctgacaatgg ctttggccc	1740
cagcgcagtg aagtggtgag cctttttgtc actgttccag tgtatcgccc cttctcacc	1800
ctcagggttc ccagggccca ggctgtggg ggggacctgc tggagcttca ctgtgaggcc	1860
ccgagaggct ctcccccaat cctgtactgg ttttatcatg aggatgtcac cctggggagc	1920

ES 2 581 239 T3

```

agctcagccc cctctggagg agaagcttct ttcaacctct ctctgactgc agaacattct    1980
ggaaaactact catgtgaggc caacaatggc ctagtggccc agcacagtga cacaatatca    2040
ctcagtgtta tagttccagt atctcgcccc atccctcacct tcagggctcc cagggcccag    2100
gtctgtgggg gggacctgct ggagcttcac tgtgaggccc tgagaggctc ctccccaatc    2160
ctgtactgggt tttatcatga agatgtcacc ctgggttaaga tctcagcccc ctctggagga    2220
ggggcctcct tcaacctctc tctgactaca gaacattctg gaatctactc ctgtgaggca    2280
gacaatggtc tggaggccca gcgcagttagtgc acatgggttgc aggtgagtg    2340
gccctgcccc ccagcagcac atctgagaac tgactgtgcc tgttctccct gcagctgaaa    2400
atggagccac agagcttc agggctgttt gcttgtgtgg catcccagca cacttcctgc    2460
ctgcagaacc tccctgtcaa agtctcggat cctttgtggt atggttccag qaatctgtat    2520
tttcccagca gttttcttgc agatgatcaa agcacctcac taaaaatgca aataagactt    2580
ttttagaaca taaactataat tctgaactga aattattaca taaaaatgaa accaaagaat    2640
tctgagcata tgtttctctg ccgtagaaag gatataagctg tttttgtcc ggattctct    2700
ctcattgact tctaagaagc ctctactctt gagttctctt cattactggg gatgtaaatg    2760
ttcccttacat ttccacat taaaatcttat gttaacg                                2797

```

<210> 44

<211> 759

<212> PRT

5 <213> Homo Sapiens

<400> 44

Met	Leu	Leu	Trp	Val	Ile	Leu	Leu	Val	Leu	Ala	Pro	Val	Ser	Gly	Gln
1															

Phe	Ala	Arg	Thr	Pro	Arg	Pro	Ile	Ile	Phe	Leu	Gln	Pro	Pro	Trp	Thr
20															

Thr	Val	Phe	Gln	Gly	Glu	Arg	Val	Thr	Leu	Thr	Cys	Lys	Gly	Phe	Arg
35															

Phe	Tyr	Ser	Pro	Gln	Lys	Thr	Lys	Trp	Tyr	His	Arg	Tyr	Leu	Gly	Lys
50															

Glu	Ile	Leu	Arg	Glu	Thr	Pro	Asp	Asn	Ile	Leu	Glu	Val	Gln	Glu	Ser
65															

ES 2 581 239 T3

Gly Glu Tyr Arg Cys Gln Ala Gln Gly Ser Pro Leu Ser Ser Pro Val
85 90 95

His Leu Asp Phe Ser Ser Ala Ser Leu Ile Leu Gln Ala Pro Leu Ser
100 105 110

Val Phe Glu Gly Asp Ser Val Val Leu Arg Cys Arg Ala Lys Ala Glu
115 120 125

Val Thr Leu Asn Asn Thr Ile Tyr Lys Asn Asp Asn Val Leu Ala Phe
130 135 140

Leu Asn Lys Arg Thr Asp Phe His Ile Pro His Ala Cys Leu Lys Asp
145 150 155 160

Asn Gly Ala Tyr Arg Cys Thr Gly Tyr Lys Glu Ser Cys Cys Pro Val
165 170 175

Ser Ser Asn Thr Val Lys Ile Gln Val Gln Glu Pro Phe Thr Arg Pro
180 185 190

Val Leu Arg Ala Ser Ser Phe Gln Pro Ile Ser Gly Asn Pro Val Thr
195 200 205

Leu Thr Cys Glu Thr Gln Leu Ser Leu Glu Arg Ser Asp Val Pro Leu
210 215 220

Arg Phe Arg Phe Phe Arg Asp Asp Gln Thr Leu Gly Leu Gly Trp Ser
225 230 235 240

Leu Ser Pro Asn Phe Gln Ile Thr Ala Met Trp Ser Lys Asp Ser Gly
245 250 255

Phe Tyr Trp Cys Lys Ala Ala Thr Met Pro His Ser Val Ile Ser Asp
260 265 270

Ser Pro Arg Ser Trp Ile Gln Val Gln Ile Pro Ala Ser His Pro Val
275 280 285

Leu Thr Leu Ser Pro Glu Lys Ala Leu Asn Phe Glu Gly Thr Lys Val
290 295 300

Thr Leu His Cys Glu Thr Gln Glu Asp Ser Leu Arg Thr Leu Tyr Arg
305 310 315 320

ES 2 581 239 T3

Phe Tyr His Glu Gly Val Pro Leu Arg His Lys Ser Val Arg Cys Glu
325 330 335

Arg Gly Ala Ser Ile Ser Phe Ser Leu Thr Thr Glu Asn Ser Gly Asn
340 345 350

Tyr Tyr Cys Thr Ala Asp Asn Gly Leu Gly Ala Lys Pro Ser Lys Ala
355 360 365

Val Ser Leu Ser Val Thr Val Pro Val Ser His Pro Val Leu Asn Leu
370 375 380

Ser Ser Pro Glu Asp Leu Ile Phe Glu Gly Ala Lys Val Thr Leu His
385 390 395 400

Cys Glu Ala Gln Arg Gly Ser Leu Pro Ile Leu Tyr Gln Phe His His
405 410 415

Glu Asp Ala Ala Leu Glu Arg Arg Ser Ala Asn Ser Ala Gly Gly Val
420 425 430

Ala Ile Ser Phe Ser Leu Thr Ala Glu His Ser Gly Asn Tyr Tyr Cys
435 440 445

Thr Ala Asp Asn Gly Phe Gly Pro Gln Arg Ser Lys Ala Val Ser Leu
450 455 460

Ser Ile Thr Val Pro Val Ser His Pro Val Leu Thr Leu Ser Ser Ala
465 470 475 480

Glu Ala Leu Thr Phe Glu Gly Ala Thr Val Thr Leu His Cys Glu Val
485 490 495

Gln Arg Gly Ser Pro Gln Ile Leu Tyr Gln Phe Tyr His Glu Asp Met
500 505 510

Pro Leu Trp Ser Ser Ser Thr Pro Ser Val Gly Arg Val Ser Phe Ser
515 520 525

Phe Ser Leu Thr Glu Gly His Ser Gly Asn Tyr Tyr Cys Thr Ala Asp
530 535 540

Asn Gly Phe Gly Pro Gln Arg Ser Glu Val Val Ser Leu Phe Val Thr
545 550 555 560

ES 2 581 239 T3

Val Pro Val Ser Arg Pro Ile Leu Thr Leu Arg Val Pro Arg Ala Gln
565 570 575

Ala Val Val Gly Asp Leu Leu Glu Leu His Cys Glu Ala Pro Arg Gly
580 585 590

Ser Pro Pro Ile Leu Tyr Trp Phe Tyr His Glu Asp Val Thr Leu Gly
595 600 605

Ser Ser Ser Ala Pro Ser Gly Gly Gln Ala Ser Phe Asn Leu Ser Leu
610 615 620

Thr Ala Glu His Ser Gly Asn Tyr Ser Cys Glu Ala Asn Asn Gly Leu
625 630 635 640

Val Ala Gln His Ser Asp Thr Ile Ser Leu Ser Val Ile Val Pro Val
645 650 655

Ser Arg Pro Ile Leu Thr Phe Arg Ala Pro Arg Ala Gln Ala Val Val
660 665 670

Gly Asp Leu Leu Glu Leu His Cys Glu Ala Leu Arg Gly Ser Ser Pro
675 680 685

Ile Leu Tyr Trp Phe Tyr His Glu Asp Val Thr Leu Gly Lys Ile Ser
690 695 700

Ala Pro Ser Gly Gly Ala Ser Phe Asn Leu Ser Leu Thr Thr Glu
705 710 715 720

His Ser Gly Ile Tyr Ser Cys Glu Ala Asp Asn Gly Leu Glu Ala Gln
725 730 735

Arg Ser Glu Met Val Thr Leu Lys Val Ala Gly Glu Trp Ala Leu Pro
740 745 750

Thr Ser Ser Thr Ser Glu Asn
755

REIVINDICACIONES

1. Un anticuerpo dirigido a una proteína IRTA5 humana, en donde la secuencia de aminoácidos de la proteína IRTA5 humana está representada en la Figura 18E1-18E2.
- 5 2. Un anticuerpo dirigido a una proteína IRTA5 humana, en donde el anticuerpo está conjugado con un agente terapéutico, en donde el agente terapéutico es seleccionado del grupo que consiste en un radioisótopo, una toxina, un toxoide o un agente quimioterapéutico, y en donde la secuencia de aminoácidos de la proteína IRTA5 humana está representada en la Figura 18E1-E2.
3. El anticuerpo de la reivindicación 1 o 2 para uso en el tratamiento de un sujeto que tiene un cáncer de células B.
- 10 4. Un anticuerpo dirigido a una proteína IRTA5 humana eficaz para unirse a células cancerosas que expresan una proteína IRTA5 humana con el fin de evitar el crecimiento de células cancerosas, para uso en el tratamiento de un sujeto que tiene un cáncer de células B, en donde la secuencia de aminoácidos de la proteína IRTA5 humana está representada en la Figura 18E1-18E2.
5. El anticuerpo de una cualquiera de las reivindicaciones 1-4, en donde el anticuerpo se une específicamente al dominio extracelular de una proteína IRTA5 humana.
- 15 6. El anticuerpo de una cualquiera de las reivindicaciones 1-5, en donde el anticúpero es un anticuerpo monoclonal.
7. El anticuerpo de la reivindicación 6, en donde el anticuerpo monoclonal es un anticuerpo monoclonal humanizado.
8. Una composición que comprende una cantidad del anticuerpo de una cualquiera de las reivindicaciones 1-7 eficaz para prevenir el crecimiento de células cancerosas que expresan IRTA5 humana y un portador farmacéuticamente aceptable.
- 20 9. La composición de la reivindicación 8, para uso en el tratamiento de un cáncer de células B.
10. La composición de la reivindicación 8, en donde las células cancerosas son seleccionadas del grupo que consiste en linfoma de células B, linfoma de células del manto, mieloma múltiple, linfoma de Burkitt, linfoma de zona marginal, linfoma de células grandes difusas y células de linfoma folicular.
- 25 11. La composición de la reivindicación 8, en donde las células cancerosas son células de linfoma de células B de Tejido Linfoide Asociado a la Mucosa (MALT) o células de Linfoma no Hodgkin.
12. La composición de la reivindicación 8, en donde el anticuerpo es un anticuerpo monoclonal.
13. La composición de la reivindicación 12, en la que el anticuerpo monoclonal es un anticuerpo monoclonal humanizado.
- 30 14. Una proteína IRTA5 humana que comprende aminoácidos, cuya secuencia está representada en la Figura 18E1-18E2.
15. Un método de diagnóstico de una neoplasia maligna de células B que comprende una reordenación cromosómica 1q21 en una muestra que contiene células cancerosas de un sujeto, que comprende:
 - a) poner en contacto la muestra obtenida del sujeto con el anticuerpo de la reivindicación 1, en donde el anticuerpo está marcado con un marcador detectable; y
 - 35 b) detectar cualquier unión en la etapa (a), en donde la detección de la unión indica un diagnóstico de neoplasia maligna de células B.

FIGURA 2A

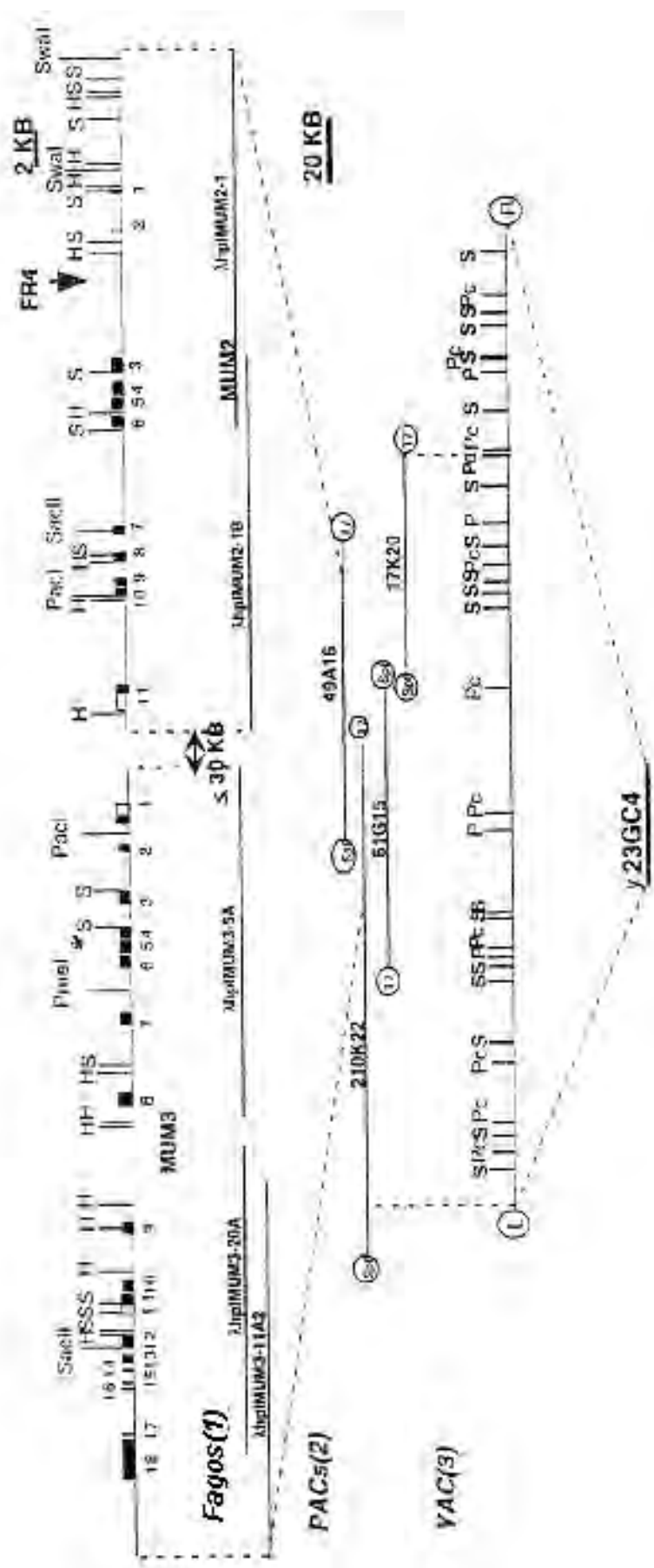


FIGURA 2B

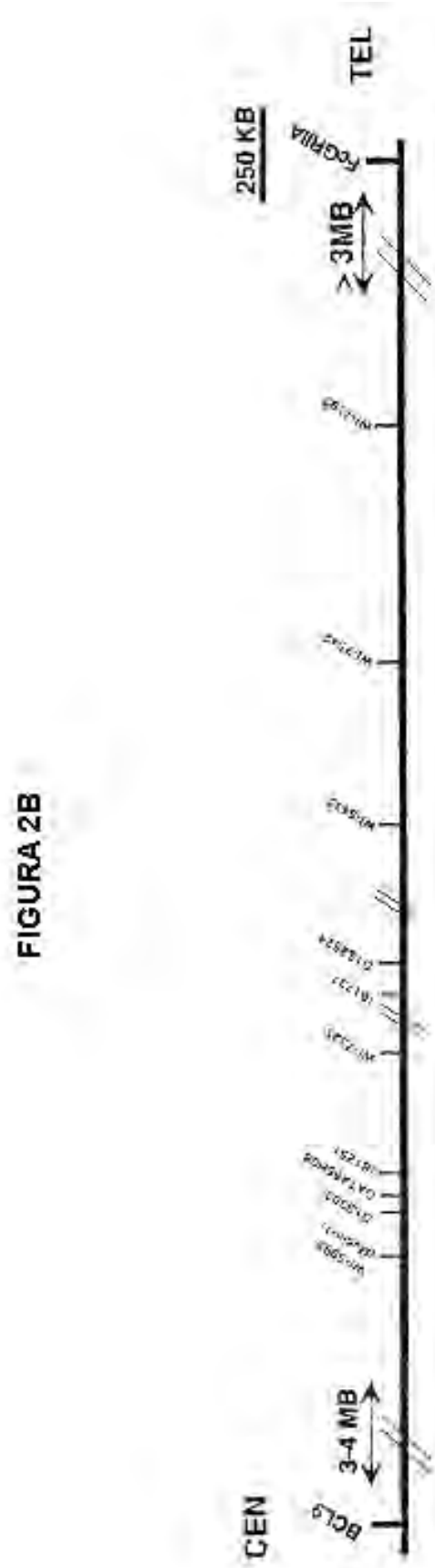


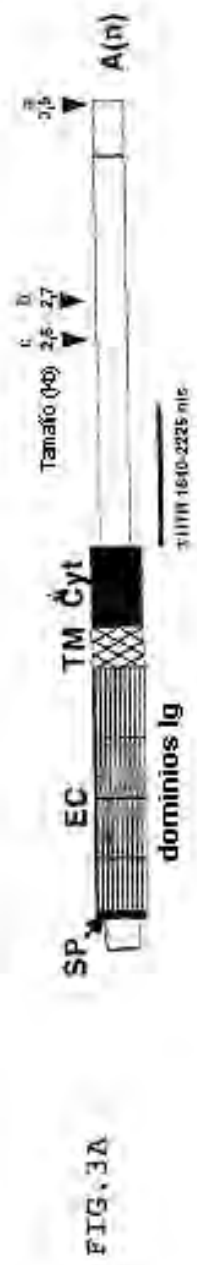
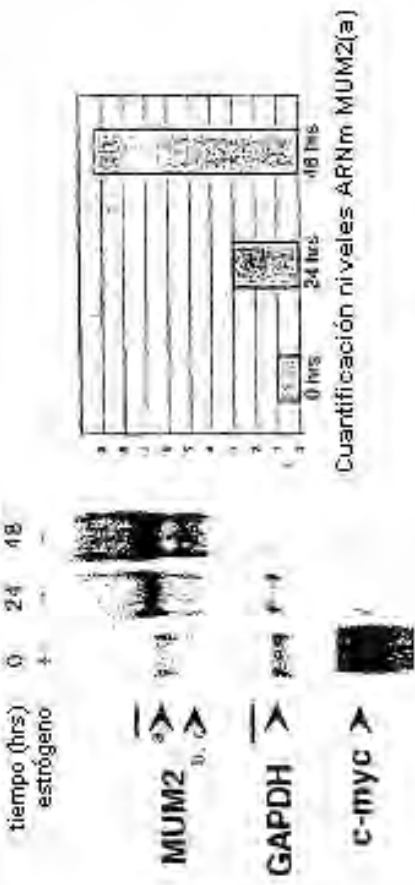
FIGURA 3**FIG. 3B****FIG. 3C** detención G0/G1 →

FIGURA 4

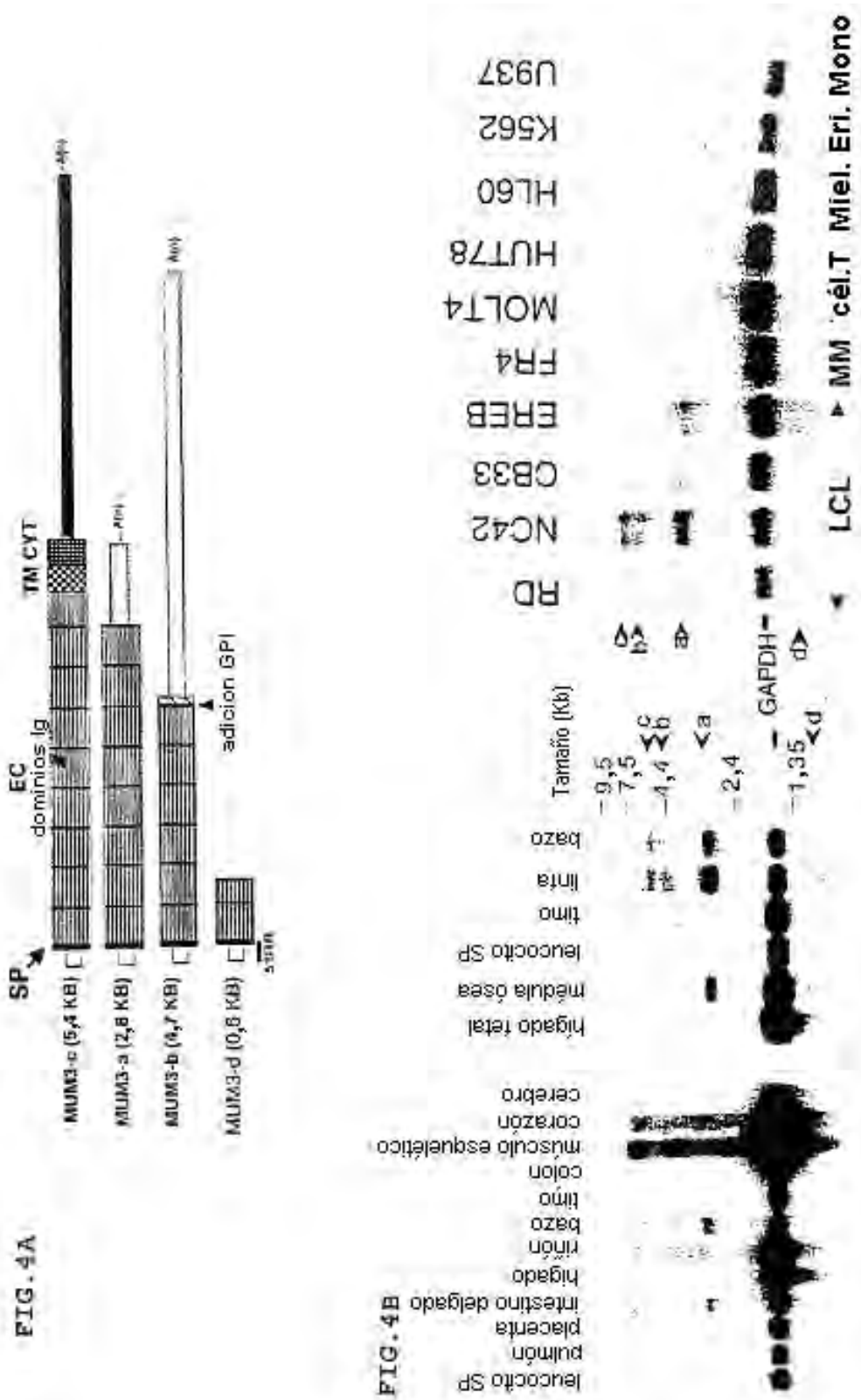


FIGURA 5

1 CTCATCAGCTTATGAGAGAAGCTTACTGAGUTCACTGTGGTCTGCGTAGGAAAGTGCTGCTTGGCAA
 2 M L I W R S
 3 TCTGCGCTGACCTGGCTGTCTCTCTGTGAGCTTCTGCTGCGGCGGCTTCTGCTGCTGCTGUGGCGCC
 4 L L A F A P V C G Q S A A A H E S V C S V H P P N T 12
 5 TTGCCTGGCCTTGTACTTCAGTCGTGGACAGAATCTCAAGCTGCCAGAAACAAACGTGATTCGATTCGTCATCTCCATGGAC
 6 E F P X K G S R V T S T D N G F Q Y A T E K T T W Y 48
 7 CACATCCTCTCAAAAGGAGAGAGTGAATCTCAACTGCAAGTCAATGCACAGAGAAAACAACAGGT
 8 H R Y I W G E K L T L T P G N T L E V R E S G L Y 83
 9 ATCATCGGCACTACTGGGGAGAAAAGCTGGACCCGAGAAACACCCCTCGAGGGTGGGAADCTGGACTGTC
 10 R O D A R G E F R I S N F V R L D L F S S D S L E D Q R 169
 11 AGATGGCAGGCCCCGGCTCCCCAGGAGTAACCCGTTGGGGTTGGCTTTCAGACTCCCTATGCTGGCT
 12 P Y S V F E E G D T L V L R C H R R R K L T T A V K 115
 13 ACCATACTTGTGTTTCAGGAGTCAACATGGTTTGTAGATGCCAGAAGAGAAAGAGAATTGACTGCTGCA
 14 Y T M N G N T L S I S N K S N D L L I P U R S S N 160
 15 ATATACTTGGAAATGAAAACATTCTTCTGCTTCTAAATAAAAGCTGGGATCTCTTATCCTGCCAGGAACTTCAAAT
 16 H M G H Y R C I G Y G D E N D V F R S N F K I T K I 186
 17 AACAAATGGCAATTGATGATCATTGGGATATGGAGATGAGAATGATGATTAATGATCAAAATTTCAAAATTAA
 18 Q E B F P H E L K A T D S P T B G N S V N L S S E 212
 19 CAAAGACTATTTCACATCGAGGCTTAAGCTACAGACTCTGGGCTTCAAGGGGGAAATCTTAAACLTGCGT
 20 E T O L P F E R G D T F L H N E F R E G E V I L 237
 21 CTGAAACACAGCTTCTCNGAGGGCTGACACCCCACCTCTCACTGAGATGGCGAGGTGTC
 22 S D N S T Y P E L Q L P T V W R E N S G G Y W C G A 263
 23 TGTGACTGGAGCACCTGGGGRACTTGAGCTGCGAACCCGGTGTGGAGAGAACCTGGGATCTATTGGCTGGCT
 24 E T V R G N I H N H S P S L Q I S V Q E I P V S Q V 289
 25 TGTAAACGTCGCGGTAACTCCAGCAACAGTCCTGGTCACTGGAAATGTGGCGGGGATGCGGCGGATGCTGGCTGGC
 26 D L E S T Q P E R S Q V V E G E M L D V U C S V A 314
 27 TGCTCTGGAGACGCCCTTGAGGAGGAGGCTTGTGGGAGGATCTGGCTGGGCTGGGCGCTGGCTGGGGGAA
 28 G T G D T E F S W H R E D M Q E S L Q R K T Q R S L 340
 29 GCGAGGGGGATAACACATTCTCTGGAGGAGAAGACATGGAGGGTGGGAGGGAAACTCAGGGCTGCG
 30 R A E L E L P A T S Q S H A G G Y Y C T A D M S Y C 366
 31 TAGAGGAGAGACTGGGGACTCCTGCACTTGAGAACCCCTGGGGGGATGACTCTGGAGGGAGACAGCTGGGG
 32 E V Q S H M V D N V T V R E T P G N R W U G L V B A G 391
 33 TGCTCTGGAGGAGCTGAGGAGGAGGAGGAGGAGGAGGAGGAGGAGGAGGAGGAGGAGGAGGAGGAGGAGGAG
 34 A T G C D I S A I L A V P I F P W R R R K S R 417
 35 GCGACTGGAGGGCTGCTCTGCTCTTGTGTCTCTGCTGCTGGGCTGGGCTGGGCGTGTGGGGGGGGAGTCAGG
 36 V G F L G D E T R L P P A P G P G E S S H S I C P A 443
 37 CCTGGGTTCTGGGGAGACGGAAACCGGGCTGGCTGGGGCTGGGGGGAGGGAGGGGGGGGGGGGGGGGGGG
 38 Q V B L O S D M U S P K R G C D V Y S E I O T 468
 39 CCCAGGTTGGGGCTTCTGAGCTGGCTGTGATGTTGATGTTGATGTCACACCCAAAAGGGAGATGGGATCTAC
 40 T O E S E E E A N T S R T L I E D K D V S M V Y S 494
 41 ACTCAGCTGGAGAAAGAGAGGGAAACTTAATCTGCAAGGACACTCTAGAGGATAACGGATGTGCTCAAGTGT
 42 E V T Q H P D H S A G R I S E R D E S * 515
 43 TGAGGTAAAGAACRACACCAACTGAGCTGGAAAGATGCGGTAAAGAAACTTARGAGGTAAAG
 44 ATGATGGGGAGGCTGTTCACTGATGTGATTCCTGCGAAAGTGCTGGGGGGGGGGGGGGGGGGGGGGGG
 45 GATGTCATCACTCATTGGCGCTTGTCTGTGCTGCGTCATATCCTGCTGCTTCTCTGCTGGGCTGGGGGGGG
 46 GTGATGTTGGGGTTGGGGAGCTGGCTGCTTGGGGGGGGGGGGGGGGGGGGGGGGGGGGGGGGGGGGGG
 47 TATTTGCTGGGGGCTGACCTAACTGCTGG
 48 TATGAGAACAGCAAGGCAAAATTGGTGTGATGG
 49 TTAATCTCACAACTGGTCTGACTGGAGACTCCTGCTGCTGCTGCTGCTGCTGGGGGGGGGGGGGGGGGG
 50 CTGCGAAACCAACTGAAAGCCCTTCTGCTGCTGCTGCTGCTGCTGCTGGGGGGGGGGGGGGGGGGGGGGGG
 51 CCGATTTGGAACTGGGAGGAGGG
 52 CCTTGGGAAAGGG
 53 TATTTGCACTGG
 54 TATTAAGTAAAGGG
 55 TATTAAGTAAAGGG
 56 CCTGCGCTTAAATAAAAAAA
 57 CCTGCGCTTAAATAAAAAAA
 58 CCTGCGCTTAAATAAAAAAA
 59 CCTGCGCTTAAATAAAAAAA
 60 CCTGCGCTTAAATAAAAAAA
 61 CCTGCGCTTAAATAAAAAAA
 62 CCTGCGCTTAAATAAAAAAA
 63 CCTGCGCTTAAATAAAAAAA
 64 CCTGCGCTTAAATAAAAAAA
 65 CCTGCGCTTAAATAAAAAAA
 66 CCTGCGCTTAAATAAAAAAA
 67 CCTGCGCTTAAATAAAAAAA
 68 CCTGCGCTTAAATAAAAAAA
 69 CCTGCGCTTAAATAAAAAAA
 70 CCTGCGCTTAAATAAAAAAA
 71 CCTGCGCTTAAATAAAAAAA
 72 CCTGCGCTTAAATAAAAAAA
 73 CCTGCGCTTAAATAAAAAAA
 74 CCTGCGCTTAAATAAAAAAA
 75 CCTGCGCTTAAATAAAAAAA
 76 CCTGCGCTTAAATAAAAAAA
 77 CCTGCGCTTAAATAAAAAAA
 78 CCTGCGCTTAAATAAAAAAA
 79 CCTGCGCTTAAATAAAAAAA
 80 CCTGCGCTTAAATAAAAAAA
 81 CCTGCGCTTAAATAAAAAAA
 82 CCTGCGCTTAAATAAAAAAA
 83 CCTGCGCTTAAATAAAAAAA
 84 CCTGCGCTTAAATAAAAAAA
 85 CCTGCGCTTAAATAAAAAAA
 86 CCTGCGCTTAAATAAAAAAA
 87 CCTGCGCTTAAATAAAAAAA
 88 CCTGCGCTTAAATAAAAAAA
 89 CCTGCGCTTAAATAAAAAAA
 90 CCTGCGCTTAAATAAAAAAA
 91 CCTGCGCTTAAATAAAAAAA
 92 CCTGCGCTTAAATAAAAAAA
 93 CCTGCGCTTAAATAAAAAAA
 94 CCTGCGCTTAAATAAAAAAA
 95 CCTGCGCTTAAATAAAAAAA
 96 CCTGCGCTTAAATAAAAAAA
 97 CCTGCGCTTAAATAAAAAAA
 98 CCTGCGCTTAAATAAAAAAA
 99 CCTGCGCTTAAATAAAAAAA
 100 CCTGCGCTTAAATAAAAAAA
 101 CCTGCGCTTAAATAAAAAAA
 102 CCTGCGCTTAAATAAAAAAA
 103 CCTGCGCTTAAATAAAAAAA
 104 CCTGCGCTTAAATAAAAAAA
 105 CCTGCGCTTAAATAAAAAAA
 106 CCTGCGCTTAAATAAAAAAA
 107 CCTGCGCTTAAATAAAAAAA
 108 CCTGCGCTTAAATAAAAAAA
 109 CCTGCGCTTAAATAAAAAAA
 110 CCTGCGCTTAAATAAAAAAA
 111 CCTGCGCTTAAATAAAAAAA
 112 CCTGCGCTTAAATAAAAAAA
 113 CCTGCGCTTAAATAAAAAAA
 114 CCTGCGCTTAAATAAAAAAA
 115 CCTGCGCTTAAATAAAAAAA
 116 CCTGCGCTTAAATAAAAAAA
 117 CCTGCGCTTAAATAAAAAAA
 118 CCTGCGCTTAAATAAAAAAA
 119 CCTGCGCTTAAATAAAAAAA
 120 CCTGCGCTTAAATAAAAAAA
 121 CCTGCGCTTAAATAAAAAAA
 122 CCTGCGCTTAAATAAAAAAA
 123 CCTGCGCTTAAATAAAAAAA
 124 CCTGCGCTTAAATAAAAAAA
 125 CCTGCGCTTAAATAAAAAAA
 126 CCTGCGCTTAAATAAAAAAA
 127 CCTGCGCTTAAATAAAAAAA
 128 CCTGCGCTTAAATAAAAAAA
 129 CCTGCGCTTAAATAAAAAAA
 130 CCTGCGCTTAAATAAAAAAA
 131 CCTGCGCTTAAATAAAAAAA
 132 CCTGCGCTTAAATAAAAAAA
 133 CCTGCGCTTAAATAAAAAAA
 134 CCTGCGCTTAAATAAAAAAA
 135 CCTGCGCTTAAATAAAAAAA
 136 CCTGCGCTTAAATAAAAAAA
 137 CCTGCGCTTAAATAAAAAAA
 138 CCTGCGCTTAAATAAAAAAA
 139 CCTGCGCTTAAATAAAAAAA
 140 CCTGCGCTTAAATAAAAAAA
 141 CCTGCGCTTAAATAAAAAAA
 142 CCTGCGCTTAAATAAAAAAA
 143 CCTGCGCTTAAATAAAAAAA
 144 CCTGCGCTTAAATAAAAAAA
 145 CCTGCGCTTAAATAAAAAAA
 146 CCTGCGCTTAAATAAAAAAA
 147 CCTGCGCTTAAATAAAAAAA
 148 CCTGCGCTTAAATAAAAAAA
 149 CCTGCGCTTAAATAAAAAAA
 150 CCTGCGCTTAAATAAAAAAA
 151 CCTGCGCTTAAATAAAAAAA
 152 CCTGCGCTTAAATAAAAAAA
 153 CCTGCGCTTAAATAAAAAAA
 154 CCTGCGCTTAAATAAAAAAA
 155 CCTGCGCTTAAATAAAAAAA

FIGURA 6c-1

20 CCGTGCAGTGCTGGACTGATGATCACTGAAACCTCCTTCGAAAATTCTTGTATCTGAGCCCT
 21 MLLHVLLVLLVLARVVVGGFVEQFEKF
 22 CTGTCCAGGTTTCGCTGCTTCCTGCTTGGATACTGCGCTCTGGCTTGCTCTGGGACGCCAG
 23 PTFQEMTVEQGEETVTEFEDRSE
 24 DCCATTATTTGCTCACGCCCATGGACCGCTTCCAAGGAGAGACGTSACCTCTGAGGGAGCTT
 25 YSEKTYWYHNGNTLETRFDRN
 26 TTACTACCAAGAAAAAGAAATACTGAGCACTGGTACCGAATTAAGAGAGAACCCGAGACA
 27 EVOSSEYRVQCAQGSPLSSFVHLDFB
 28 AGGTTGAGGAATCTGGAGAGTAGAGCTGGCCGAGCTTGAGTAGCCCGTGGACTGGAGCT
 29 ASLILQALSVFGDSSVLRCAAAEV
 30 AGCTTCGCTGATCCTGAACTGCTGAACTCTCTGTGTTGAAGGAGAGCTGCTGTGGTGTGAGG
 31 TNNYXNDVLAFLRNKREHIDII
 32 TAAACATGAACTGAACTGAACTGAACTGAACTGAACTGAACTGAACTGAACTGAACTGAA
 33 ACILKDNGATRSTGYKESDCPFUSSNTVR
 34 GCATGCTCAAGGACATGGAGTGAGCTGGCTGAGCTTGAGGATATAAGGAAATGGCTGCGCGCT
 35 IGVOBEPFTHFVLAASSPQISCGNCPVTA
 36 AACCAAGTCAAGAACCCATTAGACCTCCAGTGAGAGGAGCGCTCCCTTGAGACCTGAGG
 37 TEEETQLSERBLPFRLRFDIOTL
 38 TGACTTGTAGGGCGAGCTGCTCTAGAGAGCTGGCTGCTCCCGTCTGGCTCTTGAGGATGAC
 39 GLGWSDLSPFQITAHMSDSCFCYKNEKA
 40 GGATTAGCTGGAGCTGCTGCGAGAGATCTGAGAACTCTGAGTGTGAGTTGAGGGCTTAC
 41 ATMPHSVISEDPRSWIQIPRSNH2'1
 42 KCCACRAATGCTGCAAGGGCTCATGCTGAGAGCTGGCTGAGTGCAGATGCCATGCTGG
 43 TLDPSERKLNFFEGTMUTLHCETQEDSL
 44 CGACTCTGGGGCTGAAGAACGCTGGATTAGGGAGACCGAAAGTGGCTGGGGTGTGAC
 45 AFLYRFYHEGRNHRNSVRERGAGACF
 46 CCCACTTGTACAGGTTTATCATGGGGTGCGCGGTTAGGGCTGAGCTGGCTGAGCTGGC
 47 FSLTTTNEKGWNYCTAGMSLGLAKRSHAV
 48 CTTCTCACTGAGCTGAGGAAATTAGGGAACTACTGCAAGTGGACATGGGGAAAGGCC
 49 ELSVTVPVSHPVINMISASPGWTTPEGA
 50 TGAGGCTCTAGTCACTTGTGGGTGCTGTCTGAGCTGAGCTGGGGCTGGGGAGCTGGGG
 51 KVTLRCEAQKORSLPYQFRHEDAALE
 52 RAGGTGACACTCTGAGCTGGGGGGCTGAGGAGGGTTCTGAGCTGGGGAGCTGGGG
 53 RRSAANAGGVSATFSLTREHSQHYYCT
 54 GGTAGGTCGGGCAAGCTGGGGAGGTTGGGAGGGTTGGGGAGCTGGGGAGGAACTGGGG
 55 ADERGFGQFRESWEQDITVTVVSHEVL
 56 CGGTTGACAAATGGCTTGGGCGGGAGCTGGGGAGGGGGCGGAGCTGGGGAGCTGGGG
 57 TLESSADALTPTEATVTHCENQOGSPO
 58 AGCGTGGCTCTGAGGGCTGGCTTGTGAGGAGCTGGGGCTGAGCTGGGGAGCTGGGG
 59 TLYOEWYEDMEWMESBTPSVDGAEVSE
 60 ATGGCTTACCGATTTTATGGAGGAGCATGGGGGGCTGGGGAGCTGGGGAGCTGGGG
 61 SLESESEHSGRWTDTAATAAGGGCTGGGG
 62 TCTCTGGACTGAGCGCTCTAGGGAGTACTTGAGCTGGGGGGCTGGGGAGCTGGGG
 63 ELEFVTVTHFVEFIATGTTTFRQAQAVFGDL
 64 AGCGTTGGCTCACTCTGAGCTGGGGGGCTGGGGAGCTGGGGAGCTGGGGAGCTGGGG
 65 LELAEZAFNGRFEWTTTNAWYTKEPVTZIE
 66 GCTGGAGCTCTGAGCTGGGGGGCTGGGGAGCTGGGGAGCTGGGGGGCTGGGGAGCTGGGG
 67 ESSAEGTGAGCTGGGGGGCTGGGGAGCTGGGGAGCTGGGGAGCTGGGGAGCTGGGG
 68 GCAGCTCAAGGCCCTCTGGAGAGCTTGTGGAGAGTGTGGAGAGGATTTGGAGAGCTGGGG
 69 ANNGLVIQHSDTISLEVIVPSTSREIT
 70 GCTAACAAATGGCTGGGGGGAGGAACAGTGGAGACACAGTATGAGTGGGGGGAGCTGGGG
 71 ERAZPAAAVVGVVDLLELPCRLGRSSB
 72 CTTCAAGGGCTGGGGGGGGCTGGGGAGCTGGGGGGCTGGGGAGCTGGGGAGCTGGGG
 73 LYMRFYRSEWWAFAEEFEGDFL
 74 AGCTGGGGGGCTGGGGGGGGCTGGGGGGGGCTGGGGAGCTGGGGGGGGCTGGGG
 75 SUDGEHSGIGECLEGKNGLBAAQKSEV
 76 TTGGCTGAGCTGAGGAGGGGGGGCTGGGGGGGGCTGGGGGGGGCTGGGGGGGG
 77 LKVAVVPSWPTLRAFTHAATGAGCTGGGG
 78 ACTGAAACTCCAGTTGGGCTGGGGGGGGGGCTGGGGGGGGCTGGGGGGGGCTGGGG
 79 SELHCEAEALKQWLRKPAFRRPLCN
 80 TGAGGAGCTGAGCTGGGGGGCTGGGGGGGGCTGGGGGGGGCTGGGGGGGGCTGGGG
 81 EKAFPSGCASTLWEDFQDSESHTHESCEAD
 82 AGGGTGGGGGGGGGGGGGGGGGGGGGGCTGGGGGGGGCTGGGGGGGGCTGGGGGG
 83 NGLGQFSEFTHQZLJGTTAHEFSGIER
 84 GATGAGGCTGGGGGGGGGGGGGGCTGGGGGGGGCTGGGGGGGGCTGGGGGGGGCTGGGG
 85 TGTGUGTGGGGGGGGGGGGGGGGGGGG
 86 GAGAGGGGGGGGGGGGGGGGGGGGGGGGG
 87 KAGBHKDABPFBPESPSDSDSQBRTJHNMV
 88 AAAGGGGGGGGGGGGGGGGGGGGGGGGGGG
 89 SWEEELOEWYHWAHFRGGENWVKESEET
 90 GCGAGCTGGGGGGGGGGGGGGGGGGGGGG
 91 EDEKRKHAHVABDPFRHNRKCSPIQXZ
 92 TTCAAGAGAAAAGAAAAGCTGGGGGGGGGG
 93 GAGAGGAGAGAGAGAGAGAGAGAGAGAG
 94 TCAAGAGAGAGAGAGAGAGAGAGAGAG
 95 TCAAGAGAGAGAGAGAGAGAGAGAGAG

FIGURA 6c-2

S U N T K S C M V S G S C S = A S A A R H R T * 849
 2551 GAAAGCTTAAGGTGGCGTTCACCCCGGTTTCCGGATTCCTGTTGGCTTGCTCAGCGGATGATGCGCCTCGA
 2561 TGTGCGAACGGCGTTCGGCTGGCTGGATGGTCTGGCGATGGGGGGGGGGGGGGGGGGGGGGGGGGGGGGGG
 2571 GGGCGGACCATATGCTACTGGCCCTTGTTCAAGTGTGGCTGGCTGGCGATGGGGGGGGGGGGGGGGGGGG
 2581 GGCGCTGGTTGGCGAATTAAGGCCCTGACTGGCGAGGTTTCTTAAATCCAGTGGCGAAGGGGGGGGGGGGG
 2591 GTCTCTGGGAATCTTGTGGGGCTTCAGCTGG
 2601 TTACCCACAAAGACGAGAGTGCGGCCCTTCAGCGATGGCGGGGGGGGGGGGGGGGGGGGGGGGGGGGG
 2611 AGTGGTGGTCTTGGGGTGGATGCGATTTTCAGTGGGGGGGGGGGGGGGGGGGGGGGGGGGGGGGGGGGG
 2621 CGACGAGGCTGG
 2631 CTAAAGGGTGG
 2641 TACACCCAAAGCTGG
 2651 GAAACCATACTGGGAGGAGGG
 2661 GTGGGGTAACTGG
 2671 GAGAGAGGG
 2681 GGG
 2691 GGG
 2701 ATGGCTGATGCTGG
 2711 ATGG
 2721 TACCGGG
 2731 TGG
 2741 TGG
 2751 ATGG
 2761 ATGG
 2771 TGG
 2781 TGG
 2791 TGG
 2801 TGG
 2811 TGG
 2821 TGG

FIGURA 8A

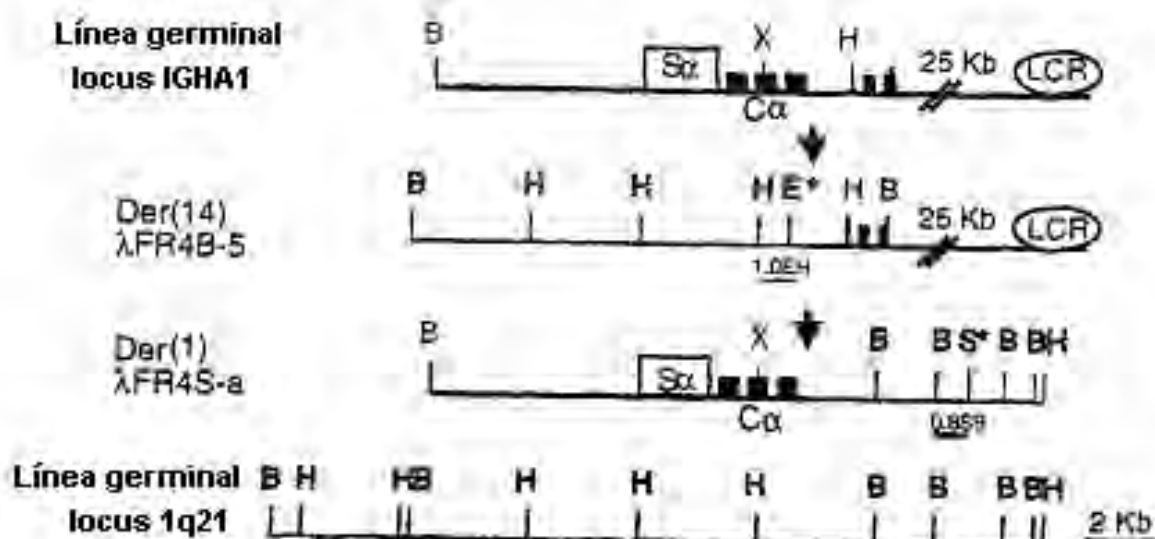


FIG. 8B**FIGURA 8**

```

Chr 14 TOCCACTGAGCATCGAGGGCACUTCCCTTAACCACTCTCTGTACCGGGCACGTGGGCACAGGTGACACTCACACTACA
Der [14] GGCCTGACAGCAACTTTCCTCTACTAGTTCACTCTAA-DACACTGCTGTACGGGSCACGTGGGCACAGGTGACACTCACACTACA
Chr 1 GACCTGACAGCAACTTTCCTCTACTAGTTCACTCTAA-DACACTGCTGTACGGGSCACGTGGGCACAGGTGACACTCACACTACA

Chr 1 GACCTGACAGCAACTTTCCTCTACTAGTTCACTCTAA-DACACTGCTGTACGGGSCACGTGGGCACAGGTGACACTCACACTACA
Der [1] TCCCACTGAGCAT---GGAGGGATCTTAAGTTATCTGGTAACTGGGAGACACUTSCTTAAAGTAACTGAGGGAA
Chr 14 TCCCACTGAGCATTCAGGAGGGCACCTGACACTGCTGTACGGGSCACGTGGGCACAGGTGACACTCACACTACA

```

8c

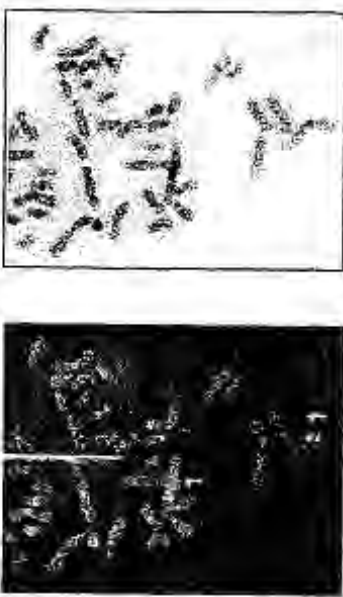


FIGURA 9

FIG. 9A

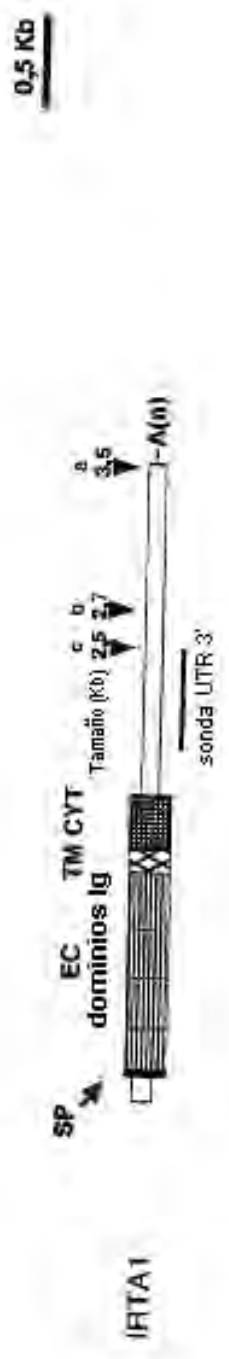


FIG. 9B

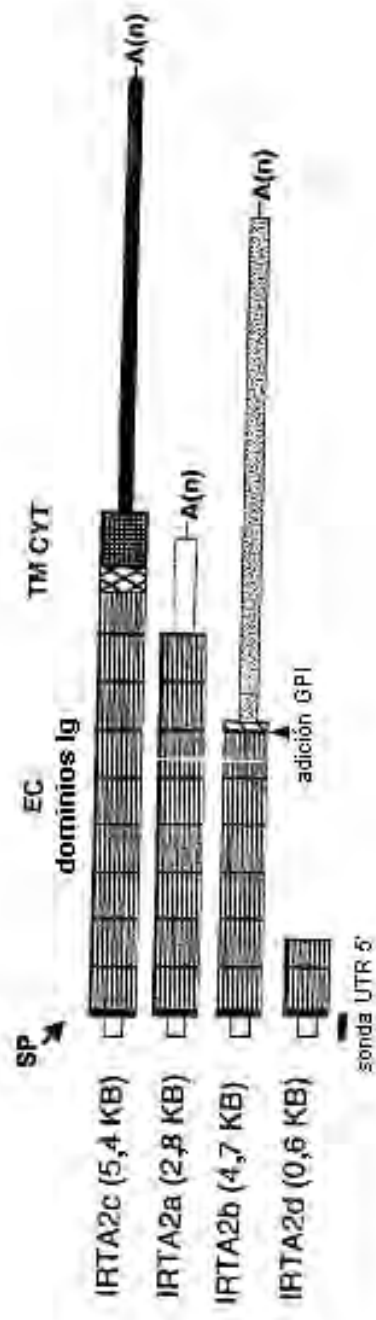


FIGURA 10

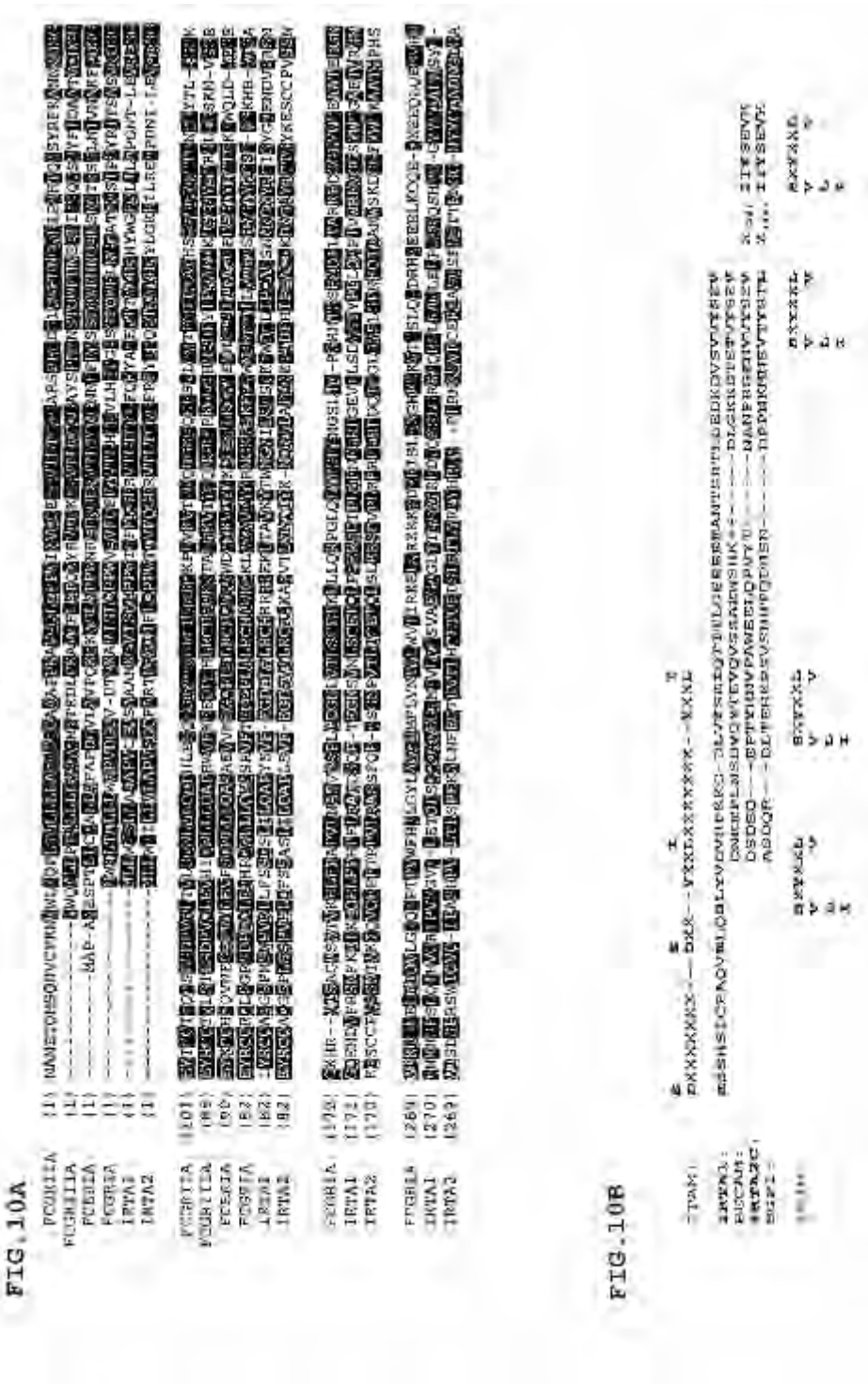


FIGURA 11A

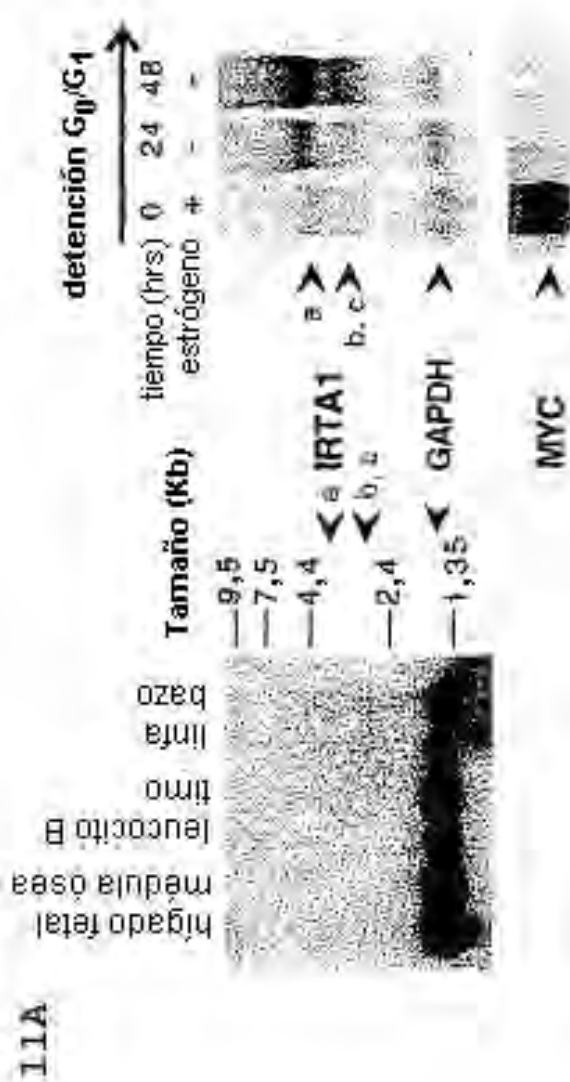


FIGURA 11B1-B4

11B1-4

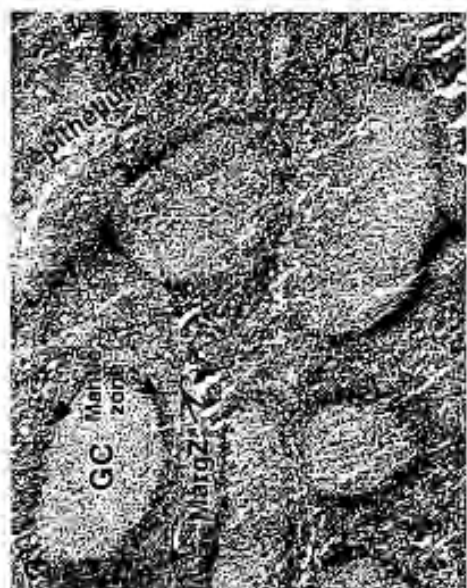
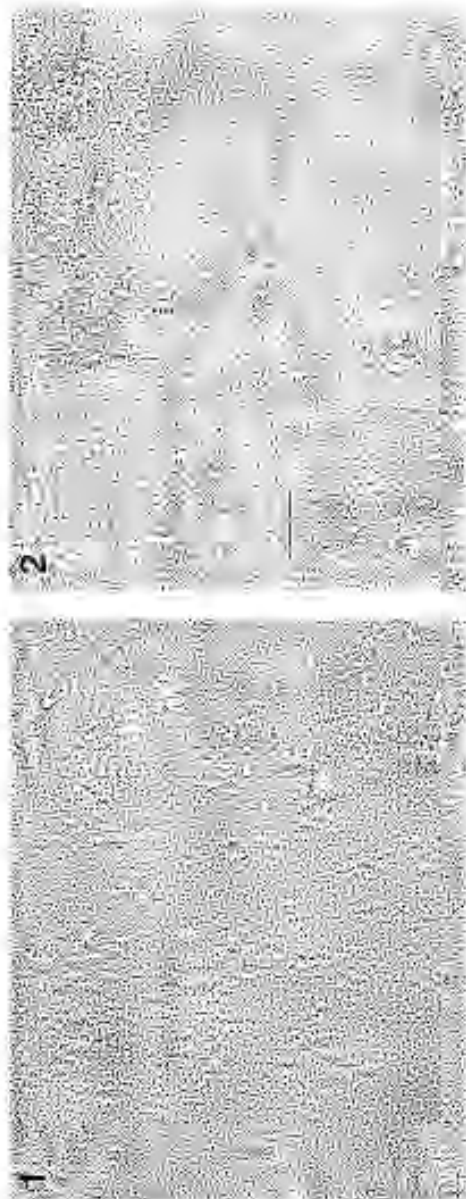


FIGURA 12A

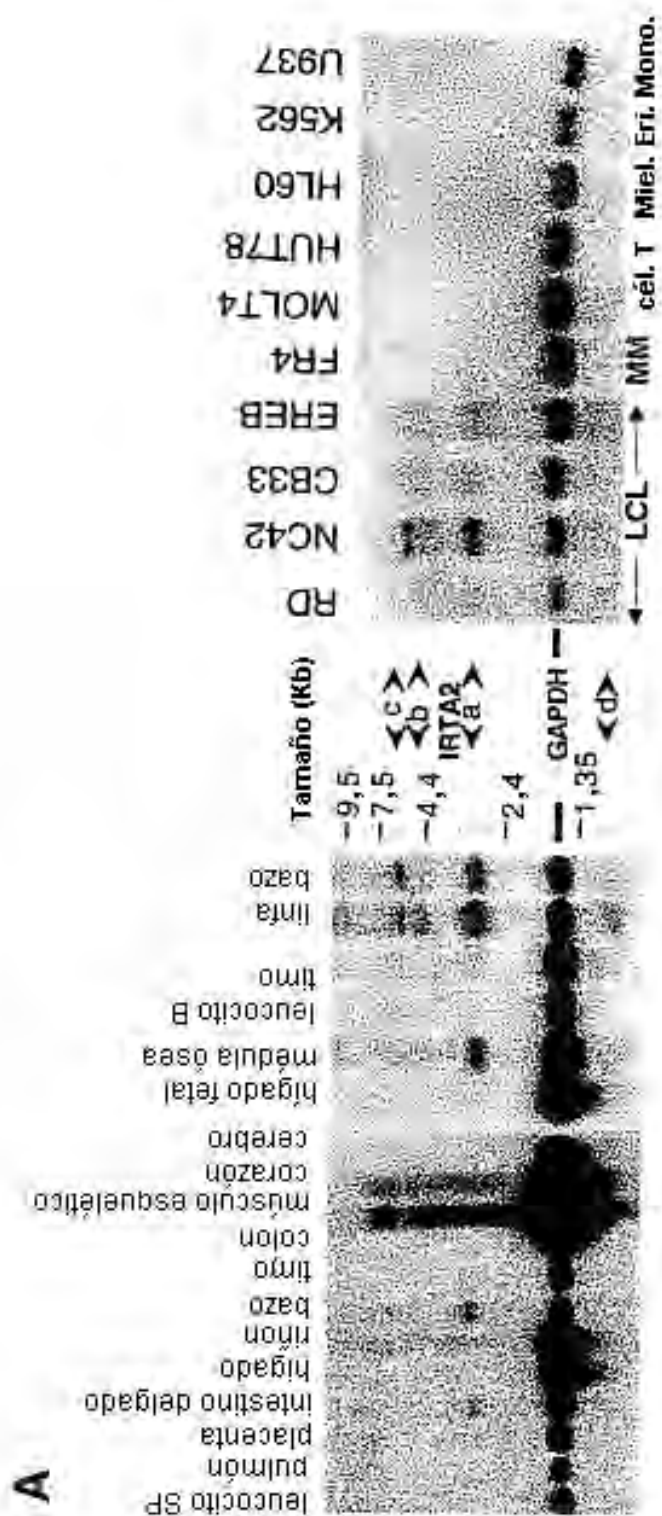


FIGURA 12B1-B4

B

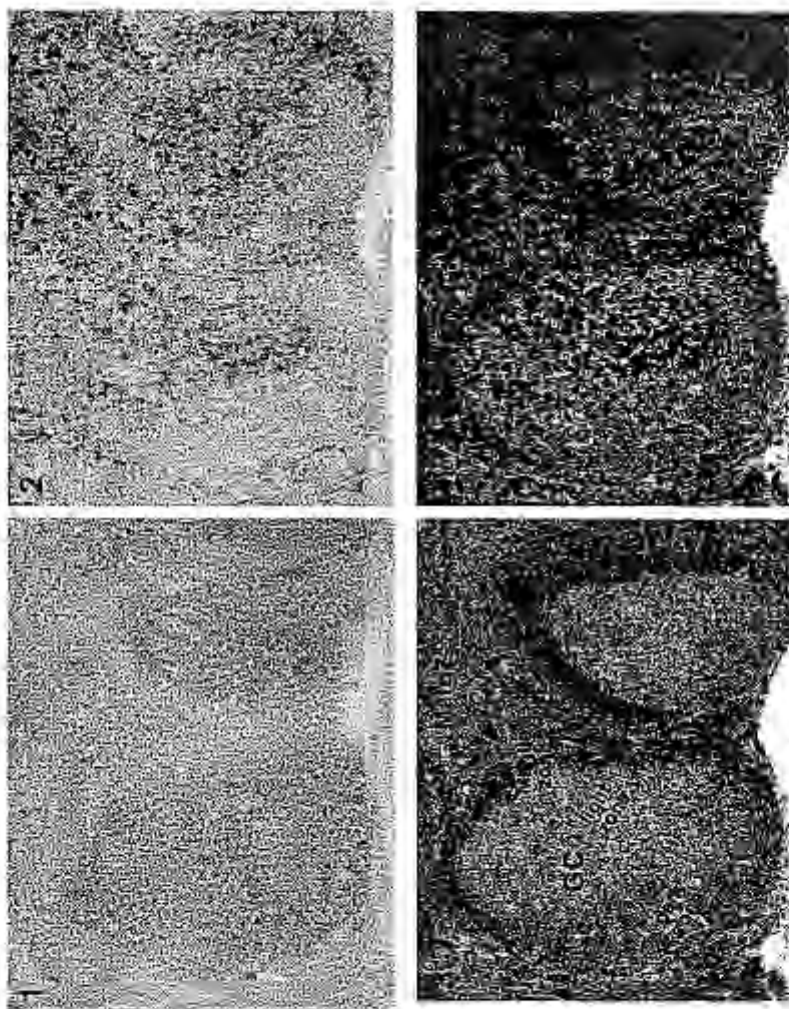


FIGURA 13

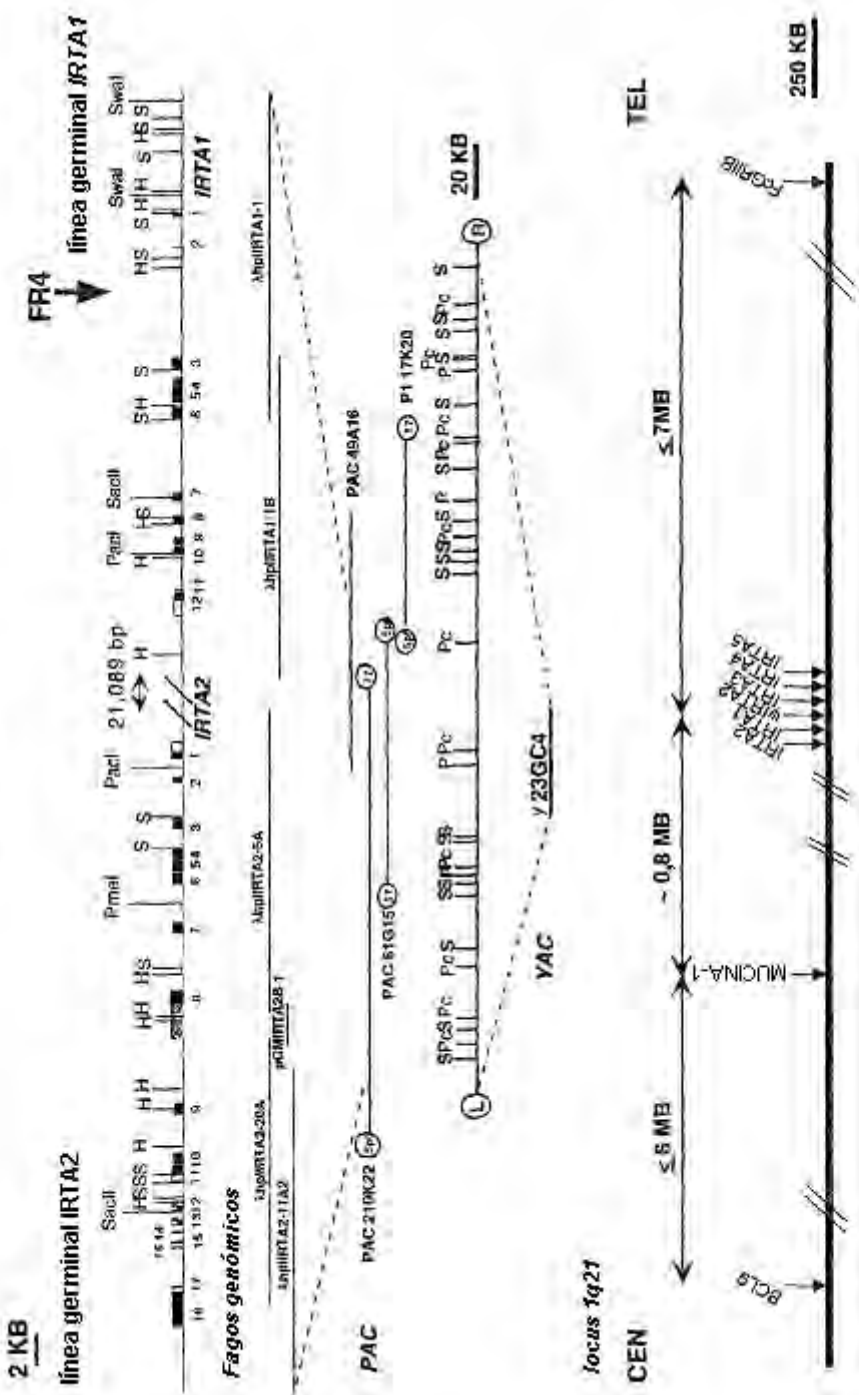


FIGURA 14

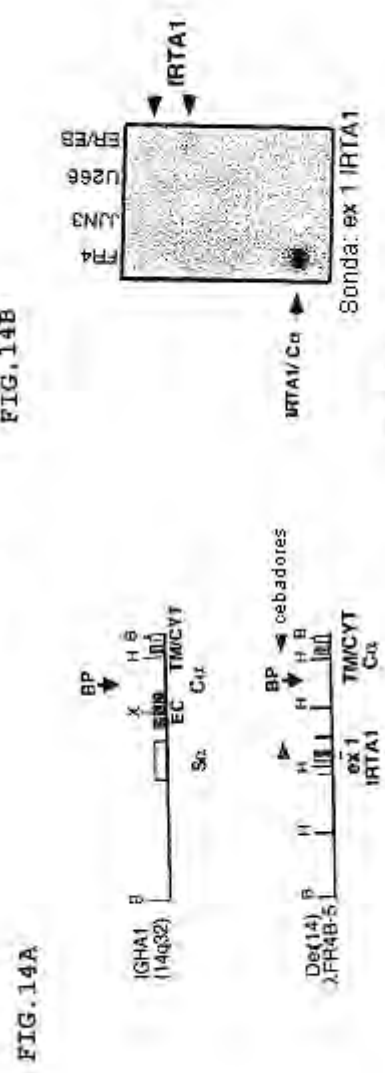
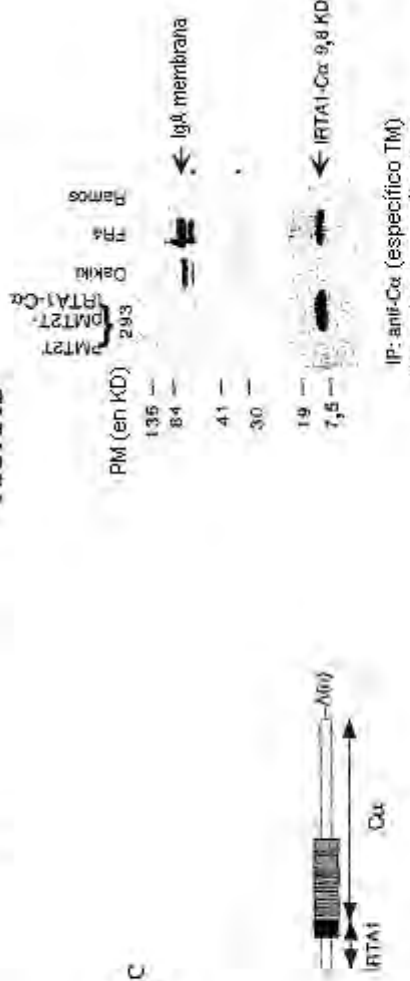


FIG. 14D



* Cadena Pesada (arriba) y Ligera (abajo) de IgG1

FIGURA 15

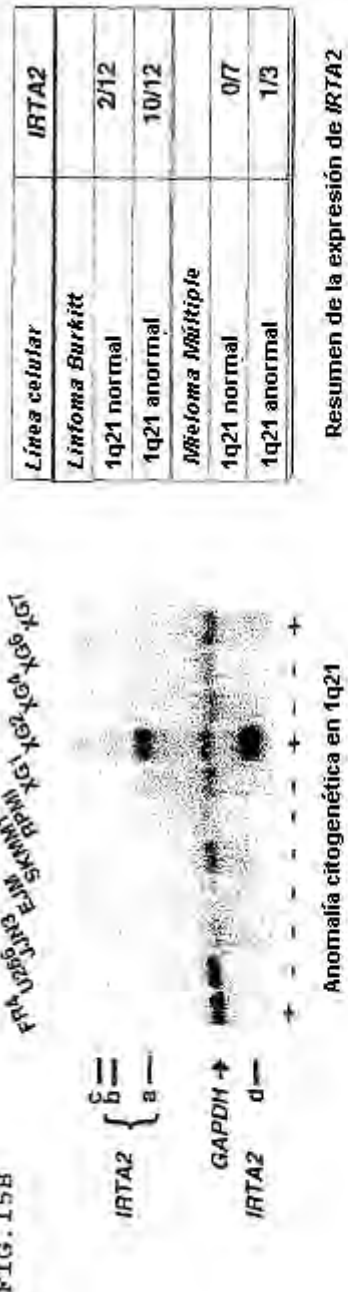
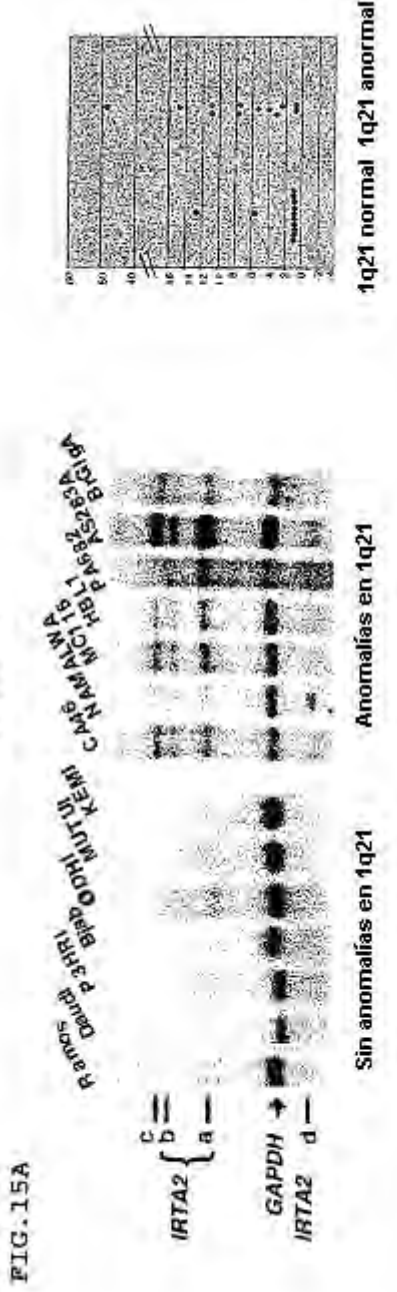
Resumen de la expresión de *IRT A2*

FIGURA 16 - 1 - 16 - 4
Expresión de IRTA 1 en tejido linfóide normal

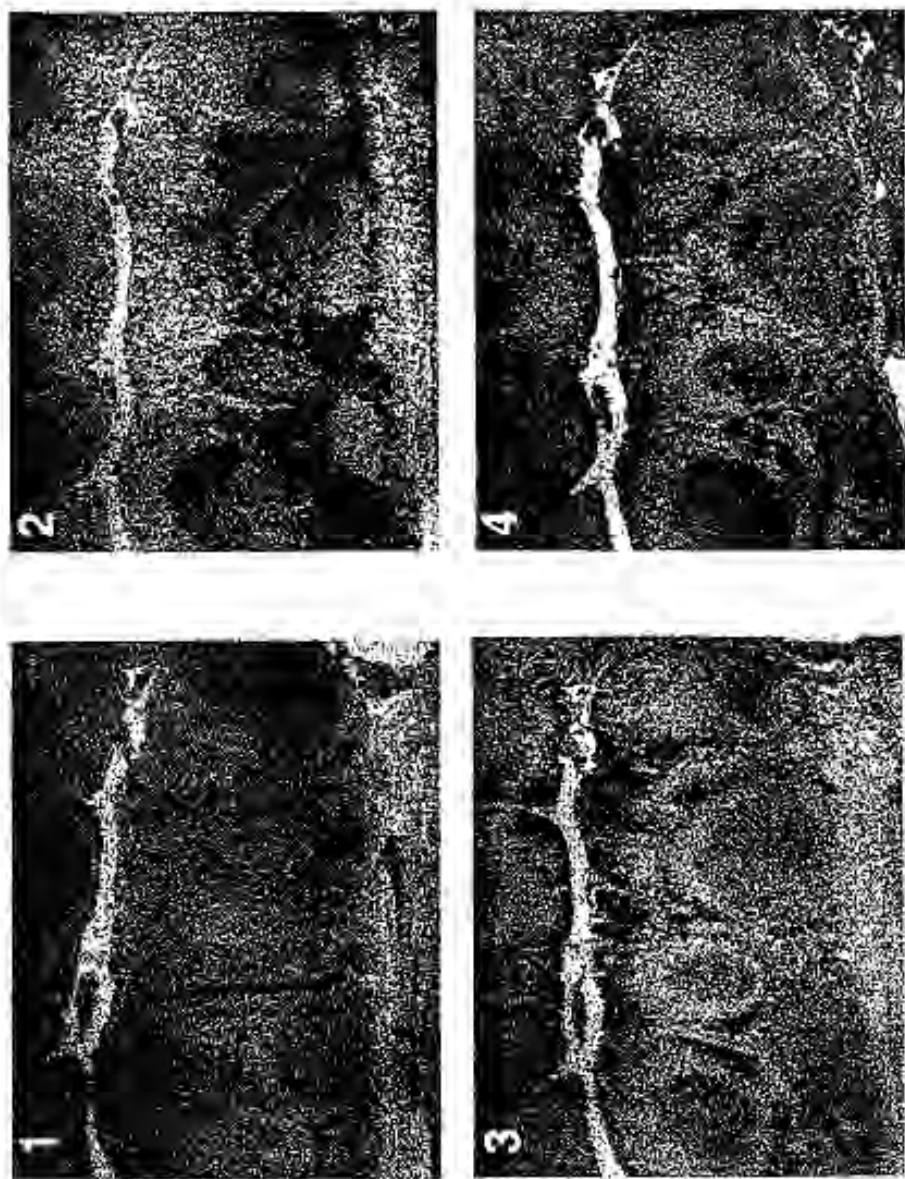


FIGURA 17

Expresión de lRTA1 en linfoma de células T de Tejido Linfóide Asociado a la Mucosa del Estomago



FIGURA 18A

3 CTCATACTGCTTCTTGAGAGAAGAGCTTCTGAGCTCACTGCTCTGCCTGGCTGCTTGCTCTGCTGGCCTA
M L L W A S R
78 TCTGGGGCTGACCTGGGTTTCCCTAAGCTTCTGCAAAACCCTGGAGGCAAGGCTTGTCTGGCTGGCTCTGCTGGCTGC
D L L A P A P Y C G Q S A R R A N K R V I S V H P F W T F 78
155 TTGGCTGGCTTCTGCTCGAGTCTTGACATCTGCAACATGGCTGACACAAACCTGTGATTCTGGCTCATCTGCTGAGAAC
T F F K G E R V T D T C N G F Q E X A T E E R T T W Y 155
232 GACATTTCTGCAAGCTGGAGAGAGACTGACTGTCTGCAATGGGATTTCAGCTCATGCAACAGAGAACACAGATGCTG
H R H Y W G E S K I T T E T P R C N T I E V R E S G D Y 155
309 ATGATGGGCCACTTGCTGGAGAGAACTTGGCCCTTGACCCCCTGGAAACACCTGCTGGGGGAATCTAGAGCTGTAC
R C O A R G S F R E N S V P R L D F S S D S L I D Q A 109
386 AGATGCCAGGCCCCGGGGCTCCCCACGGAGTAACCTGCTGGCTGTCTCTTCTAGAGACTCTTAACTGCTGGCAG
F Y S V F P G D T G L P R C H R R R A R E S L T Y A V F 115
463 ACATATTCCTGTTTGAGATACATGGGTTCTGAGATGCCAGAGAAAGGGAGAGAAATTGACTGGTG
Y T H W N G [REDACTED] S I S N K S W D L L I P Q A S E M 160
540 AAATACCTTGCATACTGGAACTCTCTGGCTCTGCTTAAGGGCTGGCTTCTGATGCCACAGCTCAAGTAA
N N E N Y R C I S G Y G B E N D V F R S N F K I T R I 160
617 AACATGGCATTATCGATGCTGGATTGGAGATGAGAATGWTGTTATTAGTCAATTCAAATTCAGATT
Q E L F P H P E L L H P T D P S Q P T E G N E V [REDACTED] 212
594 TCAAAGACTATTCTCACATCCAGAGCTGAAAGCTACAGACTCTGAGCTTACAGAGGGGAATTCTGTAACAGACT
E T O L F P R E S D T E L H N F N F R D G E R V I L 212
771 GTGAAACACAGCTTCTGGAGGCGCTGAGACACGCCACTGCTACTCTCTAGAGATGGGAGGGCTATGCTGG
S D W S T Y P E B Q L P T V W R E N S G S Y W C G A 263
848 TGAGACGGAGCAGCGTACCCGAACTCCAGCTGGAGAGAAAACTCTAGGAACTTCTGGCTGG
E T V R G N I H K H S P S L D I H V Q R T P V S D V 263
925 TCAAACAGTGAGGCGTAAATGACACAGCTGGCTGAGATGAGCTGGCTACAGATAGCTAGGCTAGGGTGGCTGG
L L E T Q F S G G G Q A V E E G E M L L V L V C S Y A E 314
1002 TGCTCTGGAGACCCAGGCTTCAAGGGGGGCTGGCTGTTGAAAGGGGAGATCTGCTCTGGCTGGCTGG
G T G D T T F S N H R E P D N O D E S T Q R S L 340
1079 GCGACAGGGGTTACCACTCTCTGCAAGAGGAGCACATGGAGGAGGTCTGGGGGAAACTCTAGCCTCTG
P A E L E L P A I H Q S H A G G G K Y C T A D N S Y C 366
1156 GAGAGCAAGAGCTGGCTCTGGGCTGAGACAGAGGCTGAGGGGGATACTACTGTTACAGACAGAACAGCTGG
P V Q S H V I [REDACTED] V R E T P G N R D G L V A R G 391
1233 GCGCTTGCTAGAGTATGCGAATGAGTCTGAGAGGAGACCCAGGAGGAGGAGGAGGAGGAGGAGGAGG
A T G S [REDACTED] I L A V A L E F N C W R R N S G 417
1310 GCGACTGGAGGGCTGGCTCTGCTGCTGGCTCTGGCTCTGGCTCTGGCTGGCTGGAGGAAAGTCTG
V G F L G R E T F L P R P O G E S S H S I C P A 443
1387 ACTTGGCTTCTGGGAGCGAAACCCAGGCTTCTGGCCAGGAGACTCTCCATCCATCTGGCTGG
Q V E L Q S L X V H P K G D I V Y E S I U T 460
1464 CGCAGGTGGAGCTTGAGTGTGTTATGATGATCAACCCCCAAGGGAGATTTGCTATGAGATGGCTGG
T Q L G S E E Z R N E S R T L E D O K D O V S V V X S 460
1541 ACTCTAGCTGGAGAAGGAGBAACTTACACTCCAGGGACACTCTAGGGAGATAAGGATGCTCATTGCTACT
E X K T Q H E D N S A G K I S S K D B E S * 515
1618 TCAAGCTTAAAGACACACACAGATAACTCACTGGCTGAAAGATCACTGCTTCAAGGATGAAGAAATTAAAGAGAATGAA
1653 AGTTAAGGGAACTGTCTTGCTGCTGGCTCTGGCTGGCTGGCTCTGGCTGGCTGGCTGGCTGGCTGGCTGG
1772 GAACTGATCAACCTATCGACAGTCTTCAAGTCATGAGATGACATCTGGCTGGCTGGCTGGCTGGCTGG
1848 CTGATGCTGGGAGGAAATGGCTGCTGGCTGGCTGGCTGGCTGGCTGGCTGGCTGGCTGGCTGGCTGG
1925 TATTTGCTGGGCTGAACTTAATGCACTGGGTTGCTTCAAGGAGGTAAAGGGGGATAAGAGAGAGAAGGACTG
2003 TTAGGAAACAGGAAACAGAACGAACTTGTGGCTGGGAGAGTGGATTTGGCTGGGAGAGTGGAAAGAAAGACTGGCTGGCTGG
2080 TTATATACTTACAGCTGCGCTCTGGAGACTCAGTGCAGTTGCTTCACTGCTGGCTGGCTGGCTGGCTGGCTGG
2157 CTGCTGCAACACTGAGAAAGGCCCTTCACGAGCTGGCTGAGGATCACTGCTGGCTGGCTGGCTGGCTGGCTGGCTGG
2234 CCCATCTGGGAGGTTTACAAGGAGAGGAATTTAAAGAGGACTCTGAGAAGGCTGGAGATGGAGGCTGGCTGGCTGG
2311 GCTTCAGAAAGCCTAAAGTGTATGTTAGTGTGTGAGAGATTTGAGAGAATTTGAGAGAAGGAGAGAAG
2389 TATAAAAATTTAAAGACTTAACTTCACTTAAACTTAAATTTAACTTAAATTTAGTATAAAACTCTATGATATTTAA
* [REDACTED]

ADNc y secuencia de proteínas de IRTA1

FIGURA 18B - 3

4081 ATGCTGAAGTCGGCGCCCTGGAGACTGCACATGAAGCCTTAGGGCTTGAGCAGGAGGAGA
 4161 ATGCTGCGGTGTGCTGCGCAAGGGCTCACTGGTTCAACAGGAGTCGCTCTCTGGCGAGGCGTTGGCGAACAC
 4241 CACCAAGCTGGCTGCTGCTGAGAGAGCTTGTCTGTGAGATGTTGCTTGTAGAGCCACCTGGCAAGGGAGAAGTAGC
 4321 TGCCACTATCTTGTCTGCCCGACGCTCAACACCTTCCCTGAAAGGCGTAATGATATAAACCTGAGCCCGCTCC
 4401 ATTCAAGAGTGGTTCTCCCATGAGCAATGGAGTTCTTCTTGGCTTATGATATCCATCACTCTTATCTTGA
 4481 TTTCGCTCCAGTGGATTGACAGTGATCTTAAAGGCCCACGGGCTTGAAAATAAATCTTCCAGGCGATTTGCGAGC
 4561 TCAATCCACGTCACGCGCTTTCTGCTTCAAGTGCTGGGCTTGGCGAGTAGACAGGGCTTGACTCTGCTGGCG
 4641 GAGCTTTCAAGGAGGAACGACACCTGAGACAGGCGCTTATGCGCAGCTTCAGCCCTGGCGAGGAGAAGCG
 4721 GAGGCATTTCCTATTCATACAGATATGCACTAAATAGACGCTGGAGCAAGAGAAATGCTTCCAGGAGGCGCTT
 4801 TTAGGGCTAGTTGAAAGTCAGAAGGAGCAGCAGCAACCTAGGCTCAGGGTTAAAGAAAAAAATGCTCAGAGTCGTC
 4881 CTGGAGCTCACATEACCAACAARGCTGAGCGCTTATGCGCTTGGAGAAGCTGGCGCUCAGGCTGAAAAGAGGAAATG
 4961 TAGAATTTCTATTCGAGAGCTAACGCTACCCCATCCGAGAATGATRACTCOCACAGTGCGAGAAACAACTCAGGCTAAAT
 5041 GCGCGTGGACCCCATCGACTCTTGTAGGGCTTGAAATTAACAAAGGGCTTATTCGGCTCAAGTAAGGGGGAACTCC
 5121 GCTTTCGGCTGGGCTATGTTCTGGCTTGGAGGAAATGAAATGGGCTTGGCTCAAGTAAGGGGGAACTCC
 5201 ATATCGACTGAAGCGACGCTGCTGGATCTCTGGCTTGAGCTGCTGAGCTGAGCTGAGCTGAGCT
 5281 CTACAGTCACGAGGCTAATCTTGTGTTAAAGCGCTT

FIGURA 18C - 1

1 ACGAAGGGTTTCCATATGAAAAATACAGAAAGAATTATTCGAACTA
 52 GCAAATACACAGTTGAACTTCTAGAGAACCCAGGGACACTCTTGAGAC
 103 ATTAATCTGAGAGACTGGGCTGATGAGATGACGCCAACTTAA
 154 ATGATGACTACCGGGATTGAGATCAAAACCCATTAAAGGCTTCATC
 205 TAGTACAGACCTGCTGCTCTCTCTCTGACATAACTGCGGCTTTGGTG
 256 AJACAGACCTTCCAAACCCCTGCGGCGCGCGCGCGCGCGCGCGCGCG
 307 GCG
 358 AGCTCTACCTGCGCTGCGCTGCGCTGCGCTGCGCTGCGCTGCGCTG
 409 KVIILNPRWSTAFRESEK
 459 AGTGGGCTGAGCTGAGCTGAGCTGAGCTGAGCTGAGCTGAGCTGAGCT
 509 VAISSCSNIELEADDEET
 559 AJATTTGATGATGATGAGAGTTGTGAAATTAACATGAGATGAGATGAG
 609 YWYHOTSEKLEKIZFHDEIO
 659 AAATACASAGGCTGGAAATTAACAAATGAGAGAGGCTGGAGGAGGAGAC
 709 ITTBPGNYQCEKTSOSESLS
 759 TGATGCCCTGCGCTGGAGCTTCTGAGCTGAGCTGAGCTGAGCTGAGCT
 809 DAVVHEFSEBDWLZDQSL
 859 AGTCTTGCTTGAGGGAGAGATGCTTCTGAGAGAGAGAGAGAGAGAG
 909 HAVFEGDNVIEEDQCKD
 959 CACCAAAACACTCTAAACCTTACTAACAGGATGAAACAGCTTCC
 1009 RKNTHQSVVYRDEQKDL
 1059 TAATGTTAAATTGAGAGAGATCACAGTGAATTCTGCTGAGGATAAA
 1109 HSYNDKEKIVNSVSVSRN
 1159 TACGAAATATCATCTACTGCTTATAGGAACTTCTACATCTGAGCTG
 1209 SRTHESETAYRKFYIIDL
 1259 ATGATCTGAAACCCCTAAATATCCAAGTCAGAGCTGAGGAGGAGAG
 1309 VTKPLNIZQVUELFLH
 1359 TCTGCTGAGGCCACCTCTCCACGCCATAGAGGGAGTCCGACCC
 1409 VIDEASRSRTEGSPHTI
 1459 GACCTGAGAGGCCACCTCTCCACAGAGGGAGTCCGACCC
 1509 TCTCTTCTGAGAGATGCCAGAGGCCCTGAGCTGAGCTGAGCTGAGCT
 1559 SLEFRCSTLGLGMRSJ
 1609 GAGACTGAGATGCCAGTGGATGAGAGACTCTGAGCTGAGCTGAGCT
 1659 RLOIPIAMWTFBBSGSYWC
 1709 TGAGCTGGAGAGAGCTGAGCTGAGCTGAGCTGAGCTGAGCTGAGCT
 1759 EVEUTUTSERSISQ
 1809 GATACTGAGAGAGCTGAGCTGAGCTGAGCTGAGCTGAGCTGAGCT
 1859 IGVQVPVSNVRLKINH
 1909 GACGGAGGGAGCTGAGCTGAGCTGAGCTGAGCTGAGCTGAGCT
 1959 TGGCTGAGCTGAGCTGAGCTGAGCTGAGCTGAGCTGAGCTGAGCT
 2009 AGTGGGCTGAGCTGAGCTGAGCTGAGCTGAGCTGAGCTGAGCT
 2059 ACGGGCTGAGCTGAGCTGAGCTGAGCTGAGCTGAGCTGAGCT
 2109 AGAGAGCTGAGCTGAGCTGAGCTGAGCTGAGCTGAGCTGAGCT
 2159 RSLQKRTORSELIAELNV
 2209 TCTGAGCTGAGCTGAGCTGAGCTGAGCTGAGCTGAGCTGAGCT
 2259 CEGSEUDAGRYTCARDN
 2309 CTGTCACAGGCCCATCTCAGACGCTGAGCTGAGCTGAGCTGAGCT
 2359 VHSFILSTWINVTVRE
 2409 GCGAGCTGAGCTGAGCTGAGCTGAGCTGAGCTGAGCTGAGCT
 2459 VSHVILTEERAERAHITV
 2509 GGGGCGCTGAGCTGAGCTGAGCTGAGCTGAGCTGAGCTGAGCT
 2559 CDTLISBICSESLRCSPPI
 2609 CGTGTACGGATTTATGAGGGATGCTGAGCTGAGCTGAGCTGAGCT
 2659 ZYRFVHEDVTLGLMEEAE
 2709 CCTGAGGAGAGAGAGCTGAGCTGAGCTGAGCTGAGCTGAGCT
 2759 SGGGAGSPNLSITASEPSS
 2809 AAACATCTGATGAGAGAAATGGGCGGGCGCGCGCGCGCGCGCG
 2859 NVSTEDADNGLGSQHSH
 2909 AGTGGAGCTGAGCTGAGCTGAGCTGAGCTGAGCTGAGCTGAGCT
 2959 VSLRVTIVFVARPVLTLR
 3009 GCGGCGGGGGGGGGGGGGGGGGGGGGGGGGGGGGGGGGGGGG
 3059 AEGAGGAAVVGDELEISPR
 3109 CTGCGCTGAGAGCTGAGCTGAGCTGAGCTGAGCTGAGCTGAGCT
 3159 SDRGSPFEZLTIWGYHSD
 3209 CACCTGGGGGAGCTGAGCTGAGCTGAGCTGAGCTGAGCTGAGCT
 3259 TLOGNEISAHSGHABSPN
 3309 CTGTCAGCTGAGCTGAGCTGAGCTGAGCTGAGCTGAGCTGAGCT
 3359 SLTTEKSGNYECEBMM

FIGURA 18C-2

1939 CCGUGGGGCCCCGCGGCCAATTAAGTGTGACACTCAATGGTTACAGGAACCT
 1950 U G A G H E R V V P Z N V Z G T S
 1951 CGGCAACGAAACACCCCTAACCGCTCGGGAAATCAGGGGGCTGGTGCGAA
 1952 K X R S Q L T A A G I T S D V L S
 1953 CAGCTTGCTCTGCTGCTGCTGCTGCTGCTGCTGCTGCTGCTGCTGCTGCTG
 1954 I L V Z A A A A A L L H Y A R A S
 1955 AGGGAAACCCAGGAGGACTTCCTGCACTGCAACATCTAAGCTGCTGCTG
 1956 T S P G G L S R T G T S S H S P S
 1957 TAATGCTGGAGGAGGCTTCTCTCTCTCTCTCTCTCTCTCTCTCTCTCTCT
 1958 E C O S P S S E R P S R I D F O I
 1959 GGGACTCTCTCTCTAACCACTAAGCTCCATGAGGCTGGGGAAATSTACAG
 1960 P T H E X P L A B P M E D E F E Y E S
 1961 CAAATGAAATCTCTGNGATAGCRAACGGATTATTCGGAGATGGGAGCAT
 1962 K V N B S D S N P I Y S Q J W S T
 1963 CGCGCATACAAAAGAAACAACTGCTGCTGCTGCTGCTGCTGCTGCTGCTG
 1964 Q H T F E N S A N C P M H H Q E H
 1965 TGGGGAGCTTACAGTCTCTCTCTCTCTCTCTCTCTCTCTCTCTCTCTCT
 1966 E E L T V D Y E S E L K E T H F D D
 1967 CTCTGCAGGGAGGGCTAGCGCGAGGGAGGGAGGGAGGGAGGGAGGGAGGG
 1968 703 S A G E A S E R G R A H I E D D E
 1969 AGAAAACATAGGAGATGTACCAAGCTTATTAATCTGGCTGAGACCACTARCC
 1970 E H Y E N V P R V L L A S D H
 1971 CCTTACCCAGAGTGGGGCACAGSSAACAGCCCTGACCGATTTTTTTCTGCT
 1972 TCTCTCCACCCATCTCATCCATCTCTCTCTCTCTCTCTCTCTCTCTCTCT
 1973 TGGGCTGCACCGTATCTCTGCGGCTGAGGAAAGCTCTCTCTCTCTCTCT
 1974 GCGTGAATCTGTCTTCTCCCGAGGAGAGAGAGAGAGAGAGAGAGAGAG
 1975 CTGTGTTATTTTCAACTGAGGAGAGAGAGAGAGAGAGAGAGAGAGAGAG
 1976 TCTCTAGGGCTCTCTGAGATAGAGAGAGAGAGAGAGAGAGAGAGAGAGAG
 1977 CAACGGCACAACTCATGACCAATTGATGCCAGTGATGATGAAAGCTGTTAA
 1978 CGGGCTCTCTGTAAACCATTTCTGCTGCTGCTGCTGCTGCTGCTGCTGCTG
 1979 GTGGCTGCTGAGCTGAGCTTGTGAGAGCTTGTGCTGCTGCTGCTGCTGCTG

FIGURA 18D - 1

575 TGGTGACCTAGAGTAATCTCTTCAAAATTACTGATTAGGTCCCGTC
 582 TGCCTTGTTGTCATTGTCGGTCATCTTCTTCTGAGCTGACTGAAACAGGCAGATTT
 589 L W S L L V I F D R A V T E O A U S
 596 CGCCTAACCTTGTGCGGCGCTCTCTCTGAGCTGAGGAGACAGACGCTTCCTT
 603 L T L V A F S S V F E G D E I V D
 610 CCAAAACCGGAGAGAACAGAGCTGGAAAATTTGAGAAACATCTGTTAACCTA
 617 K P Q G E Q N W X I Q E M A Y H K
 624 AGGATAACAAAGAGTTATCTGTTTCAAAAAAATCTGAGATTCCTTATGAC
 631 D N N S L S V F K K F S D F I I Q
 638 RAAGTCCATTCTTAAGTGGACAGTGGTAACCTATTTCTCTGTTAACCTAAGGCG
 645 S R V L S E S G N V F C S T K E Q
 652 RAATCTTCTCTGGAATAAACCTCAAAATCTGTTAACCTAAGGCGCTTCAAG
 659 L F L W D K R E S N I V K E K V D B
 666 AGCTTCTTCAACGCTTCTGCTGAGCTCCGCTTCCTTCCACGCCCTGGCG
 673 L F D R F V L T A S T F Q P I E G
 680 CGGGTCTGAGTGGCTGAAATGTGAGACCTGGCTCTTCACAGAGGGGGCG
 687 G F V S L K C E T R L S P Q R L D
 694 ATGGTCCTAATCTGCTGCTCTCTGAGAGAAAACCAGGTCTGGGGCTCG
 701 V Q L D F E F P E S N O V L D G S G
 708 GCTGGAGCAGGTGCTGGGAGCTGAGGTTTGTGGGTGAGGAGAGACN
 715 W S S S P E L O I S A V W S E D T
 722 CAGGGTCCTTACTGGTGCAAGGAGAAACGGTGACTCAGGGATCAGAAUAC
 729 D S T W E K A E T V T H R I R S Q
 736 AGAGCTCCAACTCAGAGATTCACGTCAGAGAAATCCOCATCTCTTAACT
 743 S L Q S D O I H V Q S I E I S N V S
 750 GCTTGGAGATGGGGGCCCCGGGGGAGCTGGGTGACTGAGGGAGAAAAGCTG
 757 L E I R A P E G Q V T E C G K D I
 764 TCCCTCTCTGCTGCTGCTGGGTGAGGAAATGTGACTCTGCTGGGT
 771 L L T S V H G T G N V T F S R Y
 778 ACAGAGGGGGCACAGGAAACGGTATGGAAAGAAAACCGGGGTTCCCTG
 785 R D R A T O T S E H G K K T Q B S L S
 792 CAGGGAGAGCTGGAGATCCGAGCTGTGAAAGAGAGTGATGGGGCAAAATT
 800 A B L E I P A V K S S D A G K Y Y
 807 ACTTGAGCTGGCTACGAGGCTGCTGAGCTTGAGCTGAGGGGTTCTGAAATA
 814 C H A D N S H V V Q E K V V N I
 821 TCCCTGTGAGAAATTCCCACTGTGCTGGGGCTGCTGAGGGTCTGGGT
 828 P V S E P V S R P V L T L R S F G
 835 GGGCCGAGGCTGCACTGGGGGACTGTGCTGGAGCTTCTGAGGCTGGGG
 842 A Q F A V S D L L B H C P A E P
 849 GAGGCTCTCCCAACTCTTGTACCAATTCTCATGAGGATCTGAGGGTCTGGGG
 856 G S F P I L Y Q E T Y H E D V T L G
 863 GAGAGCTGG
 870 N S S R P S G O G A R S F M L S L T
 877 CTCAGAGAACATTCGGAAACTACTCTCTGTGAGGGCCACACAGGGCTGGGG
 884 A E H S G N T S Q E A N N G E S A
 891 CGCGTGTGAGCTGGGGGGGGGGGGGGGGGGGGGGGGGGGGGGGGGGGG
 898 Q C S E A V P V E I S G P D S Y R
 905 GAGAGACCTCATGACAGGAGTTCTGTGGGGACTTTGTGGGGGGGGGGGG
 912 R D M T A G V L W G E F G V L T
 919 GTTTCAGCTGTTCTTCTTGTTCTGTTCTGTTCTGTTCTGTTCTGTT
 926 GAGAACTCTGG
 933 T T G M A L L L M B H K Z S G
 940 GAGAAACTCTGG
 947 S S A T N E P R G A S R P N P D
 954 AAGAGTTCTGGGGGGGGGGGGGGGGGGGGGGGGGGGGGGGGGGGGGG
 961 E F T V S E P T C M H E B L Q F Y
 968 TGTATCTCTGTTGTGCTGCTGTGAGTGTGGATGTGGGGGGGGGGGGGG
 975 Y V K V G S V D V D V V V S D V
 982 GGGCGATCAGGAGGAGGAGCTGGAGCAAAACATCAGGGACACTCTGGAGA
 989 S H Q O T S S A K I P T L L E P
 996 AGAGGAGCTGG
 1003 W D S Q V I Y S S U K K S
 1010 AGGANTCAGGAGGAGGAGCTGGAGCAAAACATCAGGGACACTCTGGAGA
 1017 CTATAAAAACCTTATGAAATGGCTGAGGCTCTTAACTGGCTGAGGCTGAGA
 1024 CCTGGCTCAGGAGGAGCTGGGGGGGGGGGGGGGGGGGGGGGGGGGGGG
 1031 CCATCTGCTTCTTACCTCTTCAATTCCTGAGCTGCTGCTGCTGCTG
 1038 ACGCTCTGCAAAATATTTCTCTCTGAGGCTTCTGAGGCTGAGGCTG
 1045 TAAAGTTGGGGGAGAAATGAAATAGAGGAGATACAGGAGTCTGACCTTCT
 1052 ACTCTGAGCTGATGAGAGACAGGAGCTGAGTAGTGTTGTGTTTAATTCT
 1059 GTGCTGGGGAGACAGTCCTGAAATATTTGTGAGGAAATTCTGAGGAGGAG

FIGURA 18D - 2

1990 TTTCATTTGAAATATTGGCCTGAAATTCTTTTGACCTGTCTCGCA
2001 GAAUTTTTGTATCAGGCTGATGCTGGCTTATGAAAGTTAGCGAGAG
2012 CCTTTOCTCCTTGATTTTGGCATAGTTGAGCCGGATTGCTACGTTA
2113 TTCTTTTGCTGATCTTGTAACAATTCAAGCTATGAAATGCCATCTGGCTAGGGCT
2194 TTTCGTTTGGTTGTAAGTTTTTATTACTAAATTCAAGCTTGGCTAGGGCT
2215 ATGGCTCTGGAGGGCTTCTCTCTCTCTCTCTCTCTCTCTCTCTCTCT
2246 TGCTTTTCAGGAATTTAGGCGTTCTCTCTCTCTCTCTCTCTCTCTCT
2247 TCGACTTGGTAAACATAACTTATGCTGGAAACCCAAAATCT
2392 TGTGACTTGGTTATGGCAGCATTTGTTATTTTGCTAGTCGGAACTGA
2445 ACCTGCATAATACCAAAAGTATGGCATATACTTGCAAATGTGATTTTG
2500 GATAGTAAATTTGAGTTTGGATAAACTATGATATTACTTTGGTAAAGTA
2552 TATAGCAATTAATAATTAATAATCTATAAA

FIGURA 18E - 1

1 GAGGCATGCTTACGGTACCCATGCCCTGACCTGGCTC
 27 AAGCTTCCCGGAGCCGTTGCTTGTGATCTTGCTGCACTCTGTC
 33 L P R I L I D I C A P L C E
 82 CTGCCCCACGCTGTTTGATAGGACACCCCCCTGGCATACGAGAC
 88 P R E L I R S E P S H P T R
 127 CGGAGCCAGTGAACCCGACGTGTAAAGATGCCCTTACAGAGT
 133 G S P V T D E C K M P F L O S
 172 TTAAGATGCCCGTTCAGITCTCTCTTTCAGAGACACCCGGCG
 188 S B A Q R Q P Z P P R D T R A
 227 TTGGGGCCAGGCTGCGCGCTCCCGAACGCTCCAGATCGCTGCG
 233 L C P G W S S S E N D Q I A R
 272 ATGGGAAAGAAGACACAGGGCTCATACTGCTGGAGGACACAGA
 288 M W K E D T G S Y W C Z B O T
 307 ATGGGCTTCAAAGTCITGAGGGAGCAGGGAGATCCCAGATAAATG
 313 H A S K V L R E B R E G I N V
 352 CACAGGGCTCTGCTGCTGATGCTGAGCTGGAGACTCGAGCCCCCA
 368 E R V F V A D V E L E T Q P R
 397 3GAGGAGACGGTATGAGGGAGACAGGGCTGGCTCTCATCGCTGA
 403 G G O V H E G D R L Y U I C S
 432 3TGGTATGGCGCACAGGAGACATCACTTCCTTGGTACAGGGG
 438 V A M G T G O E T F D M Y K G
 487 CCTCTAGCTTAAACCTTCAGCTCAAAGACCCAGGGTCACTGACA
 493 H V G L N I O S X T Q R S L T
 532 GCAGAGTATGAGATTCCTGAGGGAGAGTGGATGCTGACAA
 538 A B Y E I P E V R E S D A E D
 577 TATTACTGTGCTAGCTGAAAATGGCTATGCGCCCGGGCGCTGG
 583 Y C V A E H G Y G * S T E G
 622 C7GOTGACCATCACTGTCAGRATCCCCGGTGTGTCGCGCGCTC
 638 S U S I T V R E P U S B P T L
 667 MTCGTCAGGGCTCCAGGGGCCAGAGCTGCACTUGAGGGAGCTG
 673 H L H A E R H A O A V E D V L
 712 GAGGTCACGTTGAGGCGCTGAGAGGGCTCTCCAACTCTGTC
 718 E L H C E A L R O S Y P I L S
 757 TGGCTTATCACCCGCGATATGCGCTGGGACCGAGGTCGCGCGCG
 763 H F Y H E D I T L G E R S A P
 802 TGGGAGGAGGAGCTTCAGCTACCGCTTGGCTGACTGAGAACAT
 808 S = G G A S F N L S I T E E I
 847 TCTGGAAACTACTCTGTGAGGCCAACANFGCCCTGGGGGCCAG
 854 S E N Y E C E A N N G L O E
 892 CCACCTGGCGCGCTGAGACTCAACCTTCACAGTCCCTACTCGCG
 898 H S E R V T L R E S V U T G A
 937 MGAACGAACTCATCTTACCTTCAGGGAGTCATTCAGGGGCTGCTGAC
 944 R G N H L T S G V I E G L I S
 982 ACCCTGTTGCGCGACCGGGCTTATTTTGTACGGCG
 988 T L G P T V A I L F C Y G L
 1027 MAAAGAAAGAAATGAAAGACCGCTGAGCCAGCGATGCGCTGGAGAC
 1033 K = X I G R R S A R D P L R S
 1072 CTTGGAGCGCTTACCCCGAGAGTTCTCTAACCTAACGCTGCT
 1108 L P S F L P O E F T Y L B S I
 1117 ACCCTGGGGCAAGCTACGGCTTATATGAAAGATGCGCTGGCTG
 1123 S P D C I E I V E N V N V V
 1162 ATGCGGCGATGAGGTTTATTCAGCTGGCTGACTTAAACGGCGCG
 1168 S G D E V Y S L A Y Y N O F S
 1207 CAGGGAACTGAGCTACGGCGAGAACCTGGGACACNTTGGAGAAC
 1213 Q E S N A A E T L E G T H N E D
 1252 MGGTTTCCCTAGACATCTTTCAGGCGTGGCGTGGCGAGGAA
 1258 R V S L D I Y S R E B H A N L
 1297 AGAGATGCGGAGTATGAAAGATGCTAATGAG
 1326 T D V D Y S E D A M *
 1332 GGTG ATGGAAAGATT CTCCTTTCCTG
 1351 AAACCCATCC ATGAGCCCAACGCTTGGGCTTGGTATGTTTCCTGCTGAGATAC
 1361 CTGGGGCATT AGGTTGGAG TATACCTGCTGCTGGATGCGA TTCTCCATGC
 1401 TACATTTCTT TGATCTACTG TGAAGTGAAAG TTGGCCCAAGC CCTGAAGAAA
 1451 CTACCTGGGA GAACATTAAG ACACAGGGT GACAGGGACT TTCTCTAC
 1461 AACCAAGATTC CTGGGGGCTT CTGGAAAGAC AGGTCTATTG CTGCGCTCTG
 1481 CTTCAGAAGA GGAAAGAAAGA TGGGATTAAGA GAAATGGGAG TCTGGGGTGG
 1531 CAGGGAGCTT GAAAGCTTAAAG AGCAATGAAAC TCAAGCTTAC TGACTCTGCA
 1571 GGAGCTTCAAGAAGAGCTT TGCCCATCAT TGACTCTGCAAG TGTGGGGTGG
 1581 GGGCAAGAGC CACAGAACCTT CAGGGGGGCTT ACTTACATGAG ATCATGAGT
 1601 TTGGCGCTTAAAGATGATTC TATTTTATTTT GAGTCACCTT TACCAAAATTA

FIGURA 18E - 2

1851 GAACTAAAAAC TAAAGTTACAT AAAAAGTTAT TGTGACTCGA CTTAAATTGA
1901 TTGGGTTATT TTTGTATATA TAACTCCAGC TATACCAACAT GAAAATTAT
1951 CTATCTTATA TAACTCCCTAG AACCTTTATA AATAAAGGTG GTCTTCCTTT
2001 ATTCAACAAA TTTTTGAAAT CTTGGTAATA TCCCTTGAAA CCGCTATCTT
2051 AATTAATTTT TTTTTAAATT GACACAGGGT CTCACCTGTG TACCTAACTC
2101 GGAAATGAGT GGCACAAATC TGGCTCAGTG CACGGCTGC CTCTCAGGCT
2151 CAAGGAAACC TCTCACCTCA GCGCTGGAG TAGCTGGAG TADAGGCGCA
2201 TGCCACGAA TTTGGGTTT TTTGTGTTA CGTAGAGGAA AGATCTCACC
2251 GTTTGGCGA GGCCTGGTTC AACGCTCG GCGTAAAGCAA TGTATTGAAAT
2301 TTT